

جامعة دمشق  
كلية الطب البشري



التعدد الشكلي لجينة الفيكولين FCN عند مرضى  
الليشمانية الجلدية

**FCN gene polymorphism in patients with  
cutaneous leishmaniasis**

بحث علمي أعد لنيل درجة الدكتوراه في الطفيليات

إعداد المعيدة أمل عساف

رئاسة وإشراف مشارك  
الأستاذة المساعدة الدكتورة  
الهام حرفوش

إشراف الأستاذة الدكتورة  
عائدة الخيمي

بالتعاون مع البروفسور Juergen Kun  
أستاذ الطفيليات البشرية في معهد الطب المداري  
جامعة توبنجن - ألمانيا

2011

إلى من لفحته الشمس بوهج حرارتها فقلب صحراء حياتنا جنة من الياسمين  
إلى من جعل من عرق جبينه خبز حياتنا

أبي

إلى من جعلت من حياتها ممرا يفضي بنا إلى شواطئ المستقبل  
إلى كل دمة غالية سارت من عينيها الحالمتين عند لقائي ووداعي

أمي

إلى الروح التي سكنت روحي  
إلى رفيق دربي الذي طالما أوصاني بالصبر وأحى بي بصيص الأمل

زوجي

إلى بسمه يومي وإشراقه حياتي وأمل غدي  
إلى من منح ذاتي وجودها ووهب روحي فرحها

ولديّ

إلى من شاركوني الهموم وساعدوني على تخطي الصعاب  
إلى من وقف إلى جانبي عندما ضللت الطريق

أخوتي

إلى من أكبر بمحبتهم وثقتهم  
إلى من أعتز بوجودهم إلى جانبي

أهل زوجي

إلى من عشت معهم وعاشوا بداخلي  
إلى من أحيا بحبهم ووفائهم

أصدقائي

إلى من كانوا نبراسا للعلم وتاجا للمعرفة  
إلى الذين حملوا أقدس رسالة في الحياة

أساتذتي

إلى كل من يسعى لخير البشر وسعادة الإنسان  
إلى كل من أحب أهدي عملي هذا

الدكتورة أمال عساف

## كلمة شكر

وتمر الأيام وتنقضي السنون لأصل إلى منعطف آخر من منعطفات دروب الحياة، ولابد هنا من الوقوف لحظة لأستذكر أوقات سعيدة وأنظر بعين تفيض بالشكر والاحترام إلى كل من مد يد العون لإنجاز هذا البحث وأخص بالشكر وزارة الصحة ومراكز مكافحة الليشمائية لما أبدته من تعاون أثناء العمل، وكذلك الأمر مستشفى الأمراض الجلدية والزهرية الجامعي ومخبر البحوث والاستشارات الوراثية في كلية الطب البشري.

كما أتقدم بالشكر الجزيل للأستاذة: عائدة الخيمي المشرفة على هذا البحث والأستاذة الهام حرفوش المشرفة المشاركة على هذا البحث التي أعطتني من وقتها وجهدها الساعات الطوال دون كلل أو ملل فكانت خير معين على تنفيذ هذا العمل.

وكل الشكر لأعضاء لجنة الحكم المؤلفة من الأساتذة : يوسف زريق، إميل شاهين، صالح داوود ، عبير الكفري التي لم تبخل يوما بتقديم التوجيهات والنصائح المفيدة .

كما أخص بالشكر هيئة التبادل الأكاديمي الألماني DAAD التي أمدتني بالمنحة الدراسية لمدة ستة أشهر فكانت فرصة ذهبية استطعت من خلالها إجراء الجزء الأكبر من الدراسة العملية .

كما أتقدم بالشكر والعرفان للبروفسور يوركن كون أستاذ الطفيليات البشرية في معهد الطب المداري في جامعة توبنجن –ألمانيا لما أعطاني من وقته وعلمه أثناء تنفيذ العمل وتابع شخصيا كل مراحل العمل المخبري وتفسير نتائجه.

وعظيم الشكر والعرفان لأسرة كلية الطب البشري ممثلة بعميد الكلية ونائبا العميد لجهودهم في دفع مسيرة البحث العلمي وأيضا كل المحبة والتقدير للأساتذة والزملاء والعاملين في هذا الصرح العظيم.

رغم أنني أطلت إلا أنني قد أكون نسيت وتبقى كلمات الشكر عاجزة عن أن توفي ولو جزء يسير من حقوق أصحابها، فالشكر كل الشكر لمن ذكرت والعذر والسماح ممن نسيت.

الدكتورة أمل عساف

ص	1- الدراسة النظرية وتضم:
	1-1- الليشمانيّة
4	1-1-1- لمحة تاريخية
4	2-1-1- تعريف الطفيلي وشكله
6	3-1-1- التصنيف
9	4-1-1- دورة حياة الطفيلي
10	5-1-1- العامل الناقل
11	6-1-1- مستودع الطفيلي (الخازن)
11	7-1-1- السراية
12	8-1-1- الإمبراضية
13	9-1-1- المناعة
17	10-1-1- التظاهرات السريرية لأدواء الليشمانيّة
21	11-1-1- البوائيات
23	12-1-1- واقع الليشمانيّة في سوريا
26	13-1-1- التشخيص
42	14-1-1- المعالجة
45	15-1-1- اللقاح
46	16-1-1- الوقاية
	2- التعدد الشكلي
47	1-2-1- مفهوم التعدد الشكلي
49	2-2-1- أنماط التعدد الشكلي
49	3-2-1- أهمية وفائدة التعدد الشكلي
	3-1- الفيكولينات
	1-3-1- مقدمة عن الفيكولينات
51	2-3-1- بنية الفيكولينات
56	3-3-1- المورثة المسؤولة (جينة الفيكولينات)
58	4-3-1- أماكن التعبير
59	5-3-1- ارتباطات الفيكولينات



- 63 1-3-6- الفيكولين و تفعيل المتممة
- 66 1-3-7- آليات عمل الفيكولين والمناعة الطبيعية
- 67 1-3-8- وظائف أخرى للفيكولينات
- 70 1-3-9- التعدد الشكلي (SNPs) في مورثة الفيكولينات والنتائج السريرية
- 2- الدراسة العملية وتضم:
- 86 1-2- هدف البحث
- 86 2-2- أهمية البحث
- 86 2-3- مكان وزمان الدراسة
- 2-4- مواد وطرائق البحث وتشمل:
- 87 2-4-1- مجموعة الدراسة (المرضى والشواهد)
- 88 2-4-2- الطرائق المستخدمة
- 116 2-5- الدراسة الإحصائية
- 122 2-6- النتائج وتشمل:
- 2-6-1- ال-SNP الجديدة في جينة الفيكولين 2 عند 40 عينة من الشواهد.
- 2-6-2- دراسة اختلال التوازن الارتباطي LD لل-SNP في منطقة المعزاز من جينة الفيكولين 2.
- 2-6-3- دراسة تواتر الأنماط الوراثية والآلائل للمواقع الوظيفية الأربعة (4،+6424،-986،-602،-) من مورثة الفيكولين 2 في مجموعة المرضى.
- 2-6-4- دراسة LD للمواقع الوظيفية الأربعة (4،+6424،-986،-602،-) من مورثة الفيكولين 2 في مجموعة المرضى.
- 2-6-5- دراسة الأنماط الفردانية في مجموعة المرضى.
- 2-6-6- دراسة تواتر الأنماط الوراثية والآلائل للمواقع الوظيفية الأربعة (4،+6424،-986،-602،-) من مورثة الفيكولين 2 في مجموعة الشاهد.
- 2-6-7- دراسة LD للمواقع الوظيفية الأربعة (4،+6424،-986،-602،-) من مورثة الفيكولين 2 في مجموعة الشاهد.
- 2-6-8- دراسة الأنماط الفردانية في مجموعة الشاهد.
- 2-6-9- مقارنة تواتر الأنماط الوراثية للمواقع الوظيفية الأربعة (4،+6424،-986،-602،-) من مورثة الفيكولين 2 بين المرضى والشواهد.

- 2-6-10- مقارنة تواتر الآلائ للمواقع الوظيفية الأربعة (4،-،-602،-986) من مورثة الفيكولين 2 بين المرضى والشواهد.
- 2-6-11- مقارنة الـ LD بين المرضى والشواهد.
- 2-6-12- مقارنة تواتر الأنماط الفردانية بين المرضى والشواهد.
- 2-6-13- مقارنة تواتر الأنماط الوراثية للمواقع (4،-،-602،-986) من مورثة الفيكولين 2 بين مرضى الليشمانية الجلدية المزمنة والشواهد.
- 2-6-14- مقارنة تواتر الآلائ للمواقع (4،-،-602،-986) من مورثة الفيكولين 2 بين مرضى الليشمانية الجلدية المزمنة والشواهد.
- 2-6-15- مقارنة تواتر الأنماط الفردانية بين مرضى الليشمانية الجلدية المزمنة والشواهد.

168	2-7- المناقشة
178	2-8- الخلاصة
180	2-9- التوصيات
181	المراجع

## 1- الدراسة النظرية:

### 1-1-1- لمحة تاريخية:

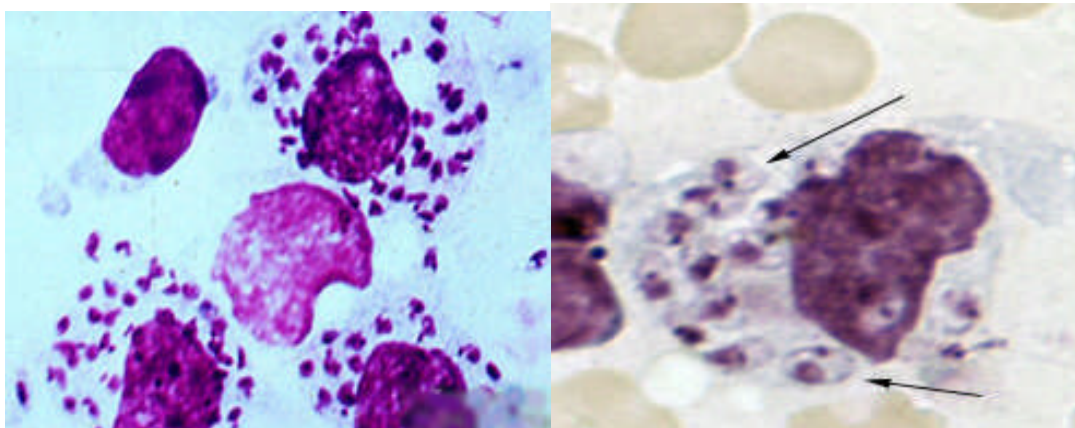
تعود قصة الليشمانية الغنية بالأحداث إلى زمن بعيد، فأول وصف لحالة شبيهة بالليشمانية الجلدية يعود إلى حكم آشور بعل في القرن السابع قبل الميلاد، كما أن الأطباء المسلمين ومن ضمنهم ابن سينا في القرن العاشر الميلادي أعطى وصفا لما كان يدعى حبة Balkh sore (1). ولكن من أوائل من وصفها وصفا سريريا مهما و مفصلا هو Alexander Russell سنة 1756 بعد فحصه لمريض تركي (2) وعرف المرض بعدها بحبة حلب. بينما أول من لفت النظر إلى داء الليشمانية الحشوية كان مجموعة من الأطباء في الهند وذلك سنة 1824 في مدينة Jessore، حيث اعتقدوا في البداية أنه أحد أشكال الملاريا وفيما بعد أطلق على المرض في الهند الكالا أزار Kala-azar أي الحمى السوداء (3). أما من اكتشف سبب المرض فهو أمر متنازع عليه فمن المرجح أن الجراح كوينينغهام Cunningham قد شاهده أولا سنة 1885 دون أن يربطه بالمرض (4،5). سنة 1901 وجد الطبيب الاسكتلندي William Leishman العامل الممرض في لطاخة طحال من مريض توفي من حمى dum-dum وهي بلدة بالقرب من كالكوته اشتهرت بسوء أوضاعها الصحية، بينما وصفه الايرلندي Charles Donovan سنة 1903 كونه عامل ممرض جديد غير معروف سابقا (2،5)، لاحقا أثبت Ronald Ross علاقته بالمرض وأطلق عليه اسم Leishmania Donovan (2،5) مع أن الطبيب الروسي Borovesky وصف الطفيلي قبل ذلك أيضا وذلك سنة 1898 (6)، ولاحقا ربط الأخوان Sergent بين الإصابة بالمرض و العامل الناقل وهو ذبابة الرمل (الفاصدة) Phlebotomus (7،5).

### 1-1-2- تعريف الطفيلي وشكله:

الليشمانية Leishmania طفيليات وحيدة الخلية تتبع عائلة المثقبيات وهي مجبرة التطفل داخل الخلايا إذ تعيش في الثوي الفقاري داخل خلايا الجهاز الشبكي البطاني والبالعات وتتكاثر فيها بالانقسام الثنائي الطولي ولا تبدي أي مظاهر جنسية. يميز لطفيلي الليشمانية شكلان رئيسيان هما الشكل عديم السوط (اللاسوطي أو الليشماناني) والشكل أمامي السوط (المشيقية).

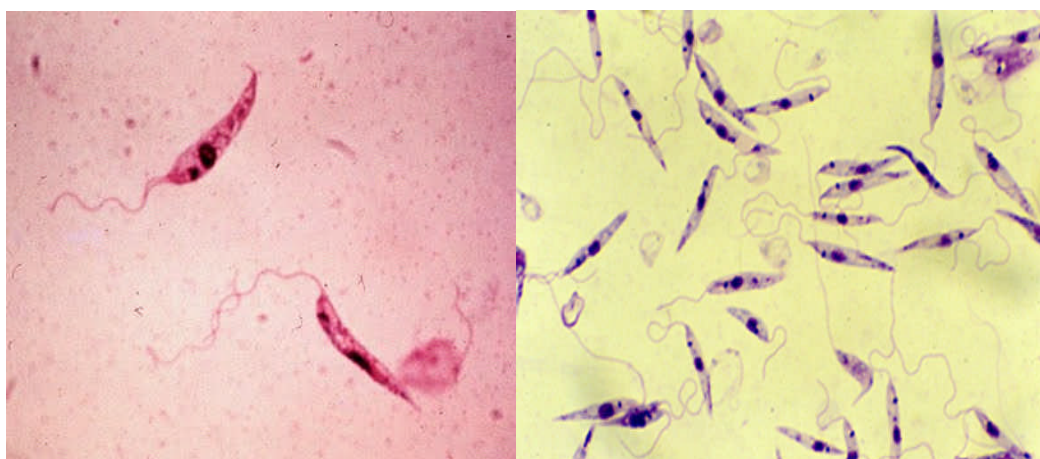
**الشكل عديم السوط (اللاسوطي أو الليشماناني):** Amastigote ويدعى أيضا جسيم دونوفان، وهو شكل غير متحرك مجبر التطفل داخل خلايا الجهاز الشبكي البطاني، إذ يلاحظ هذا الشكل في فجوات بلعمية في الخلايا المذكورة، يكون الطفيلي دائري أو بيضوي الشكل بقطر 1-3×2-6

$\mu$  وتكون إحدى نهايتيه مدورة أكثر من الأخرى، يحوي نواة بيضوية أو دائرية كبيرة نسبياً تتلون بلون أحمر بنفسجي عند تلوين الطفيلي بملون غيمزا كما تتلون الهيولي بلون أزرق شاحب (الشكل 1)، و يشاهد بالقرب من الناحية الأمامية للطفيلي جسم أحمر داكن عصوي الشكل هو الجسيم القاعدي basal body وجانبه منشأ الحركة kintoplast الذي يتلون حمضه النووي بلون بنفسجي.



الشكل (1) الشكل اللاسوطي لليشمانية داخل البالعات.

**الشكل أمامي السوط (المشيقة) promastigote:** وهو الشكل خارج الخلوي للطفيلي القادر على الحركة، يتواجد في معي الفواصد وفي أوساط الزرع، شكله مغزلي اسطواني أبعاده 2-3  $\mu$  و يخرج من نهايته الأمامية سوط وحيد طوله من 15-28  $\mu$ ، وعند التلوين بملون غيمزا تبدو الهيولي زرقاء الشاحبة تحوي على نواة مركزية بينما تتوضع بائية الحركة (منشأ الحركة) في النهاية الأمامية للطفيلي (الشكل 2) (8).



الشكل (2) الشكل أمامي السوط لليشمانية.

### 1-1-3- التصنيف Classification:

يصنف جنس الليشمانية اعتمادا على منظمة الصحة العالمية (9) كما يلي :

Kingdom:Animalia المملكة الحيوانية

Sub-Kingdom:Protozoa تحت مملكة وحيدات الخلية (الأوالي)

Phylum:Sarcomastigophora شعبة السواطئ اللحمية

Sub-Phylum:Mastigophora تحت شعبة السواطئ

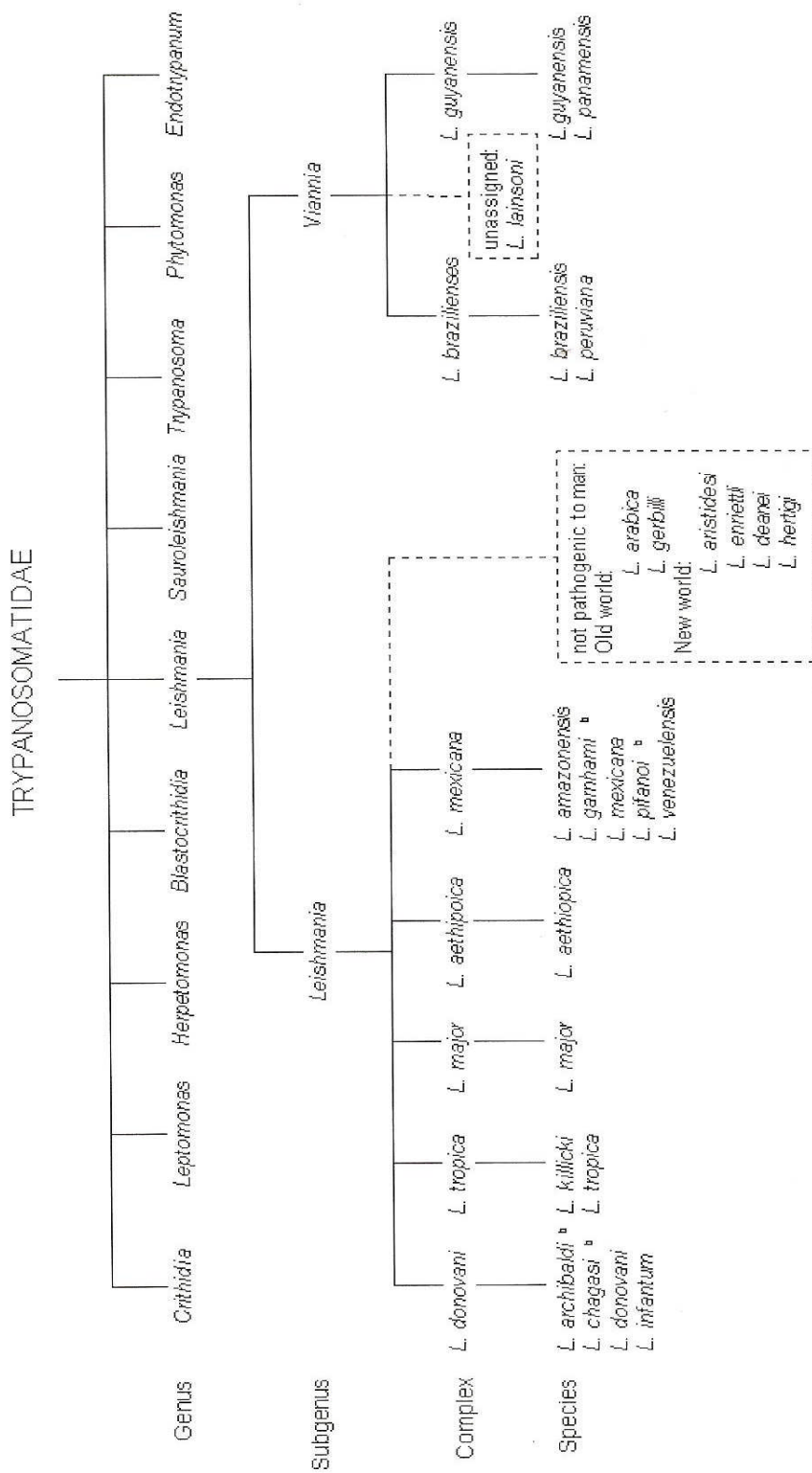
Class:Zoomastigophora صنف السواطئ الحيوانية

Order:Kinetoplastidae رتبة ذوات منشأ الحركة

Family:Trypanosomatidae فصيلة المثقييات

Genus:Leishmania جنس الليشمانية

ويضم جنس الليشمانية أنواعا متعددة صنف من قبل الصحة العالمية إلى تحت أجناس ومعدات و أنواع (10،11) ( الشكل 3).



<sup>a</sup>: تم اعتماد خصائص الشكل الخارجي في تصنيف الأجناس وتحت الأجناس، بينما اعتمدت خصائص الصفات الداخلية (باستخدام نظائر الأنزيمات Isoenzymes) بشكل رئيسي في تصنيف المعقدات (Complexes). <sup>b</sup>: لا يعتبر بعض الباحثين هذه الأنواع كأنواع منفصلة.

الشكل (3) تصنيف أنواع الليشمانية حسب معطيات منظمة الصحة العالمية (10).

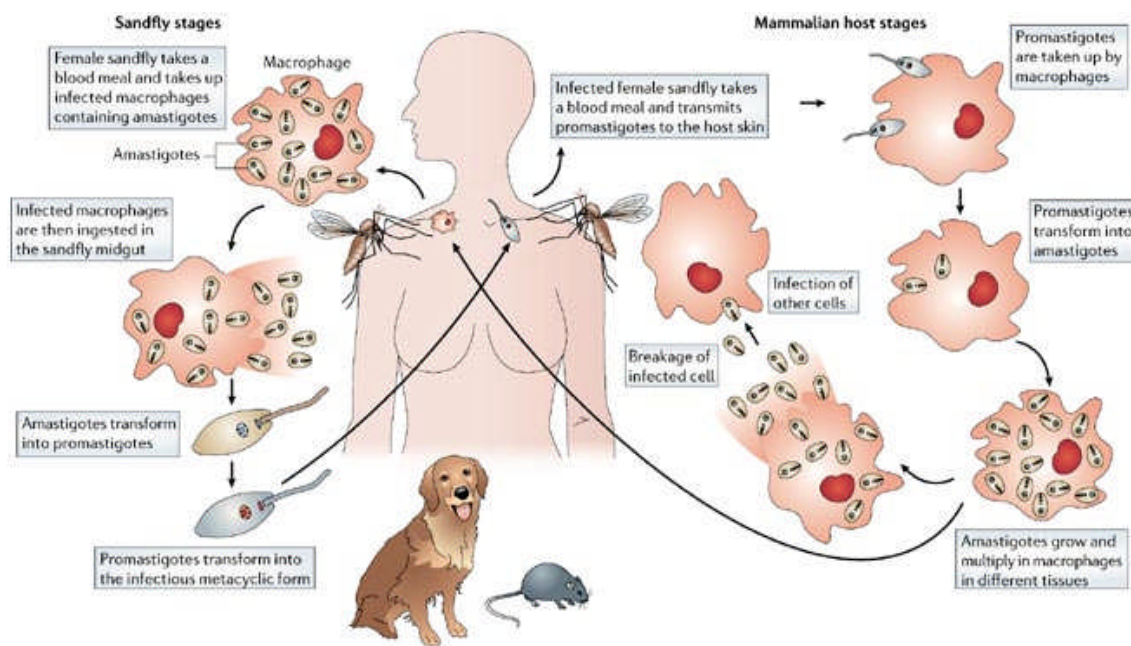
كما صنفّت الليشمانيّة تبعاً للتوزع الجغرافي لأماكن وجود الطفيليات في العالم (12) وذلك كما في الجدول التالي:

تحت الأجناس	المعقد	الأنواع	التوزع الجغرافي	التظاهرات السريية الرئيسية	تظاهرات أخرى
<b>العالم القديم</b>					
<b>ليشمانيّة</b>	ليشمانيّة دونوفانيّة	الدونوفانيّة	الهند، الصين أفريقيا، الباكستان	ليشمانيّة حشويّة	ليشمانيّة جلديّة بعد الكلا أزار
		الطفليّة	حوض البحر المتوسط، بعض مناطق أفريقيا ،البلقان، الصين	ليشمانيّة حشويّة	ليشمانيّة جلديّة
	الليشمانيّة الكبيرة	الكبيرة	الشرق الأوسط الهند، الصين ،أفريقيا،	ليشمانيّة جلديّة قرحة رطبة	
	الليشمانيّة المداريّة	المداريّة	الهند، جنوب أوروبا، غرب آسيا، الشرق الأوسط	ليشمانيّة جلديّة قرحة جافة	ليشمانيّة ناكسة، ليشمانيّة منحازة حشويّا
	الليشمانيّة الأثيوبية	الأثيوبية	أثيوبيا، كينيا، اليمن	ليشمانيّة جلديّة	ليشمانيّة جلديّة منتشرة
<b>العالم الجديد</b>					
<b>ليشمانيّة</b>	الليشمانيّة الدونوفانيّة	الشاغاسية	أميركا اللاتينية	ليشمانيّة حشويّة	ليشمانيّة جلديّة لانموجيّة
		الفينزويلية	فينزويلا	ليشمانيّة جلديّة	
	الليشمانيّة المكسيكية	المكسيكية	المكسيك، أميركا الوسطى، تكساس	ليشمانيّة جلديّة	ليشمانيّة جلديّة منتشرة
		الأمازونية	حوض الأمازون البرازيل	ليشمانيّة جلديّة	ليشمانيّة جلديّة منتشرة وسجلت حالات من الحشويّة
<b>فينا</b>	الليشمانيّة البرازيلية	البرازيلية	أميركا اللاتينية	ليشمانيّة جلديّة وجلديّة مخاطيّة	
		البيروفية	مرتفعات البيرو والأرجنتين	ليشمانيّة جلديّة	
	الغويانيّة	الغويانيّة	حوض الأمازون الشمالي البرازيل	ليشمانيّة جلديّة	
		البانامية	باناما، كوستاريكا، كولومبيا	ليشمانيّة جلديّة	

**الجدول (1) تصنيف الليشمانيّة حسب توزعها الجغرافي.**

### 1-1-4- دورة حياة الطفيلي Life cycle of leishmania parasite:

يعد طفيلي الليشمانية ثنائي الثوي، فهو يحتاج لإتمام دورة حياته إلى أنثى الفاصدة التي تقوم بدور ناقل حيوي مشكلة الثوي الأول، أما الثوي النهائي فهو الإنسان أو الكلاب أو القوارض (8). تبدأ دورة الحياة بـ لدغ أنثى الفاصدة للثوي المصاب بالليشمانية، حيث تأخذ مع وجبتها الدموية الشكل عديم السوط للليشمانية التي تصل بعدها إلى معي الفاصدة، لتتحول بعد 72 ساعة إلى أشكال متطاولة مغزلية مجهزة بسوط أمامي وحيد وتتكاثر بالانشطار الثنائي الطولي، ثم تبدأ هجرتها إلى المري والأجزاء الفموية للحشرة ولا تغزو مطلقاً الغدد اللعابية، وفي اليوم السابع تتراكم في بلعوم الفاصدة مشكلة حاجزاً يعيق امتصاص الدم وبلدغ الحشرة الحاملة للطفيلي لثوي جديد تخرج السوطيات بقيتها فتدخل إلى البشرة حيث تهاجم من قبل البالعات الكبيرة macrophage لتتحول بعد 24 ساعة إلى أشكال لاسوطية تتكاثر بالانشطار الثنائي حتى امتلاء البالعات بها ثم تنفجر فتتحرر اللاسوطيات التي تخمج خلايا جديدة في الجلد أو الأعضاء الداخلية (الشكل 4).



Copyright © 2005 Nature Publishing Group  
Nature Reviews | Genetics

الشكل (4) يوضح دورة حياة طفيلي الليشمانية (13).



### 5-1-1- العامل الناقل Vector:

إن العامل الناقل لداء الليشمانيات هو حشرة من رتبة ثنائيات الأجنحة diptera، عائلة فراشيات المظهر psychodidae التي تحتوي على جنس واحد يعرف باسم الفواصد phlebotomus في العالم القديم واللويزومية Lutzomyia في العالم الحديث، وتتصف الفاصدة أن جسمها مغطى بأشعار وأشواك ويتألف من رأس وصدر وبطن وتقيس من 2-4 ملم وهي صفراء اللون، يشكل الرأس زاوية 45 درجة مع محور الصدر (8).



الشكل (5) نياحة الرمل (الفاصدة).

يحمل الرأس زوجا من العيون المركبة، وأجزاء فموية متناسبة مع وظيفتها الثاقبة الماصة، وزوجا من قرون الاستشعار تتوضع أمام العينين، يغطي الرأس أشعرا قصيرة، ويحمل الصدر ثلاثة أزواج من القوائم الطويلة، و زوجا من الأجنحة الورقية الشكل، يغطي البطن أشعار وينتهي عند الذكر بجهاز الإلقام المميز الذي يستخدم في تصنيف الأنواع أما عند الأنثى فينتهي البطن بزائدين لوضع البيض (8).

تأخذ الحشرة أشكالا مختلفة حسب تطور مراحل حياتها من بيضة إلى يرقة إلى حوراء وصولا إلى الحشرة الكاملة، وتنتشر الفواصد ابتداء من المناطق الرطبة وحتى المناطق الصحراوية، وتكون الإناث فقط ناقلة للمرض و ماصة للدم الذي تحتاجه من أجل تطور البيوض، كما تبقى الإناث الحاملة للطفيلي معدية طوال فترة حياتها وهي حوالي ثلاثة أسابيع، وتكون فعاليتها محصورة في أماكن تناسلها وكقاعدة فإن الفاصدة لا يمكن أن تصل إلى الطوابق العلوية، لذا تشكل غرف النوم الواقعة على مستوى الأرض أماكن شائعة للإصابة.

توصف الفاصدة بأنها ليلية النشاط إذ تنشط ليلا و تختبئ نهارا، وتعرف بالشيخ الساكت لانعدام الطنين أثناء طيرانها (8)، وتكون لدغتها مؤلمة جدا لدرجة أنها توقظ النائم لتختفي بعد أخذ وجبتها الدموية في الزوايا الرطبة والمظلمة والهادئة في المنازل أو في حفر الأشجار وجذوعها

وفي شقوق وتصدعات الجدران وفي حظائر الحيوانات وأخمام الدجاج وأكوام الحجارة والقمامة (10).

هذا ويختلف نوع الناقل تبعاً لنوع الطفيلي (14): ففي العالم القديم تنقل الفاصدة الباباتاسية *P.papatasi* الليشمانية الكبيرة، بينما تنقل الفاصدة السيرجنتية *P.sergenti* الليشمانية المدارية كما تنقل فضية الأرجل *P.argentipes* الليشمانية الدونوفانية في الهند. أما في العالم الجديد فإن الانتقال يتم عبر أنواع تنتمي لجنس اللوتزومية ومنها على سبيل المثال لا الحصر اللوتزومية طويلة اللوامس *L.longipalpis* ناقل الليشمانية الشاغاسية (14).

### 1-1-6- مستودع الطفيلي (الخازن): Reservoir:

تعد الليشمانية طفيليات واسعة المثلوى، إذ تصيب حيوانات كثيرة (أهلية وبرية) تبعاً للمنطقة الجغرافية ونوع الليشمانية، هذا ويعتبر الإنسان المستودع الرئيسي لليشمانية المدارية، بينما تمثل القوارض *Rodents* ومنها فأر الرمل البدين *psammomys obesus* مستودع الليشمانية الكبيرة في الشرق الأوسط، أما الكلاب فهي المستودع الرئيسي لليشمانية الطفلية والشاغاسية، كما يعتبر الزلم *hyrax* خازناً لليشمانية الأثيوبية بينما قرد الكسلان *sloth* مستودع الليشمانية الغويانية والبانامية، هذا وتلعب قوارض الغابة المختلفة دور المستودع بالنسبة لمجموعة الليشمانية المكسيكية (12).

### 1-1-7- السراية Transmission:

إن وجود الليشمانية يعتمد على عدة عوامل بيئية وحيوية، وبما أن لكل نوع من الليشمانية له ناقله ومستودعه الخاصين به فإن وجود الليشمانية واستمرار دورة حياة الطفيلي يتطلب وجود الناقل بالقرب من المستودع والشروط المناسبة لحياة كل منهما.

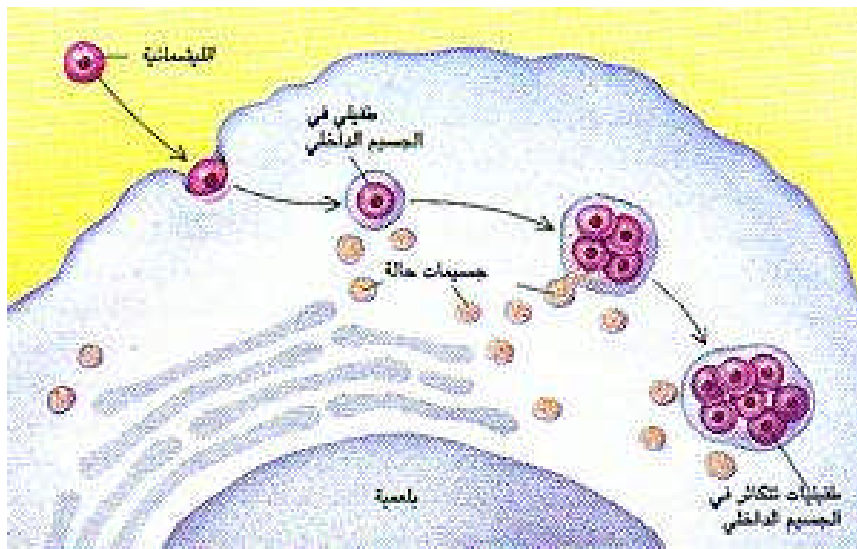
إن طريق الانتقال الرئيسي لداء الليشمانية للإنسان هو عبر لدغ أنثى الفاصدة أو اللوتزومية له، وطالما بقيت الطفيليات موجودة في جسم الثوي (حتى لو كان الخمج تحت سريرياً) فإنه يعتبر مصدراً للخمج، ولكن التماس المنزلي مع الإنسان المصاب لا يعتبر مصدراً للعدوى (وكذلك التماس مع الحيوان المصاب).

والجدير بالذكر أن أنثى الفاصدة لا تغدو قادرة على الإخماج (معدية) بمجرد لدغ الثوي المصاب، بل عادة ما يتم ذلك في الأسبوع 1-3 بعد اللدغ، كما أن الحشرة لا تستطيع الوصول إلى الأدمة فوق الثياب، ولذا تتوضع الإصابة عادة على المناطق المكشوفة (15)، نذكر أيضاً أن لدغ الحشرة المخموجة للإنسان لا يعني بالضرورة تطور الإصابة لديه، ويتأثر ذلك بعدة عوامل منها عدد الطفيليات المحقونة وفوعة هذه الطفيليات والحالة المناعية للثوي ووجود أمراض مستبطنة

لديه وتركيب لعاب العامل الناقل، إذ تبين أن لعاب الفاصدة المحقون مع الطفيلي يمكن أن يزيد من فوعة هذا الأخير بسبب احتوائه على مواد موسعة للأوعية، كما قد أظهرت الدراسات على الحيوانات أن لعاب الحشرة يملك تأثيراً معدلاً للمناعة قد يؤخر الاستجابة الوقائية الحامية المتوسطة بالخلايا (16).

### 8-1-1- الأمراض Pathogenesis:

عندما تلدغ الفاصدة جلد الإنسان يدخل مع قيئها إلى الأدمة حوالي 10-200 طفيلي بالشكل المسوط ويموت كثير من هذه الطفيليات الحرة عبر تدميرها بواسطة كثيرات النوى والمتممة، بينما تلتصق الطفيليات الناجية إلى مستقبلات على سطح البالعات الأدمية وتتم بلعمتها لتتحول بعد ذلك إلى الشكل عديم السوط، ويستطيع هذا الشكل مقاومة البيئة الحامضية وتأثير الإنزيمات الحالة الموجودة في الجسيم الحال البلعمي phagolysome التي يقبع وينكاثر فيها إلى أن تمتلئ الخلايا البالعة (الشكل 6)، فتنفجر ويحرر الطفيلي للوسط خارج الخلوي وتبقى فيه لفترة إلى أن تبتلعه بالعة أخرى وهكذا (17).



الشكل (6) يوضح دخول وتكاثر طفيليات الليشمانية غير المسوطة في الجسيم الحال الداخلي (18).

إن انتشار الطفيلي من مكان التطعيم يعتمد بشكل رئيسي على نوع الليشمانية: فالليشمانية الدونوفانية والطفلية مثلاً تنتشر إلى منظومة البالعات في أماكن أخرى خارج الجلد من الجهاز الشبكي البطاني وتحديداً إلى الكبد والطحال ونقي العظام منتقلة إلى هذه الأعضاء عبر الدوران الدموي واللمفي، محدثة ضخامات حشوية وفقر دم وفي حال نجاة المريض يمكن لليشمانية الدونوفانية في بعض الحالات أن تعود مجدداً إلى منظومة البالعات الجلدية محدثة داء الليشمانية الجلدية التالي للكلازار PKDL Post-Kalaazar dermal leishmaniasis، حيث يمكن أن

تبقى هناك لسنوات (19)، بينما تبدي الليشمانيّة البرازيلية ميلا خاصا للانتحاء نحو النسيج المخاطية الهوائية الهضمية للأنف والبلعوم محدثا ما يعرف بالليشمانيّة المخاطية، في حين أن الليشمانيّة الكبيرة ومجموعة الليشمانيّة المكسيكية تبقى محدودة في مكان دخولها مع إمكان امتداد موضعي أو إلى العقد اللمفاوية النازحة للمنطقة محدثة ضخامة عقدية مرافقة لداء الليشمانيات الجلدي في بعض الحالات .

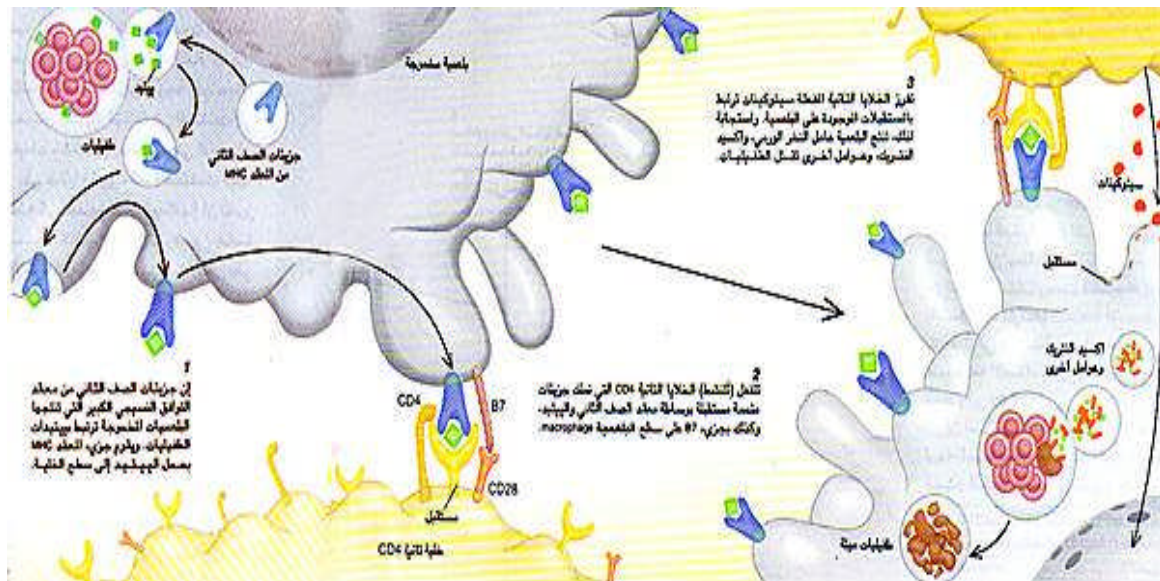
إذا فالنموذج السريري لداء الليشمانيات يتحدد وبالدرجة الأولى بناء على نوع الطفيلي، بل وأكثر من ذلك قد يتعلق الأمر أيضا بالسلالة التي ينتمي إليها، فبعض سلالات الليشمانيّة الطفيلية تملك انحيازًا جلديا محدثة ليشمانيّة جلدية، وبعض سلالات الليشمانيّة المدارية تملك انحيازًا حشويًا محدثًا ما يعرف بداء الليشمانيّة المنحازة حشويًا الذي ظهر عند الجنود الأمريكيين أثناء عملية عاصفة الصحراء في حرب الخليج عام 1990 (20).

إلا أن عوامل أخرى أيضا يمكن أن تساهم في تحديد شكل الإصابة السريرية عدا عن نوع الطفيلي وسلالته ومنها مكان التطعيم (21)، الحالة الغذائية للثوي (فأكثر إصابات الليشمانيّة الحشوية تشاهد عند الأطفال المصابين بسوء تغذية) (22) إضافة إلى الحالة المناعية والجينية للثوي (23).

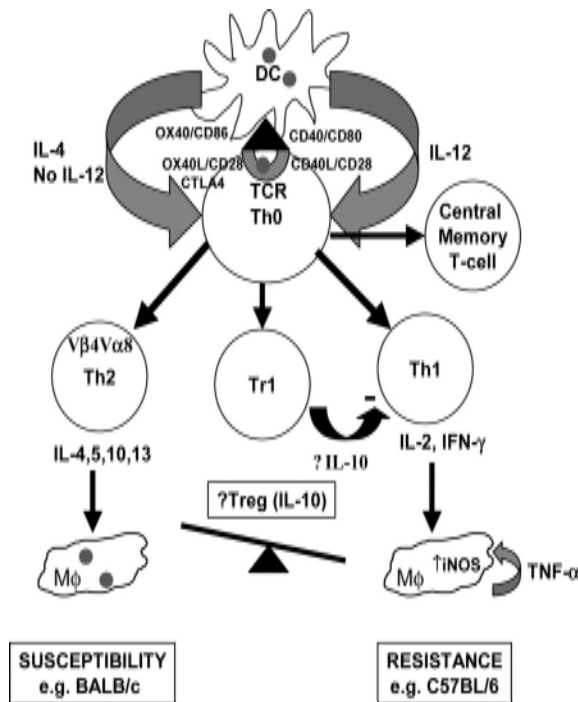
### 9-1-1-1- المناعة Immunity:

بعد تلقيح الفاصدة للثوي بالشكل المسوط يموت كثير من هذه الطفيليات الحرة عبر تدميرها بواسطة كثرات النوى والمتعمة، حيث أن الأشكال أمامية السوط لكل أنواع الليشمانيّة تفعل المتعمة والذي يقود غالبا إلى انحلال الطفيلي أو تسريع تمثله (قبطه) من قبل البالعات، وهذا يشير إلى الدور الهام للمتعمة كأحد دفاعات الثوي ضد الطفيلي (24)، ويمكن أن يتم تفعيل المتعمة بالسبيل الكلاسيكي في حال تواجد أضداد (25)، أو السبيل البديل (26)، كما يمكن تفعيلها أيضا عبر سبيل اللكتين بواسطة البروتين الرابط للمانوز (Manose Binding Lectin (MBL) (27)، حيث يلعب الأخير دورا طاهيا وذلك من خلال توسطه لتنشيط الطفيلي على الكريات البيض، فهو يرتبط بعديدات السكريد المنتهية بالمانوز الموجودة في الليبوفوسفوليكان فيحرض البلعمة من جهة ويحرض شلال المتعمة من جهة أخرى، هذا وإن ارتباط الـ MBL إلى سطح الليشمانيّة يقدم دليلا آخر على الآلية الإضافية لتشكيل الـ C3b الذي يشارك في الالتصاق بالبالعات، كما يوجد أيضا عوامل مصلية أخرى غير MBL تضمن تمثّل الليشمانيّة من قبل الكريات البيض مفصصة النوى (28)، وهكذا فإن ما ينجم من الانحلال من الأشكال أمامية السوط يدخل إلى البالعات متحولة إلى الشكل اللاسوطي ويسكن في فجوات داخل الخلايا البالعة

كما تدخل جزيئات معقد التوافق النسيجي الكبير Major Histocompatibility Complex (MHC) من الصنف الثاني الفجوات التي تحوي المستضدات الليمفائية وتعدو جزيئات المعقد MHC محملة بالببتيدات التي تطلقها الطفيليات أو التي تنشطر عنها بالأنزيمات حالة البروتين وتنطلق بها نحو الغشاء الخارجي للبلاعم لتتعرف للمفاوية التائية المساعدة CD4 عليها كمستضدات ممرضة عن طريق ارتباط مستقبلات الخلايا التائية (TCR) T cell receptor مع جزيئات المعقد MHC- المرتبطة بببتيدات الليمفائية، تتطور حادثة التعرف هذه نحو استجابة مناعية فإذا أظهرت الخلية البلعمية جزيء B7 على سطحها يتعرف الأخير على بروتين منفصل هو CD28 الموجود على سطح الخلايا التائية (الشكل 7)، وحينما تستقبل الخلية التائية المساعدة الإشارة المزدوجة فإنها تطلق السيتوكينات وأهمها الانترفيرون غاما  $IFN-\gamma$  حيث يلعب الأخير دوراً هاماً في الشفاء والحماية طويلة الأمد ويصنف تحت قائمة سيتوكينات T helper 1 (Th1) التي تضم أيضاً الانترلوكين 2 (IL-2) وعامل نخرة الأورام  $TNF\alpha$  (الشكلين 8 و 9) وتتحرض استجابة Th1 هذه بفضل الـ IL-12 الذي يتم إنتاجه من قبل البالعات (29)، ومما يدل على الدور الفعال للاستجابة من النمط Th1 في المقاومة المناعية الليمفائية هو مقاومة سلالات الفئران C57BL/6 التي تنتج استجابة من النمط Th1 لطفيلي الليمفائية، وعلى العكس عجزت سلالات الفئران BALB/c التي تنتج استجابة من النمط Th2 أي التي تترافق بإنتاج السيتوكينات IL-4, IL-5, IL-13 (30, 31) عن مقاومة الليمفائية، حيث ينتشر الطفيلي في عضويتها مؤدياً إلى موتها.

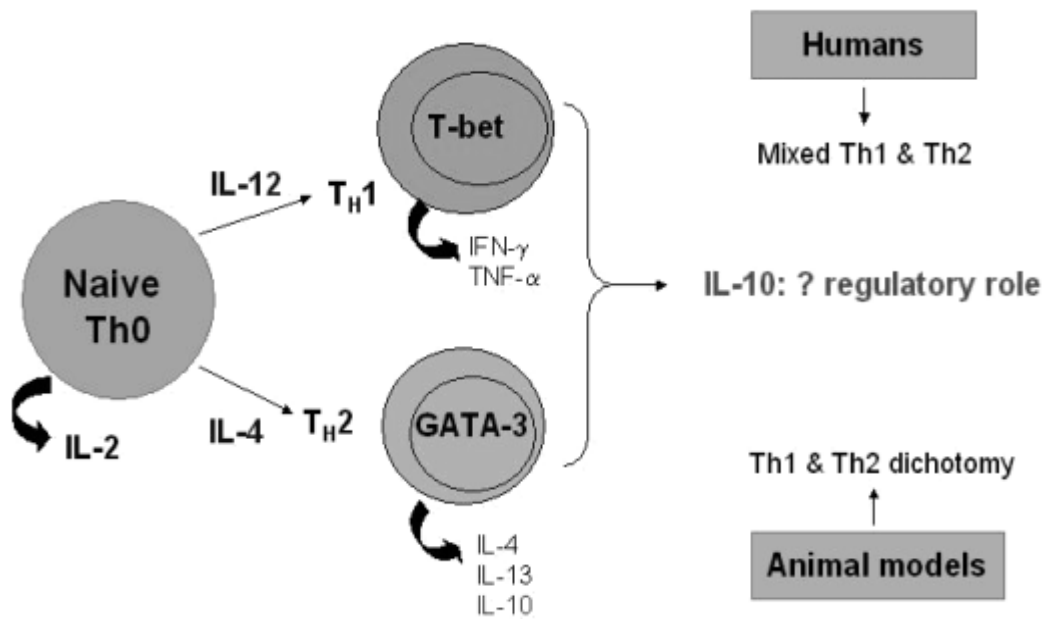


الشكل (7) كيف يتعامل الجهاز المناعي مع طفيليات الليمفائية (18).



الشكل (8) نموذج عن الجواب المناعي عند الفئران الحساسة والمقاومة للليشمائية الجلدية (31).

أما عند الإنسان فإن هذه القطبية في الاستجابة المناعية وعلاقتها بسير المرض تكون أقل وضوحاً، إذ أن الدراسات على الليشمائية الجلدية وجدت مزيجاً من سيتوكينات Th2 و Th1 معا (الشكل 9) دون إمكانية ربط ذلك بالشفاء، غير أن الأشخاص الذين شفوا من خمج الليشمائية الكبيرة وتطورت لديهم مناعة خلوية ضدها يقومون بإنتاج كميات كبيرة من  $IFN\gamma$  و  $TNF\alpha$  (أي يبدوون استجابة Th1) عند تحدي التائيات بمستضدات الليشمائية أكبر من تلك المشاهدة عند من لم تسبق لهم الإصابة بها (من ليس لديهم مناعة) مما يشير إلى دور محتمل لـ Th1 في مقاومة المرض عند الإنسان أيضاً (32، 33) (الشكل 10).

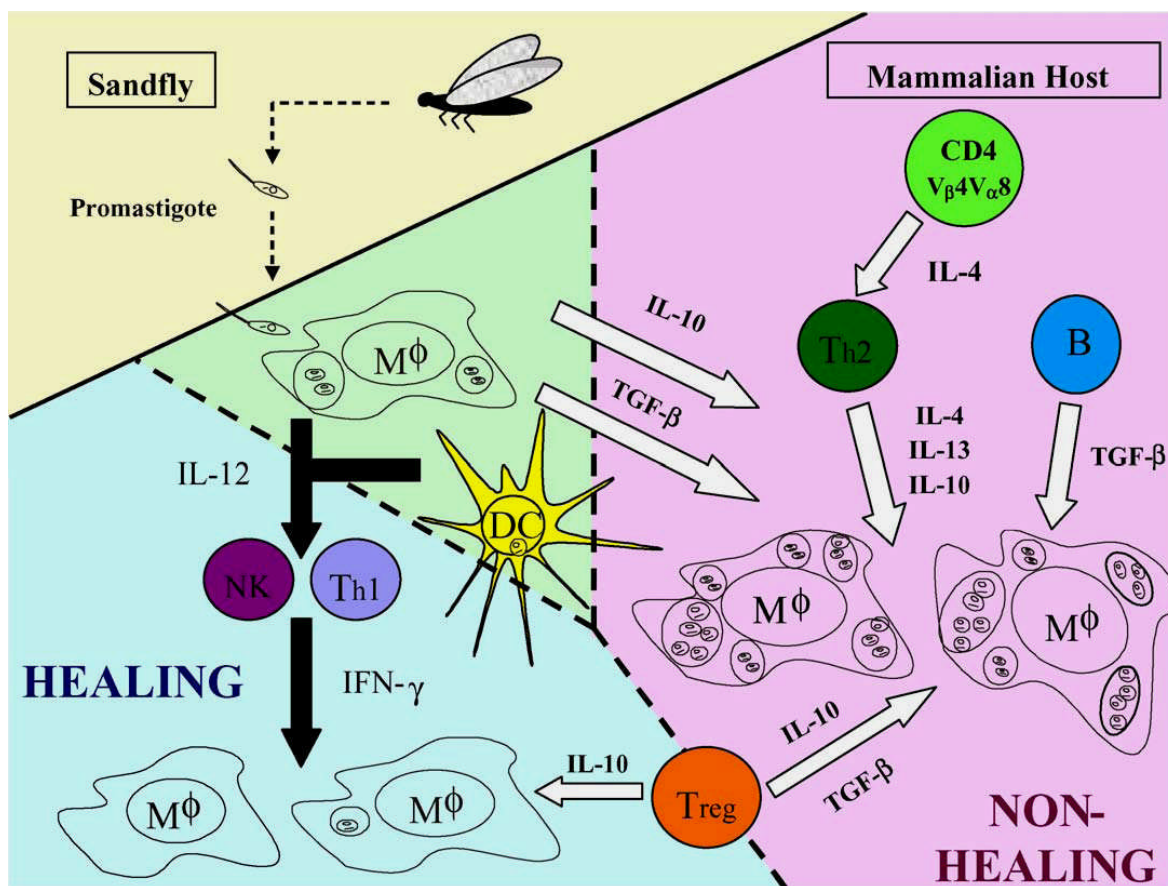


الشكل (9) الجواب المناعي  $Th1, Th2$  في الليشمانية (33).

إن البالعات لا تستطيع قتل الليشمانية والتخلص منها بمفردها بعد أن تقوم ببلعمتها، حيث تحتاج إلى تضافر تأثير السيتوكينات المفرزة من  $Th1$  وتحديداً  $IFN\gamma$  و  $TNF\alpha$  لتقوم نتيجة تنبيهها بهذه السيتوكينات بتركيب أول أكسيد الأزوت NO ذو القدرة القاتلة لطفيليات الليشمانية مما يفسر دور هذه السيتوكينات في مقاومة الليشمانية (34)، وبالمقابل فإن السيتوكين IL-10 (الذي تفرزه خلايا عدة منها البالعات والتائيات المساعدة) يثبط إنتاج سيتوكينات  $Th1$  ويثبط أيضاً التعبير عن أنزيم NO سينتيتاز معززا بذلك بقاء وتطور الخمج (35،36).

إن المرضى المصابين بانهيار في المناعة الخلوية (كمرضى الإيدز) يبدون زيادة في نسبة تطور خمج سريري بالليشمانية الحشوية مقارنة بالأسوياء مناعياً، كما يمين أن تتطور لديهم أشكالاً شاذة من الإصابة بالليشمانية سواء الجلدية منها أو الحشوية، إضافة إلى ذلك كثيراً ما تكون الاختبارات المصلية (لتحري أضداد الليشمانية) لديهم سلبية، ومعدلات النكس والوفيات عالية، كما أن الاستجابة على العلاج تكون أدنى عادة (37)، وكل ذلك يدعم الدور الذي تلعبه المناعة الخ الخلوية في مقاومة المرض. الخلوية في مقاومة المرض.





الشكل (10) الجواب المناعي في حالة الشفاء وعدم الشفاء من الليشمانية الكبيرة عند الثدييات (38).

إن المناعة الخلطية تتطور أيضاً أثناء سير المرض، وتتشكل أعداداً نوعية للطفيلي في داء الليشمانية الحشوية وينجم عن ذلك ارتفاع ملحوظ ومميز في عيار الغلوبولينات المناعية، لكن هذه الأعداد لا تستطيع تخلص الجسم من هذه الطفيليات غير أن ثمة فائدة تشخيصية لهذه الأعداد: إذ تستخدم طرق معايرتها في تحري إصابة الثوي بالليشمانية، بينما يتم تحري الاستجابة المناعية الخلوية الناجمة عن الإصابة بالطفيلي بواسطة الاختبار الجلدي (تفاعل مونتينغرو) (39).

### 10-1-1- التظاهرات السريرية لأدواء الليشمانية: Clinical manifestations

تنجم الأشكال السريرية الثلاثة من الليشمانية (الجلدية والجلدية المخاطية والحشوية) عن طيف واسع من أنواع الليشمانية، وعلى الرغم من وجود علاقة قوية بين النوع المسبب والشكل السريري لكن عوامل أخرى قد تتدخل منها الصفات المميزة للسلالات، والكفاءة المناعية للثوي، وكذلك الحالة الجينية له فالأنواع النموذجية لليشمانية الجلدية قد تسبب حشوية أيضاً والعكس صحيح (40).



### 1-10-1-1- الليشمانية الجلدية cutaneous leishmaniasis: وتأخذ الأشكال التالية:

**1-1-10-1-1 الشكل القرصي (الرطب) wet ulcer:** يبدأ المرض على شكل حطاطة حمامية تكبر تدريجياً على مدى عدة أسابيع لتصل لقطر 2 سم أو أكثر مع اكتسابها مساحة بنفسجية وتظهر عليها جلبة مركزية إذا تم نزع هذه الجلبة تشاهد تحتها قرحة ضحلة ذات حواف مرتفعة وقاسية نوعاً ما، تستمر هذه العقيدة المتجلبة في النمو على مدى 2-3 أشهر وقد تصل إلى قطر 3-6 سم أو أكثر، كما قد تظهر حطاطات تابعة صغيرة في محيط الآفة، وفي حالات نادرة قد تمتد الآفة عميقاً لتصل حتى الشحم تحت الجلد، كما قد تتضخم العقد اللمفية المنطقة، بعد ذلك تستقر الآفة وتحافظ على حجم ثابت تقريباً لمدة 3-6 أشهر أخرى، لتبدأ بعدها بالالتئام تاركة في النهاية ندبة منخفضة قليلاً، أكثر ما يشاهد هذا الشكل في المناطق الريفية ومستودعه الرئيسي هو القوارض وعادة ما ينجم عن الإصابة بالليشمانية الكبيرة، كما قد يشاهد نادراً في الآفات الجلدية المحدثة ببعض سلالات الليشمانية الطفلية (41).

**1-1-10-1-2 الشكل الدملي الجاف Dry ulcer:** يظهر المرض على شكل حطاطة ثم تتطور إلى عقيدة صغيرة مائلة للبنى، تكبر ببطء لتصل إلى قطر 1-2 سم على مدى 6 أشهر، وفي هذه المرحلة تتشكل قرحة ضحلة في المركز تغطي بجلبة شديدة الالتصاق، تتميز بأنها غير مؤلمة، وغير ملتتهبة، ولا تترافق بضخامة العقد اللمفاوية المجاورة إلا إذا أصيبت بإنتان ثانوي، تستمر الآفة حوالي 8-12 شهر، تبدأ بعدها بالتراجع تاركة مكانها ندبة في نهاية المطاف (8). إن ديمومة هذا الشكل أطول بمرتين من ديمومة الشكل السابق، ويمكن أن ينكس بعد شفاؤه الظاهري بعدة سنوات (محدثاً الليشمانية الذئبانية)، أكثر ما يرى هذا الشكل في المدن ومستودعه الرئيسي هو الإنسان وعادة ما ينجم عن الليشمانية المدارية tropica (41).

### 1-1-10-1-3 الليشمانية الجلدية الناكسة، الليشمانية المزمنة، الليشمانية الذئبانية

#### L.recidivans, L chronic, L.lupoid

تظهر هنا حطاطات حمراء أو صفراء بنية بالقرب من ندبة آفة سابقة أو على الندبة نفسها، تتلاقى هذه الحطاطات مشكلة لويحة بقطر عدة سنتيمترات مع شفاء مركزي مندب وحواف فعالة أخذة بالامتداد المحيطي معطية أشكالاً ملتفة أو حلقة تشبه الذأب الشائع. أكثر ما تترافق هذه الآفة مع الشكل المديني الناجم عن الليشمانية المدارية L.tropica (11) مع أن الليشمانية الذئبانية غير مخربة بدرجة الذأب الشائع، إلا أنها قد تستمر وتنتشر ببطء لسنوات عديدة، ميز بعض الباحثين بين الليشمانية الناكسة والليشمانية الذئبانية أو المزمنة وقالوا أن الأولى تحدث بعد شفاء ظاهري للآفة البدئية أما حالياً تعتبر الآفتين متطابقتين (42).

**1-1-10-1-4- قرحة شيكلرو Chiclero ulcer:** وهي شكل جديد من الليشمانية الجلدية القرحية يصيب صيوان الأذن، وبخلاف الشكل القرحي النموذجي، فإن قرحة شيكلرو لا تشفى عفويا خلال عدة أشهر بل تتحول إلى ليشمانية مزمنة تستمر لسنوات محدثة تدميرا وتشويها في غضروف صيوان الأذن، يشاهد هذا الشكل في أمريكا الوسطى وينجم عن الإصابة بالليشمانية المكسيكية (41).

**1-1-10-1-5- داء أوتا uta:** وهو شكل خاص من الليشمانية الجلدية، يتميز بأفات متعددة صغيرة تشفى عفويا، وميزة هذا الشكل هي حدوثه في مناطق مرتفعة جدا عن سطح البحر مقارنة بباقي أنواع الليشمانية، حيث يصادف هذا الشكل في جبال الأنديز في البيرو والأرجنتين، وينجم عن الإصابة بالليشمانية البيروفية ومستودعها هو الكلاب.

#### **1-1-10-1-6- الليشمانية الجلدية المنتشرة Disseminated cutaneous leishmaniasis (DCL)**

يبدأ المرض بعقيدة مفردة تنتشر موضعيا معطية آفات تابعة متعددة ولاحقا تعطي نقائل جلدية بعيدة تمتد على مساحات واسعة من سطح الجسم تمتاز باحتوائها عدد كبير من الطفيليات ولكنها لا تتقرح ولا تعطي انتشارا للأحشاء، وإنما تستمر بإزمانها لسنوات عديدة دون حدوث شفاء عفوي وتشبه الصورة السريرية الجذام الجذومي، يعزى المرض إلى خلل في دفاعات الثوي تجاه أنواع معينة من الليشمانية حيث يكون اختبار الليشمانيين سلبيا (40)، ويكثر حدوثه عند مضعفي المناعة وبشكل خاص مرضى الايدز (40)، العامل المسبب لهذا الشكل من الإصابة في العالم القديم هو الليشمانية الأنثيوبية وخازنها الزلم، وفي العالم الجديد هو الليشمانية الأمازونية (من مجموعة الليشمانية المكسيكية) ومستودعها هو قوارض الغابة.

#### **1-1-10-1-7- أشكال أخرى من الليشمانية الجلدية:**

أكتشف حديثا وجود أشكال سريرية جديدة غير وصفية للمرض كالشكل الداحسي الحاد، والشكل المواتي، والحلقي، والراحي الأخمصي (43) والطفح الشبيه بالأكزيما (44) والليشمانية الشبيهة بالحمرة التي تظهر بشكل بقع ولويحات متصلبة حمامية على الوجه والأنف تشبه الحمرة (45)، سبب هذه الأشكال غير معروف ويمكن الشك بدور السلالات الطفيلية المسببة وبلاستجابة المناعية للمضيف (43،45).

#### **1-1-10-1-2- الليشمانية الجلدية المخاطية Mucutaneous Leishmaniasis (MCL):**

وتدعى أيضا الاسبونديا Espundia، وهي إصابة مزمنة وخطيرة تظهر بعد فترة قد تمتد لسنوات من الإصابة الجلدية، حيث تصاب المخاطية الأنفية وقد تظهر الإصابة أيضا في البلعوم و الحنك والحنجرة أو الشفى العلوية، تكون الآفة البدئية عبارة عن عقيدة تظهر على القرين

السفلي أو الحاجز الأنفي، تترافق بأعراض زكام أو رعاف نتيجة الوذمة والالتهاب (40)، تستمر الإصابة سنوات عديدة مؤدية إلى تدمير نسيجي واسع يتخرب فيها حاجز الأنف، ويمكن للتخريب أن يمتد إلى الحنك والشفاه أو إلى السبيل التنفسي العلوي محدثا صعوبات في التكلم وتناول الطعام والتنفس فضلا عن التشوه الشكلي الشديد، ويمكن أن يموت المريض بسبب خمج ثانوي أو بسبب سوء التغذية أو القصور التنفسي (40).

ينجم هذا الشكل من الإصابة عن مجموعة الليشمانية البرازيلية خاصة البرازيلية التي يعتقد أن مستودعها هو القوارض (40).

### 1-1-10-3- الليشمانية الحشوية Visceral leishmaniasis:

وتسمى أيضا الكلازار أي الحمى السوداء، وهي الشكل الأكثر خطورة بين أدواء الليشمانية. ينجم هذا الداء في الهند والسودان عن الليشمانية الدونوفانية ذات المستودع الانساني، أما في دول حوض البحر الأبيض المتوسط فينجم عن الليشمانية الطفلية وفي دول أمريكا اللاتينية عن الليشمانية الشاغازية وكلاهما ذو مستودع حيواني (الكلاب والثعالب).

يمر المرض سريريا بعدة مراحل من مرحلة الحضانة التي تمتد بين 3-6 أشهر ثم مرحلة الغزو (الأعراض السريرية) وتظهر فيها بشكل أساسي الحمى وضخامة الطحال وفقر الدم وقد يحدث ضخامة كبدية والتهاب بسيط في عدد من العقد اللمفاوية، كما تظهر تصبغات جلدية داكنة سوداء خاصة على الوجه واليدين والقدمين وهذا ما دعا إلى تسمية المرض بالكلازار أي الداء الأسود. أهم اختلاطات الداء الحشوي هو المتلازمة النفروزية، وفي حالات نادرة إصابات على مستوى الجهاز العصبي المركزي، المرض مميت خلال سنتين ما لم يعالج وقد تحدث إنتانات مرافقة كالسل وذات الرئة وتكون مميتة أيضا. وقد يتطور ما يسمى بالليشمانية الجلدية التالية للكلازار PKDL وتظهر بعد الشفاء بـ 1-2 سنة ويبدأ ببقع ناقصة الصباغ تشبه الجذام الجذومي، تتطور مع الزمن عقيدات وحطاطات مكان هذه البقع على الوجه والذقن والإذنين وعلى السطوح الباسطة للذراعين والساقين والليتين، يستمر المرض سنوات عديدة ولا يحدث تراجع عفوي للمرض ولكن لا تشاهد إصابة حشوية، والعامل المسبب هنا هو الليشمانية الدونوفانية.

تكون نسبة حدوث PKDL 20% من مرضى الليشمانية الحشوية في الهند، و5% في شرق افريقيا ويكون ظهوره هنا أسرع من الشكل الهندي حيث يتطور المرض أثناء فترة النقاهة (40).

هناك شكل نادر من الليشمانية الحشوية سجل عند بعض الجنود الأمريكيين أثناء حرب الخليج الأولى وتميز بالوهن والإسهال المتقطع والحمى والسعال دون أن يترافق بالتظاهرات الوصفية

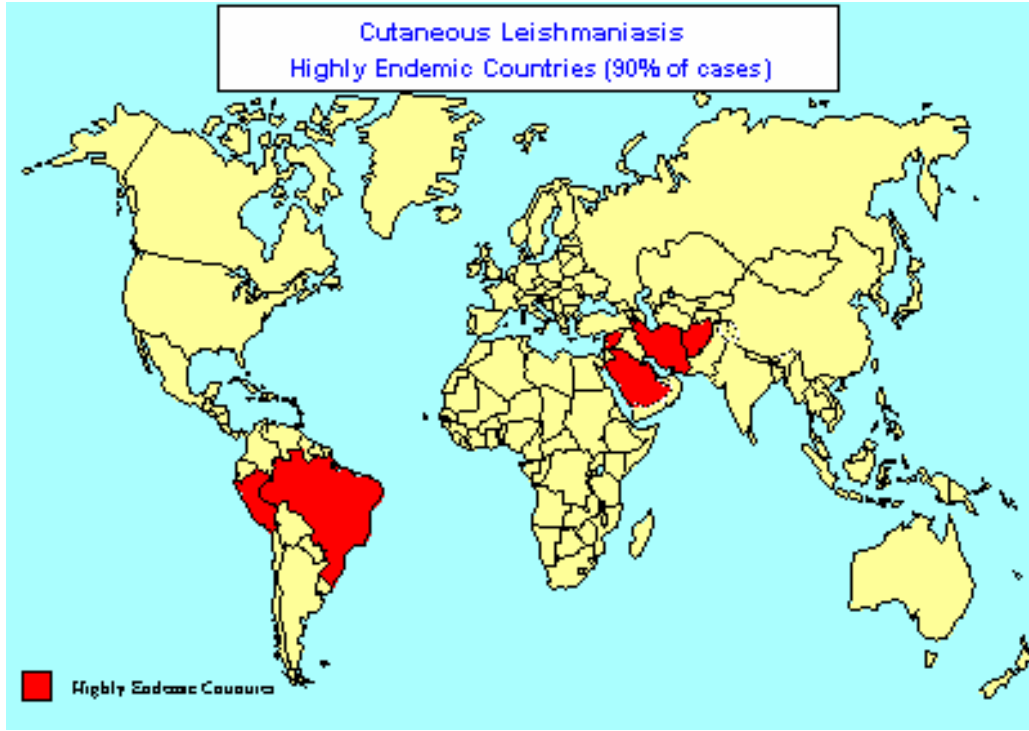
للليشمانيّة الحشوية ودون آفة جلدية مرافقة دعي المرض بالليشمانيّة المنحازة حشويا viscerotropic وينجم عن الليشمانيّة المدارية (20).

### 1-1-11- الوبائيات Epidemiology:

إن لأدواء الليشمانيّة بأشكالها السريرية الثلاثة انتشارا عالميا واسعا، فهناك حوالي 12 مليون مصاب بالمرض و350 مليون شخص معرض للإصابة، وذلك في 88 بلدا حول العالم يتوطن فيها المرض WHO (2)، ويقدر معدل الوقوع السنوي بـ 1-1.5 مليون إصابة من الليشمانيّة الجلدية و0.5 مليون إصابة من الليشمانيّة الحشوية، وما تزال نسبة الحدوث العالمية في ارتفاع، كما أنه قد حدثت بؤر جديدة لاستيطان المرض خلال العقود الأخيرة وكان من الصعب ضبط الجائحات أيضا، هذا و يعزى الارتفاع الحاد في عدد الحالات المسجلة وزيادة المناطق التي يستوطن فيها المرض إلى الحركة السكانية والهجرة.

أما في الدول الغربية يزداد حدوث الليشمانيّة بسبب ترافقه مع الايدز والسياحة، ويقدر أنه بين 1.5-9.5% من مرضى الايدز مصابين بالليشمانيّة (46).

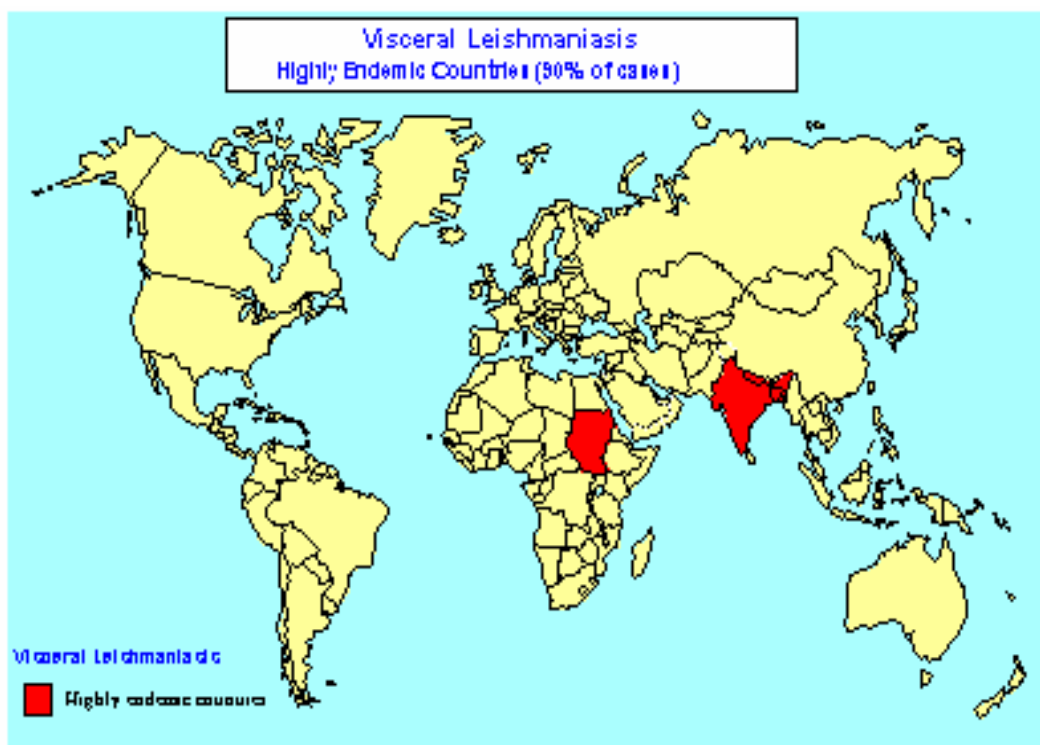
وحسب إحصائيات منظمة الصحة العالمية فإن 90% من حالات الليشمانيّة الجلدية تحدث في أفغانستان والبرازيل وإيران والبيرو والسعودية وسوريا، ويوجد الشكل الجاف أو المديني في الشرق الأوسط وآسيا الوسطى (سوريا ولبنان وفلسطين والعراق والأردن والسعودية واليمن والمغرب وتركيا وإيران) بالإضافة لجنوب أوروبا والهند وتسببه الليشمانيّة المدارية وخازنه الرئيسي هو الإنسان (47)، أما الناقل فهو الفاصدة السيرجنتية، بينما ينتشر الشكل الرطب أو الريفي إضافة إلى ما سبق في مناطق شمال أفريقيا وجنوب الهند وفي الشرق الأوسط (باكستان، إيران، أفغانستان، تركيا، سوريا، الأردن، فلسطين، السعودية، الكويت، تونس، مصر) وتسببه الليشمانيّة الكبرى التي تتطفل على القوارض وتعد إصابة الإنسان بها صدفة (48) والناقل هو الفاصدة الباباتاسية، في حين تشاهد الليشمانيّة الأثيوبية في شرق أفريقيا (مرتفعات أثيوبيا وكينيا والسودان) وتنقلها الفاصدة مزرقّة الأرجل ph.pedifer والفاصدة طويلة الأرجل ph.longipes



الشكل (11) مناطق توطن الليشمانية الجلدية في العالم.

أما بالنسبة لليشمانية الجلدية المخاطية فإن 90% من الإصابات تحدث في بوليفيا، البرازيل والبيرو يسببها معقد *L.braziliensis* خاصة نوع البرازيلية البرازيلية *L.b. braziliensis* المسؤول عن داء اسبونديا، ويكون المستودع هو قوارض الغابة والناقل بعض أنواع جنس اللوتزومية.

تحدث 90% من الليشمانيا الحشوية في بنغلادش و البرازيل و الهند ونيبال والسودان، ويعد معقد الدونوفانية *L.donovani complex* مسؤولاً عن الإصابة بها، فقد وجد أن نوع الليشمانية الدونوفانية الطفلية *L.d.infantum* يسبب ما يسمى بنمط البحر المتوسط وينتشر في الدول المحيطة بالبحر المتوسط ومنها سوريا وشمال افريقيا (مصر) وجنوب أوروبا وروسيا وكذلك في الصين، ومستودعه حيواني المنشأ (الكلاب والقوارض البرية)، وناقله الفاصدة الوبيلة *P.ariasi* و *P.perniciosus*، في حين يكثر نوع الليشمانية الدونوفانية الدونوفانية *L.d.donovani* المسؤول عن الداء الحشوي ذو النمط الهندي في وسط وشرق افريقيا وفي بعض الدول الآسيوية وبخاصة الهند، ويكون مستودعه انساني أما الناقل فهو الفاصدة فضية الأرجل *P.argentipes*، أما في أمريكا الجنوبية والوسطى فتنتشر نوع الليشمانية الدونوفانية الشاغاسية *L.d.chagasi* ومستودعه الكلاب والقوارض وناقله اللوتزومية طويلة اللوامس *Lutzomyia longipalpis* (40).



الشكل (12) مناطق توطن الليشمانية الحشوية في العالم (2).

### 1-1-12- واقع الليشمانية في سوريا:

عرف داء الليشمانيات في سوريا بنوعيه الجلدي والحشوي منذ مطلع القرن الماضي (49،50)، وقد سجلت إصابتان بالليشمانية الحشوية عند الأطفال وعند بعض الكلاب في منطقة كسب سنة 1958 (51)، وفي سنة 1965 جمع خبير من منظمة الصحة العالمية معلومات عن الليشمانية في سوريا (52)، وكذلك أجريت دراسة عن وضع الليشمانية الجلدية فيها سنة 1976 (53)، ولكن قبل سنة 1980 كانت الليشمانية الجلدية محصورة في حلب بسبب رش الـ DDT ضد الملاريا (54)، فيما بعد حدثت عدة جائحات محلية شملت أغلب محافظات القطر ويظهر الجدول التالي عدد الحالات المسجلة خلال العشرين سنة الماضية في سوريا.

السنة	1990	1991	1992	1993	1994	1995	1996	1997	1998	1999
الليشمانية الحشوية	—	—	—	—	—	15	25	30	44	55
الليشمانية الجلدية	12561	15034	10860	12288	15717	17109	14010	12027	8893	12832
السنة	2000	2001	2002	2003	2004	2005	2006	2007	2008	2009
الليشمانية الحشوية	37	29	37	36	20	17	4	11	17	16
الليشمانية الجلدية	19837	24839	21560	28881	26878	21950	18741	17709	29140	46348

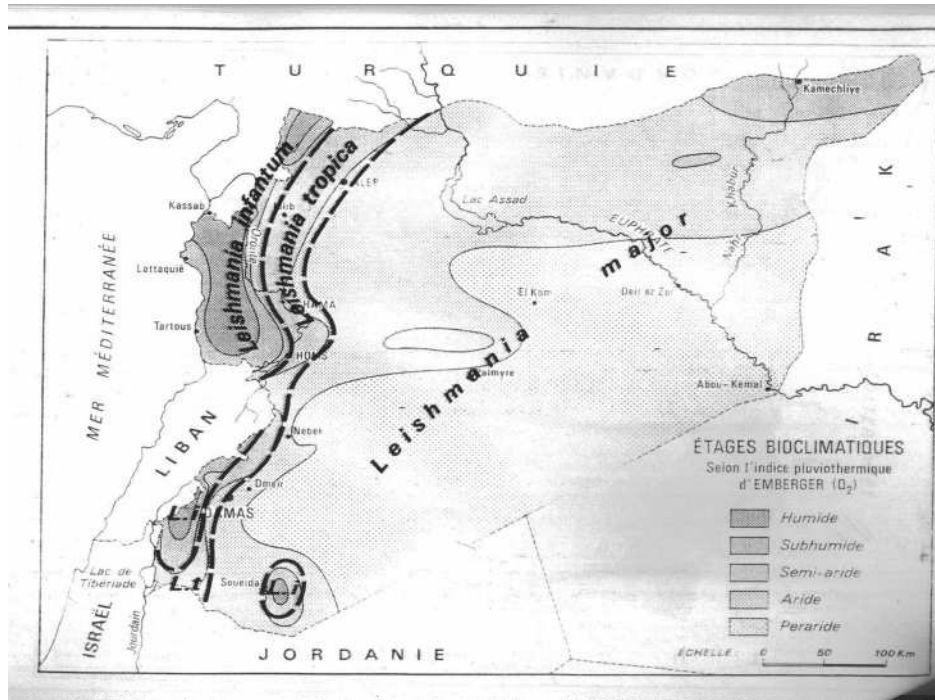
الجدول (2) يوضح عدد حالات الليشمانية المبلغ عنها خلال 20 سنة في سوريا حسب النشرة الإحصائية الصحية الصادرة عن وزارة الصحة في سوريا.

ينجم المرض في سوريا عن ذراري متعددة تم تصنيفها إنزيميا وهي :

**1-12-1-1- الليشمانية المدارية *L.tropica***: وتسمى anthroponotic كون الإنسان هو الخازن الأساسي لها، وتسبب الليشمانية الجلدية الجافة وتشكل 85-90% من الإصابات في سوريا وتتواجد في المناطق نصف الجافة أو شبه الجافة (حلب، ادلب، حماه، اللاذقية، طرطوس، وريف دمشق كمناطق قدسيا ودمر والهامة وجبل قاسيون)، أما العامل الناقل فهو الفاصدة السيرجنتية، والطفيلي المسبب هو *L. tropica* MON-76 (54).

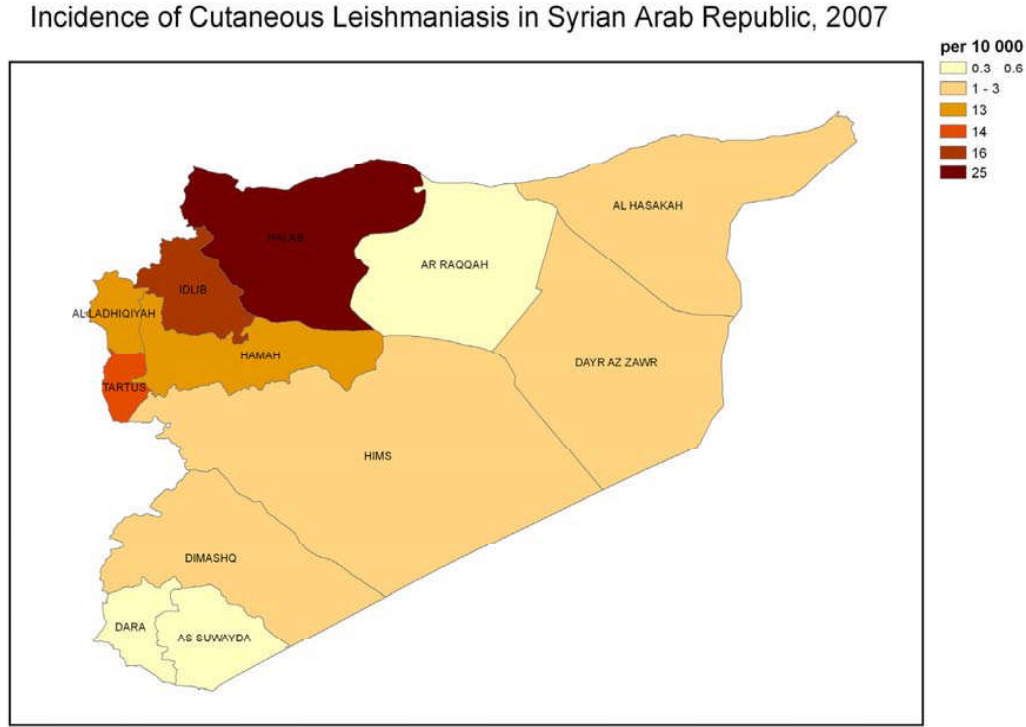
**1-12-1-2- الليشمانية الكبيرة *L.major***: وتسمى zoonotic كون خازنها هو القوارض منها الرمل البدين *Psammomys obesus* وتتهم أيضا *Meriones* و *Nesokia indica*، أما الآفة الجلدية فهي من نوع الليشمانية الرطبة وتنتشر في المناطق القاحلة والصحراوية (دير الزور وقرى حوض الفرات والبوكمال ودمشق وريفها (النبك، الرحيبة، قارة، دير عطية، الضمير، عدرا، الزبداني) وتشكل 10-15% من الإصابات في سوريا أما العامل الناقل فهو الفاصدة الباباتاسية والطفيلي المسبب هو *L.major* MON-26 (55،56).

**1-12-1-3- الليشمانية الحشوية *visceral leishmaniasis***: وتوجد في المناطق الرطبة وشبه الرطبة أي في المناطق الساحلية وسلسلة الجبال الساحلية (ادلب، كسب، اللاذقية، درعا) مستودعها: الكلاب الشاردة أما الناقل فهو *ph.tobbi*. وتسببها MON-1 الطفلية (57،58).



الشكل (13) توزع الليشمانية حسب المناخ في سوريا.

ولابد من الإشارة إلى أن تزايد عدد البلاغات وظهور إصابات جديدة بهذا الداء يعود إلى الهجرة السكانية العشوائية، والتوسع العمراني والزراعي، وكذلك توفر المناخ والتربة الملائمة لحياة الفاصدة الناقلة والحيوان الخازن، وانعدام شروط الصحة والنظافة، وشبكات الصرف الصحي المكشوفة خاصة في أطراف بعض المدن التي ينتشر فيها السكن العشوائي (حيث تتراكم أكوام القمامة ومخالفات البناء) (59،60).



الشكل (14) يظهر معدل وقوع الليشمانية الجلدية في المحافظات السورية خلال 2007.



## 1-1-13-1- التشخيص :Diagnosis

### 1-13-1-1- التشخيص المباشر Direct diagnosis:

#### 1-1-13-1-1- الفحص المجهرى المباشر Direct microscopic test:

يعد من الطرق الأكثر استخداما في تشخيص الآفات الجلدية لأنها بسيطة وسريعة ولا تحتاج إلى كلفة عالية، تظهر اللاسوطيات داخل الخلايا البالعة الكبيرة وخارجها بعد تلوين اللطاخات الجلدية بغيمزا كأجسام زرقاء شاحبة بيضوية مع نواة حمراء قاتمة وصانعة محركة صغيرة نقطية الشكل.

تحضر لطاخات الفحص المباشر من القرحة، حيث تدخل ابره عقيمة متوسطة الحجم مع أو بدون حقن 0.01-0.05 مل مصل ملحي عقيم ثم تحرك الإبرة حركة دائرية حول مركزها مع ضغط خفيف للداخل لتحرير بعض الخلايا ثم تسحب حتى نحصل على كمية ضئيلة من النسج، ثم توضع على صفيحة زجاجية وتترك لتجف كما يمكن إجراء الفحص المباشر للطاخة مأخوذة من حواف شق جلدي تم إجراءه بواسطة شفرة قياس 11 ضمن العقيدة، هذا وتصل حساسية هذه الطريقة لغاية 60% (61).

أما لتشخيص الليشمانية الحشوية فيعتبر تلوين بزالة الطحال هو الأعلى حساسية 96% ولكن يحذر من خطورتها، يليها بزل نقي العظم بحساسية 70% ثم بزل العقد اللمفاوية 58% (62).

#### 1-1-13-1-2- الزرع Culture:

تزرع العينة عند الشك بوجود إصابة بالليشمانية وعدم القدرة على كشف الطفيلي في عينة الفحص المباشر، ويعتبر الزرع وسيلة أساسية في عزل الليشمانية وإكثارها بهدف إجراء التنميط النوعي بالطريقة الأنزيمية isoenzyme أو تقنيات البيولوجيا الجزيئية باستخدام الـDNA. يستعمل عادة وسط ثنائي الطور كـ(Novy-Neal-Nicolle) ويتألف من 3.5 غرام أغار و1.5 غ كلوريد الصوديوم و250 مل ماء مقطر ودم أرنب منزوع الليفين بنسبة 15-30% وصادات حيوية (بنسلين، سترپتومايسين) ومضاد فطري هو الفلورسيتوزين يتم الحضان بدرجة 22°-27° يتم تحري الأشكال أمامية السوط أسبوعيا ولا يعتبر الزرع سلبيا إلا بعد مرور 4 أسابيع على إجراءاته ومن أوساط الزرع الأخرى (11):

- وسط ايفانس Evans medium: وهو وسط غني غذائيا يستخدم بشكل ناجح لعزل أنواع كثيرة من الليشمانية في العالم القديم والجديد بشكله الصلب والسائل.
- وسط شنايدر Shneider medium: وهو وسط حساس جدا تنمو فيه الممشوقات خلال 5-5 أيام.

- وسط MEM FCS EBLB Medium: وهو وسط غني غذائيا مناسب للنمو فقط وليس لعزل كل أنواع الليشمانية.
- وسط Revivingailing: وهو وسط نصف صلب مناسب لنمو أنواع الليشمانية.
- وسط USAMRU: وهو وسط غني غذائيا مفيد في عزل ونمو الليشمانية بشكله الصلب والسائل.
- وسط جنين الدجاج: ويستعمل أيضا لزراعة الأنواع المختلفة من الليشمانية.
- وسط RPMI-1460: وهو وسط غني غذائيا مناسب لنمو طفيليات الليشمانية وليس لعزل أي نوع ليشماني.

تختلف حساسية هذه الطريقة وذلك حسب عيشة الطفيليات في العينة ووسط الزرع ووجود انتان ثانوي وخبرة الفني كما أنه وسيلة مكلفة وتحتاج وقت طويل (61).

#### 1-1-13-3- حقن حيوانات التجربة Animal inoculation:

تطبق هذه الطريقة في تشخيص الإصابات بطفيليات صعبة الزرع كالليشمانية البرازيلية وفي الحالات السلبية بطرق التشخيص السابقة مع الشك بالإصابة سريريا، ولكنها لا تستعمل كطرق تشخيص روتينية لأنها تحتاج لمدة طويلة لتأكيد الإصابة أو نفيها (63).

يعد الهامستر أو القنطرة المتوسطي الذهبي *Mesocricetus auratus* وفأر الـ BALB/C من أكثر الحيوانات المستعملة للحقن ويحقن في جلد الأنف وظهر القدم حيث يتكاثر الطفيلي وتبقى لـ 7-10 أيام أو لعدة أسابيع، إذ يحدث انتفاخ مكان الحقن وتؤخذ بعدئذ عينة من الآفة أو خزعة نسيجية أو من الطحال تبعا لنوع الليشمانية الممرضة ليطبق عليها الفحص المجهرى المباشر.

تجمع هذه الطريقة ميزات الوسط الحي *in vivo* ووسط الزجاج *in vitro* معا

#### 1-1-13-4- الخزعة الجلدية Dermal biopsy:

تجرى في حال الشك بالتشخيص ويجب زرع جزء منها وإجراء لطاخة من الوجه المقطوع للجزء الآخر قبل تثبيته (طريقة اللطاخة الانطباعية باللمس) (42) والبحث عن الطفيلي فيها حيث تعطي حساسية أعلى قد تصل لـ 76% (64).

## 1-13-1-2- Indirect diagnosis التشخيص اللامباشر

### 1-13-1-2-1- Evaluation of cellular immunity تحري المناعة الخلوية

#### 1-13-1-2-1-1 Leishmanin test (LST) or اختبار الليشمانين أو اختبار مونتينغرو

##### Montenegro skin test

ويجرى بحقن 0.5 مل من معلق الليشمانين (وهو عبارة عن مستضدات لأماميات السوط المزروعة المقتولة بالفينول في الوجه الراحي للساعد (داخل الأدمة) ويقرأ ناتج الحقن بعد 48-72 ساعة فإذا حدثت حمى متصلة بقطر 5 ملم أو أكثر يعتبر الاختبار ايجابيا (39). يعد هذا الاختبار ممثلاً لاختبار السلين (40)، ويصبح ايجابيا عند الأشخاص الذين لديهم تماس سابق مع الليشمانية والذين تطورت لديهم مناعة خلوية و يحدث الانقلاب من السلبية للإيجابية بعد عدة أسابيع في الليشمانية الجلدية أما في الحشوية فيحدث بعد المعالجة والشفاء (39)، وهذه أهم الحالات التي يكون الاختبار ايجابيا فيها (39،65):

- إصابة سابقة.
- إصابة حالية بداء الليشمانيات الجلدي (عند الوصول لمرحلة النقش).
- إصابة حالية بالليشمانية الجلدية المخاطية.
- بعد الشفاء من الليشمانية الحشوية.
- إصابة تحت سريرية لأدواء الليشمانية "ايجابي عند أشخاص أصحاء في مناطق توطن الليشمانية" (أشخاص تعرضوا للإصابة و لم تظهر عليهم أعراض مرضية " عديمي الأعراض").
- ايجابي بشدة في الليشمانية الناكسة.

ويكون سلبيًا في الداء الحشوي الفعال والداء الجلدي المنتشر والجلدي الحديث الذي لم تتجاوز مدة إصابته شهرا واحدا.

تبلغ حساسية هذا الاختبار 85% ونوعيته 100%، ولا يوجد اختلافات هامة إحصائية تتعلق بالعمر والعرق أو حجم الآفة أو نوع الليشمانية (65)، كما يمكن استخدامه في الدراسات الوبائية لداء الليشمانية الجلدي حيث تعتبر ايجابيته بنسبة 5% من سكان منطقة ما مشعرا لتوطن الداء فيها (66).

### 1-1-13-2-1-2-اختبار تكاثر اللغافويات Lymphocyte proliferation assay (LPA):

ويجرى بحضن لغافويات الدم المحيطي مع خلاصة مسوطات ليشمانية لمدة 6 أيام وقياس مدى تكاثرها (67)، ويستخدم أيضا لمعرفة الاستجابة الخلوية ويكون ايجابيا في الإصابة الحالية والسابقة لليشمانية (68).

### 1-1-13-2-2-الاختبارات المناعية المصلية Immuno –Serological assays:

تعتمد هذه الاختبارات على كشف الأضداد الجواله في المصل، وتستخدم بشكل أساسي لتشخيص داء الليشمانيات الحشوية الذي تتدخل فيه المناعة الخلطية وذلك بإنتاج كمية من الأضداد تنتشر في الدوران، في حين استخدم هذا الاختبار بشكل محدود لتشخيص الإصابة الجلدية بسبب انخفاض عيار الأضداد (69،70)، من مساوئ هذه الاختبارات أن لها تفاعلات متصالبة مع أمراض أخرى مما يجعل تفسير النتائج أمرا صعبا (71)، بالإضافة لانخفاض مصداقيتها عند مضغفي المناعة (72،73)، ومع ذلك تستخدم في الدراسات والمسوحات الوبائية ونذكر منها:

### 1-1-13-2-2-1-التراص المباشر (DAT) Direct agglutination test:

ويعتبر اختبارا مسحيا مناسباً، ويعتمد على التراص بين المصول الايجابية والمستضدات الملونة والمثبتة، في دراسة على ليشمانية جلدية معالجة بلغت حساسية الاختبار 100% ونوعيته 99.3%، كما أن استخدام مستضدات مجففة ومبردة والتي تعد أكثر ثباتا زاد أهمية استخدامها في الدراسات الحقلية (74).

### 1-1-13-2-2-2-المقايسة بطريقة الممتز المناعي المرتبط بالأنزيم Enzyme linked immunosorbent assay (ELISA)

ويتم كشف الأضداد بواسطة مستضدات مثبتة في آبار خاصة يضاف إليها ضد الضد المرتبط بأنزيم معين يكشف باستعمال ركيزة خميرية خاصة. لقد استخدم اختبار الاليزا في تشخيص الليشمانية الجلدية في سوريا وبلغت حساسيته ونوعيته 92.5% و 100% على الترتيب (75).

استخدم في الآونة الأخيرة المستضد النوعي المأشوب (rK39 recombinant Kinesin 39) الذي تتشكل تجاهه أضداد نوعية للكشف عن داء الليشمانيات الحشوي الذي يسببه أحد الطفيليات التابعة لمعقد L.d.complex، حيث بلغت درجة حساسية ونوعية اختبار المقايسة المناعية باستخدام هذا المستضد 100% تقريباً (76).

### 1-1-13-2-3- التآلق المناعي (IFA) Immunofluorescence assay:

يُطبق اختبار التآلق المناعي باستخدام العناصر المسوطة لطيفلي الليشمانية كمستضدات وضد الـ IgG المعلم بمادة مفلورة غالباً، وتظهر إيجابية هذا الاختبار بملاحظة تآلق كامل العنصر المسوط بما فيه السوط وذلك باستعمال مجهر خاص لقراءة صفائح التآلق، وقد أشارت دراسات عديدة حول تشخيص داء الليشمانيات باختبار التآلق المناعي باستخدام مستضدات نقية لطيفلي الليشمانية الدونوفانية أو الطفلية أو المدارية أو الكبيرة إلى ارتفاع درجة حساسية هذا الاختبار ونوعيته لعدم حدوث أية تفاعلات متصالبة مع أمراض أخرى: كالسل والملاريا الخ (63،77).

### 1-1-13-2-4- البقعة الغربية Western blot:

ويتم فصل البروتينات المستضدية لطيفلي الليشمانية بواسطة الرحلان الكهربائي، ثم يتم حضنها مع مصل المريض وفي هذه المقايضة يمكن وبنفس الوقت تمييز أضداد مختلفة باستخدام عدة منتجات مستضدية (40).

وقد وجد في مصول مرضى الليشمانية الجلدية التالية للكلازار PKDL أضداد لمستضدات 65 و110 كيلو دالتون غير موجودة عند مرضى الليشمانية الحشوية الذين ليس لديهم PKDL وبذلك يمكن الاستفادة من هذه الميزة لكشف هذا الاختلاط (78).

### 1-1-13-2-5- اختبار شريط الاستشراب المناعي Immunochromatographic strip –test (ICT)

تم حديثاً تطوير rk39 dipstick ويتم فيه ربط المستضد rk39 ذو القدرة العالية على توليد الأضداد بركيزة خاصة تضاف إليها مصل المريض وعند رحلان الأضداد – anti-K39 antibody ضمن الركيزة وتفاعلها مع المستضدات تعطي شريطاً لونياً يشاهد عياناً (79). والمستضد rk39 هو مستضد مأشوب تم الحصول عليه نتيجة عملية دمج مشتق من اتحاد 39 حمض أميني مكرر في طيفلي الليشمانية الشاغاسية (80)، وقد وجد أن حساسية الـ dipstick rk39 100% ونوعيته 100% عند تطبيقه على مرضى الليشمانية الحشوية في نيبال وفينزويلا (80،81).

إن الشكل الأحدث لهذا الاختبار هو استخدام الهلام كركيزة حيث يتم إضافة كل من العينة (المصل) والمستضدات إلى الهلام لتندمج ضمنه وفي حال وجود الأضداد ضمن العينة فإنها ترتبط مع المستضدات مشكلة معقد مناعي يظهر عياناً بشكل جزيئات دقيقة حمراء اللون على سطح الهلام أو منتشرة ضمنه (79).

يمكن استخدام هذا الاختبار في المسح الوبائي للمناطق الموبوءة بالليشمانية الحشوية كونه من الطرق الحديثة والسريعة بالتشخيص (79).

### 1-13-1-3- Identification of Leishmania speices and subspecies

**1-13-13-1-1- تحليل نظائر الإنزيم isoenzyme analysis:** وتعتبر طريقة مرجعية مقبولة لتشخيص نوع وسلالة الليشمانية، ويعتمد على حركية الرحلان الكهربائي إما على هلامية النشاء أو على أسيتات السللوز باستخدام شدة تيار منخفضة وفترة ترحيل طويلة، ثم مقارنة النمط الإنزيمي للذري (السلالات) المدروسة بسلالات مرجعية من أجل تحديد سلالات طفيلي الليشمانية التي يكون لها نمط إنزيمي متماثل (هجرة إنزيمية للمكان نفسه) وجمعها في وحدات تصنيفية "Zymodeme" (جمهرة وراثية إنزيمية)، حيث تم التأكيد على ضرورة دراسة حركية 10-20 إنزيم على الأقل من أجل تصنيف سلالة جديدة في zymodemes (63،82) وقد وجد أن الليشمانية المنحازة حشويًا والليشمانية الطفيلية الدونوفانية المنحازة جلدًا تختلف في وحداتها التصنيفية الـ zymodemes (83).

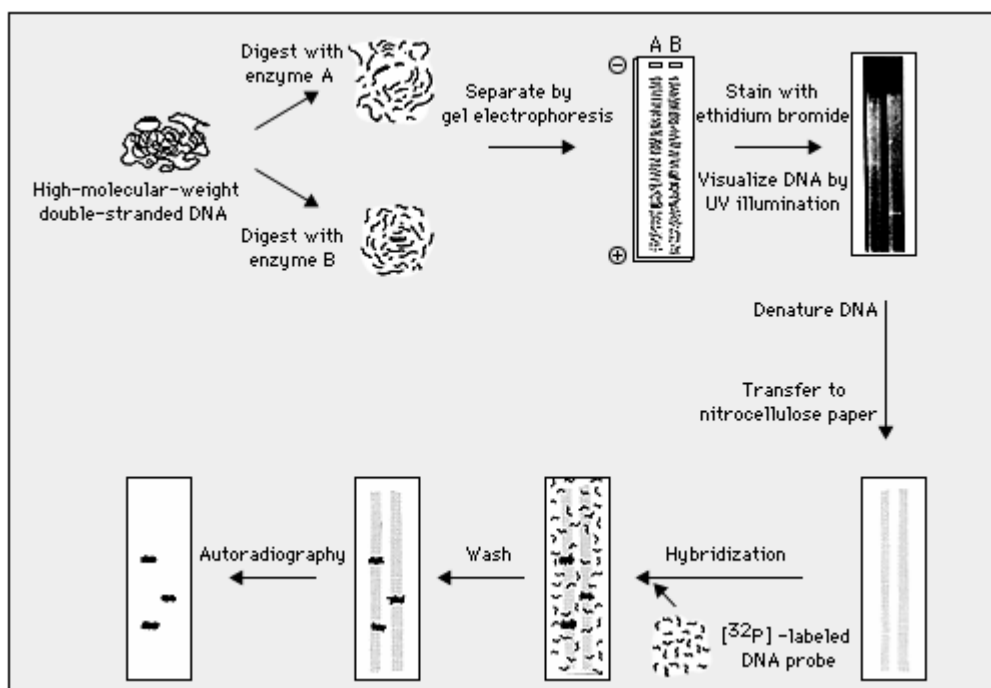
تعتبر هذه الطريقة مكلفة وطويلة ولا يمكن إجراؤها إلا في مخابر مرجعية خاصة والتي غالبًا ما تسمى السلالات الجديدة بأسمائها مثال LON- for London School of Hygiene Tropical Medicine, or MON- for University of Montpellier ومع ذلك استخدمت هذه الطريقة بشكل واسع الانتشار في التصنيف (84،85).

### 1-13-1-2- العامل المفرز (EF): Excreted factor

ويشير العامل المفرز إلى مستضدات منحلة توجد في الوسط الذي تنمو فيه أماميات السوط، يجري انتشار بالجيل للوسط الزراعي حيث يتم ترسيب الـ EF بالأضداد الليشمانية لنفس النوع (40).

### 1-13-1-4- الأساليب التشخيصية المعتمدة على الدنا DNA based methods

**1-13-1-4-1- الأساليب الكلاسيكية (التقليدية) Classical methods:** التي تعتمد على التهجين والتقطيع ومنها البقعة الجنوبية Southern blotting وذلك باستخدام المسابير المعلمة (الموسومة) للتهجين حيث تلتصق الأشكال الأمامية السوط المغسولة على فلاتر من النتروسللولز ويتم تهجينها مع قطع مأشوبة وموسومة من الحلقة الصغيرة minicircle للطفيلي وتعتبر من الطرق الحساسة في التشخيص (86).



الشكل (15) مراحل التهجين.

#### 1-1-13-2- أساليب حديثة تعتمد على التفاعل السلسلي للبولىميراز

Modern methods based on the polymerase chain reaction (PCR):

يعتمد مبدأ التفاعل السلسلي البولىميرازي PCR على عمل إنزيم النسخ الذي يعرف باسم DNA polymerase، حيث يقوم هذا الإنزيم بتركيب جزيئة مضاعفة من الـ DNA من القالب أو النسخة الأصل من الـ DNA في الدورة الأولى من عملية المضاعفة في جهاز الدوار الحراري وتصبح الجزيئات القديمة والجديدة القالب الثاني لدورة أخرى من النسخ وهكذا تتم عملية النسخ في كل دورة بزيادة أسية، وبذلك يمكن أن نحصل من جزيئة DNA مفردة على ملايين النسخ من الـ DNA المراد مضاعفته بواسطة هذا التفاعل خلال عدة ساعات فقط وللقيام بهذا التفاعل لابد من توفر المواد التالية:

1- البادئات Primers: والبادئة أو المشرع عبارة عن تسلسل من النوكليوتيدات

oligonucleotides (10-25 أساس أزوني) قادرة على الارتباط مع الأسس

الآزوتية للحمض النووي المراد تضخيمه، وذلك في منطقة ذات ترتيب مميز

ونوعي من الحمض النووي.

2- كميات كافية من النوكليوتيدات ثلاثية الفوسفات منقوصة الأوكسجين

deoxynucleoside triphosphates dATP, dCTP, dGTP, dTTP

(dNTPs) للمشاركة في تشكيل قطع الـ DNA المستنسخة.

3- إنزيم نسخ الـ DNA polymerase: مقاوم للحرارة المرتفعة

كإنزيم Taq polymerase لتشكيل قطع الـ DNA الجديدة .

4- محاليل واقية Buffers: لتوفير الوسط المناسب للتفاعل.

5- شوارد المغنيزيوم  $Mg^{+2}$ : من محلول كلور المغنيزيوم التي تعتبر عامل مساعد

لإنزيم البوليميراز .

6- ماء مقطر.

7- عينة الـ DNA.

### مراحل عملية الـ PCR:

1- مرحلة الانشطار أو التسخين Denaturation: يرفع جهاز الدوار الحراري درجة

الحرارة إلى  $94^{\circ}C$  مما يؤدي إلى فصل شريط الـ DNA المضاعف إلى سلسلتين مفردتين.

2- مرحلة ارتباط المشرع أو التطويع Annealing: يخفض الجهاز الحرارة إلى الدرجة

$(40-60)^{\circ}C$  م حسب نوع البادئة المستخدمة إذ أن لكل بادئة درجة حرارة مثلى لارتباطها

على شريط الـ DNA المفرد حيث تتم ارتباط (تزاوج) البادئة دائما على الموقع المناسب بالاتجاه 5 إلى 3 وذلك تبعا لتتطابق الأسس المكونة لها مع السلسلة المفردة لشريط

الـ DNA.

3- مرحلة النسخ أو الامتداد Extension: يرفع الجهاز درجة الحرارة إلى  $72^{\circ}C$  م (الدرجة

المثلى لعمل إنزيم النسخ Taq polymerase) حيث يقوم الإنزيم بنسخ سلسلة متممة

لسلسلة الـ DNA المفردة وذلك بإضافة النوكليوتيدات (dNTPs) من الطرف 5 إلى 3

قارئة من القالب من 3 إلى 5 وهكذا تعاد المراحل السابقة في الدورة الثانية وهكذا حتى

نحصل على ملايين النسخ من قطعة الـ DNA الهدف التي يتم الكشف عنه بالرحلان

الكهربي على جيل الآغار.

تعتبر هذه الطريقة من أفضل الطرق التشخيصية، إذ أن حساسيتها ونوعيتها عالية (87-90)،

وهي في تطور مستمر ويمكن تطبيقها على عينات مختلفة: كتلك المأخوذة بالماسحة القطنية

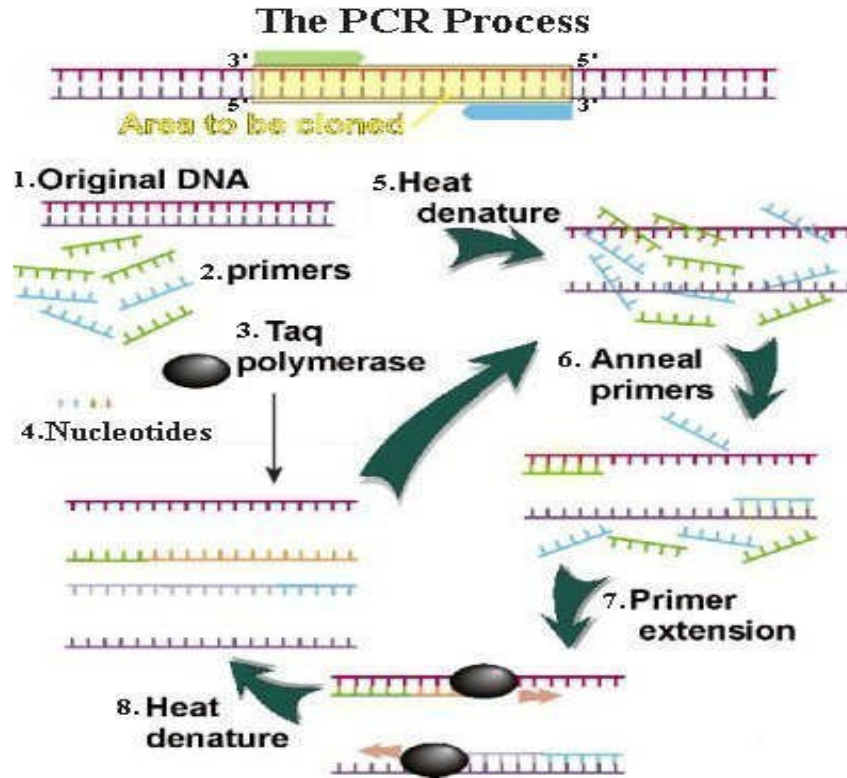
واللطاخات المؤرشفة والخزعات المغمورة بالبارافين (91،92،40).

يمكن استخدام مستهدفات مختلفة للتضخيم وذلك حسب الغرض من الدراسة مثلا للتشخيص

نختار سلسلة عديدة التكرارات ولزيادة الحساسية تكون المنطقة المضخمة عالية الحفظ highly



conserved أي أن نفسها موجودة في الجنس أو حتى داخل الأنواع (40)، بينما لدراسة الصفات الجينية للسلاسل الفردية individual strains نختار مناطق متغيرة أكثر والتي لا تتواجد بأعداد كبيرة من النسخ وبناء عليه تكون هدفاً أقل حساسية (40)، هذا ويمكن تحسين النوعية بواسطة تقطيع نواتج الـ PCR (restriction fragment analysis of the PCR) كما يمكن زيادة الحساسية والنوعية بتهجين منتجات الـ PCR (Southern blotting) (40).



الشكل (16) مراحل الـ PCR.

#### مستهدفات الـ PCR Target PCR:

**1-1-2-4-13-1-1** - دنا الصانعة المحركة (Kinoplast DNA (KDNA): توجد الحلقة الصغيرة minicircle في دنا الصانعة المحركة بحوالي 10000 نسخة وطولها حوالي 800 bp تتألف هذه الحلقة من منطقتين منطقة ثابتة طولها 120 bp لا يتغير تسلسل الدنا فيها بين أنواع الليشمانية بينما الجزء الأكبر من الحلقة الصغيرة يتألف من منطقة متغيرة وقد تم الاستفادة من هذه الميزة في استخدام الـ PCR للتصنيف النوعي لأجناس الليشمانية بناء على الاختلاف في تسلسل هذه القطعة (61).

تبدى تحت الأنواع المختلفة اختلافات إلى حد ما فبعض الأنواع تتشاطر نفس المنطقة وبعضها تختلف بين النسائل حتى ضمن نفس السلالة ويمكن تفسير هذا بسرعة تطور السلسلة في الحلقة الصغيرة، وعلى النقيض بعض أصناف الحلقة الصغيرة تبقى الحلقة ثابتة ضمن الأنواع حتى لو

كانت من مناطق جغرافية مختلفة (93)، وهذا ما يجعل تصميم مشروعات نوعية للنوع مشكلة ومع ذلك طورت مشروعات واستخدمت للتمييز بين بعض الأنواع (94،95).

#### 1-1-13-4-2-2-المستهدفات النووية Nuclear targets:

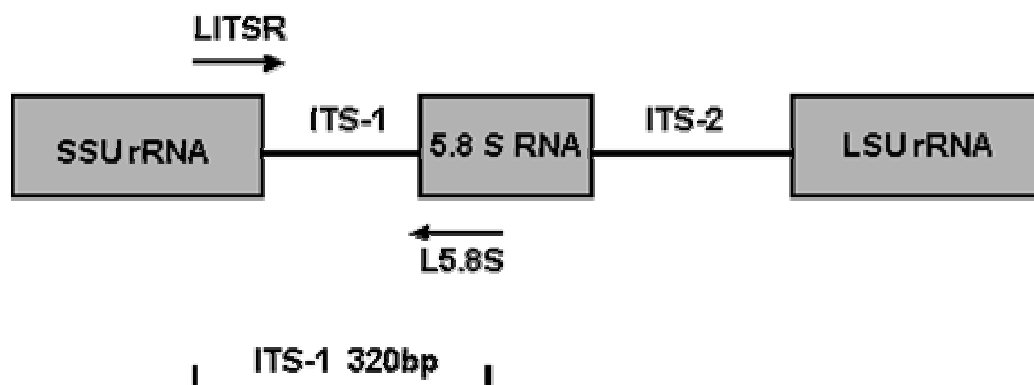
1-1-13-4-2-2-1-الربنا الريبوزومي بتحت وحدته الصغيرة (ssuRNA) small subunit **ribosoma RNA**: أو مايسمى المورثة 18S rDNA وهي المورثة المسؤولة عن تشكيل سلسلة 18S RNA ريبوزومي الذي يدخل بتركيب الوحدة الصغيرة من الجسيم الريبوي (الريباز) وتحوي هذه المورثة على منطقتين:

المنطقة الأولى: تحتوي على تسلسلات نوكلوتيدية عالية الحفظ (التغيرات فيها نادرة جدا). المنطقة الثانية: تحتوي على تسلسلات نوكلوتيدية متغيرة من نوع لآخر والتي غالبا ما تكون نوعية للنوع، لذلك تعتبر كلتا المنطقتين من مستهدفات الطرق التشخيصية النوعية مما زاد من استخدامها من أجل تحديد الاختلافات بين الأنواع، هذا بالإضافة لكون هذه المورثة عالية الانتساخ (يوجد منها حوالي 200 نسخة) الذي زاد من حساسية الـPCR أيضا (96).

#### 1-1-13-4-2-2-2-الفراغات البينية المشفرة (ITS) Internal transcribed spacer:

توجد بين المورثة المسؤولة عن تشكيل كل من 18S rRNA و 5.8S rRNA مناطق تحوي تسلسل نوكلوتيدي لا يلعب دورا وظيفيا تسمى الفراغات البينية ITS1، يختلف التسلسل النوكليوتيدي في هذه المنطقة بنسبة عالية بين الأنواع لهذا تلعب هذه المنطقة دورا هاما في التفريق بين الأنواع وتحت الأنواع على المستوى الجزيئي .

كذلك توجد بين المورثات المسؤولة عن تشكيل كل من 5.8S rRNA و 28S rRNA منطقة تحتوي تسلسل نوكلوتيدي لا يلعب دورا وظيفيا تسمى الفراغات البينية المشفرة (ITS2) يختلف التسلسل النوكليوتيدي فيها أيضا حسب الأنواع .



الشكل (17) مواقع الفراغات البينية المشفرة (40).

استخدمت الفراغات البينية المشفرة داخل RNA بشكل واسع كمستهدفات حساسة في الـ PCR (97،98)، وفي حال إشراكها مع تقنية تقطيع الـ DNA لمناطق ITS المضخمة فإنه يمكن تمييز كل معقدات اللبشمانية (40).

### Spliced mini-exon الصغير أو التعاقب القائد التضفيري 3-2-2-4-13-1-1

**leader sequence:** وهو المورثة التي تشترك في تضفير mRNA الـ transsplicing النووي والتي تتواجد بحدود 100-200 نسخة ضمن الجينوم النووي وكل تكرار يتألف من 3 أجزاء رئيسية: المنطقة المترجمة وهي اكزون يحوي 39 أساس أزوتي عالي الحفظ، والمنطقة الثانية هي انترون متغير بشكل معتدل يضم 55-101 bp والمنطقة الثالثة غير مترجمة وهي فراغات بينية intergenic spacer بطول بين (51-1350) bp أي أنها مختلفة الطول حسب الأجناس والأنواع هذه الميزات جعلت من الاكزون الصغير مشعرا جينيا هاما دعا العديد من الباحثين لاستخدامه (99،100،101)

### 5-13-1-1- التمييز الجزيئي لسلالات الليشمانية

## :Leishmania

نذكر من الطرق التي تعتمد على التفاعل السلسلي البوليميري والمستخدم في الترميم الجزيئي لسلاسل الليشمانية مايلي:

1-5-13-1-1- التكثير العشوائى (غير المحدد) لأجزاء من الحمض النووى للطفيلي

## Randomly amplified polymorphic DNA polymerase chain reaction

**(RAPD-PCR), arbitrarily primed polymerase chain reaction (AP-PCR)**

تعتمد هذه الطريقة على مضاعفة الـ DNA بالـ PCR باستخدام بادئات صغيرة غير متخصصة (arbitrary primer) تتكون من 10 نوكلوتيدات، ثم يتم تحليل التفاعل بواسطة الرحلان الكهربائي (gel electrophoresis) الذي يفصل نسخ الحمض النووي الناتجة حسب وزنها الجزيئي، وتقرأ النتيجة بتعريض الهلام للأشعة فوق البنفسجية حيث يظهر الناتج على شكل خط تسلسلي من نواتج التضخيم العديدة الأشكال التي تختلف باختلاف الأنواع وتتشابه بين أفراد النوع الواحد (102، 103)، ولكن ما يؤخذ على هذه الطريقة أنها تحتاج إلى DNA طفيلي نقي وشروط تضخيم قياسية جدا هذا بالإضافة إلى صعوبة تفسير النتائج مما حد من استخدامها (104).

### 1-1-13-5-2- تقانة الإقتطاع الإنزيمي Restriction fragment length

#### : polymorphism (RFLP) or schizodeme analysis

أي التعدد الشكلي في أطوال الشداف المقطعة إنزيمياً أو تحليل الجمهرة الوراثية المنشقة، وتعتمد على تضخيم قطع محددة من الـ DNA بواسطة تقانة الـ PCR باستخدام بادئات متخصصة بتلك القطع المراد مضاعفتها، ثم يتم هضم قطع الـ DNA المضاعفة باستخدام إنزيمات الإقتطاع Restriction enzyme التي تقوم بقص قطع الـ DNA عند تتابعات نوكلوتيدية معينة (بحدود 4-6 أشفاف نوكلوتيدية) خاصة بكل إنزيم.

يمكن بتقنية الـ PCR وباستخدام بادئات متخصصة بتضخيم قطعة الـ DNA المراد مضاعفتها أن تكشف عن التباينات على مستوى الـ DNA عندما يكون هناك فروق في أطوال قطع الـ DNA المضخمة للعينات المدروسة والمجرى عليها التفاعل السلسلي البوليميرازي، ولكنها تصبح عاجزة إذا كانت تلك القطع متساوية بالطول لأنها سوف تعطي عصابات متماثلة لذلك يستخدم إنزيم الإقتطاع الذي يتعرف على وجود تتابع محدد من الأسس النوكلوتيدية ويقوم بقص شريطي الـ DNA إلى عدة قطع يختلف عددها باختلاف عدد تكرارات المواقع الموافقة للإنزيم على الـ DNA المدروس.

تستطيع هذه التقنية تحديد التباينات الشكلية على مستوى الـ DNA بين الأنواع وتحت الأنواع وذلك بعد فصل قطع الـ DNA المختلفة بالرحلان الكهربائي اعتماداً على طولها وأوزانها الجزيئية، وتكون نماذج التقطيع الناتجة أو الشدافات نوعية للنوع أو حتى للسلاسل الفردية إذ يشير التعدد الشكلي في الشدافات إلى اختلاف في التسلسل النوكلوتيدي.

تعد هذه الطريقة من الوسائل القيمة للدراسات الوبائية والتشخيص النوعي للنوع (105، 106)، إذ يمكن للطفرات النقطية أن تغير النموذج بسبب تغييرها لأماكن الإقتطاع وهذا يخدم التصنيف الجيني، ولكنها تصبح عاجزة في حال عدم وجود مواقع لإنزيمات الإقتطاع على قطع الـ DNA المدروسة لذلك نلجأ إلى استخدام تقنيات أخرى كالتقنية التالية.

#### 1-1-13-5-3- تحديد التسلسل النوكلوتيدي لشدافة الـ DNA الهدف (sequencing):

إن هدف عملية الـ Sequencing هو تحديد التتابع النوكلوتيدي للمورثات أو قطع الـ DNA الهدف وبالتالي تحديد جميع التباينات الموجودة على مستوى الـ DNA بين العينات المدروسة، ويتم البدء بهذه التقنية اعتباراً من منتجات الـ PCR وذلك عن طريق تفاعل سلسلي بوليميرازي خاص بهذه التقنية يستخدم فيها نوكلوتيدات معلمة بالفلور تسمى ddNTP's بالإضافة للنوكلوتيدات الطبيعية dNTP's (107) وفق الخطوات التالية:

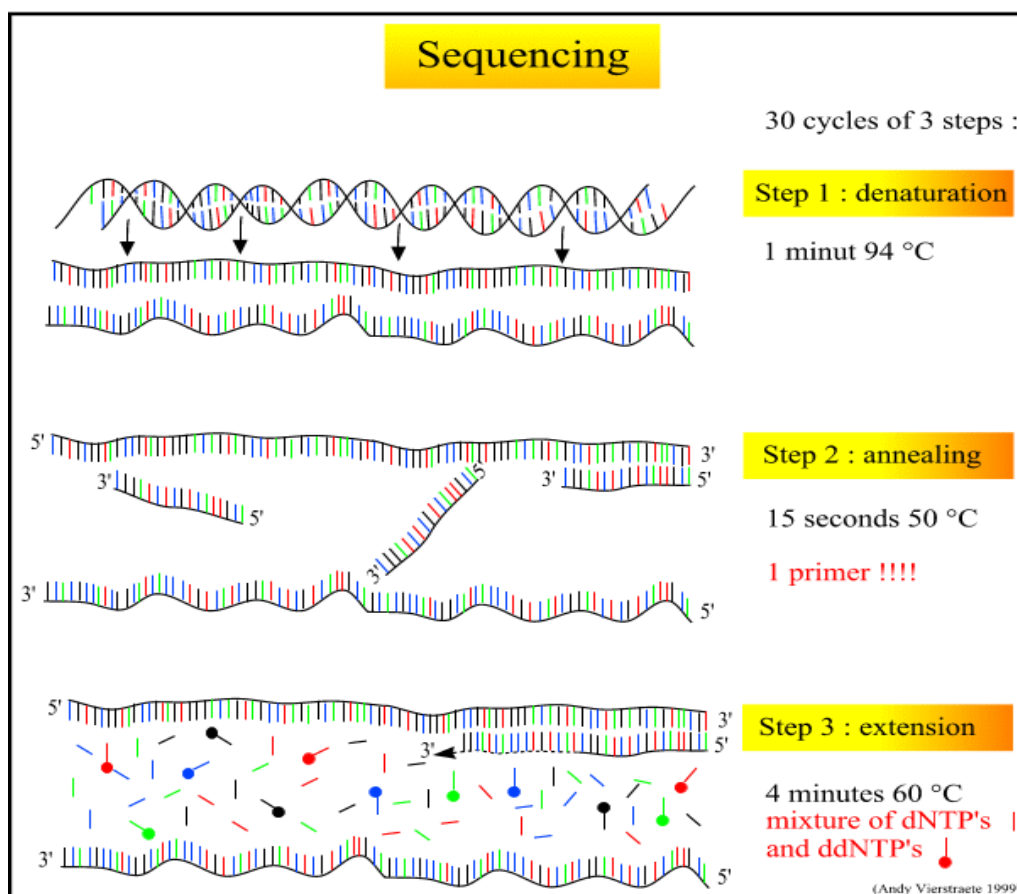
### 1-1-13-5-3-1- تفاعل تحديد التسلسل النوكليوتيدي:

يتم تحديد التسلسل النوكليوتيدي بدورة عمل تكرر من 20 إلى 30 مرة آلياً، وتتألف كل دورة من المراحل الثلاث التالية (الشكل 18):

أ. مرحلة تمسخ سلسلتي الـ DNA للشدفة الهدف المضخمة: تتم هذه المرحلة عند درجة حرارة  $94^{\circ}$ ، لتمسخ الشريط المضاعف لشدفة الـ DNA الهدف.

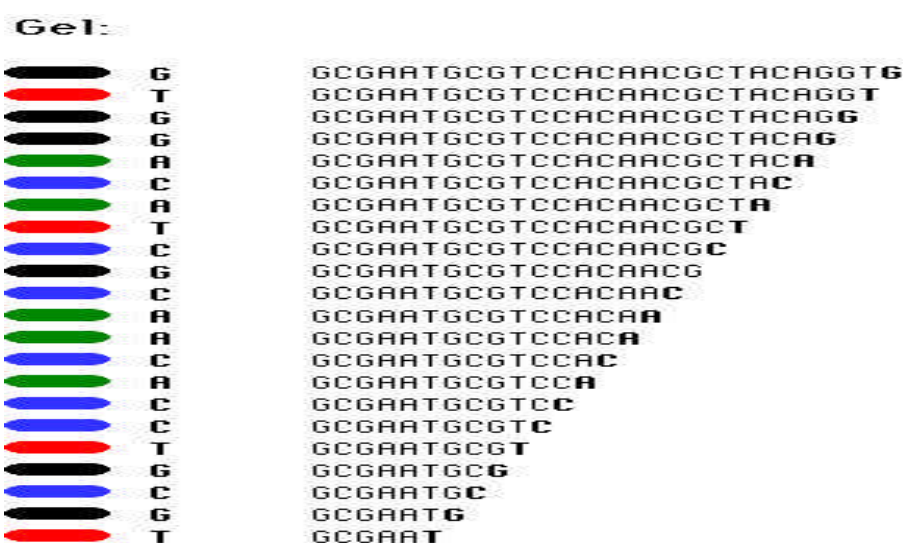
ب. مرحلة ارتباط المشرع بالسلسلة الهدف أو التطويع: ويجرى بالدرجة  $50^{\circ}$  ويستخدم أحد المشرعين المستخدمين في تفاعل الـ PCR الأول المضخم لشدفة الـ DNA الهدف (يستخدم المشرع الأيسر أو الأيمن)، ولذلك يجرى في هذا التفاعل انتساخ شدفة واحدة فقط من إحدى سلسلتي الـ DNA، بينما في تفاعل الـ PCR العادي يجري استخدام مشرعين (أيمن وأيسر) وبالتالي يجري تضخيم نسخ لكلا السلسلتين معاً، يرتبط المشرع بشدفة محددة من سلسلة الـ DNA المقابلة لها من حيث الأسس الأزوتية، ويتم ذلك الارتباط عبر روابط الفسفور ما بين نوكليوتيدات المشرع ونوكليوتيدات السلسلة الهدف.

ج. مرحلة الامتداد أو تركيب الشدفة الهدف: وتجرى عند درجة حرارة  $60^{\circ}$ ، وتعد هذه الدرجة مثالية لعمل إنزيم البوليميراز polymerase (تكون الدرجة المستخدمة في هذه المرحلة هي  $72^{\circ}$  عادةً، ولكن على اعتبار أنه تستخدم هنا نكليوتيدات ذات نهاية موسومة labeled بمادة متفلورة ddNTP's، فإن درجة الحرارة الفعالة المعتمدة هنا هي 60 بدلاً من  $72^{\circ}$ ). بعد ارتباط المشرع في المرحلة السابقة يتم في هذه المرحلة ارتباط النوكليوتيدات (ddNTP's أو dNTP's) إلى السلسلة الهدف وتركيب السلسلة المكملة ابتداء من الطرف 3 باتجاه الطرف 5، بإضافة كلا النوعين من النوكليوتيدات خلال تركيب السلسلة المكملة، ولكن عندما يضاف نوكليوتيد مفلور ddNTP إلى سلسلة الهدف تتوقف عملية التركيب لأنه يحتوي على ذرة هيدروجين H على ذرة الكربون الثالثة (يحتوي النوكليوتيد العادي dNTP على وظيفة ماءات OH في هذا الموقع عادة عوضاً عن ذرة الهيدروجين)، وعلى اعتبار أن هذا النوكليوتيد يحوي جزيئاً مفلوراً، فإنه من الممكن تحديد اللون لآخر نوكليوتيد مرتبط مع السلسلة الهدف باستخدام رحلان كهربائي خاص وبوجود أشعة الليزر.



الشكل (18) مراحل تحديد التسلسل النوكليوتيدي.

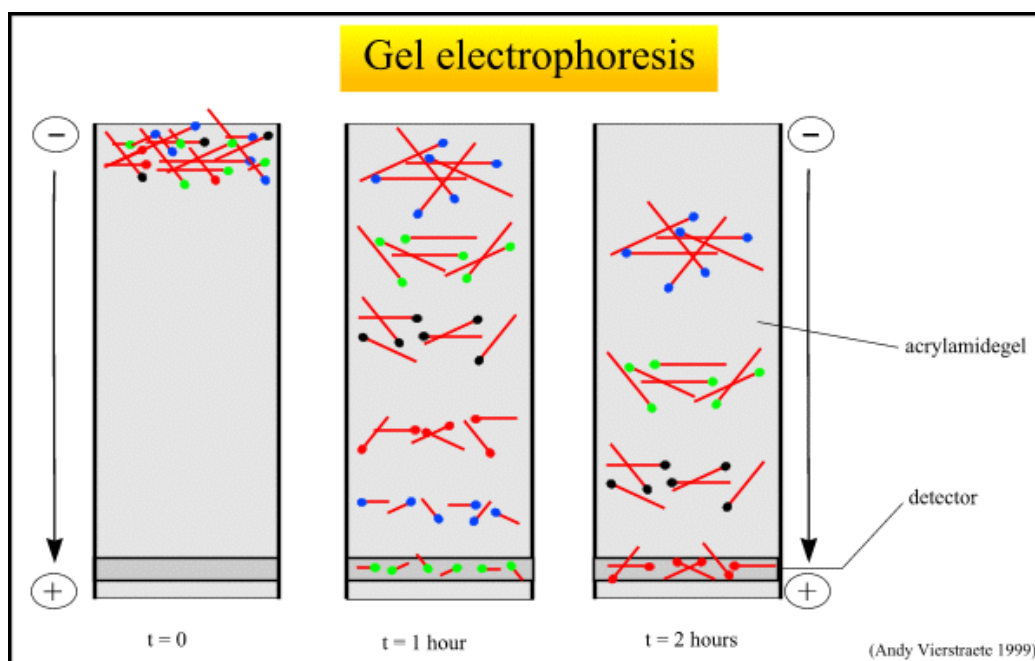
إذا يحدث في هذا التفاعل تضاعف إحدى سلسلتي الـ DNA الهدف وفق زيادة خطية، ليتشكل في النهاية نسخ عديدة من الدنا تختلف فيما بينها بأساس واحد موسوم والذي يمكن من فصلها بحسب أوزانها الجزيئية اعتمادا على الرحلان الكهربائي الذي يجري في المرحلة التالية.



الشكل (19): قطع الدنا المتشكلة في نهاية التفاعل.

### 1-1-13-5-3-2- فصل الجزيئات المضاعفة بواسطة الرحلان الكهربائي:

بعد عملية تفاعل تحديد التسلسل النوكليوتيدي، يتم فصل خليط السلاسل الناتج المكون من سلاسل مختلفة ومتدرجة في أطوالها على جهاز رحلان كهربائي، وتتكون هلامية الفصل من مادة البولي أكريلاميد، القدرة على فصل شذفتي DNA تختلفان عن بعضهما بنوكليوتيد واحد زيادةً أو نقصاً، تحتوي شذف الـ DNA على شحنة سالبة بسبب وجود شاردة الفسفور في جزيئات النوكليوتيدات المكونة لها، وبالتالي فهي تهجر نحو القطب الموجب في الرحلان الكهربائي. تهجر الشذف الأصغر بشكل أسرع من تلك الأكبر، وبالتالي تصطف شذف الـ DNA حسب أطوالها على وسط الفصل (الشكل 20).

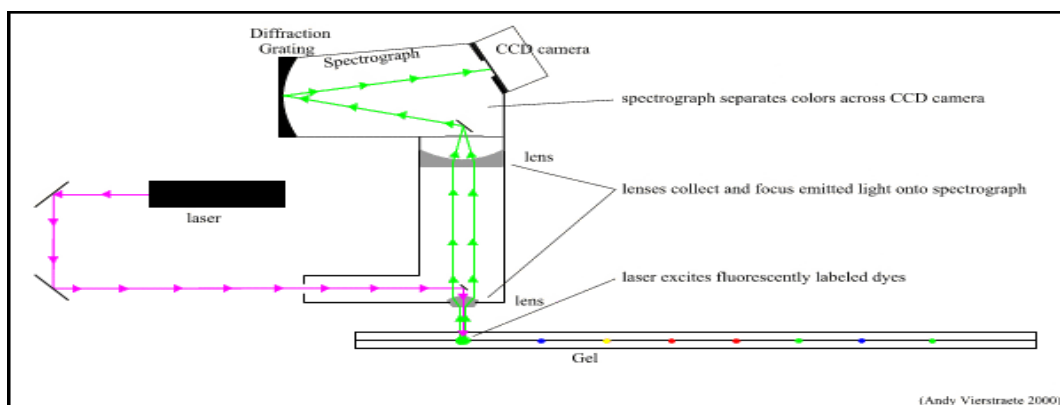


(الشكل 20): انفصال شذف الـ DNA على هلامية الفصل ضمن وسط الرحلان الكهربائي.

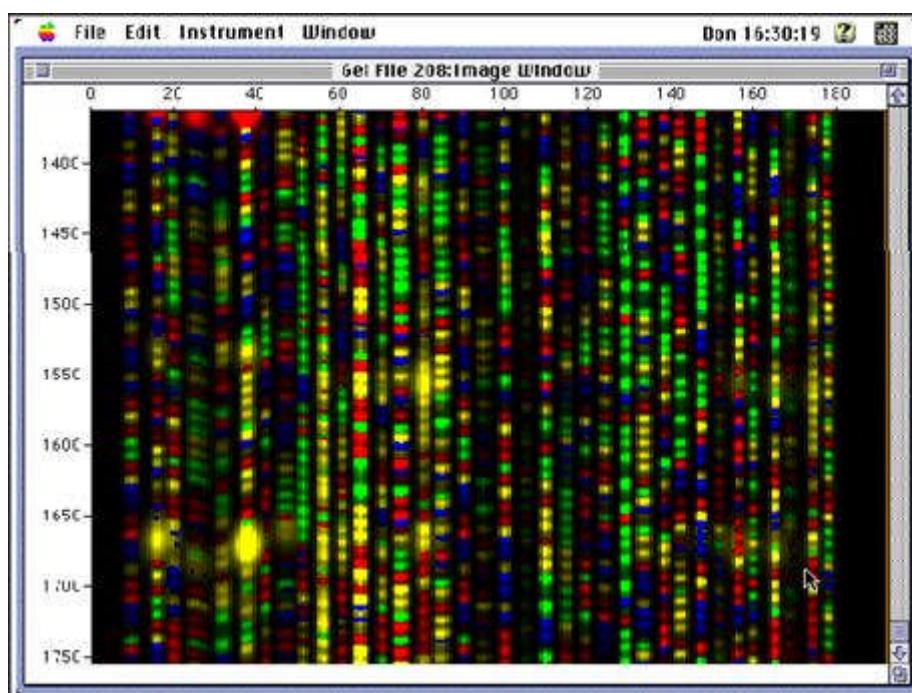
### 1-1-13-5-3-3- تحديد التسلسل على جهاز الرحلان: automated sequencer :

تمر شذف الـ DNA المهاجرة والحاوية على النوكليوتيدات المفطورة ضمن هلام الفصل الذي يحوي في نهايته نافذة تصدر أشعة ليزيرية، فعند مرور شذف الـ DNA هذه أمام النافذة الليزرية تصدر Emission ألواناً مختلفة حسب نوع النوكليوتيد، تجمع هذه الإشعاعات اللونية وتوجه نحو كاميرا خاصة (coupled device camera charge (CCD) (الشكل 21)، إذا وبما أن كل نوكليوتيدية مفطورة تملك لونا خاصا بها فإن جهاز الـ Sequencer يحدد ترتيب الأسس الموجودة وتترجم ضمن برنامج حاسوبي خاص لهذا الهدف (الشكل 22).





الشكل (21): مبدأ عمل والتقاط الأشعة ضمن جهاز الرحلان الكهربائي.

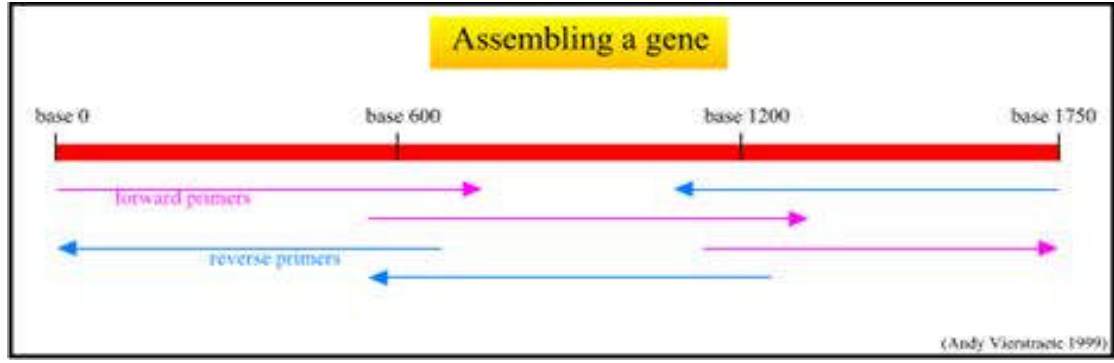


الشكل (22): صورة هلامة الفصل الناتجة عن عملية الرحلان الكهربائي وتحويلها ضمن برنامج حاسوبي خاص إلى ملف صورة.

#### 1-1-13-5-4-3-2-1- DNA المحددة التسلسل النوكليوتيدي:

يتم تحديد التسلسل النوكليوتيدي للشدة الهدف من كلا الجهتين (باستخدام المشرع الأيمن والأيسر ضمن تفاعلين منفصلين) ثم يتم التأكد من صحة التسلسل بمقارنة التسلسل الناتج من كلا الجهتين. إن طول الشدة الهدف التي يمكن تحديد التسلسل النوكليوتيدات لها تتراوح من 750 وحتى 800 نوكليوتيداً، وبالتالي إذا كانت الشدة الهدف أطول من ذلك، يتم تحديد التسلسل النوكليوتيدي لشدة صغيرة ثم تجميع التسلسل النوكليوتيدي لكامل الشدة الهدف، ولتحقيق ذلك يتم استخدام بادئات مختلفة بحيث تغطي الشدة الهدف الشكل (23).





الشكل (23): تجميع التسلسلات النوكليوتيدية للشدفة الهدف.

### 1-14-1-1- المعالجة Treatment:

إن اختيار المعالجة يتأثر بالشكل السريري للمرض والمنطقة الجغرافية التي تتوطن فيها الإصابة، وكذلك الحالة المناعية للمصاب، ولا بد للمعالجة أن تحقق التوازن بين الفائدة منها والضرر الناجم عن استعمال الأدوية، فهي من أهم الطرق للسيطرة على الطفيلي ومنع انتشاره بين الناس في الليشمانية المدارية التي يكون الإنسان مستودعها الأساسي ومصدر العدوى بها، بينما يبقى استعمالها ثانوي في الحالات التي تسببها الليشمانية الكبيرة والتي غالباً ما تكون بشكل أفات جلدية محددة لذاتها وتشفى تلقائياً خلال 12 شهر، وبذلك تبقى الحكمة من علاج خمج محدد لذاته هو تجنب تشكل ندبات مشوهة في المناطق المكشوفة خاصة الوجه وتجنب الإنتان الثانوي والسيطرة على المرض وتجنب احتمال عدم حدوث الشفاء العفوي كما هو الحال في الأنواع الجلدية المنتشرة والناكسة التي قد يستمر المرض بها 20-40 سنة بدون معالجة (108).

وبشكل عام يمكن تقسيم المعالجة إلى جهازية وموضعية (108):

**1-14-1-1-1- المعالجات الموضعية:** وتهدف بشكل عام إلى تجنب التأثيرات الجانبية الكثيرة للمعالجة الجهازية، ولكنها تغدو غير عملية عندما يكون عدد الآفات كبيراً، كما أنها لا تطبق عندما يخشى من تشوه جمالي أو في المناطق الحساسة والخطرة (كالأجفان والشفاه وصيوان الأذن والمفاصل)، إضافة إلى ذلك فإن المعالجة الموضعية لا تقي بالغرض في الليشمانية المخاطية والحشوية ولا في بعض الأشكال الخاصة من الليشمانية الجلدية (الذئبانية والجلدية المنتشرة وقرحة شيكليرو والليشمانية الجلدية الناجمة عن مجموعة الليشمانية البرازيلية) (109)، وتتضمن المعالجة الموضعية: العلاجات الفيزيائية (البرودة والحرارة وغيرها) والمعالجات الدوائية بالحقن أو بالتطبيق الموضعي والجراحة.

**1-1-14-1-1- المعالجة القرية:** وتعتبر المعالجة الأفضل للحالات المحددة غير المختلطة (110)، فقد ذكر من طرائقها: التطبيق الموضعي للفحم الثلجي لمدة 60 ثانية، و الآزوت السائل المطبق بماسحة قطنية صوفية لمدة 10-25 ثانية مع امتداد التجميد لـ 1-2 ملم حول الآفة

بفواصل أسبوعية، هذا ويعد الآزوت السائل من أكثر العناصر السائلة المستعملة في الأمراض الجلدية، أما آلية التجميد فهي تحويل الماء الحر في النسيج إلى أشكال خاملة ترفع الضغط داخل الخلية مما يؤدي إلى تمزق جدار الخلية وموتها، كما أن نقص الإماهة الناجم يغير درجة حموضة الخلية PH ويؤدي التجميد لحدوث ما يسمى بالتمنيع القري حيث يشكل النسيج المجمد مستضدا جديدا، ومن المعلوم أن المعالجة القرية بكافة أنواعها مؤلمة للمريض وكثيرا ما تترك تصبغ دائم في المرضى قاتمي البشرة.

**1-1-14-1-2- الطرائق الفيزيائية:** وتقوم على تدمير الطفيلي فيزيائيا وذلك باستخدام الحرارة أو البرودة بشكل رئيسي، وقد ذكرت عدة بروتوكولات ممكنة بكل طريقة من هذه الطرائق، فقد جربت المعالجة الموضعية كون طفيلي الليشمانية لا يقاوم حرارة أعلى من 37 درجة، ويعتقد أن الحرارة تحرض استجابة مناعية كافية للقضاء عليه خلال تسخين الآفة لدرجة 55° لمدة 5 دقائق (110،111)، كما جربت تسخين الآفة لـ 50° درجة لمدة 30 ثانية وأعطت نتائج مرضية مما يشجع على استخدامها كبديل لأملاح الأنتيموان (112).

ومن العلاجات الفيزيائية المذكورة أيضا:

❖ المعالجة الضوئية الديناميكية مرتين أسبوعيا لـ 12 أسبوع (113،114).

❖ المعالجة الكهربائية بالتيار الكهربائي المستمر بشدة 5-15 ميلي أمبير لمدة 10 دقائق والمطبق أسبوعيا لمدة 4-6 أسابيع (115).

❖ المعالجة بالليزر CO2 بطاقة عظمى 100 واط وطول نبضة يتراوح بين 0.5-5 ثواني.

وصحيح أن هذه العلاجات قد تكون أقل تأثيرات جانبية من غيرها إلا أن كلفتها وندرة الدراسات المجراة عليها تحول دون شيوع استخدامها في الممارسة العملية.

**1-1-14-1-3- المعالجة بالحقن الموضعي:** وذلك بحقن 1-2 مل من أملاح الأنتيموان (البنتوستام Stipogluconate –Na أو الغلوغانتييم meglumine antimoniate) داخل الأدمة وتعتبر هذه الطريقة من أهم طرائق المعالجة الموضعية وينصح بها عندما تكون الآفات قليلة العدد حتى ولو كانت غنية بالطفيليات (116)، كما وتمتاز هذه الطريقة بالحصول على تراكيز عالية من أملاح الأنتيموان في مكان الآفة مع تجنب تأثيراتها الجهازية الكثيرة . هذا وقد تستجيب الليشمانية الناكسة لحقن البنتوستام داخل الآفة كما ويساعد حقن الستيروئيدات أيضا على الشفاء (116).

ومن المواد الأخرى التي يمكن حقنها موضعيا في آفات الليشمانية الجلدية المحلول المائي للميباكرين 10% أو الكلوروكين أو الايميتين 20% ويكرر الحقن أسبوعيا حتى 6 أسابيع (114)، كذلك يمكن استخدام المحلول الملحي مفرط التوتر بتركيز 7% وبفواصل من 7-10 أيام لمدة 2-6 أسابيع وهذه طريقة آمنة ورخيصة (108).

سجلت فعالية الانترفيرون غاما IF- $\gamma$  عند الحقن حول الآفة لكنه غالي الثمن (8)، كما يمكن حقن IL-2 ضمن الآفة وهو يعزز المناعة الخلوية (110).

**1-1-14-4- المعالجة الموضعية بالرهيمات أو المراهم:** وتمتاز كونها سهلة الاستخدام وقليلة الكلفة ويمكن تطبيقها من قبل المريض ومنها البارومومايسين paromomycin بتركيز 15% والكيوتكونازول الموضعي 2% والميكونازول 2% والكلوتريمازول 1%.

**1-1-14-2- الطرائق الجراحية:** باستئصال الآفة أو تجريفها واستخدام الطعوم والشرائح الجلدية وتحمل هذه الطرائق عموما خطر انتشار الطفيلي عبر الأوعية اللمفاوية ولا يوصى بها إلا أن المعالجة التصنيعية plastic تلعب دورا مهما في علاج الندبات المشوهة التي تتركها الليشمانية بعد شفائها .

**1-1-14-3- المعالجة الجهازية:** وهي الخيار العلاجي المستخدم في حالة الليشمانية المخاطية والحشوية، إضافة إلى حالات الليشمانية الجلدية التي تفشل فيها المعالجات الموضعية أو لا يكون بالإمكان تطبيقها .

**1-1-14-3-1- أملاح الأنتيموان:** هناك مستحضران متوفران تجاريا لأملاح الأنتيموان خماسية التكافؤ هما :ن- ميتيل غلوكامين الأنتيموان أو ميغلومين الأنتيموان واسمه التجاري غلوكانتيم Glucantime وستييوغلوكونات الصوديوم واسمه التجاري بنتوستام Pentostam الذي يعطى بجرعة 10-20 ملغ/كغ/يوم عضليا أو وريديا، أما الغلوكانتيم فجرعته 40-60 ملغ/كغ/يوم لمدة 15-20 يوم ويمكن إعادة الجرعة بعد فاصل 14 يوم.

إن آلية تأثير هذه المركبات فهي غير واضحة تماما، فهي تثبط عدة أنزيمات في الطفيلي وبشكل خاص أنزيم فوسفوفركتوكيناز phosphofructokinase مما يؤدي إلى حصر إنتاج الأدينوزين ثلاثي الفوسفات ATP وتثبيط انحلال الغلوكوز وتثبيط دورة حمض الليمون (110). أما التأثيرات الجانبية أهمها ألم مكان الحقن أعراض هضمية وعكة عامة وآلام عضلية اضطرابات نظم، ارتفاع خمائر الكبد، سمية كلوية، التهاب بنكرياس طفوح جلدية ونادرا صدمة تأقية.

**1-1-14-3-2- الأمفوترسين B:** وهو دواء معروف كمضاد للفطور وخاصة العميقة، لكنه يملك أيضا فعالية ضد الليشمانية وذلك بارتباطه بالستيرويدات الغشائية للخلية كالأرغوستيرول مؤديا

إلى تسريب الشوارد عبر الغشاء وموت الطفيلي، ومن تأثيراته الجانبية السمية الكلوية اضطرابات الشوارد واللاانظميات أما الجرعة فهي 0.5-1 ملغ/كغ/كل يومين تسريبا وريديا.

**1-1-14-3-3- البنتاميدين Pentamidine:** وهو دواء يعطى لمعالجة داء المثقبيات الأفريقي كما أنه فعال ضد الليشمانية ويأتي بالمرتبة الثانية في علاج الليشمانية الجلدية بعد الأنتموان، ولكنه ذو تأثيرات جانبية كثيرة مثل التهاب البنكرياس ونقص البيض والصفائح وهبوط ضغط واضطرابات في تخطيط القلب الكهربائي.

**1-1-14-3-4- الميلتيفوزين:** وهو الدواء الوحيد المثبت الغعالية الذي يعطى عن طريق الفم وقد تم ترخيصه لعلاج الليشمانية الحشوية في الهند وقد يصبح العلاج الأول لليشمانية في المستقبل القريب (117)، أهم تأثيراته الجانبية الغثيان والإقياء.

**1-1-14-3-5- المعالجة بمضادات الملاريا:** وينصح بإعطائها في الإصابات المنتشرة وفي الليشمانية الحشوية ومنها الكلوروكين والبيريميدين كما يمكن اعطاء الايمتين هيدروكلوريد، أهم التأثيرات الجانبية الخاصة بمضادات الملاريا هي الاضطرابات البصرية والعصبية المركزية بالإضافة للدوار، الإسهال والألم البطني (110).

ومن المعالجات الجهازية الأخرى الكيتوكونازول والايتركونازول والفلوكونازول والازيترومايسين والريفامبيسين والألوبرينول والدابسون وسلفات الزنك والبارومييسين.

**1-1-14-4- معالجات مناعية:** وذلك باعطاء Interferon-gamma-Ib (Actimmune) وحده أو مع مركبات الأنتموان (118)، كما يمكن استعمال IL-2 ضمن الآفة وهو يعزز المناعة الخلوية كما سبق وذكرنا (110).

### 1-1-15- اللقاح Vaccination:

لقد بذلت جهود كبيرة من أجل تطوير لقاح فعال ضد الليشمانية ولكن هذه الجهود مازالت حتى الآن غير مثمرة (119)، إن الطريقة الوحيدة في التمنيع التي أثبتت فعاليتها تقوم على حقن طفيليات حية كاملة الفوعة في الجلد (التطعيم الليشمانى Leishmanization)، إلا أن هذه الطريقة غير عملية من عدة نواحي منها صعوبة الاحتفاظ بفوعة الطفيلي وخطر تطور آفات شديدة عند البعض ولذلك لا يوصى بها حاليا من قبل منظمة الصحة العالمية.

وخلال السنوات الماضية كان هناك محاولات عديدة لتطوير لقاح بدءا من طفيليات ميتة بمفردها أو مع إضافة مواد أخرى مستمنعة إلى اللقاح كـ BCG لزيادة فعاليتها (120)، أو طفيليات حية مضعفة (121)، كما جربت لقاحات جزئية مكونة من مستضدات الليشمانية المحضرة بالتأشيب الوراثي (122)، ولكن جميع هذه اللقاحات فشلت في إعطاء حماية طويلة الأمد من المرض.

### 1-1-16- الوقاية Prevention:

تهدف الإجراءات الوقائية إلى كسر حلقة انتقال الطفيلي، فمن أجل السيطرة الفعالة على المرض يجب فهم وبائيات المرض ومعرفة بيئة الناقل، وكذلك معرفة المستودع انساني أم حيواني، وتتضمن الوقاية الإجراءات التالية:

#### 1-1-16-1- السيطرة على مستودعات الطفيلي: وهي من أهم وسائل الحد من انتشار

المرض، وتتم بكشف الإصابات ومعالجتها عند البشر، وتغطية الآفات الجلدية لمنع وصول الفواصد إليها، أما بالنسبة للمستودعات الحيوانية فيجب كشف الإصابة عند الكلاب الأليفة ومعالجتها، ومكافحة الكلاب الشاردة، ومكافحة القوارض والقضاء عليها وذلك بحرث التربة بشكل عميق لتدمير الحجور، ووضع السموم بجانب حجورها (123).

#### 1-1-16-2- السيطرة على الناقل: من خلال تخريب البيئة المناسبة لحياتها وتكاثرها،

وذلك بتأمين صرف صحي جيد، وإزالة النفايات والفضلات العضوية حول المنازل، وتحسين الصحة العامة، ورش المبيدات الحشرية وفق برامج خاصة تشرف عليها الدولة.

#### 1-1-16-3- الوقاية الشخصية: وذلك بارتداء الملابس ذات الكم الطويل خاصة أثناء

النوم، واستخدام المنفرات الحشرية repellent على مناطق المكشوفة وتغطية النوافذ (124)، واستخدام الشبكات المشبعة بمواد قاتلة للحشرات كتلك المعالجة بالبيريثروئيد

Pyrethroid-Threated bednet (125).

#### 1-1-16-4- تحسين مقاومة ومناعة الثوي باللقاح في حال توافره.

## 2-1- التعدد الشكلي

### 1-2-1 مفهوم التعدد الشكلي \_ Definition of a Single Nucleotide

#### Polymorphism (SNP)

هو اختلاف في تسلسل الـ DNA الناجم عن اختلاف وحيد في الأسس الآزوتية (الأدينين والتايمين والسيتوزين والغوانين A,T,C,G) في المجين وذلك بين مجموعة من الأنواع أو بين زوج صبغي في فرد، كما أن البعض يطلق تعبير الـ SNP على موقع هذا الاختلاف، فعلى سبيل المثال قطعتين من الـ DNA AAGCCTA، AAGCTTA تتضمن اختلاف في نكليوتيد واحد وفي هذه الحالة (هنا) نقول بوجود أليلان C و T (126).

**والأليل Allele** كلمة مشتقة من اللغة اليونانية وتعني كل واحد وكتعريف هو فرد من زوج أو سلسلة أشكال مختلفة من المورثة، ويفهم الأليل على أنه سلسلة بديلة من الـ DNA في نفس موقع المورثة الذي يمكن أن يقود أو لا يقود إلى سمة ظاهرية، وفي أي كائن ذو صيغة ثنائية مع نسختين من كل صبغي يتألف **النمط الجيني genotype** لكل مورثة من أليلين يتواجدان بذلك الموقع، ويكونان متماثلين عند متماثلتي اللواقح، ومختلفين عند متغايري اللواقح وبشكل طبيعي وبالعودة للمثال السابق يكون النمط الوراثي في ذلك الموقع CC,TT,CT.

ويعرف **تواتر الأليل Allele frequency** بأنه قياس للتواتر النسبي للأليل في موضع مورثي في جمهرة وعادة ما يعبر عنه بشكل تناسب أو نسبة مئوية، أما أليل **النمط البري wild type** هو الأليل الذي يعتبر الأليل الطبيعي للكائن ويشير إلى النمط الظاهري للشكل النموذجي للأنواع كما تحدث في الطبيعة، ويخيل أن النمط البري هو نتاج الأليل الطبيعي المعياري في موقع ما على النقيض من **الأليل الطافر mutant allele** الذي عادة ما يكون تعديل (تكيف) جديد نسبياً ويقدر أن أغلب أو كل المواقع الجينية تتواجد بشكل ضروب مختلفة الألائل، والتي تختلف بتواترها في كل مكان باختلاف المناطق الجغرافية للأنواع، عندها لم يعد للنمط البري الموحد وجود.

ينسب إلى الـ SNP **الأليل الأصغر minor allele** في موقع ما في جمهرة معينة وبمعنى آخر هو الأليل ذو التواتر الأدنى في الـ SNP وبناء عليه يوجد اختلاف بين الجمهرات البشرية وبذلك فإن أليل SNP الشائع في مجموعة جغرافية أو عرقية معينة يمكن أن يكون أقل ندرة في مجموعة أخرى .

أطلق في السابق على الـ SNPs ذو الأليل الصغير الذي تواتره يساوي أو أكبر من 1% اسم الـ SNP، والبعض أيضاً استخدم تعبير **الطفرة mutation** للدلالة على التغيرات أو الاختلافات

التي تحمل تواتر أليل منخفض، ولكن بفهم أفضل للتطور لم يعد استخدام وصف كهذا ضرورياً، على سبيل المثال dbSNP هي قاعدة بيانات من المركز العالمي لمعلومات التكنولوجيا البيولوجية NCBI تتضمن الـ SNPs والتي تواتر أليلها الأصغري أكبر أو يساوي 1%.

يشير التعبير haplotype وهو اختصار لـ genotype haploid أي النمط الفردي وهو مجموعة من الألائل في مواقع عديدة والتي تنتقل مع بعضها على نفس الصبغي وقد يشير النمط الفردي إلى موضعين وحتى الصبغي كاملاً وذلك بناءً على حوادث التأسيس recombination الحاصلة بين مجموعة من المواقع، وبعبارة أخرى النمط الفردي هو مجموعة من (SNPs) التي تتوافق مع بعضها إحصائياً (127).

يتأثر تواتر الأليل والنمط الفردي بالعمليات التي تحدث على مستوى الخلية كالطفرات والتأشب والانقلاب الجيني gene conversion، بالإضافة للعمليات على مستوى الجهرة كالانتقاء الطبيعي natural selection ضد الألائل التي تسهم بحدوث المرض فعندما تكون المورثات قريبة من بعضها فإن الانتقاء الذي يغير تواتر الأليل في الموقع الأول يؤدي إلى تغير مماثل في تواتر الألائل في مواقع أخرى في نفس النمط الفردي (127).

نذكر من المفاهيم الهامة في هذا المجال أيضاً اختلال التوازن الارتباطي (LD) linkage disequilibrium وهو الارتباط غير العشوائي للألائل في موضعين أو أكثر، ويصف الحالة التي يكون فيها بعض الألائل أو المشعرات الجينية أكثر أو أقل تكراراً من المتوقع للبنية (التركيبية) العشوائية لأنماط الفردانية بالاعتماد على تكراراتها، ويقاس الارتباط غير العشوائي بين التعدادات الشكلية في مواقع مختلفة بدرجة الـ LD، وهو عددي الفرق بين القيمة الملاحظة و المتوقعة لتكرارات الألائل أو الأنماط الفردانية بافتراض التوزيع العشوائي لها، تتأثر درجة الـ LD بعدد من العوامل متضمنة الارتباط الجيني، الانتقاء، درجة التأشب، الطفرات، الانزياح الجيني وتركيبية الجهرة.

تقاس درجة الـ LD بمعامل LD (LD coefficient) أو ما يسمى D' حيث تشير قيمة D' المساوية للصفر أن الموقعين مستقلين عن بعضهما، بينما قيمة D' المساوية للواحد تشير للتبعية أو سيطرة أحد الموقعين على الآخر، وأن التعدد الشكلي SNPs في الموقعين لن ينفصلا عن بعضهما بالتأشب، وإذا كان تواتر الأليلين متشابهين فإن D' العالية تشير إلى أنه بإمكان أحد المشعرين أن يعمل كبديلاً عن الآخر في الدراسات الجينية، وهكذا تشير هذه الظاهرة أن الألائل القريبة من بعضها في الجينوم تميل لأن تورث مع بعضها، تشير قيمة  $D' < 1$  إلى أن أسلاف الـ LD تعطلت أو تقاطعت خلال تاريخ الجهرة، وبالنتيجة قيمة D' القريبة من الواحد فقط هي

قياس موثوق للـ  $D'$  لحد ما بينما يصعب تفسير قيم  $D'$  الأدنى كون قيمة  $D'$  تعتمد على حجم العينة أيضا (128)، بينما يقيس لغاريتم نسبة الأرجحية  $\log$  of the likelihood LOD odds ratio موثوقية قيمة  $D'$  فعندما تكون ( $D'=1$  و  $LOD \geq 2$ ) بين موقعين يعني درجة عالية من الارتباط، بينما تشير قيم ( $D'=1$  و  $LOD < 2$ ) إلى درجة أقل من الارتباط، أما قيم ( $LOD < 2$  و  $D' < 1$ ) فتشير إلى درجة منخفضة جدا من الارتباط.

كما يقيس معامل الارتباط  $r^2$  correlation coefficient أيضا LD بين مؤشرين جينيين، فالـ SNPs الغير مفصولة عن بعضها بالتأشب أو التي لديها نفس تواتر الأليل (LD تام) تكون  $r^2=1$  مما يعني أن الموقعين يزودان بنفس المعلومات ويقال بهذه الحالة أن الـ SNPs مزيدة أو مطنبة redundant، وتشير قيم  $r^2$  الأدنى من ذلك إلى درجة أقل من LD.

### 1-2-2-1-2 أنماط التعدد الشكلي Types of SNP:

#### 1-2-2-1-1 التعدد الشكلي في المناطق غير المرمزة non-coding region.

#### 1-2-2-1-1 التعدد الشكلي في المناطق المرمزة coding region وتضم:

1-2-2-1-1-1 المرادفة synonymous وتشير إلى الـ SNP أو الطفرة التي يقود فيها كلا الشكليين إلى نفس السلسلة الببتيدية وتسمى أحيانا الطفرة الصامتة silent mutation.

1-2-2-1-1-2 غير المرادفة nonsynonymous والتي تقود إلى إنتاج سلسلة بيبتيدي مختلفة، وقد تكون مغلوبة المعنى (طفرة مغلطة) missense التي تؤدي إلى حمض أميني مختلف أو طفرة هوائية nonsense تؤدي إلى رامزة توقف stop codon مبكرة (سابقة لأوانها).

إذا قد يحدث التعدد الشكلي في المناطق المترجمة أو غير المترجمة من الجينات أو المناطق البينية بين الجينات intergenic regions كما أنه ليس من الضروري أن يحدث SNPs في المناطق المترجمة من المورثات تغيرات في تسلسل الحموض الأمينية في البروتين الذي ينتج بسبب تنكس degeneracy في الشيفرة الوراثية وبالتالي يكون الـ SNPs في غير المناطق المرمزة للبروتين لها نتائج على تَضْفِير المورثة gene splicing أو ربط عوامل الانتساخ أو تسلسل الـ RNA غير المرمز (127).

### 1-2-2-3 أهمية وفائدة التعدد الشكلي Use and importance of SNPs:

يمكن أن يؤثر الاختلاف في تسلسل الـ DNA عند الإنسان على كيفية تطور الأمراض والاستجابة للعوامل الممرضة والمواد الكيميائية والعقاقير واللقاحات وعناصر أخرى (129)،



كما يمكن أن يكون مفتاح يخول إدراك مفهوم الطب المطبوع بطابع شخصي personalized medicine، وعلى أي حال ذو أهمية كبرى في أبحاث الطب البيولوجي لمقارنة مناطق من المجين بين المجموعات (مثلا تلك المصابة بمرض وأخرى سليمة) (130)، ويعتقد أن هذا الترابط وتحديد الآلائل لمجموعة النمط الفردي يمكن أن يحدد وبشكل واضح المواقع العديدة الأشكال الأخرى في أماكنها وقد تكون معلومات كهذه عالية القيمة لاستقصاء الوراثة خلف الأمراض الشائعة (129) .

أكتشف حتى الآن أكثر من 2.4 مليون تغير نوكلوتيدي وحيد (SNP) في DNA الجينوم البشري وما تزال الملايين تنتظر الاكتشاف، ستكون هذه التغيرات مفيدة في اكتشاف المورثات ذات العلاقة بالصحة أو بالأمراض وهذا سوف يسمح بفهم أفضل لتطور المرض، ففي بعض الأمراض ذات الأساس الجيني الصريح نسبيا يعد الاضطرابات أحادية الجين single-gene disorders كافية لاكتشاف المورثات المسببة ولكن معظم الأشخاص الذين ليس لديهم اضطرابات أحادية الجين ولكن يطورون أمراضا شائعة كأمراض القلب والسكري والأورام والاضطرابات النفسية، هذه الأمراض التي تتأثر بعوامل مورثية وبيئية ما تزال مشاركة المورثات فيها غير واضحة ولكن العديد من الباحثين يعتقدون بوجود عدة متغيرات مشتركة مهمة (نظرية أمراض مشتركة، متغيرات مشتركة) (129، 130).

تشكل بعض الـSNP متغيرات أساسية وظيفية وتعتبر عوامل خطورة في حدوث المرض، فالأشخاص الذين لديهم هكذا آلائل لديهم خطورة أعلى لحدوث المرض من الأشخاص الذين ليس لديهم مثل هذه المتغيرات، معظم الـSNPs ليست متغيرات وظيفية ولكنها مهمة كمسعر بوجودها لاكتشاف المناطق ذات الجينات التي تسهم في حدوث المرض، لذلك تقارن العديد من الآلائل بين المرضى والشواهد وعندما تكون منطقة خاصة لها SNP أكثر تواترا عند المرضى منه عند الأصحاء عندها تعتبر هذه الـSNPs وآلائلها مرافقة للمرض هذه المشاركة أو الارتباط بين الـSNP والمرض يشير إلى أنه من الممكن أن يكون هناك جينات في تلك المنطقة تساهم بحدوث المرض (129، 130).

### 3-1- الفيكولينات

#### 3-1-1- مقدمة حول الفيكولينات:

الفيكولينات Ficolins هي عائلة من البروتينات المنحلة و التي تشكل جزء من المناعة الطبيعية بعملها كجزيئات تعرف recognition molecules في نظام المتممة (131).

بداية عرف الفيكولين كبروتين رابط لعامل النمو -transforming growth factor (TGF)- b1-binding protein على غشاء باطن الرحم عند الخنزير (132)، وذلك على الرغم من أن آلية الارتباط الفيزيولوجية ب-TGF-b1 ونتيجته ما تزال مجهولة، وأخذت اسمها ficolins من ملامحها (بنيتها) الفريدة المؤلفة من وحدات شبيهة بالفيبرونوئين وأخرى شبيهة بالكولاجين (133).

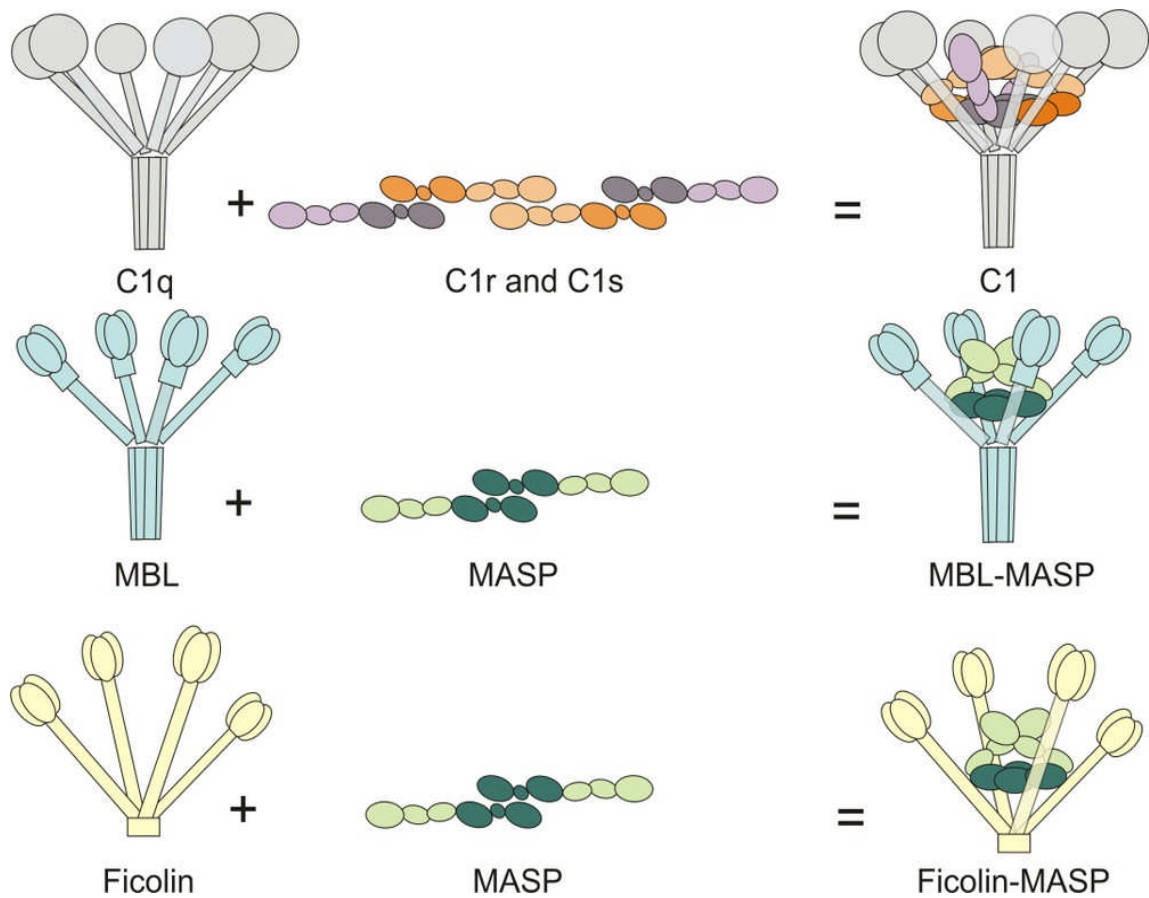
عزل المرادف البشري من البلازما من وحدة 35 kDa تشير إلى 35 protein (P35) و تم سمي M-ficolin (FCN-2) L-ficolin وحدد تسلسله (134)، ثم عزل الفيكولين البشري -FCN- M-ficolin (1) من الـ DNA الجينومي والـ DNA المستنسخ (cDNA) cloning DNA وذلك باستنساخ عديدات النوكليوتيد التي ترمز لجزء يشبه L-ficolin وسمي P35-related protein (135،136).

بينما كشف الفيكولين FCN-3 (H-ficolin) في مصل مرضى الذئبة الحمامية الجهازية systemic lupus erythematosus وحدد بوجود أضداد ذاتية عند هؤلاء المرضى وسمي بالاسم القديم للمدينة التي كشف فيها هذا المستضد Hakata (137)، وبقي حتى سنة 1998 حيث حددت مواصفاته وتم استنساخه (138)، على الرغم من أن المؤشرات الأولية بوجوده كانت قبل ذلك بكثير (139).

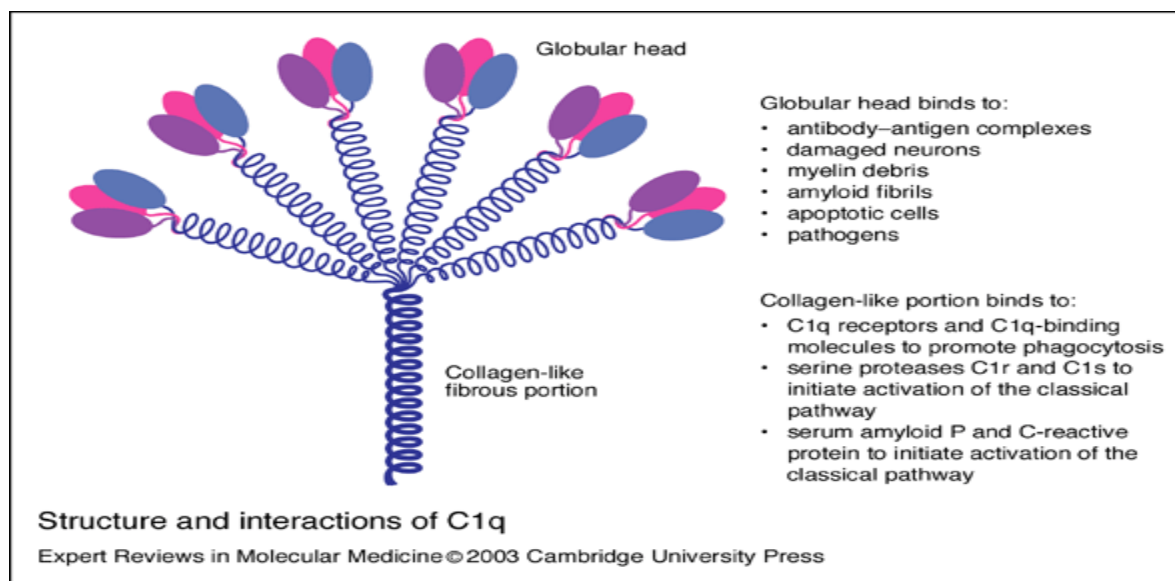
كشف الفيكولين بالإضافة للإنسان عند عدد من الفقاريات منها الجرذان (140،141)، وأيضا الخنازير (142)، والقنافذ hedgehogs (143)، والقيطم xenopus (من البرمائيات) (144)، وعند اللافقاريات كالحلزون ascidians (145).

#### 3-1-2- بنية الفيكولينات Ficolins structure:

تتشابه بنية الفيكولين مع الجزء C1q من المتممة والكتين الرابط للمانوز (MBL) -Mannose-binding lectin (131) (الشكل 24)، إذ تتألف الوحدة subunit في الجزء C1q من 3 سلاسل ببتيدية مختلفة A,B,C مشكلة البنية التركيبية وكل سلسلة لها نوعية مختلفة تتألف من منطقة شبيهة بالكولاجين collagen-like region ونهاية C هي وحدات التعرف (ميدان التعرف) C-terminal recognition domain (الشكل 25) (146).

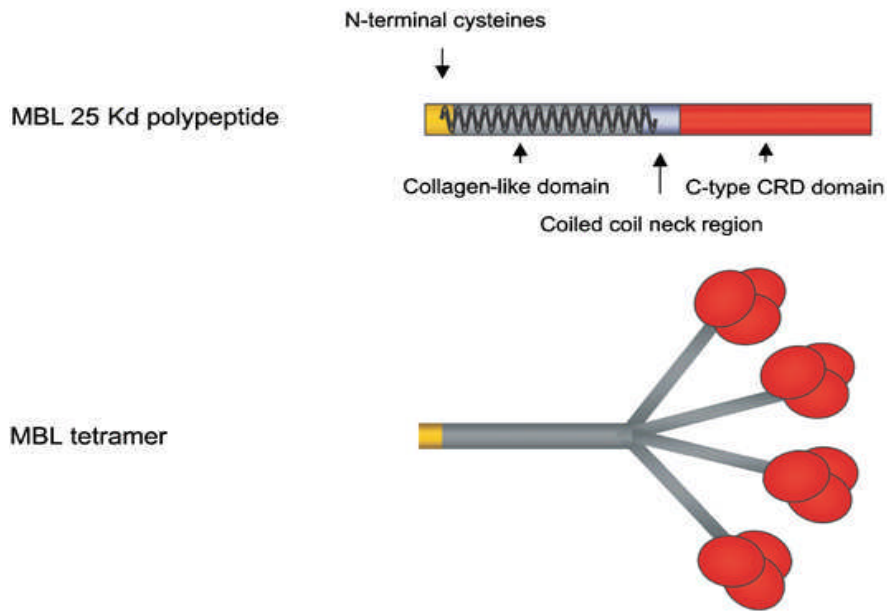


الشكل (24) التشابه بين بنية الفيكولين والـ **C1q** من المتممة والـ **MBL**.



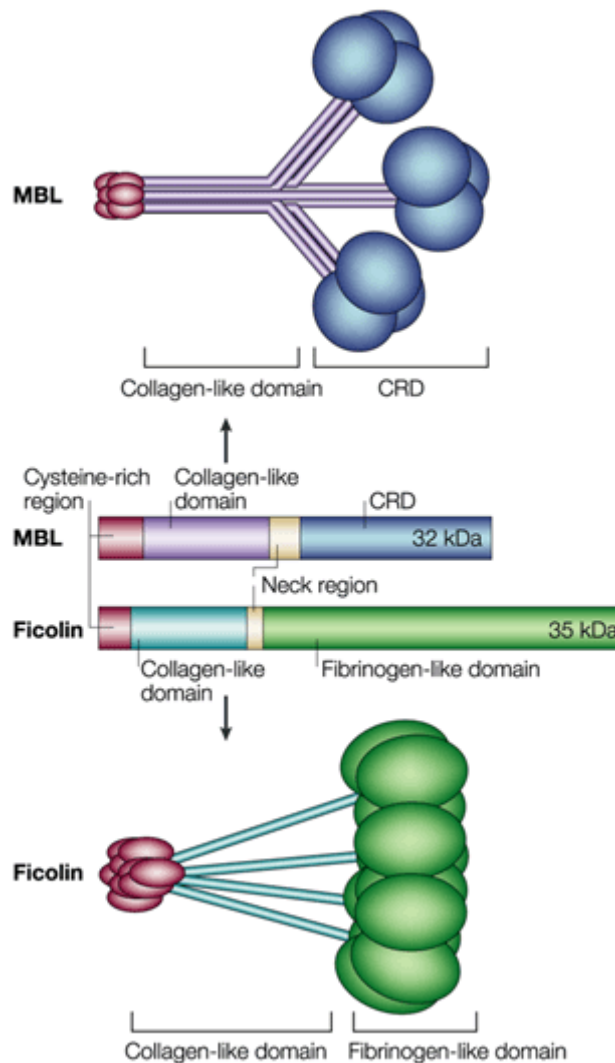
الشكل (25) بنية وارتباطات الجزء **C1q** من المتممة (146).

تتألف الوحيدة وهي البنية التركيبية للـ MBL من 3 سلاسل متماثلة تحوي كل منها منطقة شبيهة بالكولاجين، ووحدات تمييز للكربوهيدرات (ميدان تعرف السكريات) معتمدة على الكالسيوم (الشكل 26)، وبشكل مفصل أكثر تتألف كل سلسلة من سلاسل الـ MBL من نهاية N غنية بالسيستئين، ووحدات شبيهة بالكولاجين، ومنطقة رقبة ونهاية C وهي وحدات تمييز للكربوهيدرات وتتشكل البنية قليلة الأقسام oligomer بواسطة الروابط المتصالبة بين الوحدات عبر الجسور الكبريتية في النهاية N (147، 148).



الشكل (26) بنية البروتين الرابط للمانوز MBL (147).

أما الفيكولين فتتألف الوحيدة من 3 سلاسل ببتيدية متماثلة تحوي وحدات شبيهة بالفيبرونوجين بشكل رأس مؤلف من تجمعاً (عنقوداً) كروياً بينما يتألف الذيل من وحدات شبيهة بالكولاجين، تتجمع مجموعة الأجزاء قليلة القسيمات لتشكل البنية الوظيفية للفيكولين (الشكل 27) (134).



الشكل (27) مقارنة بين بنية الفيكولين والبروتين الرابط للمانوز (149).

وبشكل مفصل أكثر الفيكولين في بنيته النموذجية هي بنية رباعية تتألف من اجتماع 4 وحدات تتضمن كل منها 3 سلاسل ببتيدية (أي أن الشكل الفعال هو 12 جزء) (الشكل 28).

تتألف السلسلة الببتيدية في الفيكولين بالتفصيل من الأجزاء التالية :

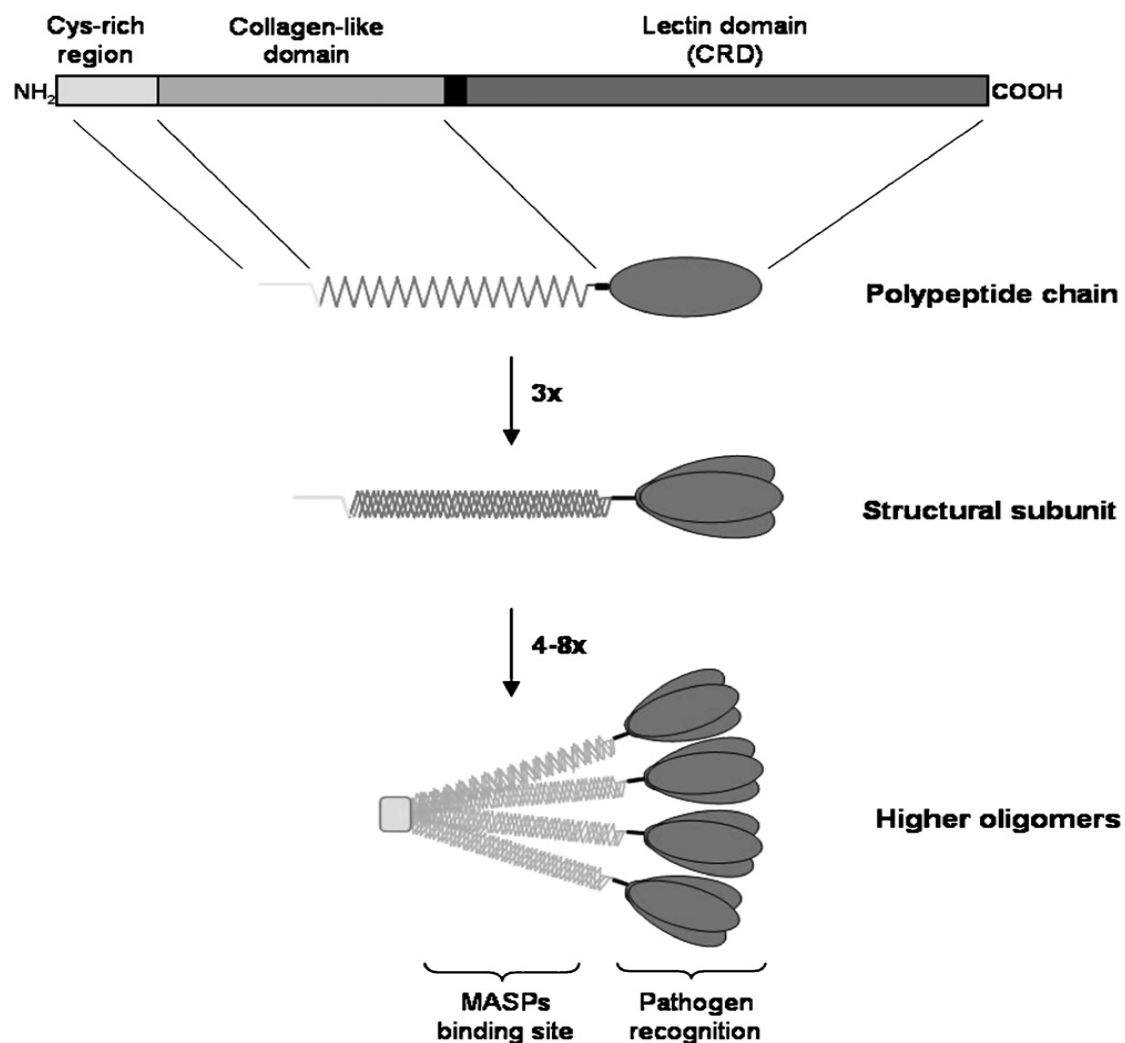
1- نهائية صغيرة NH<sub>2</sub>-terminal N تتصف بمنطقة تحوي ثمالات residues السيستيئين (نهائية N غنية بالسيستئين) والتي تشكل روابط ثنائية الكبريت متصالبة (الجسور الكبرينية) مع السلاسل الأخرى لتشكيل البنية الرباعية وذلك باجتماع الأشكال الثلاثية trimer (مثلوث) إلى شكل عديد القسيمات يشبه العنقود (134).

2- وحدات شبيهة بالكولاجين مسؤولة عن ارتباطه بالإنزيمات Mannose associated serine protease (MASP) تضم كل سلسلة 11-19 تكرار من الثلاثية (Gly-Xaa-Yaa)

حيث يشير  $y, x$  إلى حموض أمينية مختلفة وعبر هذه الوحدات تتجمع السلاسل الببتيدية الثلاثة في الشكل المثلوث مشكلة وحيدة.

3- منطقة الرقبة وهي قصيرة بالمقارنة مع MBL.

4- نهاية C-terminus COOH وهي وحدات شبيهة بالفيبرونوجين التي تشبه النهاية C من سلاسل بتا أو غاما للفيبرونوجين (النهاية C الكروية الفيبرونوجينية) والتي ترتبط بالبنية الهدف. هذا وإن البنية المتعددة الأقسام للفيكولين تضمن ولع النهاية الفيبرونوجينية بالكربوهيدرات على سطح العوامل الممرضة ويتم صيانة البنية المتعددة الأقسام هذه كما أشرنا بواسطة الروابط ثنائية الكبريت في النهاية N هذه الروابط التي تجمع الوحدات الأربعة لتشكل الشكل الفعال الذي يشبه الباقة (الشكل 28) (150، 151، 152).



الشكل (28) البنية التفصيلية للفيكولين (153).

هذا وتتشابه بنية الفيكولين 1 مع الفيكولين 2، إذ أن وزن الوحدة في الفيكولين 1 و2 هو 35 كيلو دالتون، كما أن كليهما ذو بنية رباعية، أما على مستوى الحموض الأمينية فيبلغ التشابه 79% ويرتفع إلى 85% إذا قورنت الوحدات الشبيهة بالفيبرونوجين بمفردها، ولكن عدد تكرارات (Gly-Xaa-Yaa) في الوحدات الشبيهة بالكولاجين في الفيكولين الثاني هو 15 ويرتفع إلى 19 في الفيكولين الأول بسبب وجود اكزون إضافي (150،151)، بينما للفيكولين 3 بنية سداسية بالمجهر الإلكتروني (138)، ويبلغ وزن تحت وحدته 34 كيلو دالتون أما عدد تكرارات (Gly-Xaa-Yaa) فهي 11 ومع ذلك يتشابه الفيكولين 3 مع 1 و2 بنسبة 45% وترتفع النسبة إلى 58% في حال مقارنة الوحدات الشبيهة بالفيبرونوجين بمفردها.

أما فيما يتعلق بعدد الحموض الأمينية، يضم بروتين الفيكولين 1 326، و الفيكولين 2 313، أما الفيكولين 3 فيضم 299 حمضا أمينيا (الجدول 3).

نوع الفيكولين		عدد الحموض الأمينية		المعالجة الجزيئية		المناطق	
				الببتيد الاشعاري	السلسلة	الوحدات الشبيهة بالكولاجين	الوحدات الشبيهة بالفيبرونوجين
M-ficolin (FCN-1)	326	من (29-1) = 29	من (326-30) = 297	من (93-55) = 39	من (326-109) = 218		
L-ficolin (FCN-2)	313	من (25-1) = 25	من (313-26) = 288	من (92-51) = 42	من (313-96) = 218		
H-ficolin (FCN-3)	299	من (23-1) = 23	من (299-24) = 276	من (80-48) = 33	من (299-84) = 216		

الجدول (3) مقارنة بنية الفيكولينات الثلاثة (131).

### 3-3-1- جينة الفيكولينات Ficolins Genes:

عزل عند الانسان 3 جينات للفيكولين FCN1, FCN2, FCN3 والتي ترمز لـ

Ficolin-1 (المترادف لـ ficolin-M أو Ficolin/P35-related protein)

Ficolin-2 (المترادف لـ L-ficolin أو Hucolin أو Ficolin/P35)

Ficolin-3 (المترادف لـ H-ficolin أو Hakata antigen أو البروتين السكري العطوب

بالحرارة  $\beta$ 2 thermolabile  $\beta$ 2-macroglycoprotein)

تتوضع جينة (مورثة) الـ FCN1 و FCN2 على الصبغي التاسع في الموقع 9q34 بينما ينسب

الـ FCN3 للصبغي الأول في الموقع (1p36.11) (135،138) (الجدول 4).

تضم مورثة الـ FCN1 9 اكزونات بينما تضم مورثة الـ FCN3 8 اكزونات.

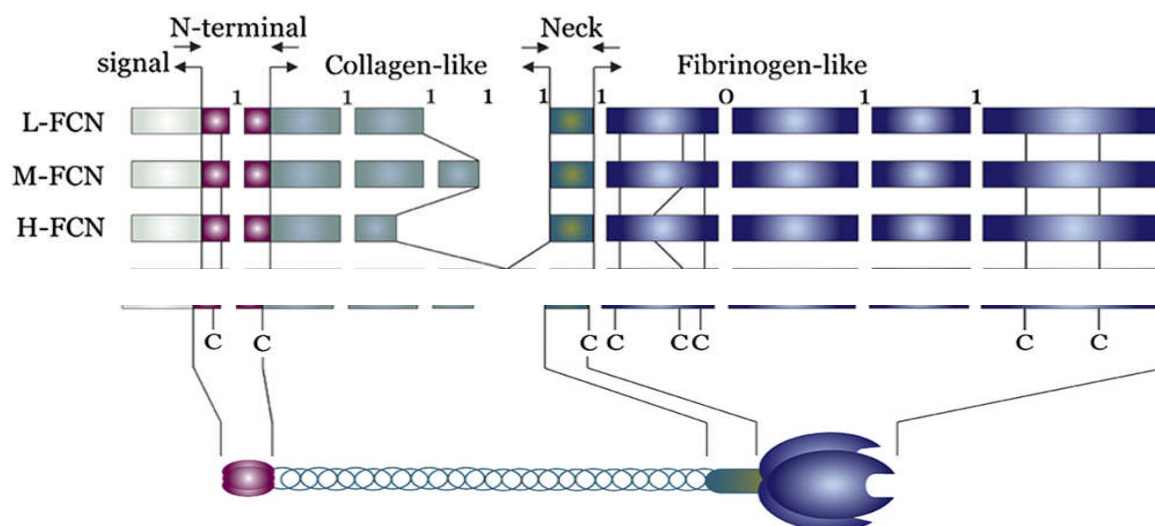
البروتين					المورثة		الفيكولين
الوظيفة	عدد تكرارات الـ Gly-Xaa-Yaa	أماكن تواجده	عدد الأجزاء (mer)	وزن الوحدة (kDa)	أماكن التعبير عن mRNA	الموقع	
مستقبل بلعمي+ تفعيل المتممة	19	سطح وحيدات النوى	12	35	الكريات البيض (وحيدات النوى المحيطية)	9q34	(FCN-1)
تفعيل المتممة+ الطهي	15	البلازما	12	35	الكبد	9q34	(FCN-2)
تفعيل المتممة+ الطهي	11	البلازما	18	34	الكبد الرئتين	1p36.11	(FCN-3)

الجدول (4) أهم مواصفات جينة الفيكولينات والبروتينات الناجمة عنها (131).

تتألف جينة الفيكولين 2 من 8 اكزونات يرمز الاكزون الأول للنهاية 5 غير المترجمة- the 5<sub>-</sub>UTR), untranslated region وبتتيد مفرد leading peptide بالإضافة لبعض الحموض الأمينية في النهاية N وعددها 9، ويرمز الاكزونين الثاني والثالث للوحدات الشبيهة بالكولاجين، بينما يرمز الاكزون الرابع لمنطقة الرقبة التي تسبق الوحدات الفيبرونوجينية الكروية التي ترمز أيضا بالاكزونات من (5-8)، كما يرمز الاكزون الثامن أيضا للمنطقة غير المترجمة (5<sub>-</sub>UTR) بالإضافة لما تبقى من النهاية الفيبرونوجينية (133).

تضم مورثة الفيكولين 1 اكزون إضافي يرمز لقطعة إضافية هي 4 تكرارات إضافية من الثلاثية Gly-Xaa-Yaa في الوحدات الشبيهة بالكولاجين، وبسبب التشابه بين الفيكولين 1 و2 في التسلسل البدئي، موقع المورثة و تنظيم الاكزونات يعتقد أن المورثتين تنجمان عن تضاعف مورثي (154).





الشكل (29) تنظيم جينة الفيكولين وترميزها للبروتين تشير الأرقام (0،1) إلى أطوار انغراز الانترون بينما يشير الحرف C إلى ثملات السيستين المصانة. (155).

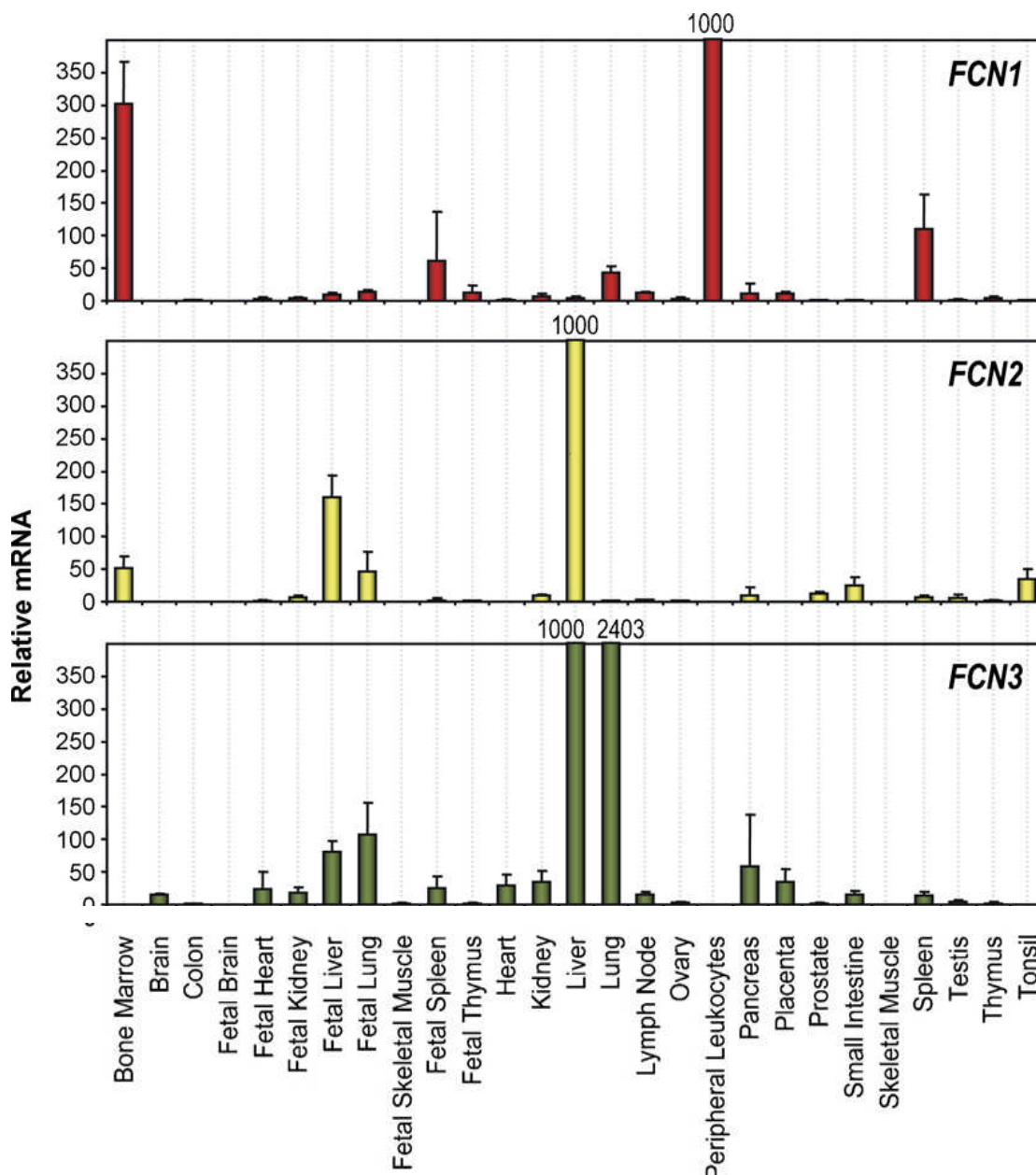
#### 4-3-1- أماكن التعبير Sites of ficolin expression :

يعبر عن الفيكولين 1 بشكل أساسي في وحيدات الدم المحيطية ونقي العظام، والقليل منه في الطحال و الخلايا السنخية من النمط الثاني type II alveolar في الرئتين (136،135،156،157)، وقد أثبت وجوده على سطح الخلايا وحيدات النوى وبذلك يكون درجة التعبير عن الفيكولين 1 ترتبط بنضج وحيدات النوى إلى بالعات، وبالتالي فإن البعض يقدر مستواه المصلي بين (0.04–0.11) ميكروغرام/مل أي وسطيا 0.06 (158) والبعض الآخر يقدره بين (0.28–4) ميكروغرام/مل أي وسطيا 1 ميكروغرام/مل (159).

يعبر عن الفيكولين 2 بشكل أساسي في الكبد (152،135)، ووجدت كميات قليلة من mRNA الفيكولين 2 في نقي العظام واللوزات والأمعاء (160،157)، ولكن لم يعرف حتى الآن إن كانت نماذج التعبير هذه يتم ترجمتها لتكوين هذا البروتين (157)، يتراوح تركيز الفيكولين 2 من 1-12 ميكروغرام/مل وأغلب القيم بين (3-6) ميكروغرام/مل (161-163).

يعبر عن الفيكولين 3 في الكبد والرئتين، إذ يتم التعبير عنه في الكبد من قبل الخلايا الكبدية وخلايا القناة الصفراوية ويفرز منها إلى القناة الصفراوية والدوران، أما في الرئتين فتقوم بهذه المهمة خلايا ظهارة القصبات المهدبة والخلايا السنخية الظهارية من النمط الثاني ويفرز منها إلى لمعة القصبات والمسافات السنخية، كما يعبر عنه أيضا بكميات قليلة في القلب والكلية والبنكرياس والطحال والمشيمة، وكشف mRNA الخاص به بكميات قليلة في الدماغ (165،160،164)، أما تركيزه فيتراوح من (3-54) ميكروغرام/مل والوسطى 25 ميكروغرام/مل (166).

يتواجد الفيكولين 2 والفيكولين 3 في المصل ويظهران اختلاف بتراكيزهما المصلية بين الأشخاص (162،134،167).



الشكل (30) التوزيع النسيجي للفيكولينات (أماكن التعبير الأساسي للفيكولين 1 هي الكريات البيضاء المحيطة وكميات قليلة في نقي العظم والطحال، بينما يعبر عن الفيكولين 2 في الكبد والفيكولين 3 في الرئة والكبد). (157).

### 1-3-5-ارتباطات (تفاعلات أو تآزرات) الفيكولينات: Interaction of ficolins

يمكن لكل أنواع الفيكولينات أن ترتبط عبر النهاية الفيرونوجينية بمجموعة الأسيتيل سواء من الكربوهيدرات مثل N-أسيتيل غلوكوز أمين GlcNAc، أو N-أسيتيل غالاكتوز أمين

GalNAc، أو مع مركبات أخرى مثل N-acetyl-glycine، أو مركبات صناعية تتضمن الأسيتيل مثل acetylated albumins و acetylated LDL ولكن بدرجات مختلفة فيما بينها. وبناء عليه يرتبط الفيكولين 1 مع N-أسيتيل غلوكوز أمين للإشريكية القولونية Escherichia coli (156)، كما أنه يستطيع طهي العنقودية الذهبية Staphylococcus aureus بتفاعله معها بروابط غير معروفة، بالإضافة لذلك يرتبط الفيكولين 1 أيضا بالسلاسل ذات النمط الناعم (LT2) من السالمونيلا الفأرية (S. typhimurium)، بينما لا يرتبط بالسلاسل ذات النمط الخشن TV119 (168) على النقيض تماما من الفيكولين 2 مما يشير إلى اختلاف طيف العوامل الممرضة التي تميزها الفيكولينات (134).

تشمل روابط الفيكولين 2 بالإضافة لـ GlcNAc, GalNAc الـ N-acetyl-mannosamine وأيضا مجموعة الأسيتيل على السيستئين و الغلايسين (169)، وبذلك يستطيع سريريا تمييز عوامل ممرضة هامة كما يعمل على طهيها مثل السالمونيلا الفأرية ذات النمط الخشن TV119 والعنقوديات المذهبة و العقديات الرئوية (S. pneumoniae) والإشريكية القولونية.

اقترحت الدراسات أن الفيكولين 2 مصمم للارتباط بالكربوهيدرات الطويلة التي تحوي ثملات محايدة و ثملات الأسيتيل، ومثال على هذا الارتباط الخاص هو ارتباط الفيكولين 2 مع الليبوتكويك أسيد lipoteichoic acid (LTA) البنية الأساسية في جدار الجراثيم ايجابية الغرام (170)، الذي هو أيضا جزيء مطول يضم جزيئات الـ GlcNAc أي روابط (b-1-3 link) بين حلقات الغلوكوز والغالاكتوز (171).

كما يبدو أن الفيكولين 2 متورط في البلعمة المتواسطة بالطهي للعقديات III group B streptococci (172) حيث أن محفظة الأخيرة ذات بنية مطولة التي تضم ثملات الـ GlcNAc ليس في الموضع النهائي وحسب ولكنه أيضا روابط (b-1-4 link , b-1-3) مختلفة بين حلقات الغلوكوز والغالاكتوز β-(1-3)-D-glucan (150).

وكغيره من بروتينات تمييز الغلوكان الأخرى 1,3-b-D glucan-recognizing proteins، من المرجح أن الفيكولين 2 يرتبط أيضا بكربوهيدرات مطولة تحوي أسيتيل وجذور حيادية مثل الـ 1,3-b-D glucan الموجود في جدر الخمائر والفطور وسطوح بعض الجراثيم والخلايا الميتة (172، 173)، والأبعد من ذلك أن ارتباط الفيكولين 2 بالـ 1,3-b-D-glucan لا يتضمن مجموعات الهيدروكسيل C4 للغلوكان، وهكذا يمكن أن يستوفى تفاعل مماثل بين الفيكولين 2 والمحددات عديدة السكريد poly-1,3-b-D-galactosyl polysaccharide determinants والذي هو على سبيل المثال عامل فوعة طفيلي الليشمانية الكبيرة (174)، كما تشير الدراسات

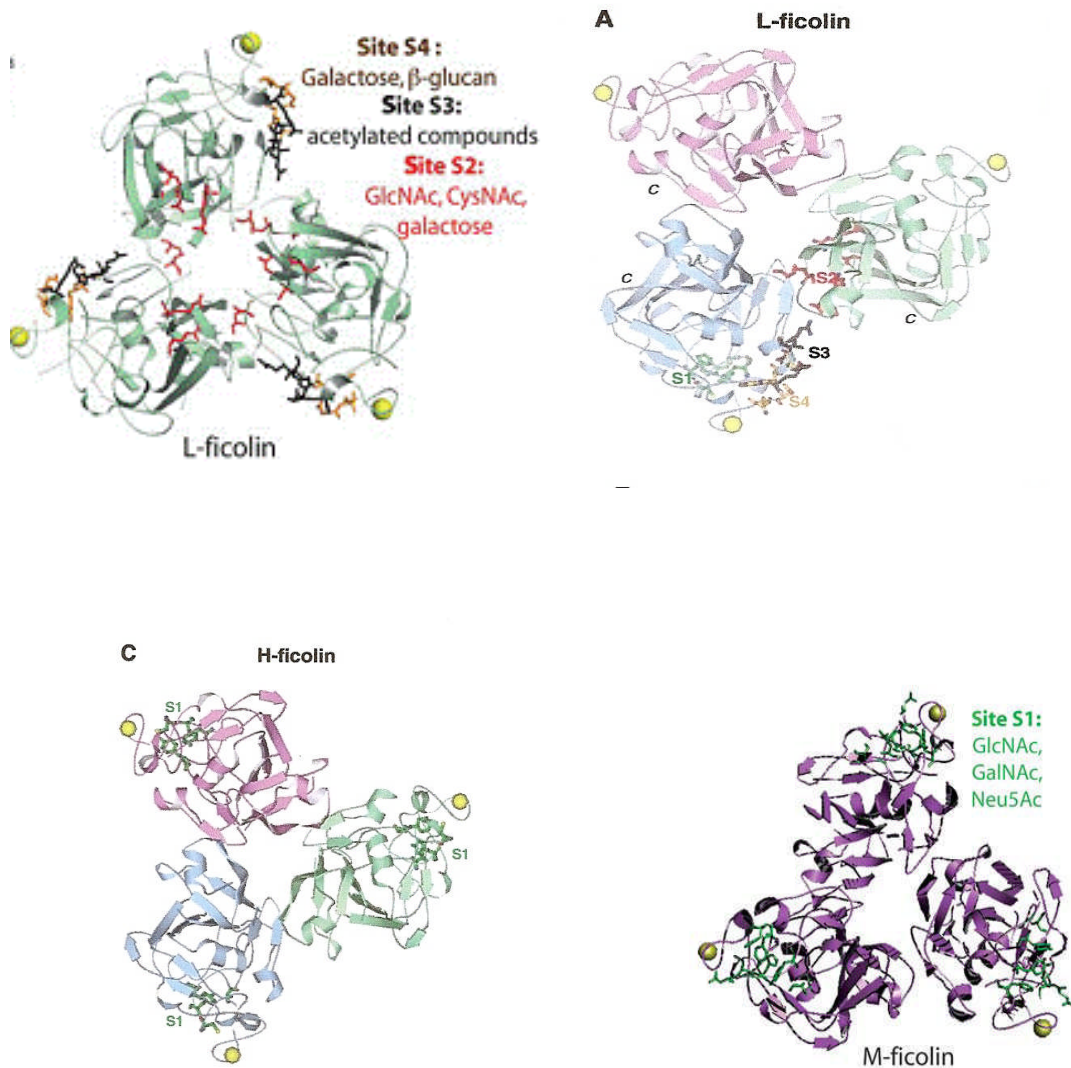
أن الـ DNA أحد الروابط المفترضة للفيكولين 2 على سطح الخلايا الميتة في طورها المتأخر فقط والخلايا المتنخرة ويبدو أن هذا الارتباط مختلف عن GlcNAc كونه معتمد على الكالسيوم (175،176).

وبناء على ماسبق يستطيع الفيكولين 2 تمييز طيف أكبر من الجزيئات المرافقة للعوامل الممرضة (PAMP) pathogen-associated molecular patterns والتي تقع غالبا في جدر العوامل الممرضة مثل: الليبوتوكويك أسيد (LTA) في جدار ايجابيات الغرام، والبيتيدوغليكان (PGN)، وعديد السكريد الشحمي (LPS) lipopolysaccharide في جدار سلبيات الغرام، و-1,3-β-D-glucan في جدار الخمائر والفطور والـ Elastin والكورتيكوستيروئيدات والـ DNA (174،131،175،177).

ييدي الفيكولين 3 ولعا للـD-fucose, GalNAc, GlcNAc ويمكن أن يرتبط بالسالمونيلا التيفية الفأرية والسالمونيلا مينيسوتا (Salmonella Minnesota) وعلى النقيض من الفيكولين 1 و2 فإنه لا يرتبط لا مع العنقوديات المذهبة ولا مع العقديات الرئوية، ولكن لوحظ ارتباطه المهم بمحفظة الرويحية المخضرة Aerococcus viridians الغنية بعديدات السكريد (179،138،178).

وكما هو الحال في الفيكولين 2 فإن الفيكولين 3 يرتبط إلى الخلايا الميتة أيضا (175،180). الذي قادنا إلى أن نفترض أن هذه الجزيئات تتدخل في إزالة الخلايا الميتة.

هذا وإن اختلاف نوعية السكاكر التي يرتبط بها الفيكولين والبروتين الرابط للمانوز يعني أن ذراعيهما يكمل بعضهما الآخر، فكل منهما له جمهرة من العوامل الممرضة التي يرتبط بها مختلفة عن الآخر، على الرغم من بعض التداخل أحيانا، فبينما تشير البيئة البللورية للفيكولين 1 و3 بوجود موقع ارتباط واحد على الوحدات الشبيهة بالفيريونوجين يملك الفيكولين 2 أربعة مواقع مما يدل على مجاله الواسع لارتباطاته أكثر من الفيكولينات الأخرى (150،181).



الشكل (31) مقارنة مواقع الارتباط على الفيكولينات الثلاثة (S1 لون بالأخضر، S2 بالأحمر، S3 بالأسود، S4 بالبرتقالي)، بينما تظهر ايونات الكالسيوم بشكل كرات ذهبية (150).

روابط أخرى	روابط الكربوهيدرات	الفيكولين
<ul style="list-style-type: none"> <li>• sialic acid</li> </ul>	<ul style="list-style-type: none"> <li>• GlcNAc</li> <li>• GalNAc</li> </ul>	الفيكولين 1
<ul style="list-style-type: none"> <li>• N-acetylneuraminic acid</li> <li>• lipoteichoic acid</li> <li>• C-reactive protein</li> <li>• fibrinogen</li> <li>• fibrin</li> <li>• 1,3-β-D-glycan</li> <li>• DNA</li> <li>• Elastin</li> <li>• corticosteroid</li> <li>• Peptidoglycan</li> </ul>	<ul style="list-style-type: none"> <li>• GlcNAc</li> </ul>	الفيكولين 2
<ul style="list-style-type: none"> <li>• lipopolysaccharide</li> <li>• polysaccharide</li> </ul>	<ul style="list-style-type: none"> <li>• GlcNAc</li> <li>• GalNAc</li> <li>• Fucose</li> </ul>	الفيكولين 3

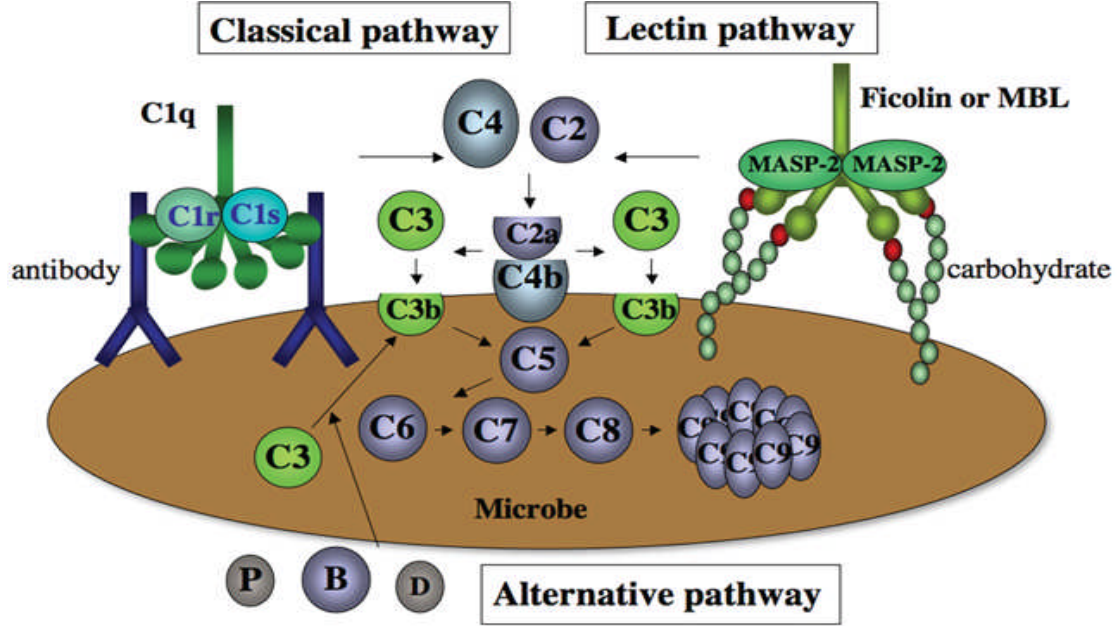
الجدول (5) أهم ارتباطات الفيكولينات (153، 182، 183).

### 6-3-1- الفيكولين وتفعيل المتممة Ficolin and Complement Activation:

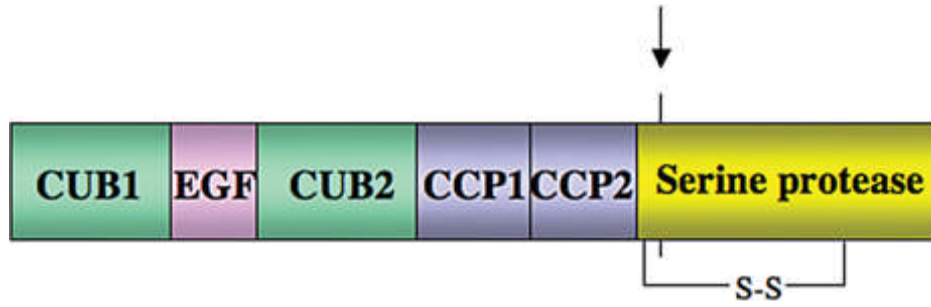
يعد نظام المتممة ذراعاً هاماً في المناعة الطبيعية، وتتواجد في الدوران بشكل شلال بروتياز مصلية يتم تفعيلها بأساليب متعددة (الشكل 32): أولها السبيل الكلاسيكي الذي يبدأ بتمييز المعقد المناعي من قبل الـ C1q والتفعيل المتتالي للبروتياز المصلية C1r و C1s، بينما يتفعل السبيل الثاني وهو السبيل البديل من قبل العوامل الممرضة نفسها بدون إشراك الأضداد، هذا ويعتبر السبيل الثالث المكتشف مؤخراً إحدى أهم الانجازات الحديثة لأبحاث المتممة ويسمى سبيل اللكتين الرابط للمانوز MBL pathway، والأخير هو بروتين من عائلة الكولكتين الذي يشبه في بنيته الفيكولين ولكن بدل الوحدات الشبيهة بالفيريونوجين نجد وحدات رابطة (تميز الكربوهيدرات) (184)، حيث أن البروتين الرابط للمانوز وعبر نهايته الكولاجينية يترافق مع إنزيم البروتياز (MASP) الذي يشبه في بنيته C1r و C1s، فعند ارتباط وحدات التعرف الموجودة على MBL مع الجزيئات المرافقة للعوامل الممرضة (PAMPs) مثل الكربوهيدرات أو مركبات الأسيتيل وغيرها الموجودة على سطح العوامل الممرضة أو الخلايا الميتة فإن الـ MASP المرتبطة مع MBL تتفعل فينشطر الارتباط بين arginine-isoleucine (Arg-Ile) وتنقلب من الشكل طليعة الإنزيم عديد الببتيد غير الفعال إلى الشكل الفعال المؤلف من



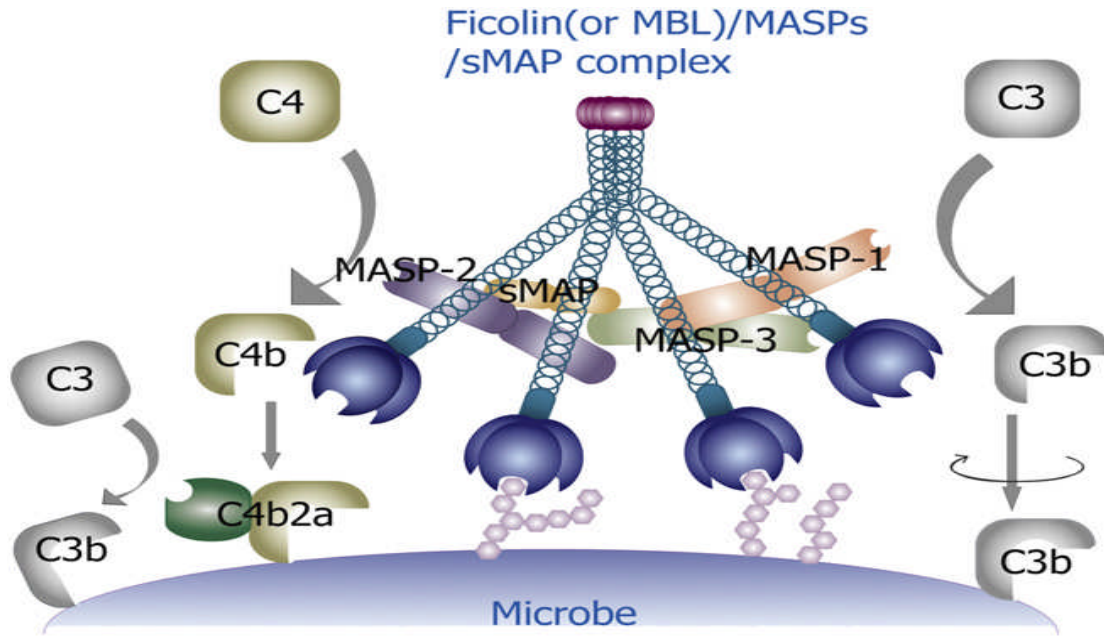
سلسلتين عديدة ببتيد مرتبطة بروابط كبريتية ذات فعالية حالة بروتينية تجاه مكونات المتممة (الشكل 33).



الشكل (32) السبل الثلاثة لتفعيل المتممة (182).



الشكل (33) بنية عائلة MASP ، يشير السهم إلى موضع الانشطار أثناء تحويله من الشكل غير الفعال إلى الشكل الفعال (182).



الشكل (34) رسم تخطيطي لتفعيل المتممة بسبيل اللكتين عن طريق المعقد *ficolin/MASPs/sMAP* (155).

يوجد عند الانسان 3 أنواع من إنزيمات MASP وهي (MASP-1, MASP-2, MASP-3) (185-187) وشكل مبتور من MASP-2 هو sMAP (188) أو MASP-19 (189) (الشكل 34). يشطر الـ MASP-1 الـ C3, C2 و يشطر الـ MASP-2 الـ C4, C2 (190)، بينما تبقى وظيفة الـ MASP-3 و sMAP غير معروفة، والنتيجة تشكل الـ C4b و C2a التي ترتبط مع بعضها مشكلة C3 convertase الذي يشطر الـ C3 إلى C3a و C3b، حيث يرتبط الـ C3b بشكل متكافئ ببروتينات سكرية موزعة على سطوح العوامل الممرضة، بالمقابل فإن البالعات والمعدلات تملك مستقبلات للـ C3b وبإمكانها ربط الخلايا المغلفة بالـ C3b، بعض الـ C3b يرتبط بالمعقد C4bC2a ويشطر C5 إلى C5a و C5b عندها يرتبط الـ C5b بالـ C6, C7، والـ C8 و الـ C9 مشكلة معقد مهاجمة الغشاء (MAC) membrane attack complex الذي يعمل على حل خلايا العوامل الممرضة.

إن التشابه في البنية والوظيفة بين الفيكولين والـ MBL يطرح سؤالاً إن كان الإنزيمات السابقة ترافق الفيكولين أيضاً؟ وبالفعل فقد أثبت التلطخ والترسيب المناعي أن الفيكولين 2 المعزول من مصل الانسان يرتبط مع (MASP-1, MASP-2, MASP-3, sMAP) (131, 191). وأن هذه الإنزيمات تكون بشكل طليعة غير فعالة في المعقد *ficolin/MASPs* وتنقلب إلى الشكل الفعال خلال تنقية المعقد، كما أن لها فعالية حالة للبروتين تجاه الـ C3, C2, C4 وذلك كما هو الحال في MBL/MASPs، كما أن هذا المعقد لا يتضمن الـ C1r و C1s وبالتالي أضعاف الـ C1s ليس لها تأثير على تفعيل C4 عبره، مما يشير إلى غياب الـ C1s في المعقد السابق،



وعند ربط أضداد الفيكولين 2 وحيدة النسيلة إلى أطباق مجهرية استطاع المعقد تفعيل الـ C4 مما يدل على قدرته على تفعيل المتممة بالطور الصلب والسائل، وقد تم إثبات القدرة بالطور الصلب بإجراء تجارب ربط فيها معقد الفيكولين السابق إلى سطح سلاطات السالمونيلا التيفية TV119 الذي أدى إلى تفعيل C4 (191).

وكما هو الحال بالنسبة للفيكولين 2 فإن كل من الفيكولين 1 والفيكولين 3 يترافق مع MASPs و sMAP ويفعل المتممة بارتباطه ببعض الكربوهيدرات وشطره للـ C2, C4, C3 (168, 193, 192, 191)، ولكن القدرة على تفعيل المتممة تختلف فيما بينها حيث أن قدرة الفيكولين 1 أقل من الفيكولين 2 و 3 (160).

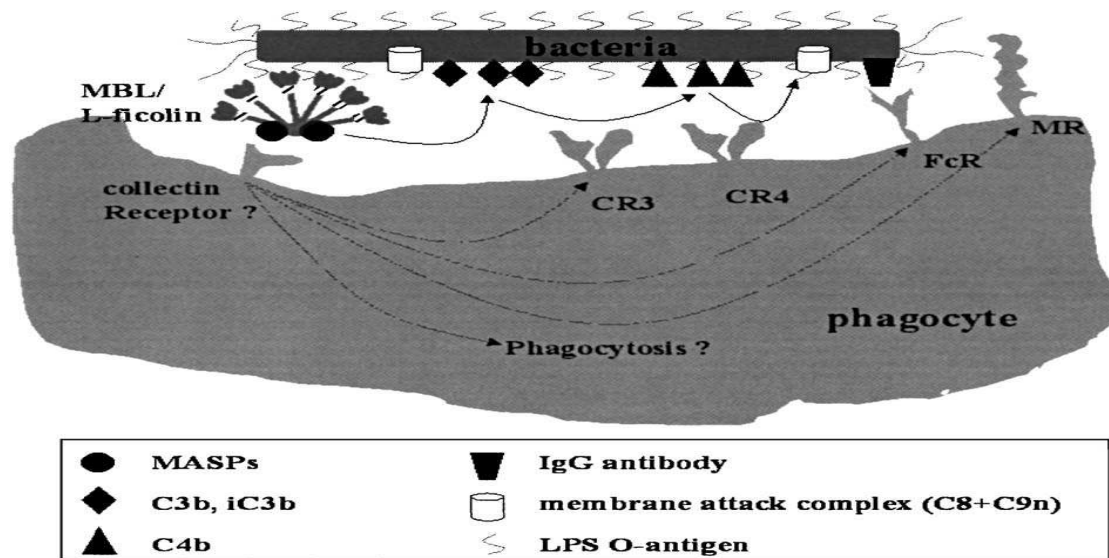
وتجدر الإشارة إلى أن MASP-1 و MASP-3 ينجمان عن نفس الجينة في الموقع -3q27 و q28، كما ينجم الإنزيمان MASP-2 و sMAP عن نفس الجينة في الموقع 1p36.3-p36.2.

### 1-3-7- آليات عمل الفيكولين والمناعة الطبيعية Functional mechanisms : of ficolin and innate immunology

يقود ارتباط الفيكولين بالعامل الممرض إلى إطلاق عمليات مناعية عديدة: كتفعيل المتممة والبلعمة وغيرها وعلى ما يبدو فإن التأثير البيولوجي الأهم هو تفعيل المتممة (153, 155) الذي يؤدي للطهي غير المباشر عبر ترسب أجزاء المتممة الطاهية C4b و C3b على العامل الممرض، وهذا يشجع تصفيتها وبلعمتها بواسطة التفاعل مع مستقبلات الـ C4b و C3b على سطح البالعات (161, 175)، أو القضاء على الهدف بتشكيل معقد مهاجمة الغشاء بدون تدخل مستقبلات الفيكولين على سطح البالعات (191).

من جهة أخرى يمكن للفيكولينات أن تلعب نفسها دور الطاهي وهذا الفعل مدعوم بقدرة أضداد الفيكولين 1 على تثبيط بلعمة الإشريكية القولونية من قبل الخلايا طليعة الوحيدات U937، وقدرة الفيكولين 2 على تعزيز بلعمة السالمونيلا التيفية من قبل العدلات، كما أن ارتباط الفيكولين 3 بالخلايا الميتة بطورها المتأخر نجم عنه تعزيز الالتصاق والتمثل من قبل البالعات، هذا وإن فعل الطهي هذا يتطلب تفاعل بين هذا البروتين والمستقبلات على سطح البالعات، ومن المرجح أن الفيكولينات تتشاطر مستقبلات الكولكتينات calreticulin (CRT) ومستقبل الميدان الكولاجيني للجزء C1q من المتممة (cC1qR (receptor for the collagenous domain of C1q والتي أثبت أن الفيكولين 2 و 3 ترتبط بها (175, 180)، والعديد من المستقبلات الأخرى مرشحة للعب هذا الدور منها CR3, FcR (الشكل 35).

كما أنه عند ارتباط الفيكولين بمستقبلات الكوليكتين فإنه يفعل الخلايا المناعية على إفراز السيتوكينات مثل عامل نخرة الأورام  $\text{TNF-}\alpha$  والانتروكينينات IL-1 و IL-8 (177).



الشكل (35) التخلص من العوامل الممرضة بالبلعمة المتواسطة بالفيكولين بشكل مستقل عن المتممة (183).

### 1-3-8- وظائف أخرى للفيكولينات other functions of ficolins:

يبدو أن الفيكولين 1 يعمل كبروتين طور حاد يخزن بشكل مؤقت في الحبيبات الإفرازية للكريات البيض المعتدلة ووحيدة النوى لذلك يوجد بتركيز قليل في المصل الطبيعي (156)، ولكن يمكن أن يفرز إلى المنطقة المجاورة لإتمام عمله في دفاعات الثوي لدى تحريضه عبر العوامل الممرضة أو السيتوكينات (158)، ومن المثبت أيضا أن الفيكولين 1 يعزز تمثّل الجراثيم من قبل الكريات البيض وحيدة النوى، وذلك بالإضافة لدوره كمستقبل بلعمي بتمييز العوامل الممرضة أيضا lectin-like phagocytic receptor for pathogens (156)، وقد تم إثبات الدور الطاهي للفيكولين 1 أيضا عن طريق بلعمة الخلايا U937 للـ *E. coli* حيث تم تثبيط فعل البلعمة باستخدام أضداد الفيكولين 1 (156).

كما أنه بالإضافة لارتباط الفيكولين 1 بالـ  $\text{GlcNAc}$  والـ  $\text{GalNAc}$  فإنه يرتبط مع حمض السياليك Sialic acid الذي يلعب دورا مهما كمستقبل للجزيئات التي تنظم النمو والتمايز الخلوي، وكذلك الاتصال الخلوي والالتصاق (194).

وبالمخلص باستطاعة الفيكولين 1 أن يتصرف كميدان تمييز مرافق للخلايا cell-associated pattern Recognition مماثل للـ Toll-like receptors (TLRs) وأيضا كمستقبل داخل

الخلايا مثل intracellular nucleotide-binding-oligomerization domain protein (NOD)-like receptors (195).

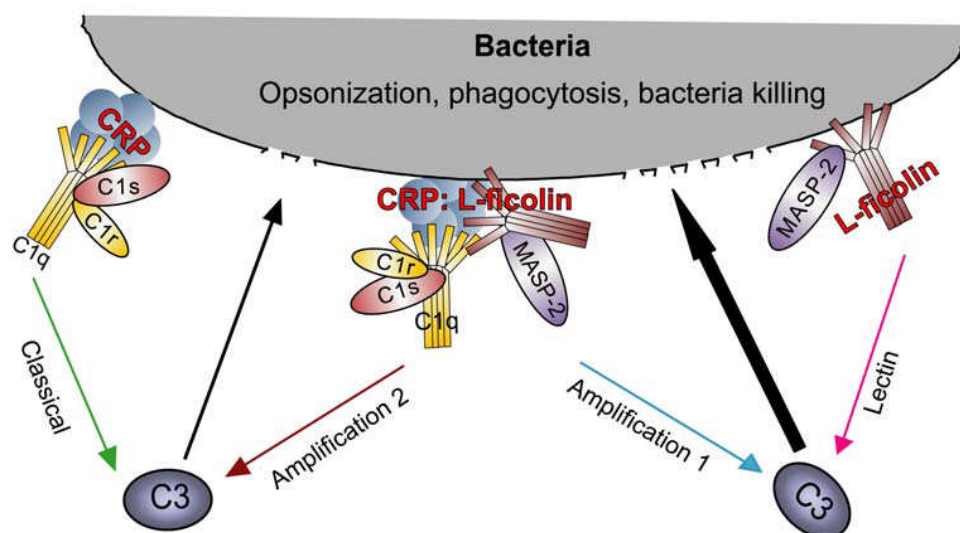
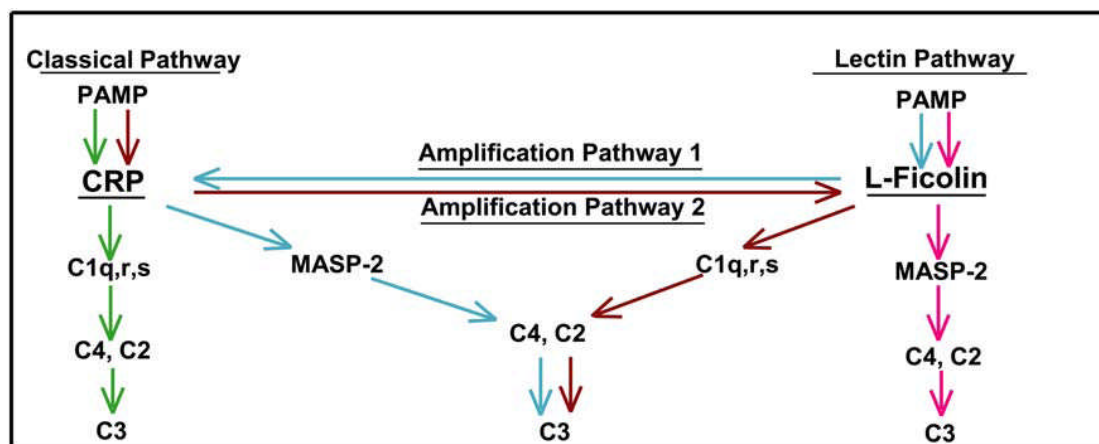
أما الفيكولين 2 بالإضافة لعمله بتفعيل المتممة ودوره كطاهي للبلعمة، هذا الدور الذي تم إثباته عن طريق تعزيز تمثّل السالمونيلا التيفية TV119 وبلعمتها من قبل المعتدلات ووحيدات النوى (134)، يتدخل الفيكولين 2 في عملية الاستماتة الخلوية apoptosis بتمييزه الـ DNA، إذ أنه يرتبط إلى الخلايا المتنخرة والخلايا الميتة بطورها المتأخر (175)، وإن طهي الخلايا المتنخرة المحفزة بالفيكولين 2 يعزز التصاقها وتمثلها بواسطة البالعات كما يعزز تفعيل المتممة الذي ينتج عنه الجزء C3b الطاهي أي أنه كما هو الحال في المناعة الطبيعية فإنّ الفيكولين 2 فعالية طاهية خلال عملية الاستماتة أيضا (175، 176)، وفعالية الطهي هذه للفيكولينات البشرية تتوسطها مستقبلات على البالعات كـ CR1, cC1q receptor/calreticulin (182)، وهكذا يبدو أن الوظيفة الجديدة للفيكولين 2 هو المساعدة في تمييز وتصفية خلايا المضيف الميتة فيكون بذلك جزيئة كائنة للحفاظ على استتباب الأنسجة.

كما يمكن للفيكولين 2 أن يميز البروتين الارتكاسي الالتهابي المترسب CRP (196)، والـ CRP هو بروتين مصلي يرتبط إلى كربوهيدرات خاصة على سطح العوامل الممرضة، وإن الـ C1 يرتبط إلى CRP عبر الجزء C1q مفعلا المتممة بالسبيل التقليدي من دون تدخل الغلوبولينات المناعية، وقد أثبتت الدراسات أن الفيكولين 2 يرتبط مع البروتين الارتكاسي الالتهابي في الانتانات والالتهابات الموضعية، وهذا الارتباط يقوي ارتباط الـ CRP بالعوامل الممرضة، وبالنتيجة يضخم تفعيل المتممة (197)، وهذه الموجودات تقترح التعاون بين الفيكولينات والـ CRP خلال الطور الشدة الالتهابي في تهيئة الاستجابة الالتهابية و في المناعة الطبيعية (الشكل 36).

أما الفيكولين 3 فإنه يفعل المتممة كما ذكر سابقا بارتباطه مع MASP وكما هو الحال في الفيكولين 2 فإنّ الفيكولين 3 يرتبط إلى الخلايا الميتة (175، 180)، الذي قادنا إلى أن نفترض أن هذه الجزيئات تتدخل في إزالة الخلايا الميتة.

هكذا فإنّ للفيكولينات عملا مشابها للـ MBL إذ أنها تميز عوامل ممرضة مختلفة عبر وحداتها الرابطة للكربوهيدرات وتحذفها بواسطة الطهي على ما يبدو بواسطة وحداتها الشبيهة بالـ كولاجين، إذا تعمل الأنواع الثلاثة من الفيكولينات كجزيئات تمييز وتصفية الثوي من العناصر

الغريبة كالعوامل الممرضة والخلايا الميتة عبر سبيل الليكتين (155)، وكل ما سبق يقدم دليل على حقيقة أهمية هذه الجزيئات في المناعة الطبيعية.



الشكل (36) التعاون بين الفيكولين 2 والـ CRP في تفعيل المتممة (196).

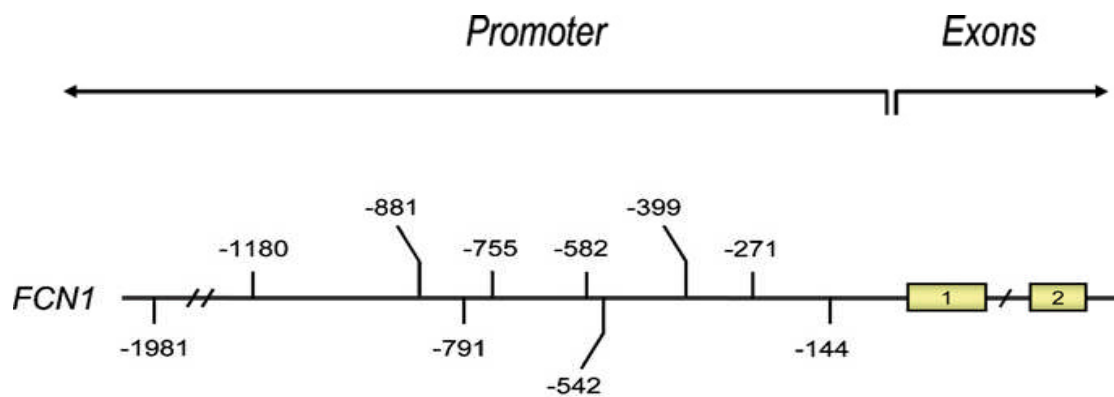
### 1-3-9- تعدد الأشكال في جينة الفيكولينات والنتائج (المقتضيات) السريرية

#### Genetic polymorphism of ficolins and clinical implication

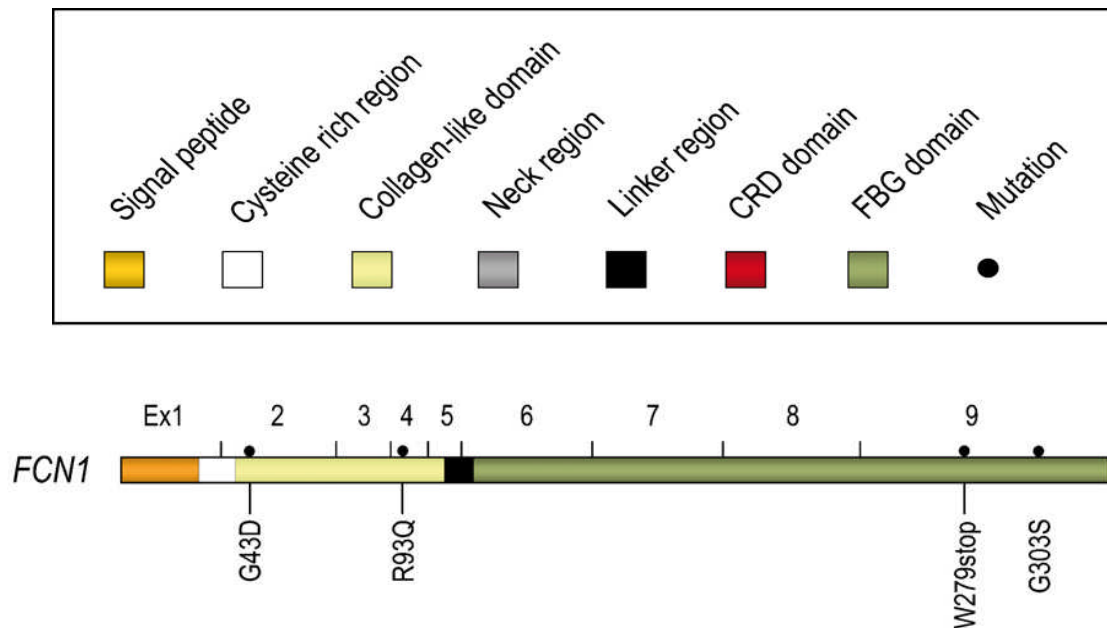
بسبب التشابه بين الفيكولينات و MBL من حيث البنية والوظيفة إلى حد ما، يفترض أن تبدي الفيكولينات دوراً مماثلاً في علاقتها بالأمراض بطريقة مكملة أو مشابهة لهذا الافتراض، ولكن وعلى نقيض الـ MBL ما تزال الدراسات المتوفرة عن علاقة الفيكولينات مع الأمراض قليلة سوف تذكر لكل فيكولين على حدى.

#### 1-9-3-1- التعدد الشكلي في مورثة الفيكولين 1:

وجدت عدة تغيرات جينية شكلية تقع في منطقة المعزاز (محفز النسخ) Promoter (الشكل 37) وفي الانترونات والاكزونات (الشكل 38)، ومعظم هذه التغيرات تعتمد على العرق على سبيل المثال بعضها موجود عند الأفارقة وغير موجود عند اليابانيين وهكذا (198)، كما أن معظمها لا يؤثر على تسلسل الحموض الأمينية أو على المستوى المصلي للبروتين (152)، وباعتبار الفيكولين 1 يفرز من وحيدات النوى المحيطية وبتركيز قليل فإنه يفضل دراسة تأثير الدور الكامن للآلائل الموجودة في منطقة المعزاز على المستوى المصلي بطرق دقيقة تعتمد على Real time PCR (152)، ومع ذلك كشفت بعض التغيرات التي تؤثر على تركيبة الحموض الأمينية مثل: (Gly43Asp, Arg93Gln, Trp279Stop, Gly303Ser) (198).



الشكل (37) بعض مواقع التعدد الشكلي في منطقة المعزاز من جينة الفيكولين 1 (157).



الشكل (38) أهم الطفرات غير المرادفة في الاكزونات من مورثة الفيكولين 1 (157).

قليلة هي الدراسات المتوفرة عن تأثير التعدد الشكلي في مورثة الفيكولين 1 وعلاقته بالأمراض نذكر منها تأثير التعدد الشكلي  $1981G>A$  - في المعزاز (rs2989727) والـ  $+7918A>G$  في الاكزون التاسع (rs1071583) اللذان ترافقا مع الاستعداد لتطور التهاب المفاصل الرثياني (199).

على الرغم من أن دور الفيكولينات في إمراضية التهاب الأمعاء والقولون عند الأطفال غير مثبت (لا دور أساسي لها) (200)، مع ذلك ارتبط مستوى الفيكولين 1 المنخفض في الحبل السري مع خطر الموت بسبب التهاب الأمعاء النخري، إذ أن الأطفال الذين توفوا بسبب هذا الداء كان لديهم مستويات منخفضة من الفيكولين 1 بالمقارنة مع الناجين، كما أن الأطفال ذوي المستوى المنخفض من الفيكولين 1 احتاجوا للتهوية الآلية أكثر من الطبيعي وبالتالي ارتفعت خطورة الوفاة من التهاب الأمعاء والقولون النخري عند هؤلاء الأطفال إلى عشرة أضعاف مما يشير للدور الحاسم للفيكولين 1 في الفترة ماحول الولادة (200).

موقع الأساس	الأليل الأكبر	الأليل الأصغر	رقم تنصيب الـ SNP	المنطقة	تغير الحمض الأميني
-1233	A	C	ss76901523	Promoter	-
-1180	G	T	ss76901522	Promoter	-
-881	G	A	ss76901532	Promoter	-

موقع الأساس	الأليل الأكبر	الأليل الأصغر	رقم تنصيب الـ SNP	المنطقة	تغير الحمض الأميني
-807	G	A	ss76901531	Promoter	-
-791	A	G	rs28909068	Promoter	-
-756	C	T	ss76901530	Promoter	-
-755	G	A	ss76901529	Promoter	-
-631	G	A	ss76901528	Promoter	-
-582	C	T	rs17039501	Promoter	-
-542	G	A	rs10120023	Promoter	-
-523	T	C	ss76901527	Promoter	-
-472	C	T	ss76901526	Promoter	-
-399	G	A	rs17039495	Promoter	-
-271	dT	T	rs28909976	Promoter	-
-210	G	dG	ss76901525	Promoter	-
-205	G	C	rs28909977	Promoter	-
-160	C	G	ss76901524	Promoter	-
-144	C	A	rs10117466	Promoter	-
-64	C	T	ss76901533	Promoter	-
+33	G	T	rs10858293	Exon 1	Gly11Gly
+116	T	G	ss76901534	Intron 1	-
+184	C	T	ss76901536	Intron 1	-
+1435	G	A	rs10441778	Exon 2	Gly43Asp
+1538	G	A	ss76901535	Intron 2	-
+3144	C	T	ss76901537	Intron 3	-
+3164	G	A	rs7863062	Intron 3	-
+3231	T	C	rs2989722	Intron 3	-
+3235	A	G	rs7042453	Intron 3	-
+3292	G	A	ss76901538	Intron 3	-
+3374	A	G	rs3012788	Intron 3	-
+3384	C	T	rs2989721	Intron 3	-



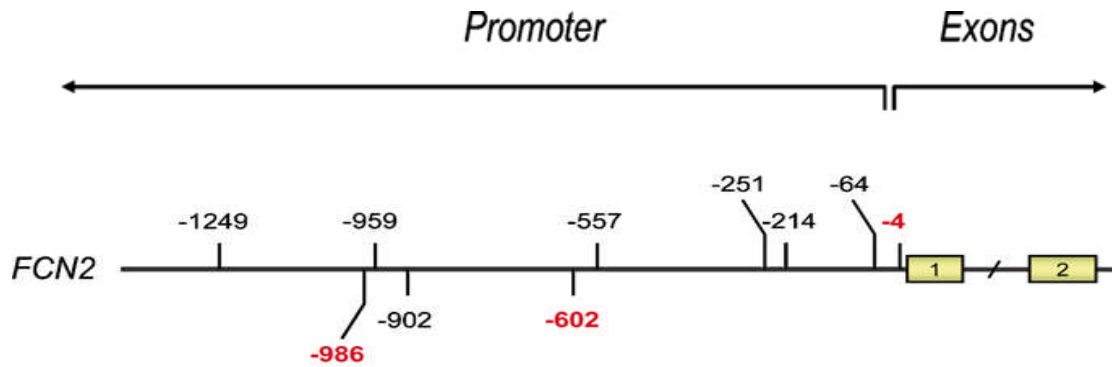
موقع الأساس	الأليل الأكبر	الأليل الأصغر	رقم تنصيب الـ SNP	المنطقة	تغير الحمض الأميني
+3387	G	dG	rs11421281	Intron 3	–
+3458	G	A	ss76901539	Exon 4	Arg93Gln
+3512	G	A	ss76901540	Intron 4	–
+4356	C	T	ss76901541	Intron 5	–
+4408	C	A	ss76901542	Intron 5	–
+4410	C	dC	rs 11297508	Intron 5	–
+4473	T	C	ss76901543	Intron 5	–
+4701	G	A	ss76901544	Intron 5	–
+4888	G	C	rs2070622	Intron 6	–
+5358	C	T	rs2274845	Exon 7	Asn190Asn
+5370	C	T	ss76901545	Exon 7	His194His
+7918	G	A	rs1071583	Exon 9	Gln275Gln
+7929	G	A	ss76901546	Exon 9	Trp279Stop
+8000	G	A	ss76901547	Exon 9	Gly303Ser

الجدول (6) الـ SNP المكتشفة في مورثة الفيكولين 1 (198).

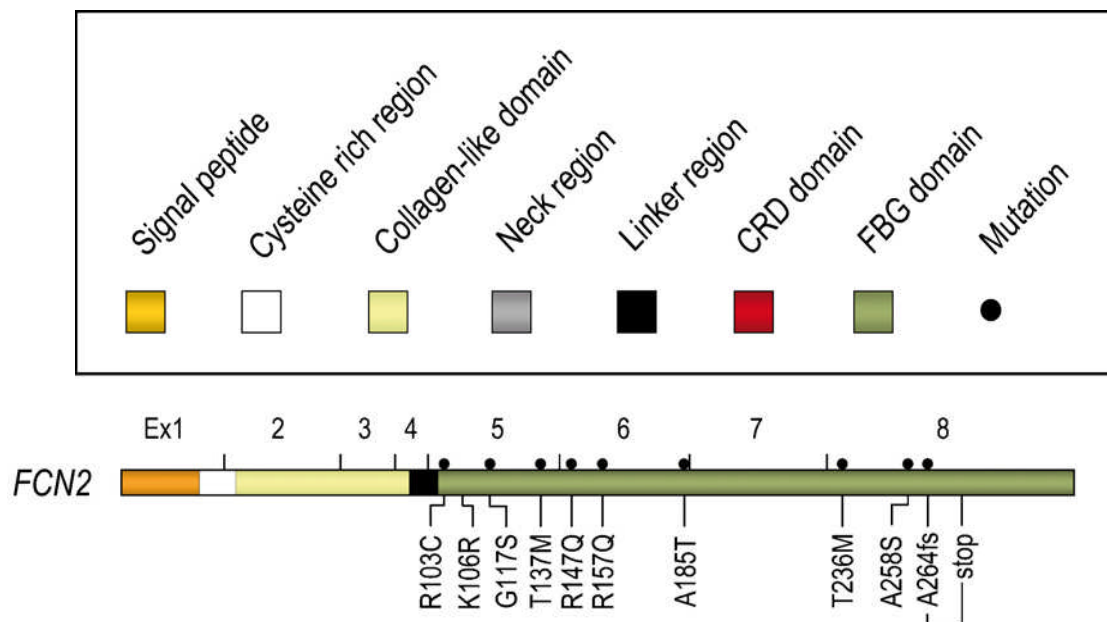
### 1-2-9-3-1- التعدد الشكلي في مورثة الفيكولين 2:

فيما يخص مورثة الفيكولين 2 فقد وجدت تغيرات في المعزاز (الشكل 39) وكذلك في مناطق الاكزونات والانترونات (الشكل 40) منها ما هو صامت في الاكزونات و منها ما يؤدي إلى تغيرات في الحموض الأمينية ومنها ما هو طفرات الحذف أو التبديل (152، 201، 198)، أهمها (Arg103Cys, His113Tyr, Gly117Ser, Thr137Met, Arg147Gln, Arg157Gln, Ala185Thr, Thr236Met, Ala258Ser, Ala264fs)





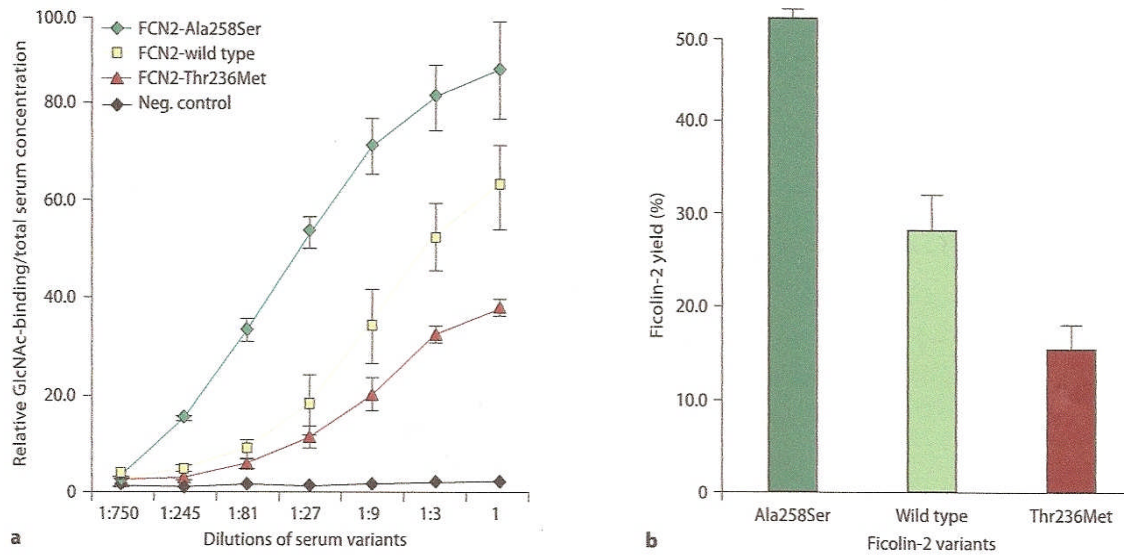
الشكل (39) بعض مواقع التعدد الشكلي في منطقة المعزاز من جينة الفيكولين 2، استخدم اللون الأحمر للدلالة على المواقع التي تؤثر على المستوى المصلي له (157).



الشكل (40) أهم الطفرات غير المرادفة في الاكزون 2 من مورثة الفيكولين 2.

وتجدر الإشارة إلى أن الـ SNP في الموقع (+6359C>T) في الاكزون الثامن للفيكولين 2 والتي أدت إلى تغيير الحمض الأميني رقم 236 من ثريونين إلى ميثيونين Thr236Met في الوحدات الشبيهة بالفيبرونوجين ويسمى البروتين FCN2-B أدى إلى انخفاض ملحوظ في القدرة الرابطة للفيكولين الثاني للـ N-أسيتيل غلوكوز أمين المتمركزة على كرات الأغاروز في المتماثلتي اللواقح بالمقارنة مع النمط البري، وعلى العكس اختلاف الأليل في +6424G>T والذي يؤدي إلى تغيير الحمض الأميني رقم 258 من الآلانين إلى سيرين Ala258Ser ويسمى البروتين الناتج FCN2-C وأدى إلى زيادة القدرة الرابطة للفيكولين 2 (الشكل 41)، وإن هذه الآلائل قد تؤثر على استعداد الشخص لأمراض إنتانية أو مناعية ذاتية مختلفة، كما كشف

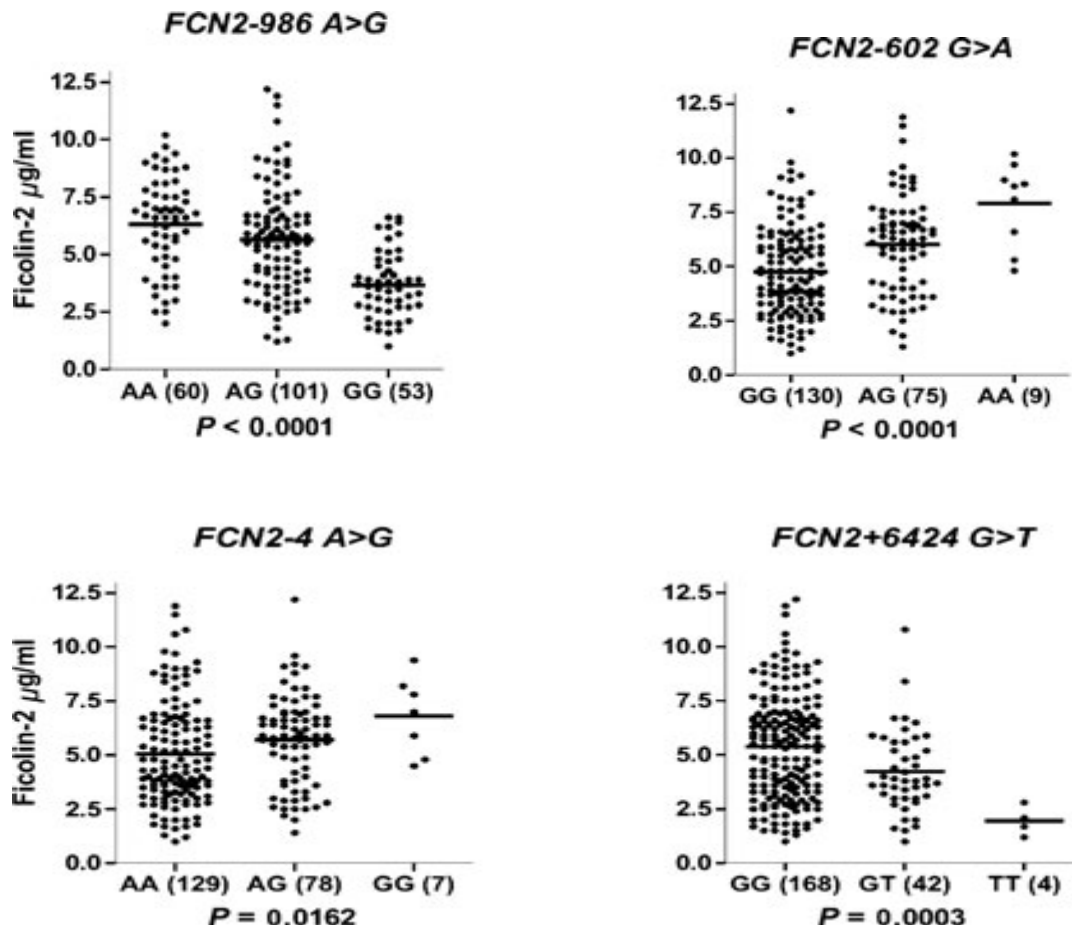
البروتينين FCN2-D والمسؤول عن تشكله هي طفرة انزياح الإطار frame-shift (Ala264fs) نتج عنها تبدلات في النهاية C وذلك بنقص 38 حمض أميني في نهاية السلسلة مقارنة مع النمط الشائع، وهذا يفترض أن يؤدي إلى انخفاض تركيز الفيكولين عند تماثلي اللواقح بسبب تضاعف غير صحيح للجزيئات (152)، ومن المبهر أن التغيرات الثلاثة في الحموض الأمينية متجمعة في مناطق متجاورة من الاكزون الثامن المرمز للوحدات الشبيهة بالفيريونوجين .



**الشكل (41) تأثير التعدد الشكلي على وظيفة الفيكولين 2-اختلاف القدرة الرابطة تجاه الـ GicNAc (202).**

هذا وقد اختلف المستوى المصلي لبروتين الفيكولين 2 بين الأشخاص وذلك تحت تأثير مورثي (203،152): فقد أثبتت الدراسات أن التعدد الشكلي في المواقع 4-، 602-، 986- في المعزاز وكذلك الموقع 6424+ في الاكزون الثامن من المورثة تؤثر على المستوى المصلي للفيكولين 2 على نقيض المواقع 557-، 64-، 6359+ التي لم تؤثر عليه، وكان الشخص المتوافق اللواقح لهذا الموقع يملك التركيز الأعلى أو الأدنى بينما وجد التركيز الوسط عند متخالف اللواقح (203)، وقد اختلف التركيز المصلي ضعفين تبعاً لهذا التعدد الشكلي إذ ترافق التركيز العالي مع الأليل A في الموقع 986- (A/A>A/G>G/G)، أيضاً ارتبط وجود الأليل A وهو الأليل الأصغر في الموقع 602- مع التركيز العالي أي حسب التسلسل التالي (A/A>A/G>G/G) بينما ترافق الأليل G وهو الأليل الأصغر في الموقع 4- مع التركيز العالي (G/G>G/A>G/G)، أما فيما يتعلق بالموقع 6424+ فالأليل الأكبر G و التسلسل هو (G/G>G/T>T/T) (الشكل 39)، كما لوحظ أن وجود الأليل G في الموقع 986- ارتبط

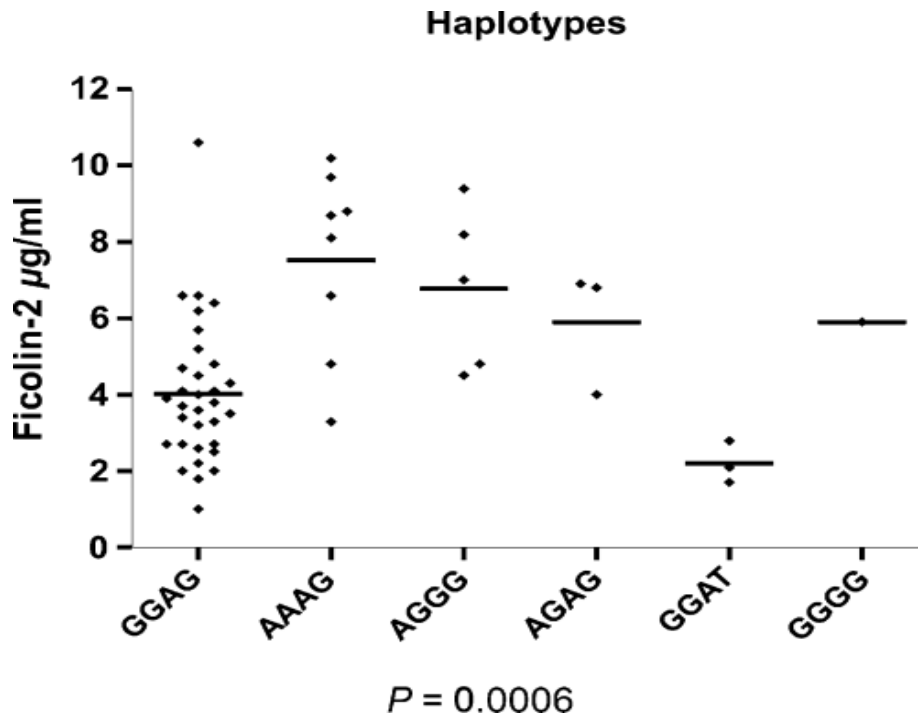
مع الأليل T في الموقع +6424 والنتيجة انخفاض المستوى المصلي من هنا كانت دراسة النمط الفردي ضرورية (203،152).



الشكل (42) الارتباط بين النمط الوراثي والمستوى المصلي للفيكولين 2 (تأثير التعداد الشكلي في المواقع (-986،-602،-4،+6424) على المستوى المصلي، يشير الرقم بين قوسين إلى عدد الأفراد الذي وجد عندهم هذا النمط (203).

وقد أثبتت دراسة النمط الفردي أن وجود الأليل A في 986- يرفع مستوى الفيكولين بكل الأنماط، بينما عند وجود الأليل G في 986- والأليل T في +6424 في نفس النمط الفردي فإن التركيز ينخفض (203)، كما ارتبط النمط الفردي GGAT مع أخفض مستوى للفيكولين بالمصل وذلك على نقيض AAAG الذي ترافق مع أعلى مستوى له، أي اتبع تركيز الفيكولين النمط الفردي التسلسل التالي:

(AAAG > AGGG > AGAG ≈ GGGG > GGAG > GGAT) كما في (الشكل 40).



الشكل (43) العلاقة بين المستوى المصلي للفيكولين 2 والنمط الفردي، استخدمت فيها المواقع التالية  
(-986A>G, -602G>A, -4A>G, +6424G>T) في حساب النمط الفردي (203).

موقع الأساس	الأليل الأكبر	الأليل الأصغر	رقم تنصيب الـ SNP	المنطقة	تغير الحمض الأميني
-1249	C	A	ss76901556	Promoter	
-1232	T	C	ss76901557	Promoter	
-1012	A	G	ss76901558	Promoter	
-1004	C	A	ss76901559	Promoter	
-986	G	A	rs3124952	Promoter	
-959	G	A	ss76901560	Promoter	
-902	C	A	rs3811143	Promoter	
-602	G	A	rs3124953	Promoter	
-557	A	G	rs3811140	Promoter	
-251	G	A	ss76901561	Promoter	
-214	G	A	rs12344051	Promoter	
-171	C	T	rs3811139	Promoter	
-64	A	C	rs28969369	Promoter	
-4	A	G	rs17514136	Promoter	

موقع الأساس	الأليل الأكبر	الأليل الأصغر	رقم تنصيب الـ SNP	المنطقة	تغير الحمض الأميني
+33	C	T	ss76901562	Exon 1	Gly11Gly
+125	T	C	rs3128627	Intron 1	
+1766	G	A	ss76901563	Exon 2	Gly54Gly
+1878	T	C	rs3124955	Intron 2	
+2472	A	G	rs3128624	Intron 2	
+2488	T	C	rs4520243	Exon 3	Arg74Arg
+2545	G	A	rs7037264	Intron 3	
+3980	C	T	ss76901564	Intron 4	
+4423	C	T	ss76901565	Exon 5	Arg103Cys
+4466	G	A	rs12684476	Exon 5	Gly117Ser
+4526	C	T	ss76901566	Exon 5	Thr137Met
+4588	G	A	ss76901568	Intron 5	
+4888	C	T	ss76901569	Intron 5	
+4957	G	A	ss76901570	Exon 6	Arg147Gln
+4987	G	A	ss76901571	Exon 6	Arg157Gln
+5060	C	T	rs34789496	Exon 6	His181His
+5070	G	A	ss76901572	Exon 6	Ala185Thr
+5121	G	A	rs12684723	Intron 6	
+6359	C	T	rs17549193	Exon 8	Thr236Met
+6424	G	T	rs7851696	Exon 8	Ala258Ser
+6459	C	T	ss76901573	Exon 8	Asn269Asn
+6443_44	CT	A	rs28357091	Exon 8	Ala264fs

الجدول (7) الـ SNP المكتشفة في جينة الفيكولين 2 (198).

وهكذا على ما يبدو فإنه يتم تنظيم بروتين الفيكولين 2 على مستوى الترجمة عبر التعدد الشكلي في المعزاز أو في البنى الأساسية (التركيبية) للمورثة كما أن تركيز الفيكولين المحدد وراثيا والتغيرات في صلة الربط أو القدرة الرابطة والنوعية قد ساهمت في المزايا الانتقائية للتفاعل بين العوامل الممرضة والثوي بشكل مماثل لما هو الحال عليه في النظام الوراثي للـ MBL، لذلك

درس هذا البروتين والجينة المسؤولة عنه وعلاقته بالأمراض المختلفة بتفصيل أكثر من الفيكولينات الأخرى.

فقد وجد اختلاف ذو مغزى إحصائي في تواتر الأليلين للموقعين 557،-64 من مورثة الفيكولين 2 بين مرضى بهجت ايجابي HLA-B51 وسلبياها، وعلى ما يبدو أن هناك ارتباط بين مواقع المعزاز هذه والـ HLA-B51 عند هؤلاء المرضى وهذا يشير إلى أن الفيكولين 2 قد يساهم في المناعة الطبيعية لداء بهجت (204).

إن الارتباط الأقوى والأهم فيما يتعلق بالأخماج التنفسية عند الأطفال هو عند مجموعة الأمراض الأليرجيائية التأتبية فقد أثبت أن عوز الفيكولين 2 زاد عند الأطفال ذوي الانتانات التنفسية المتكررة التي تترافق أو تتزامن مع اضطرابات تأتبية، هكذا فإن الفيكولين 2 يلعب دورا مهما في الحماية من العوامل الممرضة ذات المضاعفات الأليرجيائية (205)، وهذا يتوافق مع التراكيز القليلة من الفيكولين 2 عند الأطفال الذين لديهم انتانات تنفسية متكررة حتى بدون اضطرابات تأتبية بالمقارنة مع الشواهد (163).

بينما لم يرتبط التعدد الشكلي للفيكولين 2 مع مرض المكورات الرئوية الغازية على عكس MBL ولكن مع ذلك لا يمكن استثناء التأثيرات القليلة للاختلافات الجينية له بالاستعداد لهذا المرض، مما يقترح أن له دور ولكن غير حاسم في المناعة الطبيعية تجاه الإصابة بالمكورات الرئوية (206).

تبين إحدى الدراسات انخفاض تركيز الفيكولين 2 بشدة عند عدد قليل من مريضات الإسقاطات المتكررة (162)، وفي دراسة أخرى انخفض أيضا بشكل واضح عند مرضى أمراض الدم اللذين تلقوا علاج كيماوي على نقيض الـ MBL ولكن بدون دليل (علاقة مثبتة) بالاستعداد للإنتانات (أيضا على خلاف MBL عند هؤلاء المرضى (207).

أيضا لوحظت زيادة معدل ولادة الأطفال ناقصي وزن الولادة بمقدار 4 أضعاف عند الحوامل اللواتي لديهن تركيز الفيكولين 2 منخفض بالمقارنة مع الطبيعيات، بينما انخفضت نسبة الوزن المنخفض بين حديثي الولادة ذوي المستوى العالي للفيكولين 2 بالمقارنة مع هؤلاء بتراكيز منخفضة منه، وهذا يثبت وجود ارتباط قوي بين عوز الفيكولين 2 والخداج وانخفاض وزن الولادة والإنتانات ماحول الولادة (208).

وفي اتجاه مشابه وجد WANG انخفاض المستوى المصلي للفيكولين 2 وزيادة التعبير عنه في المشيمة عند مريضات ما قبل الإرجاج بمقارنتهن مع الحوامل الطبيعيات (209).

و في دراسة عن علاقة الساركويد مع الفيكولين 2 لم يكن هناك فرق ذو مغزى إحصائي بين تركيز الفيكولين 2 والـ MBL بين مجموعة المرضى والشاهد (210).

لم يكتف البعض بدراسة تواتر الأليل وتأثيره على الاستعداد للمرض وإنما شاركه بدراسة النمط الفردي فعلى سبيل المثال لم يكن هناك فرق ذو مغزى إحصائي بتوزع الألائل في المواقع 986/-602/-4/+6424 بين مرضى الجذام والشواهد على خلاف الأنماط الفردانية: حيث انخفض النمط الفردي AGAG للمواقع 986/-602/-4/+6424 على التوالي عند مرضى الجذام بالمقارنة مع الشواهد ومن المعروف أن هذا النمط يترافق مع المستوى الطبيعي من الفيكولين 2 في الدم، وهذا يشير للدور الواقى للفيكولين 2 تجاه الاستعداد للإصابة بالجذام وأنه قد يكون عامل إضافي يساهم في القضاء على متفطرات الجذام عن طريق بلعمتها من قبل وحيدات النوى (211).

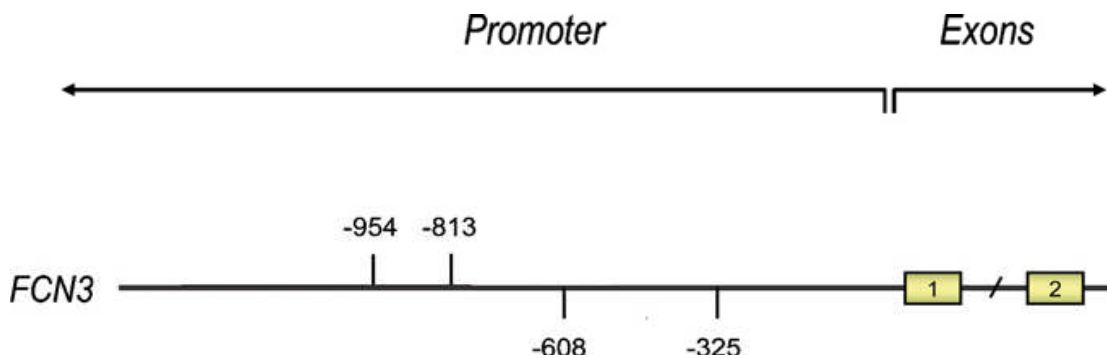
كما أن النمط الفردي G/G/A للمواقع 986/-602/-4- الذي يترافق مع المستوى المنخفض للفيكولين 2 كان قد ارتفع عند المرضى المصابين بأمراض القلب الروماتويدية المزمنة (CRHD) chronic rheumatoid heart disease بالمقارنة مع الأصحاء وهذا يقترح أن هذا النمط الفردي يلعب دوراً بتطور حمى الروماتيزم (Rheumatic fever (RF إلى شكل مزمن، وعلى النقيض فإن النمط A/G/A للمواقع 986/-602/-4- له دور واق ضد الإصابة بحمى الروماتيزم وضد تطور حمى الروماتيزم (الرتوية) وأمراض القلب الروماتويدية المزمنة، أما النمط A/G/G لنفس المواقع ترافق مع الحماية من CRHD بالمقارنة مع الحمى الرتوية وبناء عليه اقترحت الدراسة أن النمط الفردي للمواقع الثلاث السابقة يؤثر على الاستعداد للإصابة بالـ RF وشكلها المزمن CRHD، وأن النمط الفردي G/G/A للمواقع المعزاز الثلاثة 986/-602/-4- يمثل عامل خطورة بينما يشكل A/G/G و A/G/A عامل حماية ضد تطور الـ CRHD هذا الاضطراب الذي ماتزال إمرضيته غير مفهومة بشكل جيد (212)، وهذا ما يقود للقول أن المستوى المنخفض من الفيكولين 2 الناجم عن طفرة على مستوى الترجمة يمكن أن يعرض الشخص لإنتان متكرر أو أكثر شدة بالعقديات.

### 1-3-9-3- التعدد الشكلي في مورثة الفيكولين 3:

وجدت العديد من مناطق التعدد الشكلي في DNA المعزاز والاكزونات للفيكولين 3 (الشكل 44، 45)، ولكن ليس لها تأثير على مستواه المصلي (152، 198)، مع أن بعضها أدى لتغيرات الحموض الأمينية مثل:

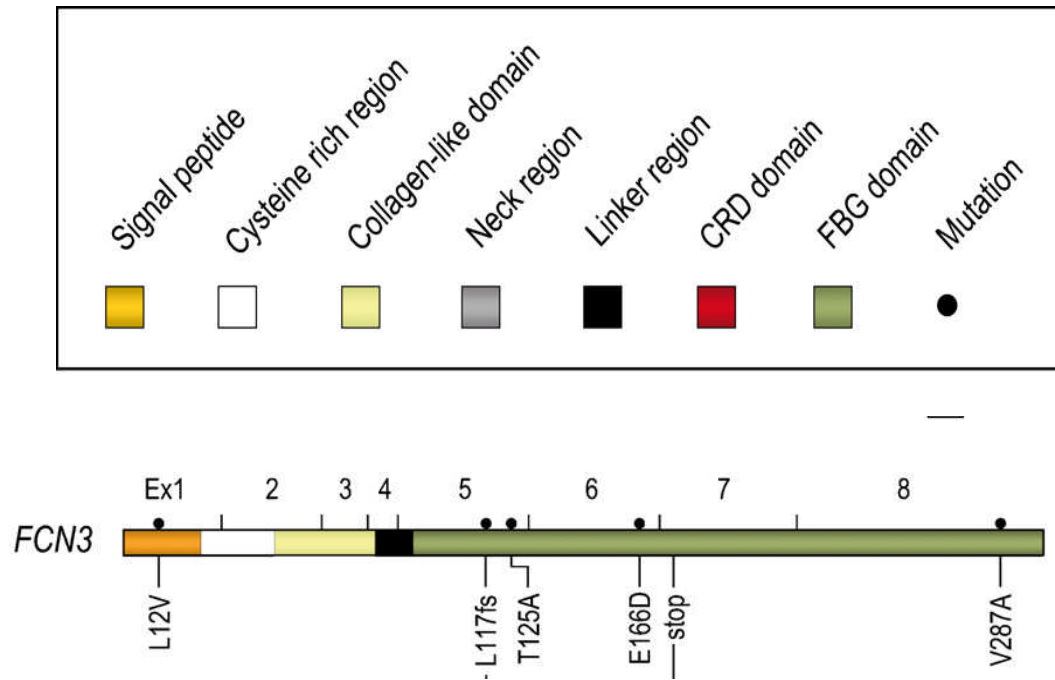
(Leu12Val, Leu117fs, Thr125Ala, Glu166Asp, Val287Ala)

لكن كان تواترها منخفضا وأهمها الطفرة Leu117fs (rs28357092) في الموقع +1637 من الاكزون الخامس في جينة الفيكولين 3 والذي يرمز لمنطقة الرقبة حيث أن هذه الطفرة تؤدي إلى توقف مبكر للكودون في الاكزون الخامس و التي تؤثر على تركيبة الحموض الأمينية في النهاية C ابتداء من الحمض 117 إلى 180 والبروتين عديم المعنى الناتج يتوقف بسبب كودون التوقف المبكر وبالتالي هذه الطفرة تؤدي الى فيكولين 3 مبتور (Leu117fs) ينقصه 183 حمضا أمينيا أي تقريبا النهاية الفيبروجينية كلها (الشكل 46)، ولكن الدراسات على الفيكولين المأشوب أظهرت أنه لا يمكن أن يعبر عن هذا الفيكولين المبتور (166)، وبذلك ينقص المستوى المصلي عند متغايري اللواقح بينما عند متماثلي اللواقح تحدث متلازمة عوز متممة مناعي جديدة (166)، وبالفعل هذا ما أثبت لاحقا حيث انخفض المستوى المصلي عند متخالفي اللواقح إلى النصف بالمقارنة مع النمط البري مما يدل على أن إنتاج البروتين كان من الأليل البري وليس من الطافر (213)، بينما انعدم تركيز الفيكولين 3 عند مريض متماثل الزيجوت وأدى ذلك إلى نقص في المتممة المترسبة على البنى المحتوية على أستيل، وعانى المريض بسبب ذلك من انتانات تنفسية خطيرة نجم عنها أذية رئوية وخراجات دماغية وهذا يتوافق مع التعبير العالي للفيكولين الثالث في الرئة والخلايا الدبقية في الدماغ كما ذكر سابقا (160، 164)، مما يدل على أن الطفرة FCN3+1637delC هي المسؤولة عن ذلك (213).

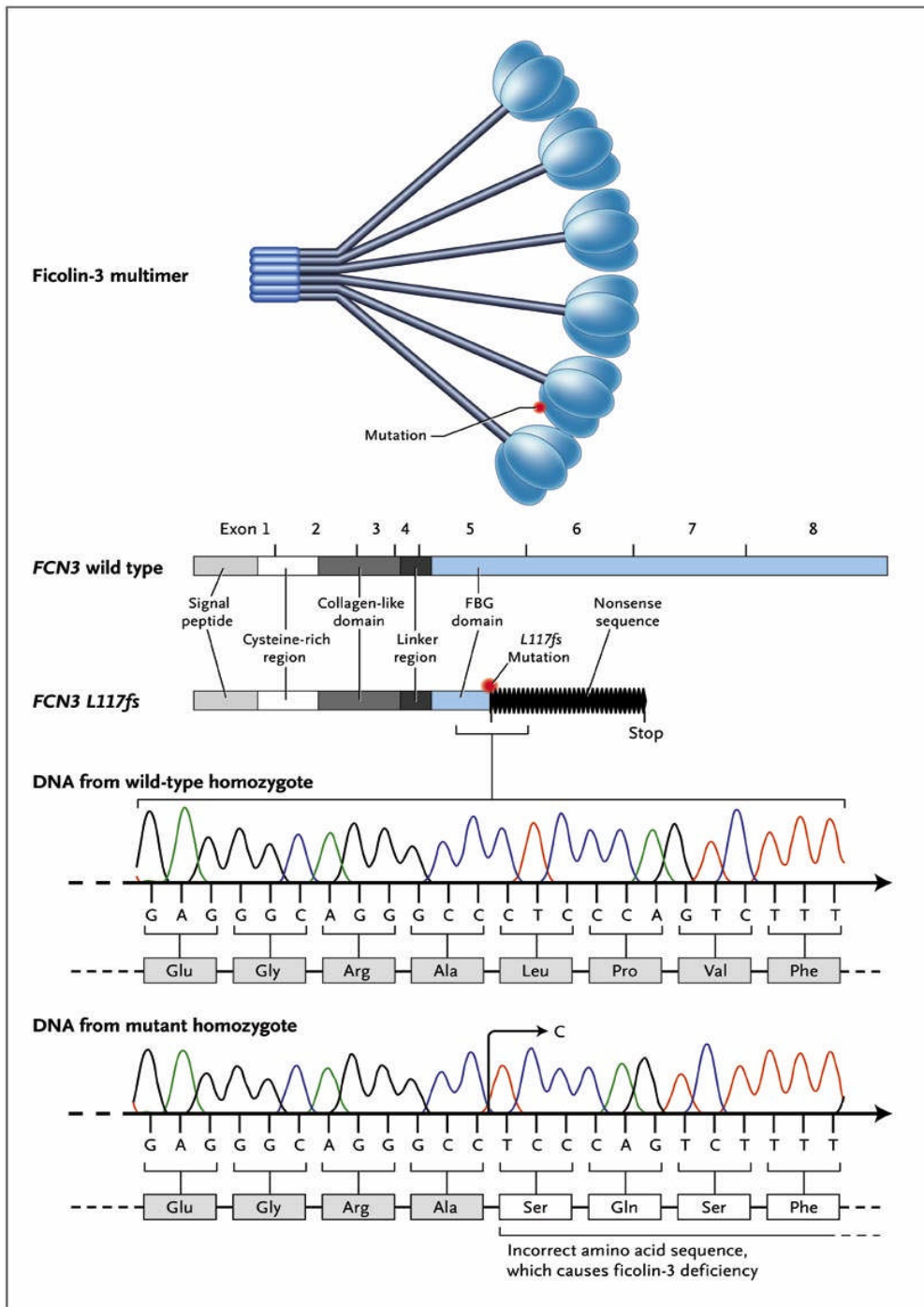


الشكل (44) بعض مواقع التعدد الشكلي في منطقة المعزاز من جينة الفيكولين 3 (157).





الشكل (45) أهم الطفرات غير المرادفة في الاكزونات من جينة الفيكولين 3 (157).



الشكل (46) بنية الفيكولين 3 (الشكل السداسي) وتأثير الطفرة  $+1637delC$  (L117fs) في الجزء السفلي تسلسل الأسس لجزء من الاكزون الخامس وتأثير الطفرة على الحموض الأمينية (213).

موقع الأساس	الأليل الأكبر	الأليل الأصغر	رقم تنصيب الـ SNP	المنطقة	تغير الحمض الأميني
-954	C	T	rs41465749	Promoter	
-813	G	A	ss76901548	Promoter	
-608	G	A	rs28385648	Promoter	

موقع الأساس	الأليل الأكبر	الأليل الأصغر	رقم تنصيب الـ SNP	المنطقة	تغير الحمض الأميني
-325	G	A	rs41415450	Promoter	
+34	C	G	rs41366544	Exon 1	Leu12Val
+51	G	A	ss76901549	Exon 1	Gly17Gly
+1402	T	C	ss76901549	Intron 4	
+1549	T	C	rs28385723	Intron 4	
+1637	C	dC	rs28357092	Exon 5	Leu117fs
+1663	A	G	ss76901551	Exon 5	Thr125Ala
+3836G	C	G	rs3813800	Intron 5	
+3836dC	C	dC	ss76901552	Intron 5	
+3836A	C	A	ss76901553	Intron 5	
+3951	G	C	ss76901554	Exon 6	Glu166Asp
+5543	T	C	ss76901555	Exon 8	Val287Ala

#### الجدول (8) الـ SNP المكتشفة في جينة الفيكولين 3 (198).

فيما يتعلق بعلاقة الفيكولين 3 مع الأمراض فقد ارتبط تركيزه عكسياً مع شدة التشمع الكبدي (انخفض تركيزه مع زيادة درجة التشمع) وارتفع في التهاب الكبد الحاد (214)، كما أنه قد ارتفع عند مرضى الذئبة الحمامية الجهازية هذا وقد ترافق ارتفاع المستوى المصلي للفيكولين 3 عند مرضى الذئبة مع بعض التظاهرات الخاصة كانهلال الدم وإيجابية اختبار كومبس وقلة اللفوايات هكذا فإن الارتباط الإيجابي مع فعالية المرض في الذئبة الحمامية الجهازية قد يشير للدور الإيمراضى الفيكولين 3 في هذا المرض (215).

من جهة أخرى انخفض تركيز الفيكولين 3 عند مرضى الساركويد وهذا يقترح ارتباط ممكن للفيكولين 3 في الفيزيولوجية المرضية لهذا المرض وذلك على عكس الفيكولين 2 (210).

بدراسة أخرى لم يرتبط التعدد الشكلي في جينة الفيكولين 3 مع زيادة خطورة انتانات السبيل التنفسي خلال السنوات الأربعة الأولى من العمر حيث أنه لم يكن هناك فرق هام إحصائياً في تواتر النمط الجيني والنمط الفردي للفيكولين 3 بين المرضى والشواهد (216).

بينما تشير دراسة أخرى إلى أن عوز الفيكولين 3 عند الأطفال المصابين بأورام والمعالحين كيميائياً زاد من احتمال إصابتهم بالحمى وقلة العدلات إلى ضعفين، مما أطال مدة المعالجة الملطفة بالمشفى وكذلك المعالجة بالصادات، كما أن زيادة احتمال الإصابة بالحمى ونقص

العدلات عند المرضى ذوي مستوى الفيكولين 3 المنخفض أيضا زاد من احتمال تجرثم الدم بمقدار 3 أضعاف وهذا يقترح أن يكون للفيكولين 3 دور مهم في الدفاع الغريزي ضد الانتانات بالجراثيم الغازية عند ضعفي المناعة، وأنه يمكن اعتبار عوز الفيكولين 3 عامل خطورة لحدوث تجرثم الدم والحمى وقلة العدلات عند هؤلاء المرضى (217).

وأخيرا في دراسة علاقة المستوى المصلي للفيكولين 3 مع داء كرون لم يكن هناك فرق هام إحصائيا في تركيز الفيكولين 3 بين المرضى والشواهد (218) .

Base position	Region	Amino acid change	PFH
FCN1 + 1435	Exon 2	Gly43Asp	Gly-Gly-Ala
FCN1 + 3458	Exon 4	Arg93Gln	Arg/-/-
FCN1 + 7929	Exon 9	Trp279Stop	Conserved
FCN1 + 8000	Exon 9	Gly303Ser	Conserved
FCN2 + 4423	Exon 5	Arg103Cys	Conserved
FCN2 + 4453	Exon 5	His113Tyr	Tyr/His/Ala
FCN2 + 4466	Exon 5	Gly117Ser	Conserved
FCN2 + 4526	Exon 5	Thr137Met	Conserved
FCN2 + 4957	Exon 6	Arg147Gln	Conserved
FCN2 + 4987	Exon 6	Arg157Gln	Conserved
FCN2 + 5070	Exon 6	Ala185Thr	Ala/Ala/Leu
FCN2 + 6359	Exon 8	Thr236Met	Thr/Thr/Ser
FCN2 + 6424	Exon 8	Ala258Ser	Conserved
FCN2 + 6443_44	Exon 8	Ala264fs	Conserved
FCN3 + 34	Exon 1	Leu12Val	Conserved
FCN3 + 1637	Exon 5	Leu117fs	Thr/Thr/Leu
FCN3 + 1663	Exon 5	Thr125Ala	Conserved
FCN3 + 3951	Exon 6	Glu166Asp	Asp/Asp/Glu
FCN3 + 5543	Exon 8	Val287Ala	Tyr/Tyr/Val

الجدول (9) يشير إلى أهم الطفرات غير المرادفة في جينة الفيكولينات، يشير الـ(PFH) إلى تشابه عائلة البروتينات (تشابه الحموض الأمينية الطافرة بين الفيكولين 1، الفيكولين 2، الفيكولين 2) (198).

## 2- الدراسة العملية:

### 2-1- هدف البحث Aim of the study :

يرمي البحث إلى دراسة دور جينة الفيكولين 2 في الاستجابة المناعية الطبيعية لدى التعرض للإصابة بالليشمانيّة الجلدية، وكشف النقاب عن طبيعة علاقة هذا الجين بالاستعداد للإصابة بالليشمانيّة الجلدية .

### 2-2- أهمية البحث Importance of the study:

تعتبر الليشمانيّة مرضاً مستوطناً في سوريا وعلى الرغم من الجهود الكبيرة المبذولة للسيطرة على المرض مايزال الوقوع السنوي عالياً، وبالإضافة للارتباط القوي بين الأنواع الطفيلية المسببة والصورة السريرية للمرض فقد وجدت اختلافات سريرية كبيرة تعود للكفاءة المناعية للمضيف (220،38،219) وخاصة ما يخص المناعة الطبيعية التي يبدو أنها تؤثر على الاستعداد للإصابة والتطور السريري للآفة إلى حد بعيد (221،222،13،23)، لكن وعلى الرغم من ذلك مازالت الدراسات المجراة على دور العوامل الوراثية التي تراقب الجواب المناعي الطبيعي في الاستعداد للإصابة بالليشمانيّة الجلدية في سوريا محدودة.

لذلك رأينا أنه من الأهمية بمكان دراسة علاقة ممكنة بين الأشكال السريرية المختلفة وإحدى الوظائف الجينية التي تتدخل في مراقبة المناعة الطبيعية وهو الفيكولين 2 الذي يمثل أحد العوامل الهامة التي تتوسط تعرف الجهاز المناعي على العوامل الممرضة حيث يرتبط بالجزئيات المرافقة لها (PAMPs) مما يقود إلى البلعمة وتفعيل المتممة عبر سبيل اللكتين، هذا وإن طيف العوامل الممرضة التي يميزها الفيكولين 2 واسعة ومن المثبت أيضاً أن المستوى المصلي لهذا البروتين مرتبط بالتعدد الشكلي للمورثة لبعض المواقع في منطقة المعزاز (4،-602،-986) والموقع (+6424) في الاكزون الثامن، وبما أنه توجد معطيات تدل على وجود علاقة بين التعدد الشكلي لجينة الفيكولين 2 والاستعداد للإصابة بالعديد من الأمراض الخمجية كالانتانات التنفسية المتكررة و الإصابة بالمتفطرة الجذامية، فقد وجدنا أنه يجدر بنا أن نطرح التساؤل حول إمكانية وجود علاقة بين التعدد الشكلي للفيكولين 2 و الاستعداد والتطور السريري لليشمانيّة الجلدية.

### 2-3- مكان وزمان الدراسة Place and date of the study:

أجريت الدراسة على مرحلتين وفي مكانين: إذ أجريت المرحلة الأولى في سوريا حيث تم جمع العينات وعزل الـ DNA البشري في مخبر البحوث والاستشارات الوراثية بكلية الطب البشري ، بينما أجريت المرحلة الثانية في قسم الطفيليات البشرية -معهد الطب المداري-جامعة توبنجن-

ألمانيا بإشراف البروفسور Juergen Kun أستاذ الطفيليات البشرية وذلك كمنحة مقدمة من هيئة الـ DAAD لمدة 6 أشهر من 1-9-2008 لغاية 28-2-2009 .

## 2-4- مواد وطرائق البحث Methods and materials:

### 2-4-1- مجموعة الدراسة (المرضى والشواهد):

تمت الدراسة على مجموعتين بشريتين هما مجموعة المرضى ومجموعة الأصحاء:

**2-4-1-1- مجموعة المرضى:** وتضمنت 235 مريضاً يبدون أشكالاً مختلفة من الليشمانية الجلدية توزعوا على الشكل التالي: 87 (37%) إناث و148 (63%) ذكور وكان وسطي أعمارهم 26 عاماً مع انحراف معياري قدره 15، تم اختيارهم من مرضى العيادات الخارجية في مستشفى الأمراض الجلدية والزهرية الجامعي في دمشق ومن مراكز ليشمانية في دمشق وخارجها وذلك بناء على إثبات إصابتهم بالليشمانية الجلدية من خلال الفحص السريري ورؤية الطفيلي في اللطاخات الجلدية الملونة بتلوين غيمزا، تم استجواب كل مريض وملء استمارة البحث .

**2-4-1-2- مجموعة الأصحاء:** وتضمنت 232 فرداً توزعوا كما يلي: 87 (38%) إناث و145 (62%) ذكور كان وسطي أعمارهم 26 عاماً مع انحراف المعياري قدره 13 تم اختيارهم ممن ليس لديهم أية إصابة سابقة أو حالية بالليشمانية الجلدية حيث تم استجوابهم للتأكد من عدم تعرضهم لإصابة حالية أو سابقة بالليشمانية اعتبروا كشواهد أصحاء، ينتمي المرضى والشواهد إلى نفس السوية الاجتماعية والاقتصادية وكذلك المناطق الجغرافية .

**2-4-1-3- العينات:** تم سحب 2 مل من الدم الوريدي من المشاركين بالدراسة على أنبوب يحوي مانع تخثر EDTA وذلك بعد الحصول على موافقتهم.

**2-4-1-4- استمارة البحث:** وتضمنت المعلومات التالية:

#### هوية المريض:

الاسم..... العمر..... الجنس.....

المهنة..... العنوان الحالي.....

عدد سكان المنزل.....

#### الفحص السريري:

عدد الآفات..... مكان الاندفاعات.....

عمر كل اندفاع.....

أشكال الاندفاعات: نقطي نزفي..... حطاطي..... متعرج.....

متعرج مغطى..... تؤولولي..... متندب.....

الأعراض المرافقة: ألم..... حكة..... وذمة.....

ضخامة عقد لمفاوية.....أعراض أخرى.....

التشخيص السريري:.....التشخيص المخبري:.....

الوضع الوبائي: الأماكن التي زارها المريض في الستة أشهر الأخيرة.....

وجود إصابات متماثلة: في الأسرة.....في العمل.....في محيط المنزل.....

وجود حيوانات في مكان تواجد الإصابة: قوارض.....كلاب أو قطط.....حشرات.....

العلاج: نوعه.....

الطريقة المتبعة في العلاج: مكان التطبيق.....

الجرعات.....الفترة الزمنية.....

نتائج المتابعة بعد العلاج: شفاء.....تحسن.....

نكس.....إزمان.....

#### 2-4-2- الطرائق المستخدمة:

2-4-2-1- عزل (استخلاص) الحمض الريبسي النووي المنقوص الأوكسجين الـ DNA ( DNA extraction

extraction): وقد أجريت هذه المرحلة في مخبر البحوث والاستشارات الوراثية-كلية الطب-

جامعة دمشق. واستخدم لهذا الغرض كيت ( QIAamp<sup>TM</sup> DNA extraction kit ) من شركة

(QIAGEN GmbH, Hilden, Germany).

#### الأدوات والكواشف اللازمة:

- إيثانول (96-100%).
- أنابيب 1.5 مل وأخرى 2 مل.
- رؤوس ميكروبيت مزودة بحاجز.
- دوارة Vortexer.
- محم مائي أو جاف بحرارة 56°.
- قفازات مناسبة.

#### 2-4-2-1- تحضير المحاليل وتخزينها كما يلي:

- تحل بودرة البروتيناز بـ 5.5 مل من محلول البروتيناز، ويكون المحلول الناتج ثابت لمدة شهرين عند تخزينه بالحرارة من 2°-8° وينصح بتخزينه بالحرارة -20° لإطالة عمر البروتيناز مع تجنب تكرار الفك والتجميد.
- يخزن الوقاء AL وحجمه 54 مل بحرارة الغرفة 15°-25° وهو ثابت بالشروط السابقة لمدة 1 سنة.

- يمدد الوقاء AW1 الموجود بشكل ركازة بحجم 95 مل بالحجم المناسب من الإيثانول والمحللول الناتج ثابت لمدة سنة بالحرارة 15°-25°.
- يمدد الوقاء AW2 الموجود بشكل ركازة بحجم 95 مل بالحجم المناسب من الإيثانول والمحللول الناتج ثابت لمدة سنة بالحرارة 15°-25°.

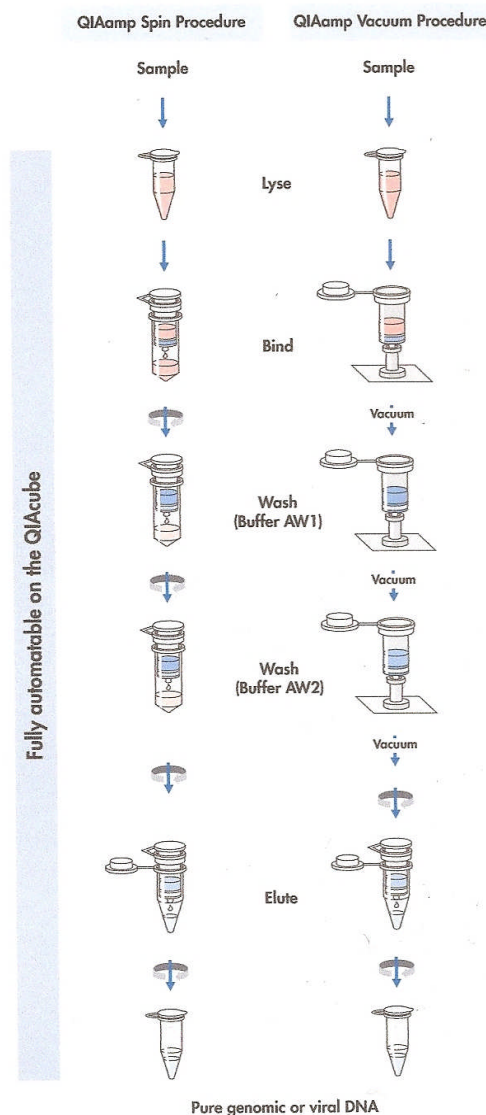
#### 2-4-2-1-2- طريقة العزل: وهي كالتالي:

- يوضع 20 ميكرو لتر من البروتياز في قعر أنبوب (1.5 مل).
- يضاف 200 ميكرو لتر من عينة الدم المسحوبة على مانع تخثر EDTA.
- يضاف 200 ميكرو لتر من الوقاء AL إلى العينة ويمزج المحتوى لمدة 15 ثانية للحصول على محلول متجانس.
- يحضن المزيج بحرارة 56° لمدة 10 دقائق إذ يصل DNA yield ذروته بعد الانحلال بـ 10 دقائق، بينما لا تؤثر مدة الحضانة الأطول على كمية الـ DNA.
- يثفل (ينبذ) الأنبوب السابق لإزالة القطرات العالقة على جدار الأنبوب الداخلي وحواف الغطاء الداخلية.
- يضاف 200 ميكرو لتر من الإيثانول 96-100% إلى العينة وتمزج لمدة 15 ثانية ثم ينبذ الأنبوب أيضا.
- ينقل المزيج السابق من المرحلة السابقة إلى column موضوع فوق أنبوب جمع 2 مل وذلك بدون ترطيب حواف الـ column، بعدها تغلق الطبقة وينبذ العمود (8000 rpm)  $(6000 \times g)$  لمدة دقيقة، يرمى الأنبوب الذي يحوي الرشاحة ويوضع العمود في أنبوب جديد سعته 2 مل، يجب الانتباه إلى إغلاق العمود أثناء التنبيذ لكي لا يتشكل الرزاز، وفي حال عدم مرور كامل المحلول عبر العمود بعد التنبيذ للمرة الأولى، يعاد التنبيذ مرة ثانية بسرعة عالية حتى يفرغ كامل العمود، أما الغاية من هذه المرحلة فهي ارتباط الدنا بالغشاء QIAamp membrane الموجود في الـ column بينما لا تتثبت البروتينات والمواد الملوثة الأخرى التي قد تثبط تفاعل الـ PCR.
- مرحلة الغسل الأولى: يفتح العمود ويضاف 500 ميكرو لتر وقاء AW1 دون ترطيب حواف العمود، تغلق طبقة وينبذ  $(6000 \times g)$  لمدة دقيقة ثم يوضع العمود في أنبوب جمع 2 مل نظيف ويرمى الأنبوب الذي يحوي الرشاحة.
- مرحلة الغسل الثانية: يفتح العمود بحرص ويضاف 500 ميكرو لتر وقاء AW2 دون ترطيب حواف الأنبوب وتغلق الطبقة وينبذ  $(20000 \times g)$  (14000rpm) لمدة 3 دقائق.



تضمن مرحلتي الغسل الأولى والثانية زيادة نقاوة الدنا المرتبط بغشاء QIAamp عن طريق إزالة بقايا العوامل الملوثة.

- ينصح بوضع العمود في أنبوب جمع آخر (2مل) ويرمى الأنبوب الذي يحوي الرشاحة وينبذ بأقصى سرعة لمدة 1 دقيقة.
- المرحلة الأخيرة: وهي مرحلة تمديد الـ DNA حيث يوضع العمود في أنبوب (1.5 مل) ويرمى الأنبوب الذي يحوي الرشاحة ثم يفتح العمود ويضاف 200 ميكرو لتر وقاء AE أو وقاء التمديد dilution buffer ويحضن بحرارة الغرفة من 1-5 دقائق ثم ينبذ لمدة دقيقة واحدة ( $6000 \times g$ ).
- يحتفظ بالمزيج السابق لحين استخدامه في التفاعل السلسلي البوليميرازي كما يمكن إجراء تمديد آخر بوقاء التمديد في حال الضرورة.



الشكل (47) مراحل عزل الـ DNA.

## 2-2-4-2- الطرق المستخدمة لكشف وتحديد الـ SNP في مورثة الفيكولين 2:

استخدم لهذا الغرض طريقتين: الأولى هي تحديد تسلسل الدنا DNA Sequencing: حيث ضخمت كامل مورثة الفيكولين 2 في 40 عينة من الشواهد وكذلك الحال الاكزون الثامن في عينات المرضى والشواهد وذلك باستخدام PCR، ومن ثم تحديد تسلسل الدنا فيها، والطريقة الثانية هي TaqMan-Based Real-Time PCR وتم باستخدام هذه الطريقة تحديد التعدد الشكلي في المواقع (A>G-4A، A>G-602A، A>G-986) الموجودة في منطقة المعزاز من جينة الفيكولين 2 لكل عينات الدراسة.

### 2-2-4-2-1- تحديد تسلسل DNA: بإتباع الخطوات التالية:

#### 2-2-4-2-1-1- تضخيم مورثة الفيكولين 2:

ضخمت منطقة المعزاز وكامل المناطق المرمزة من مورثة الفيكولين 2 (8kb) على مراحل في 40 عينة عشوائية من الشواهد، بالإضافة للاكزون الثامن لجميع عينات المرضى والشواهد وذلك باستخدام مجموعة من المشرعات التي تغطي اكزون أو اكزونين (الجدول 10) وذلك بعد اختبار المشرعات واختيار درجة الحرارة الأفضل لعمل كل منها أو ما يسمى gradient حيث يجري التفاعل السلسلي البوليميرازي باستخدام مجال واسع من الحرارة في مرحلة التطويع وبعد الترحيل يتم اختيار درجة الحرارة الموافقة لأفضل عصابة.

	Forward primer	Reverse primer
<b>Promoter + Exon 1</b>	5'- att gaa gga aaa tcc gat ggg- 3'	5'- gaa gcc acc aat cac gaa g- 3'
<b>Exon 2+3</b>	5'- aga tgg cag atg cct ttc ag- 3'	5'- gtt cct ctg cag cca ggt c- 3'
<b>Exon 4+6</b>	5'- agg ccc aga aaa tgg tgt c- 3'	5'- agg ctc ttg tgt tcc agg c- 3'
<b>Exon 5</b>	5'-ata cag acg cct atg gcc c- 3'*	
<b>Exon 7+8</b>	5'- cca gct ccc atg tct aaa gg- 3'	5'- tta caa acc gta ggg cca ag- 3'

الجدول (10) المشرعات المستخدمة في الـ PCR والـ Sequencing، \* تشير إلى أن هذه البادئة استخدمت في الـ Sequencing فقط.

أما طريقة العمل فهي تضخيم 100 نانوغرام من الـ DNA الجينومي البشري في أنبوب يضم 25 ميكرو لتر من مواد تفاعل الـ PCR التالية:

- 2.5 ميكرو لتر من وقاء الـ PCR (10 X) المؤلف من 20 mM Tris pH 8. 8, 10 mM KCl, 1.5 mM MgCl<sub>2</sub> and 0. 1% Triton X-100)

- 5 ميكرو لتر من المحلول (1 X)Q من شركة Qia gene
- 0.5 ميكرو لتر من  $MgCl_2$  أي ما يعادل 0.5 نانومول
- 0.5 ميكرو لتر من dNTPs أي ما يعادل 0.2 نانومول
- 0.5 ميكرو لتر من كل بادئة أي ما يعادل 5 بيكومول
- 0.2 ميكرو لتر من الـ Taq polymerase أي ما يعادل 1 unit من Qia gene Taq
- 14.1 ميكرو لتر من  $H_2O$
- 1.5 ميكرو لتر من الـ DNA

يتم عادة مزج كمية مناسبة لعدد العينات في أنبوب كبير ثم ينقل إلى كل أنبوب 23.5 ميكرو لتر ليضاف إليها الـ DNA بعد ذلك (يتم العمل بوضع مواد وأنابيب العمل على الثلج لتجنب تخرب إنزيم البوليميراز) بعد إضافة عينات الـ DNA تنبذ الأنابيب لضمان مزج الدنا مع مكونات التفاعل الأخرى، ثم تنتقل الأنابيب إلى جهاز الدوار الحراري Thermocycler (جهاز الـ PCR) من شركة Applied Biosystem ويثبت البرنامج الخاص بتضخيم الدنا بشروط التضخيم التالية:

- 95° لمدة 5 دقائق.
  - 35 دورة تتألف كل دورة من (95° لمدة 40 ثانية ثم 59° لمدة 60 ثانية ثم 72° لمدة 90 ثانية).
  - 72° درجة لمدة 3 دقائق.
  - 15° درجة لمدة 10 دقائق.
- طبق البرنامج السابق على كل الاكزونات مع تبديل درجة حرارة التطويع حسب البادئات المستخدمة.

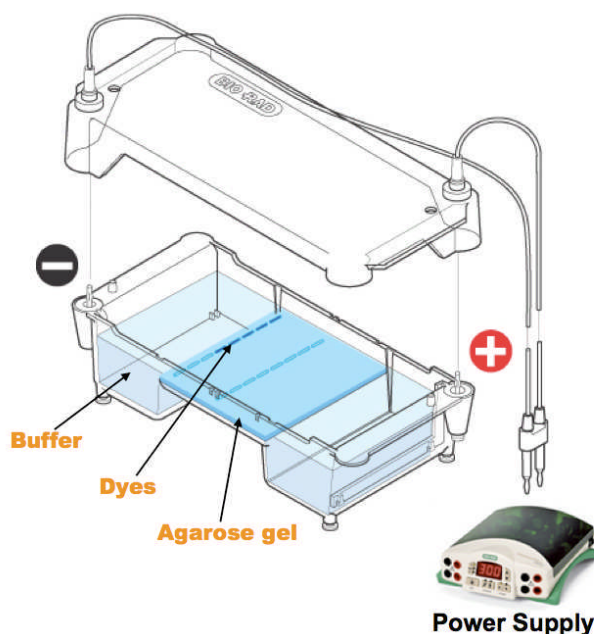
#### 2-1-2-2-4-2- الرحلان الكهربائي Electrophoresis:

رحلت نواتج الـ PCR ولوننت بالـ Sygreen I (Biozym Diagnostik GmbH, Wien, Austria) والـ dimethyl sulfoxide بتمديد واحد من السيبرغرين (مادة مفلورة) إلى 150 حجم من دي ميتيل سلفوكسيد، حضر في البداية هلام الأغاروز بتركيز 1-1.5% حسب طول قطع الدنا المضخمة حيث يحل الوزن المناسب من مسحوق الأغاروز بوقاء الـ Tris-(TBE) EDTA Buffer (acetate) ويذوب المزيج بالميكروويف، ثم يصب بحوض الترحيل المناسب وعند تصلب الجيل ينقل إلى حوض ليغمر بالوقاء، قبل نقل العينات إلى ثقوب الفصل يمزج 5 ميكرو لتر من منتجات الـ PCR مع 5 ميكرو لتر من المزيج التالي (1 ميكرو لتر سيبرغرين +

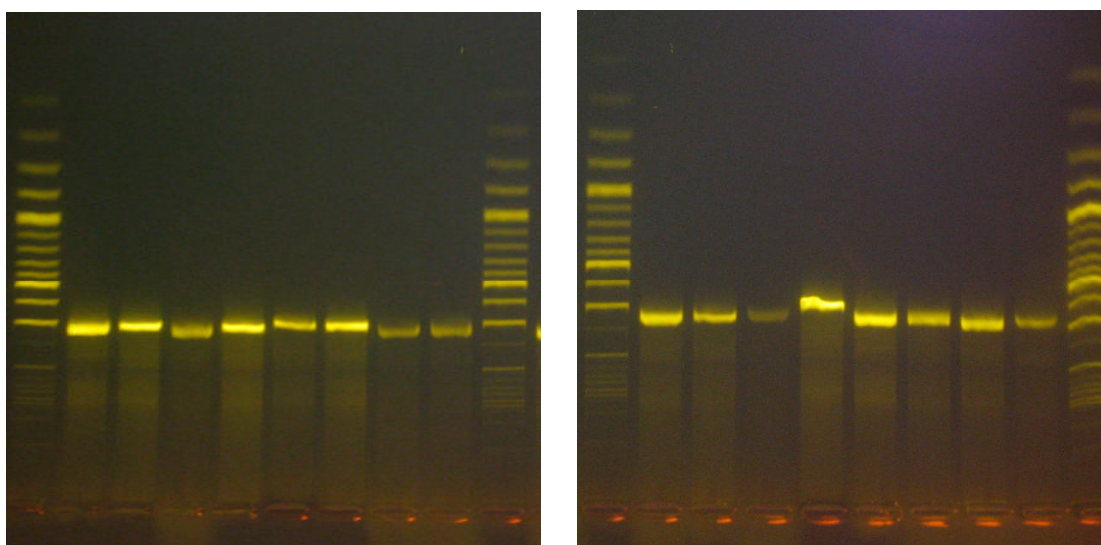
1.5 ماء+2.5 وقاء تحميل (Loading buffer) ويوضع في كل ثقب عينة ويوضع بالثقب الأول العلام marker (5ميكرو لتر من العلام +5 ميكرو لتر من المزيج السابق)، بعد وصل الأقطاب يتم الترحيل بتوتر 90 فولط حتى قبل نهاية الجيل بـ 2 سم وأخيرا يتم إظهار العصابات بالأشعة فوق البنفسجية ثم يصور الجيل بكاميرا رقمية موصولة مباشرة إلى الحاسب ليتم تخزين الصورة ومعالجتها.

### Agarose Electrophoresis Loading

- **Electrical current** carries negatively-charged DNA through gel towards positive (red) electrode



الشكل (48) طريقة إجراء الرحلان الكهربائي على هلام الأغاروز .



الشكل (49) رحلان كهربائي على هلام الأغاروز لنواتج الـ PCR.

## 2-4-2-2-1-3- تنقية نواتج الـ PCR : Purification of PCR products

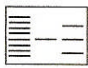









تمت تنقية نواتج الـ PCR باستخدام كيت NucleoSpin® Extract II من شركة Macherey -Nagel GmbH-ألمانيا.

### المواد والأجهزة اللازمة:

- إيثانول 96-100%.
  - أنابيب ابندروف سعة 1.5 مل.
  - رؤوس ميكروبيت.
  - منبذة وأنابيب تنبيذ.
  - محم حراري.
  - دوارة vortex.
  - تجهيزات حماية خاصة (لباس مخبري، قفازات، نظارات حماية).
- أما الهدف من التنقية فهو التخلص من بقايا البادئات و dNTPs في نواتج الـ PCR وذلك بآلية الترشيح المستند ultra filtration عبر الغشاء الموجود في العمود بإتباع الخطوات التالية:
- 1- يضاف 200 ميكرو لتر من Binding Buffer (NT) إلى نواتج الـ PCR ويوضع الناتج بمحم حرارته 50° درجة لمدة 5-10 دقائق.
  - 2- ينقل الناتج إلى عمود موضوع فوق أنبوب 2 مل وينبذ (11000× g) لمدة 1 دقيقة، إذ يرتبط الـ DNA في هذه المرحلة على غشاء السيليكا الموجود في NucleoSpin® Extract II Columns.
  - 3- ترمى الرشاحة من المرحلة السابقة ويغسل العمود لإزالة المواد الملوثة كالأملح والمركبات كبيرة الجزيئات، يضاف للعمود 600 ميكرو لتر من وقاء الغسل الممدد بالإيثانول ethanolic wash buffer (NT3) وينبذ (11000× g) لمدة 1 دقيقة
  - 4- ترمى الرشاحة ويعاد تنبيذ العمود من أجل التجفيف بنفس القوة السابقة ولمدة دقيقتين.
  - 5- يمدد الـ DNA بإضافة 50-15 ميكرو لتر من محلول التمديد NE إلى العمود ويترك بحرارة الغرفة لمدة 1 دقيقة ثم ينبذ العمود (11000× g) لمدة 1 دقيقة.
  - 6- يرمى العمود ويحتفظ بالرشاحة وهي الـ template قالب من أجل إجراء الـ cycle sequencing.

## PCR clean-up, Gel extraction

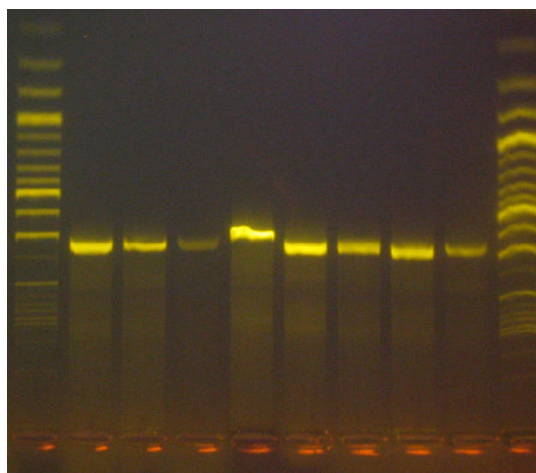
Protocol-at-a-glance (Rev.08)

NucleoSpin® Extract II		
	Gel extraction	PCR clean-up
1 Gel extraction: Excise DNA fragment / Solubilize gel slice  PCR clean-up: Adjust binding condition	  200 µl NT / 100 mg gel  50°C 5 - 10 min	 200 µl NT / 100 µl PCR
2 Bind DNA	  1 min 11,000 x g	
3 Wash silica membrane	  1 min 11,000 x g	700 µl NT3
4 Dry silica membrane	 2 min 11,000 x g	
5 Elute DNA	  1 min 11,000 x g	15 - 50 µl NE  RT 1 min

الشكل (50) مراحل تنقية نواتج الـ PCR.

### 4-1-2-2-4-2- تحضير العينات من أجل الـ Cycle Sequencing:

- 1- التحقق من جودة الـ DNA القالب Determining DNA Template Quality كما يلي:
  - يجرى رحلان كهربائي لمنتجات الـ PCR التي نقيت في المرحلة السابقة على جيل الأغاروز حيث يجب أن يعطي الـ DNA المنقى عصابة واحدة (شكل 51)، يكشف الرحلان التلوث بالـ DNAs والـ RNAs ولكن لا يكشف التلوث بالبروتين.



الشكل (51) رحلان كهربى لنواتج الـ PCR بعد التنقية حيث تظهر عصابة واحدة.

- قياس نقاوة الـ DNA القالب وهي نسبة قياس الطيف الضوئي Spectrophotometry A260/A280 وتجرى بواسطة جهاز الطيف الضوئي أو جهاز الـ Nanodrop (شكل 52) حيث يجب أن تكون النقاوة بين 1.7-1.9 إذ تشير النسب الأقل إلى تلوث بالبروتينات أو مواد كيميائية عضوية، بينما لا تكشف هذه الطريقة التلوث بالـ DNA والـ RNA.



الشكل (52) قياس تركيز و نقاوة الـ DNA بواسطة جهاز الـ NanoDrop.

هذا ومن الضروري إشراك الطريقتين معا قبل إجراء تفاعل الـ cycle sequencing مع أنه لا تكشف أي من هاتين الطريقتين التلوث بالأملاح لذلك عند الشك بتلوث الـ DNA بالأملاح يجب إزالتها قبل إجراء التفاعل باستخدام كيتات خاصة.

## 2- قياس كمية الـ DNA Template Quantity

يعتبر قياس كمية الـ DNA أمرا حاسما قبل إجراء التفاعل وذلك من أجل إضافة المقدار المناسب لتفاعل Cycle Sequencing للحصول على طول نواتج الـ PCR المطلوب ( الجدول 11).

ويتم ذلك أيضا بقياس الطيف الضوئي للعينة بطول الموجة 260 نانومتر بواسطة جهاز الطيف الضوئي أو الـ Nanodrop .

كمية الـ DNA الواجب إضافتها	طول نواتج الـ PCR
1–3 ng	100–200 bp
3–10 ng	200–500 bp
5–20 ng	1000–2000 bp
10–40 ng	>2000 bp

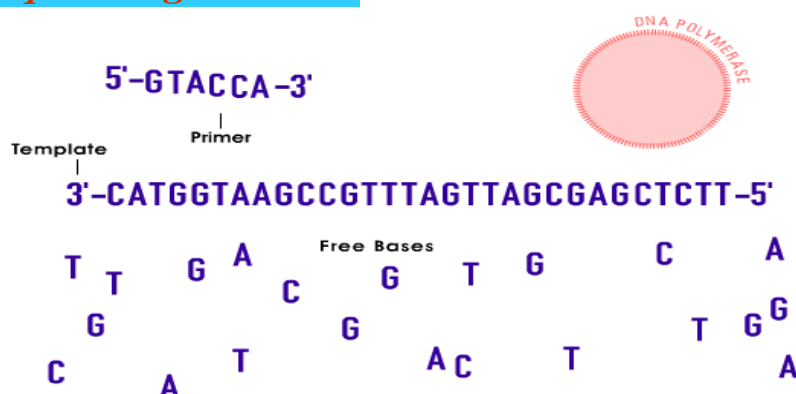
الجدول (11) كمية الـ DNA القالب الواجب إضافتها لتفاعل الـ cycle sequencing وذلك حسب طول نواتج الـ PCR.

## 2-4-2-1-5- تفاعل تحديد التسلسل النوكليوتيدي Cycle Sequencing:

المواد اللازمة من أجل إجراء الـ cycle sequencing

- الـ DNA القالب أو الـ template
- إنزيم الـ Polymerase
- deoxynucleotides dNTPs
- dideoxynucleotides ddNTPs
- H<sub>2</sub>O
- المشرع

### Sequencing reaction

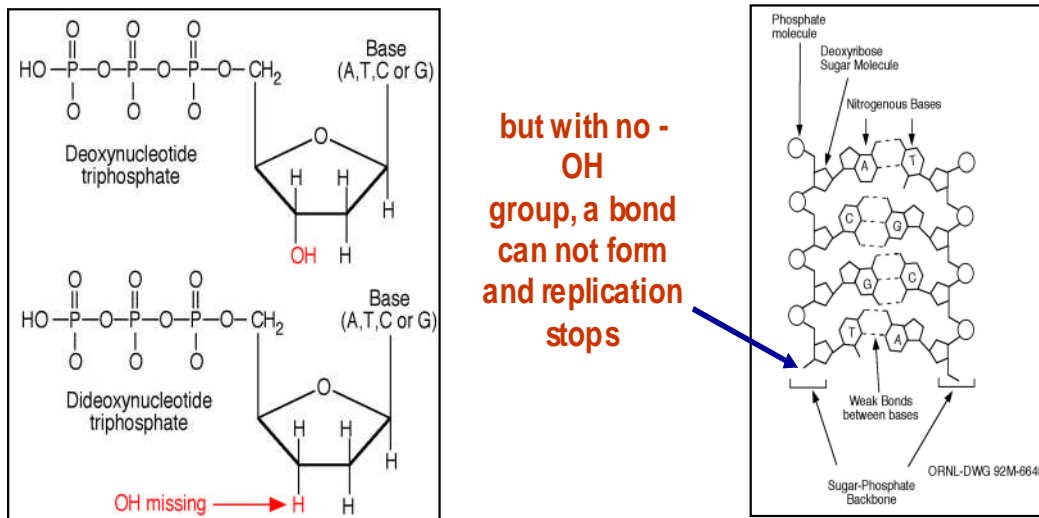


## الشكل (53) مكونات تفاعل الـ Cycle Sequencing.

**مبدأ التفاعل:** ويعتمد على مبدأ Sanger إذ يجري تفاعل الـ PCR بوجود نوكليوتيدات مفلورة تشبه النوكليوتيدات الطبيعية ولكنها تفتقد للزمرة OH الذي يؤدي إلى إيقاف السلسلة (الشكل

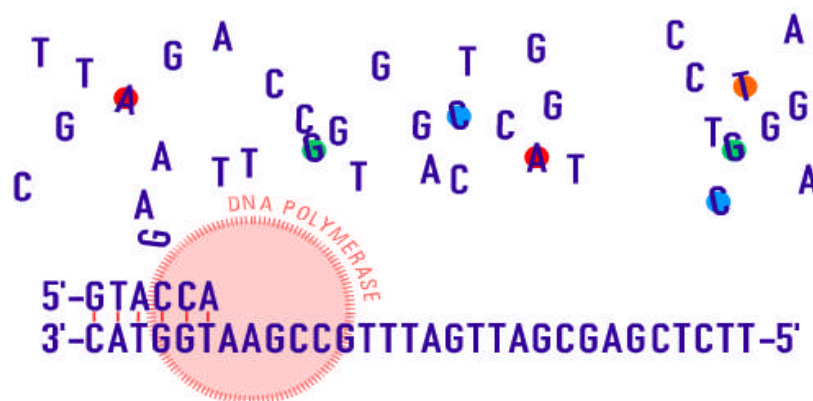


(54)، ويتم في هذا التفاعل مسح شريطي الـ DNA بالحرارة  $95^{\circ}$  كمرحلة أولى ثم يرتبط المشرع مع السلسلة المتممة بالحرارة  $50^{\circ}$  لتبدأ بعدها البوليميراز بإطالة المشرع بالحرارة  $60^{\circ}$  (الشكل 55)، وتتوقف إطالة السلسلة عندما يندخل ddNTPs في هذه العملية (الشكل 56)، مما يجعل السلسلة تنتهي بأساس موسوم ليتشكل بالنهاية قطع عديدة تختلف فيما بينها بأساس واحد موسوم (الشكل 57) والذي يمكن من فصلها بحسب أوزانها الجزيئية بالرحلان الكهربائي عبر جهاز الـ Sequencer analyzer 3100.



الشكل (54) الفرق بين بنية الـ dNTPs و الـ ddNTPs.

### Sequencing reaction



الشكل (55) تطويع المشرع مع الـ DNA القالب.

## Sequencing reaction



الشكل (56) توقف إطالة السلسلة بسبب وجود ddNTPs.

## Sequencing reaction



الشكل (57) القطع الناجمة عن Cycle sequencing.

طريقة العمل: أستخدم كيت ( BigDye® Terminator v3. 1 Cycle Sequencing Kit ) المخزن بالحرارة من  $-15^{\circ}$  إلى  $-25^{\circ}$  حيث يوضع بكل أنبوب المواد التالية:

- 2 ميكرو لتر من وقاء Big Dye (x5).
- 1 ميكرو لتر من Big Dye (x10).
- 0.5 من المشرع ذي التركيز 10 بيكومول.

- الدنا القالب حسب طول نواتج الـ PCR المراد الحصول على تسلسلها كما في (الجدول 11).
- يكمل الحجم حتى 10 ميكرو لتر بالـ H<sub>2</sub>O.

أما مراحل الـ cycle sequencing داخل جهاز الدوار الحراري فهي:  
مسح الـ DNA بالحرارة 96° لمدة 10 ثواني ثم التطويع بالحرارة 50° درجة لمدة 5 ثواني وأخيرا الإطالة بالدرجة 60° لمدة 4 دقائق، تعاد هذه المراحل 25 دورة.

#### 2-4-2-1-6- التنقية بعد تفاعل تحديد التسلسل النووي تيدي:

الهدف من هذ المرحلة هو التخلص من dye terminators غير المرتبطة قبل ترحيل العينة عبر الـ sequencer، حيث أن الـ dye terminators الزائدة تسبب غموض في الأسس في الجزء الأول من الـ sequence ويمكن أن تتدخل في تسمية الأسس أيضا.  
الأدوات والمواد اللازمة:

- H<sub>2</sub>O.
- أنابيب فالكون سعة 50 مل.
- أنابيب فارغة 2مل.
- أنابيب إبندروف 1.5 مل.
- سيفادكس.

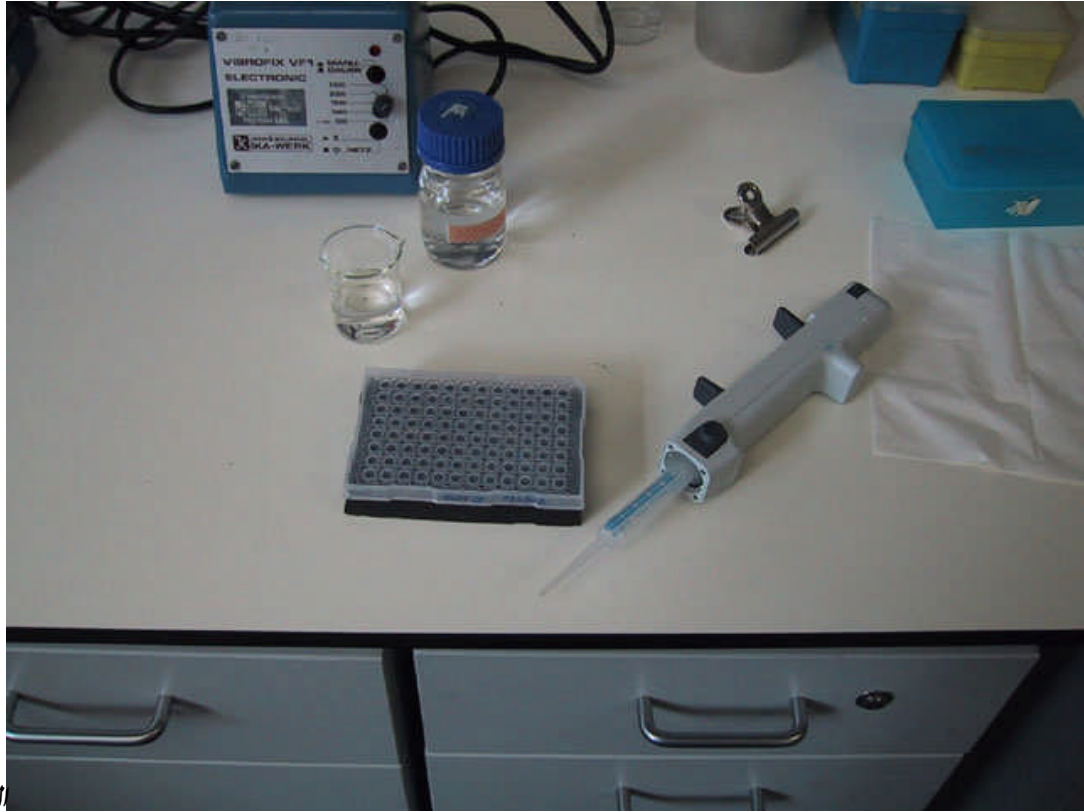
#### طريقة التنقية:

- يحل 1 غ من بودرة السيفادكس في 15 مل H<sub>2</sub>O ويدور على الـ vortex ويترك الأنبوب بشكل عمودي لمدة 30 دقيقة.
- يوضع 800 ميكرو ليتر من السيفادكس في عمود Centri-Sep™ spin columns (P/N CS-901) من شركة Applied Biosystems خاص لتنقية السيفادكس ويوضع هذا العمود فوق أنبوب فارغ.
- ينبذ لمدة 3 دقائق (3000× g).
- يوضع العمود فوق أنبوب إبندروف جديد ويوضع فوقه نواتج الـ PCR sequencing.
- ينبذ لمدة 3 دقائق (3000× g).
- يرمى العمود ويحتفظ بأنبوب الإبندروف مع الرشاحة الموجودة داخله بدرجة 20°-.
- لحين إدخال العينة لجهاز الـ Sequencer analyzer 3100.

يمزج 10 ميكرو لتر من نواتج المرحلة السابقة مع 10 ميكرو لتر من الفورماميد منزوع الايونات Hi-Di™ Formamide Highly deionized formamide من شركة (Applied Biosystems, Foster City, CA, USA) تمهيدا للمرحلة المقبلة.

#### 2-4-2-2-1-7- الكشف على جهاز الـ Sequencer analyzer 3100:

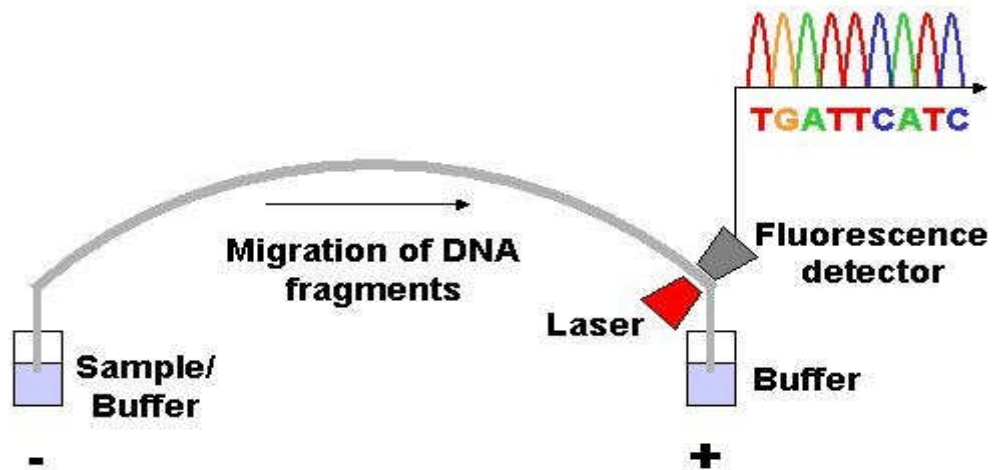
توضع العينات في أنابيب خاصة أو صفائح خاصة ذات غطاء مطاطي (الشكل 58) وذلك في صينية ضمن معيان ذاتي autosampler في جهاز تحديد تسلسل الدنا Sequencer analyzer (الشكل 59) حيث يحضر هذا المعيان بالتسلسل كل عينة لتكون بتماس مع المهبط و نهاية الأنبوب الشعري capillary المملوءة بالمكثور polymer، بينما المصعد في النهاية الأخرى لهذا الأنبوب مغمور بالوقاء، يدخل جزء من العينة إلى الأنبوب الشعري ويسري تيار من المهبط إلى المصعد وهذا ما يسمى الحقن الكهربائي عندها يحرك المعيان الذاتي مستودع الوقاء لتدخل النهاية الأخرى للأنبوب الشعري بالقرب من المهبط إلى الوقاء، يطبق تيار كهربائي لمرة ثانية لمتابعة الرحلان عبر المكثور، وعندما تصل قطع الـ DNA المعلمة (الموسومة) إلى نافذة الكشف detector window يثير الليزر الأصبغة الموسومة dye labels المندخلة في الدنا عندها تقود سلسلة من العدسات وتركز التألق إلى مخطاط الطيف (راسم طيفي) spectrograph، بينما يقوم حيز الانعراج (زجاج محرز) diffraction grating في مخطاط الطيف ببعثرة الضوء (يوزعه بالاعتماد على أطوال الموجات)، ويركز طيف الضوء الناتج إلى منظومة كاميرات charge coupled device camera CCD (الشكل 60)، وبما أن كل نوكلويد مفلور يملك لونا خاصا به فإن برنامج تحليل البيانات الموجود داخل جهاز الـ sequencer يحدد ترتيب الأسس الموجودة على الهلامة المستخدمة وبذلك تتم عملية تحديد التتابع النوكليويتيدي لقطعة الدنا الهدف (الشكل 61).



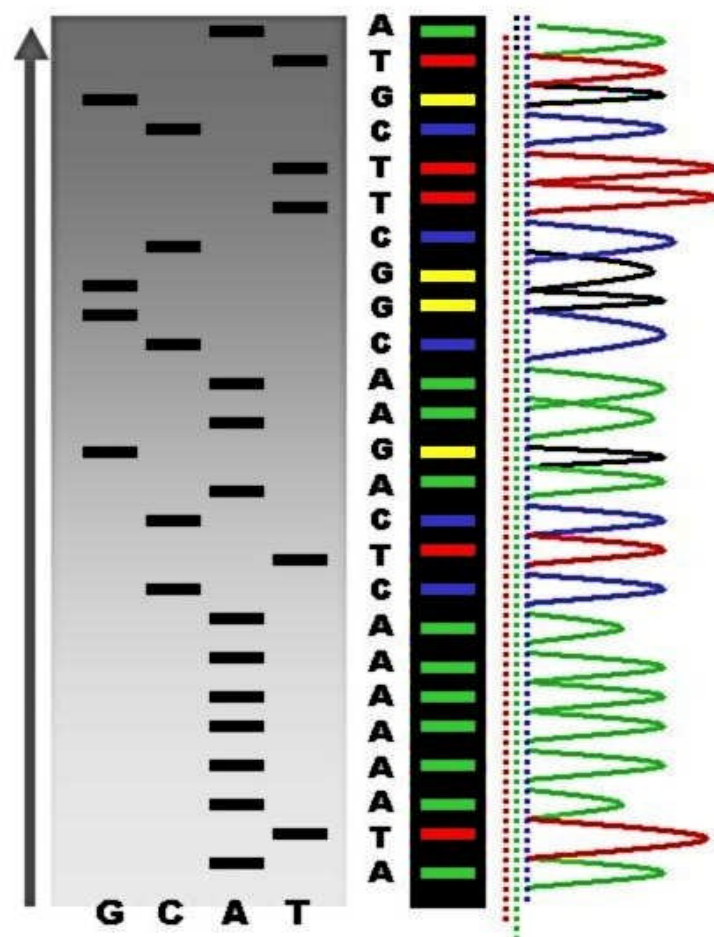
شكل (58) الصفحة الخاصة بوضع العينات.



الشكل (59) جهاز الـ *ABI Prism 3100 Genetic Analyzer, Applied Biosystems* من الداخل.



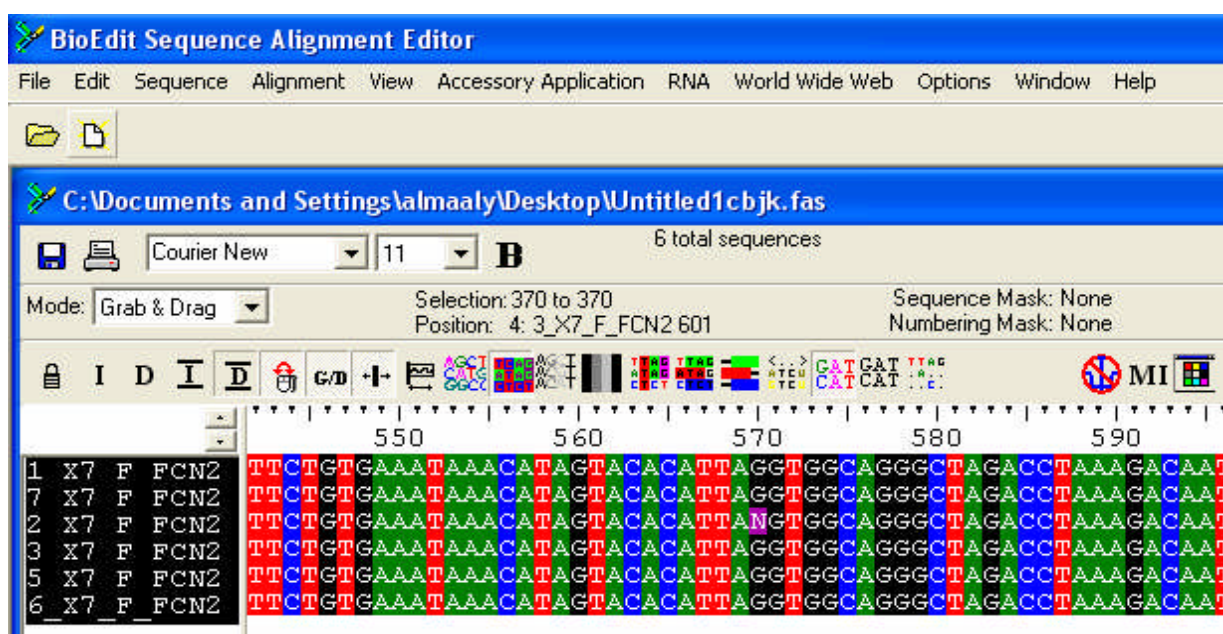
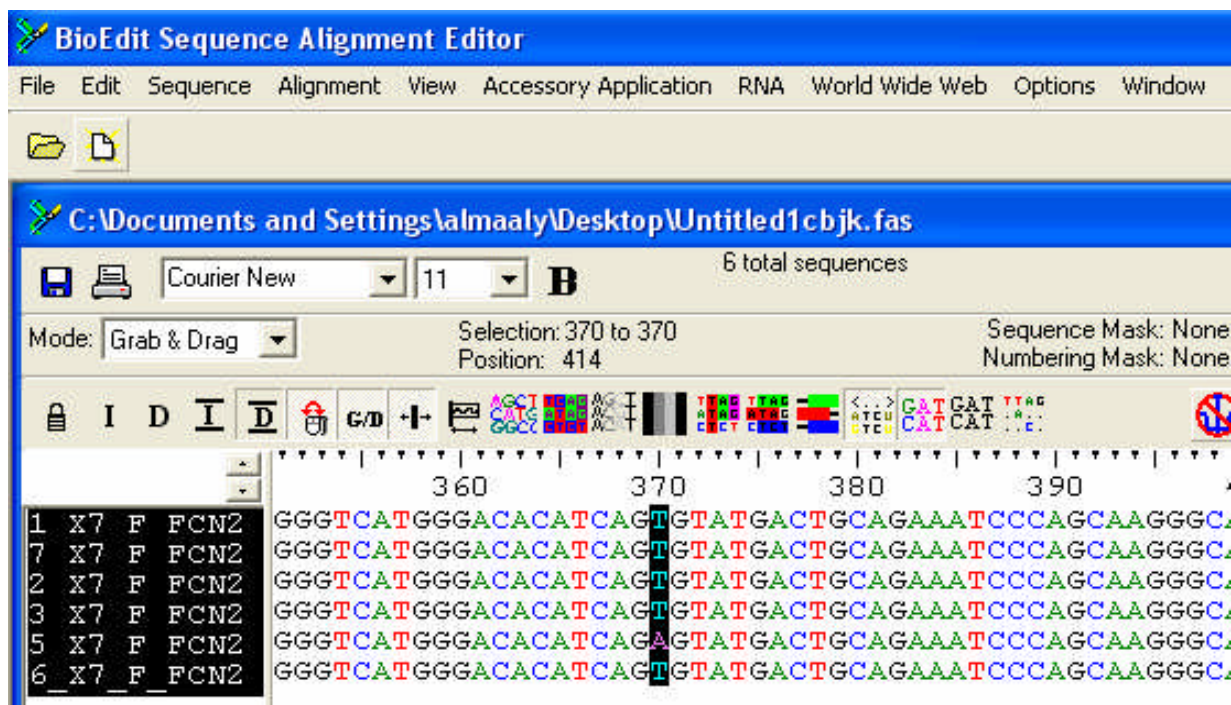
الشكل (60) طريقة التعرف على الأسس الأزوتية داخل جهاز *Sequencer analyzer 3100*.



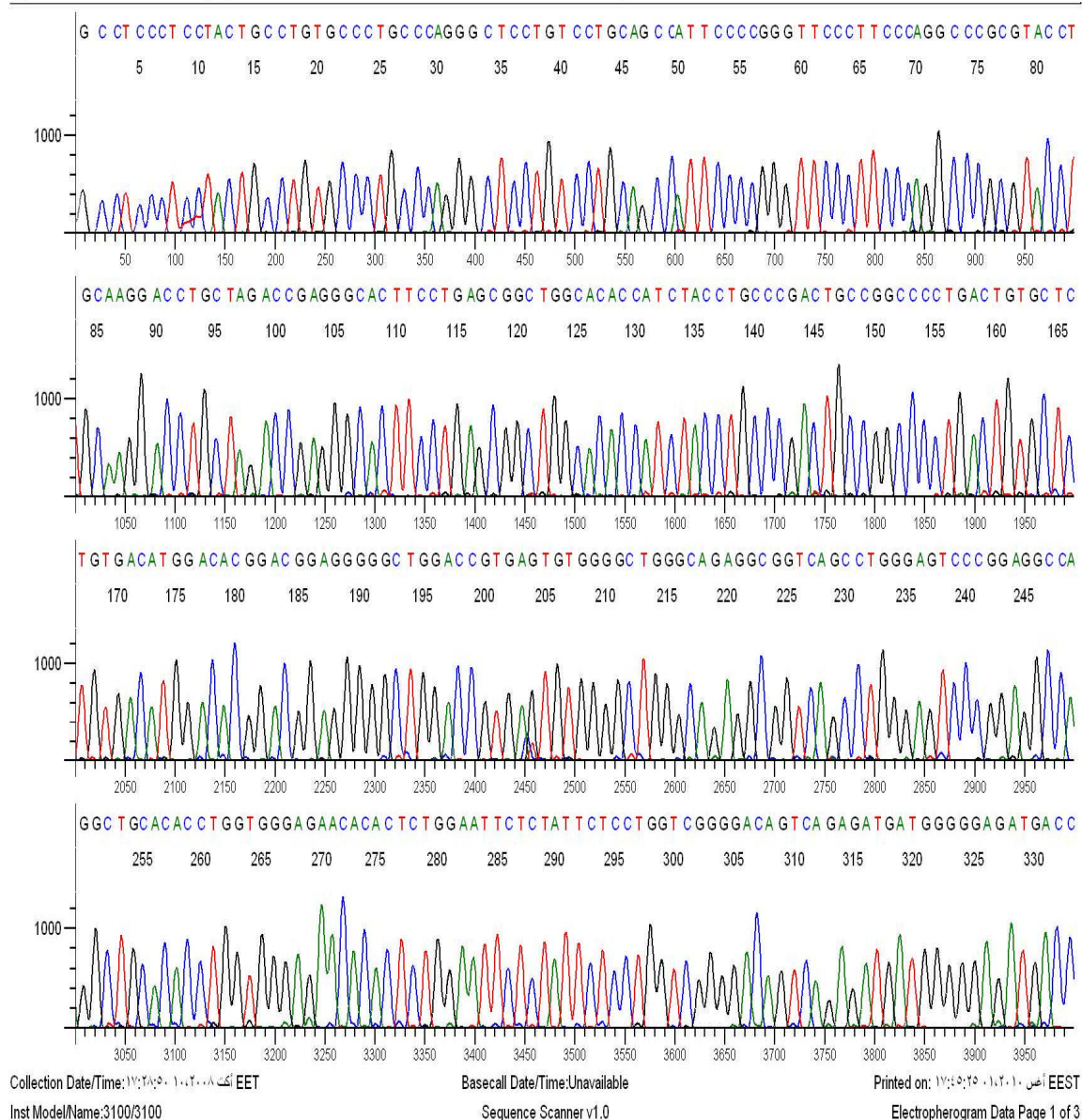
الشكل (61) نتاج تسلسل الـ *DNA*.



8-1-2-2-4-2- ترصيف تسلسل الـ DNA الناتج: وذلك باستخدام برنامج الـ Bio-Edit والتأكد من التعدد الشكلي عيانيا من مخطط الرحلان الكهربائي electrophoregram للأسس الأزوتية الناتج.

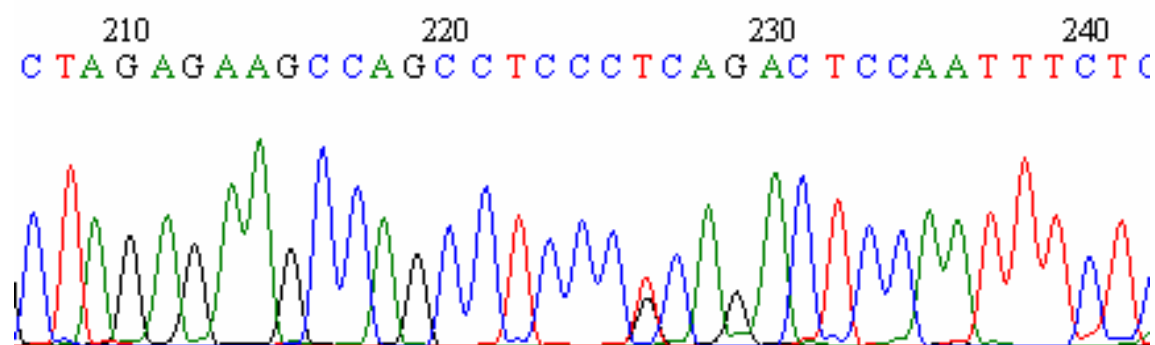
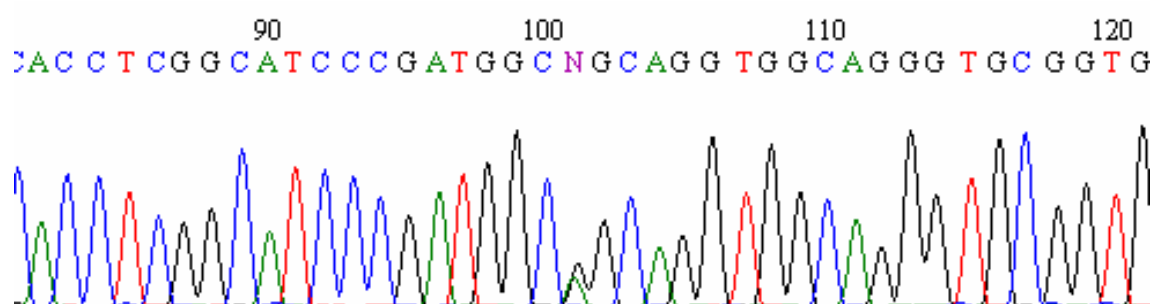
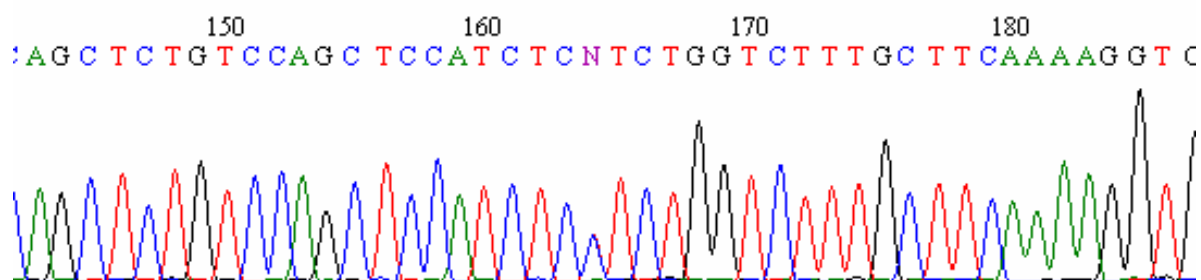


الشكل (62) ترصيف تسلسل الـ DNA لعدة عينات باستخدام برنامج الـ Bio-edit ومقارنتها مع المرجع.



الشكل (63) مثال عن مخطط الرحلان الكهربائي للأحماض.



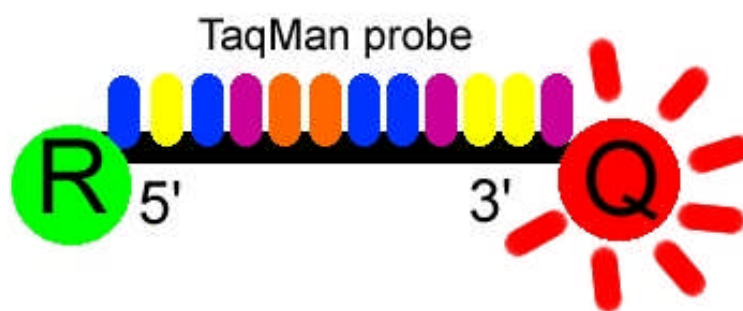


الشكل (64) أشكال مختلفة من الـ *SNP*.

## : Real-Time PCR-2-2-2-4-2

حدد التعدد الشكلي في المواقع (986G>A،-602G>A،-4A>G) في منطقة المعزاز باستخدام TaqMan MGE assay, Applied Biosystems, Foster City, CA, USA)

**بنية مسبار الـ TaqMan:** يتكون المسبار من 20-30 نوكلوتيد يضم صبغ مرسل dye reporter على النهاية 5' وصبغ مخمد quencher dye على النهاية 3' (الشكل 65)، الصبغ المعطي أو المرسل للتألق الموجود على النهاية 5' هو FAM<sup>TM</sup> وتركيبته (6-carboxyfluorescein) كما يمكن استخدام TET<sup>TM</sup> أو VIC<sup>TM</sup> أو HEX<sup>TM</sup>، أما الصبغ المخمد في النهاية 3' فهو TAMRA<sup>TM</sup> وتركيبته (6-carboxy-tetramethyl-rhodamine) ويمكن استخدام YAK أو BHQ أو JOE، هذا وإن وجود مجموعة الفوسفات على النهاية 3' تمنع إطالة المسبار.

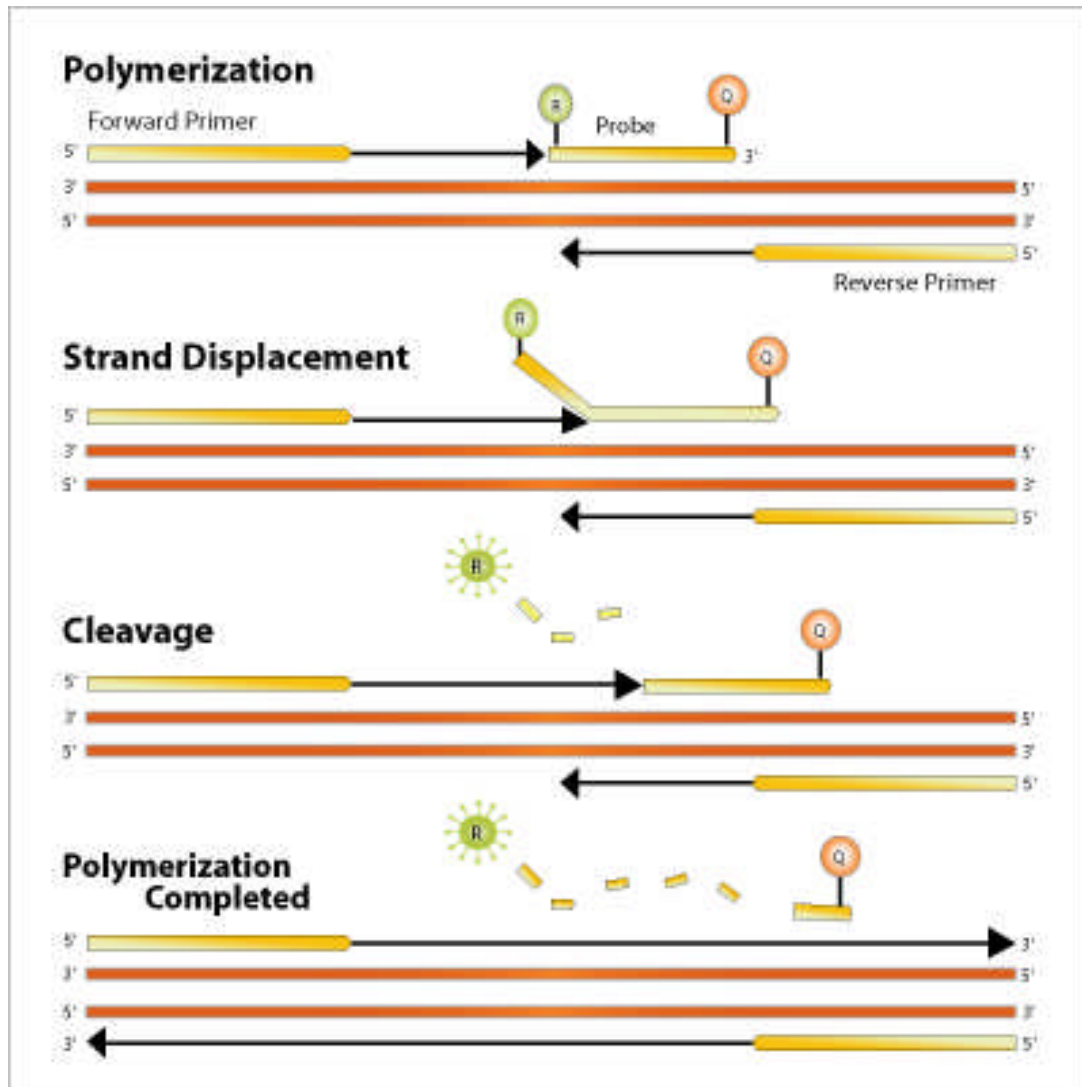


**الشكل (65) بنية مسبار الـ Taqman،** تمثل الكرة الحمراء الصبغ المخمد الذي يعطل إشارة الصبغ المرسل عندما يكون قريب منه.

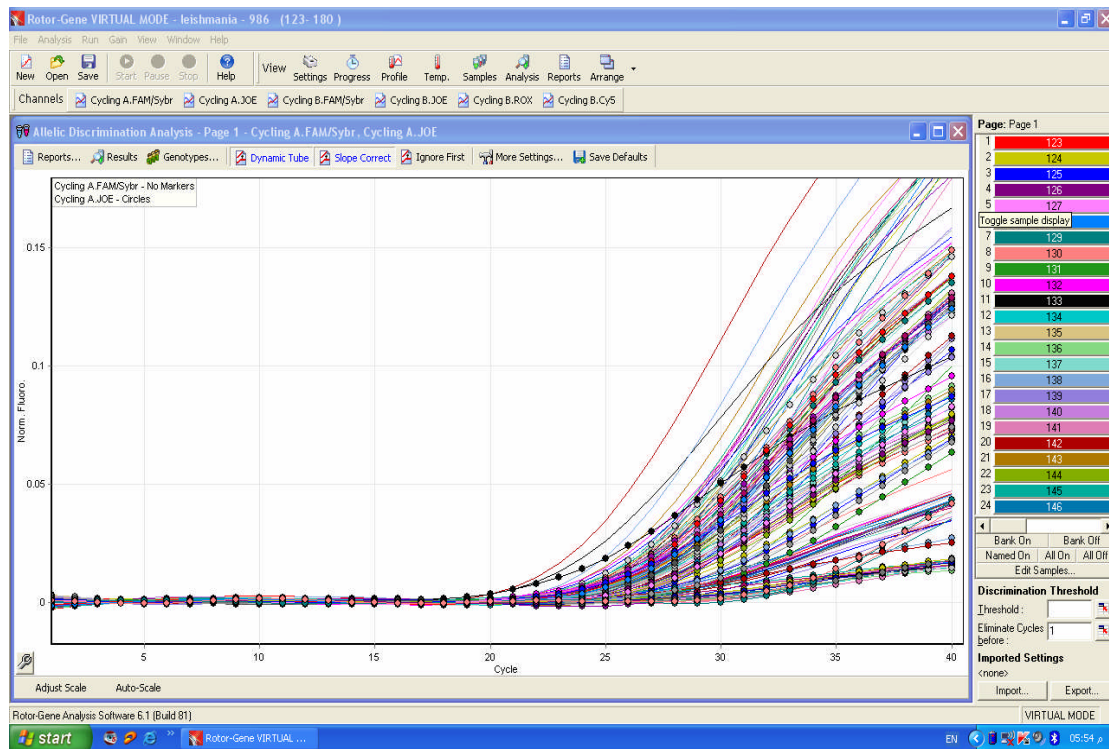
**مبدأ Real Time-PCR:** يعتمد الـ RT-PCR على فعالية النوكلياز في النهاية 5' من بوليميراز الـ DNA لشطر مسبار TaqMan خلال الـ PCR.

عندما يكون المسبار خاملاً يكون الجزء الداني من الصبغ المرسل قريباً من الصبغ المخمد مما يمنع عنه تثبيط تألق الصبغ المعطي، خلال الـ PCR وفي دور التطويع ترتبط البادنتين الأمامية والخلفية بالـ DNA الهدف، وكذلك الحال يرتبط المسبار بين موقع ارتباط البادنتين وعندما يبدأ الإنزيم بإطالة البادنة ويصل إلى المسبار فإنه يأتي دور فعالية النوكلياز من النهاية (3' → 5') لإنزيم الـ Taq، فتشطر المسبار بين الصبغ المرسل والمخمد (يتحرك المسبار فيتحرر المرسل من الفعالية المخمد للصبغ المخمد) (الشكل 66)، وعندها تبدأ أجزاء من المسبار بالانزياح عن الهدف فيزداد التألق وتستمر البلمرة أما النهاية 3' للمسبار تقفل لمنع إطالته خلال الـ PCR، تحدث هذه العملية في كل دورة ولا يتداخل التراكم الأسّي لنواتج الـ PCR، يكشف ويقاس التألق

إذ يكون مقداره مرتبط بشكل مباشر ومتناسب مع كمية الـ DNA الموجودة في التفاعل ثم يجمع الحاسب بيانات التآلق ويحللها باستخدام برنامج معين ليتم عرض النتائج بشكل مخططات (الشكل 67).

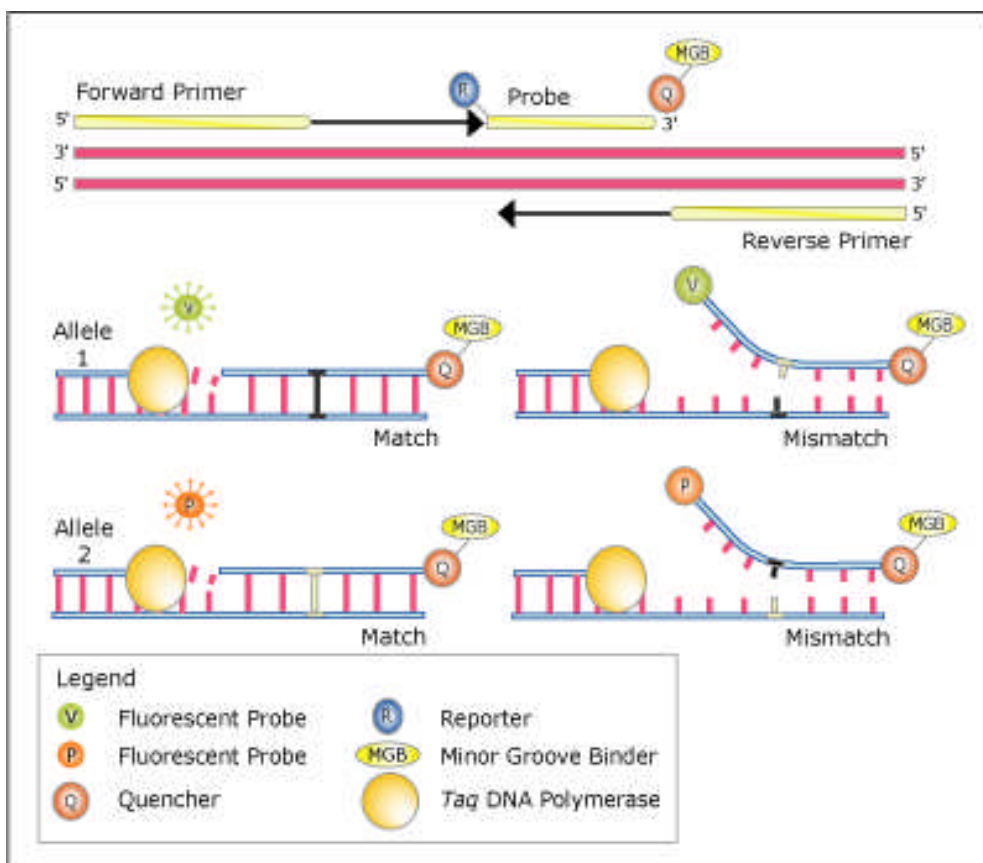


الشكل (66) مبدأ عمل الـ Real-Time PCR.



الشكل (67) كيفية نقل البيانات إلى منحنيات من التآلق.

استخدام الـ TaqMan في كشف الـ SNP: استخدم الـ TaqMan لكشف الطفرات حيث صمم لكل أليل مسبار خاص موسوم بمادة مفلورة مختلفة وكل مسبار مصمم ليكون مكملًا لسلسلة أليل واحدة وليس للأخرى، أي أن أحد المسبارين يكشف النمط البري والآخر يكشف الطفرة، وعادة ما يكون الفرق بالمسبارين زوج أسس bp فقط، وبما أن الفرق بين المسبارين قليل جدًا فمن المفيد استخدام شروط تفاعل مضبوطة، ولذلك ولزيادة الحساسية يستخدم حاليًا نمط جديد من تآك مان سمي TaqMan probe Minor Groove Binder (MGB) (الشكل 68) وهذا المسبار يشبه TaqMan التقليدي ولكن أضعف إليه جزء محزم (ممسك) ذو ثلم صغير على النهاية 3' يعمل على تثبيت التطويع إلى الـ DNA قالب، مما يسمح باستخدام مسبار أقصر (حتى 13 bp) والمسبار القصير أكثر حساسية لإزالة (فك تثبيت) الارتباط غير الملائم لزوج أساسي وحيد، مما يجعل MGB أفضل من التآك مان التقليدي للتطبيقات التي تتطلب التمييز بين أهداف لها تسلسل متشابه.



الشكل (68) بنية مسبار الـ Taqman ذو الـ MGB.

## 2-4-2-2-1- طريقة العمل:

استخدم في كل تفاعل لكشف الأليل:

- 12.5  $\mu$ l من TaqMan Universal Master Mix
- 2  $\mu$ l من البادئة الأمامية ذات التركيز 5 ميكرومول/ل
- 2  $\mu$ l من البادئة الخلفية ذات التركيز 5 ميكرومول/ل
- 1  $\mu$ l من المسبار الموسوم بـ FAM ذو التركيز 10 ميكرومول/ل
- 1  $\mu$ l من المسبار الآخر الموسوم بـ YAK ذو التركيز 10 ميكرومول/ل
- 50 نانوغرام من الـ DNA منحلّة في 6.5 ميكرو لتر من H<sub>2</sub>O

واستخدمت أنابيب بحجم 0.1 مل من شركة

(Corbett Research LTF-Labortechnik GmbH, Wasserburg, Germany)

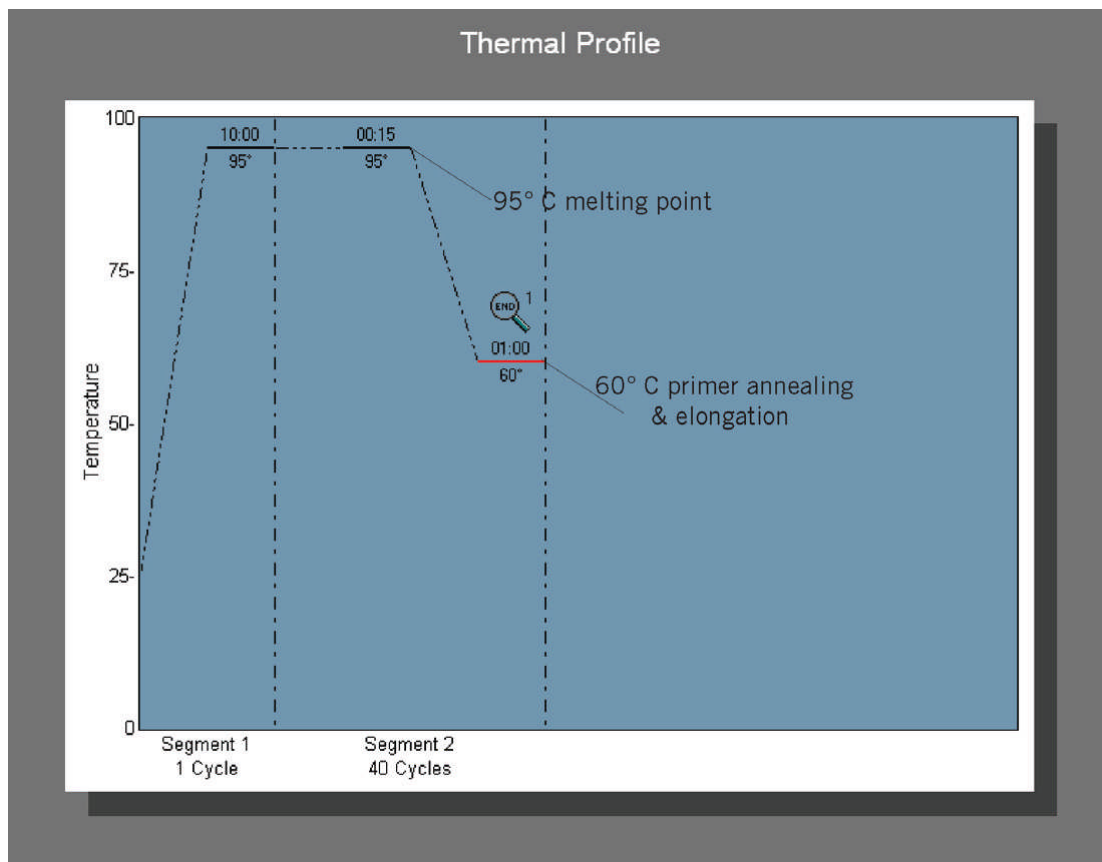
أضيف لكل تشغيل run:

- 2 Non Template Controls (NTC) أي شواهد سلبية بدون دنا لكشف التلوث الذي قد يعطي نتائج ايجابية كاذبة.

- 2 شواهد سلبية Negative controls (عينات تحوي دنا معروف عنها أنها سلبية).
- 2 شاهد إيجابي Positive control (عينة ذات دنا ايجابي الأولى للأليل الأول والثانية ايجابية للأليل الثاني) وعندما يعطي الشاهد الايجابي تآلق هام يعني أن النتيجة السلبية في العينات المجهولة هي سلبية حقيقية وليست نتيجة لفشل التفاعل لسبب في المسبار، المشرع، الوقاء، أو البوليميراز.

#### 2-2-2-2-4-2- مراحل الاختبار:

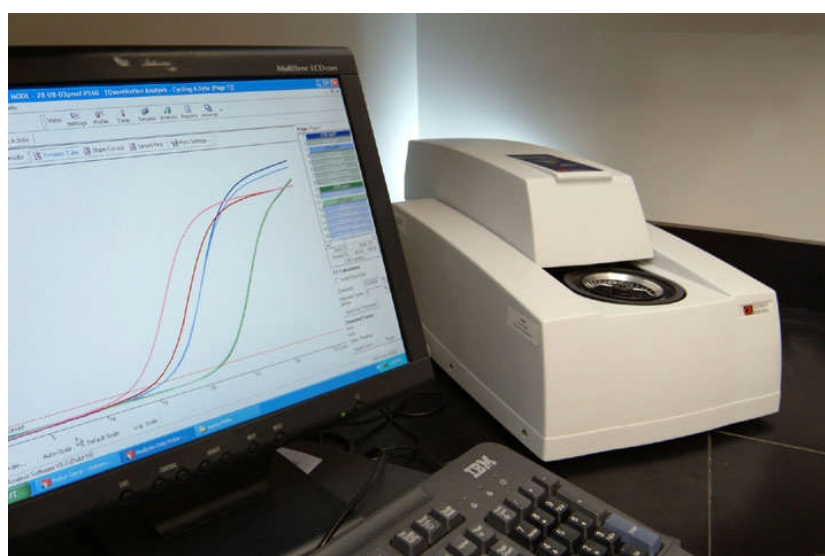
- مرحلة تفعيل البوليميراز بالحرارة 95° لمدة 10 دقائق
  - 40 دورة كل دورة مؤلفة من مرحلتين (مسح الدنا بحرارة 95° لمدة 60 ثانية متبوعة بدقيقة من التطويع والتطويل بحرارة 60° درجة أيضا (الشكل 69)).
- يجب لفت الانتباه إلى أن المسبار مصمم بحيث تكون درجة حرارة تهجين المسبار أعلى من المشرع بـ 8-10 درجات هذا يضمن تهجين المسبار قبل أن يحصل التطويل مع البادئة هكذا سيكون هناك زيادة متناسبة في التآلق لكل نسخة مضخمة تم إنتاجها.



الشكل (69) مرحلتي الـ Real Time PCR المستخدمة في TaqMan RT- PCR



الشكل (70) كيفية وضع العينات في قرص الجهاز ذو السعة 72 أنبوب سعة الأنبوب 0.1 مل.



الشكل (71) جهاز الـ Rotor-Gene 3000 أثناء العمل.



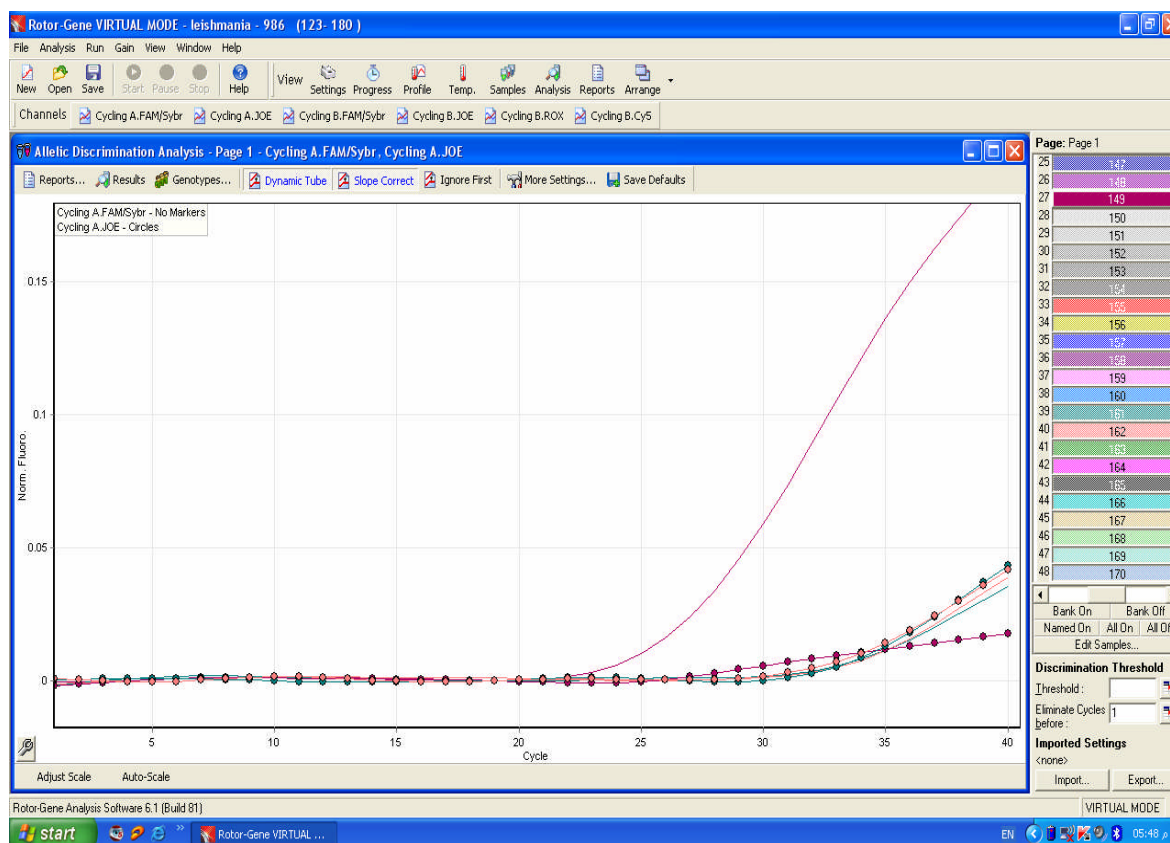
Position		
-986G>A	primers	5'-tgatcttgccaaggaagaaggc-3' 5'- ccactaccaccaccgca -3'
	probes	5'-YAK-acctgccgccatcgg- BBQ3 5'-FAM-acctgctgccatcgga- BBQ3'
-602G>A	primers	5'-tccccactcttctctcttcc-3' 5'-cctggggcagtagtagagca-3'
	probes	5'-YAK-tcctgttcgtgtgcccc-BBQ3' 5'-FAM-tcctgttcgtgtgcccc-BBQ3'
-4A>G	primers	5'- aagatgagaaattggagtctgaggga- 3' 5'-gaaagagagcagcagggtgg-3'
	probes	5'-YAK- ctccatctctctgtgttcttgc - BBQ3' 5'-FAM- agctccatctctctgtgttcttgc - BBQ3'

الجدول (12) المشرعات والمسابير المستخدمة لكشف الـ **SNP** في مورثة الفيولين 2. **FAM(Fluorescein)** و **YAK(Yakima)** هما الصباغان المستخدمان يحمل كل مسبار على النهاية **.BBQ (BlackBerry Quencher) 3'**

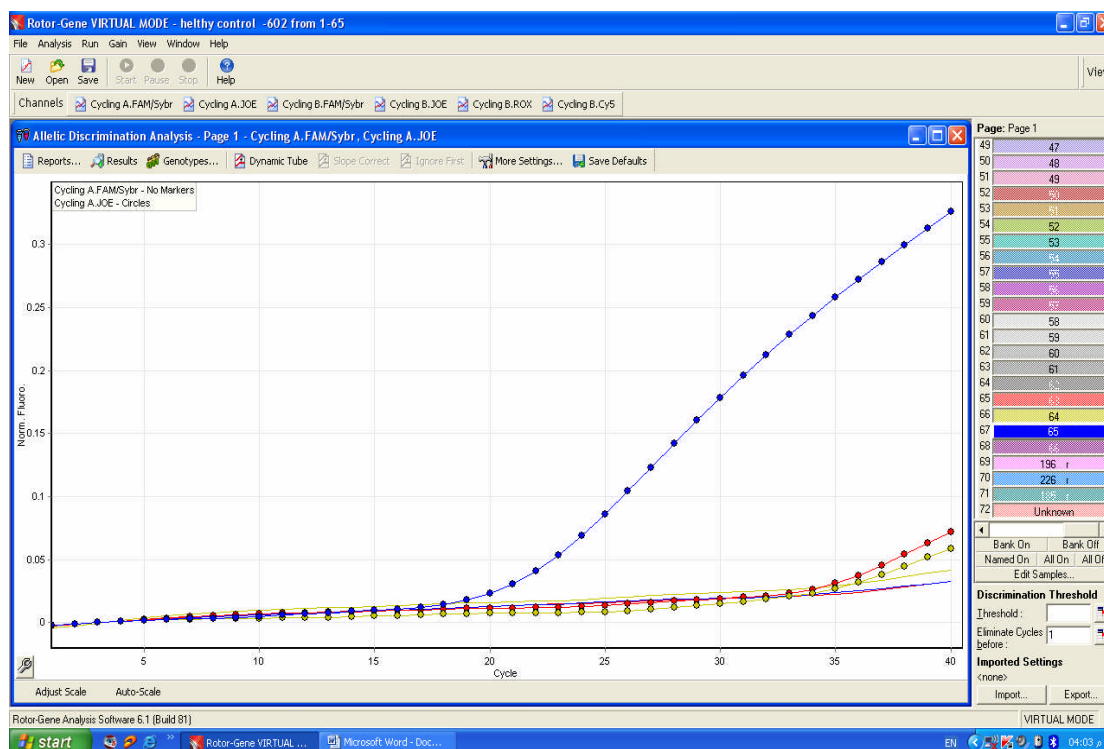
#### 2-4-2-2-3- تحديد النمط الجيني: حدد النمط الجيني بطريقتين عيانيا وآليا:

**تحديد النمط الجيني عيانيا:** وذلك بدراسة المنحنيات إذ يمثل المنحني الأول بدون كرات النتائج من الأليل البري، بينما يمثل المنحني ذو الكرات الصغيرة الطفرة وتفسر النتائج كالتالي: إذا كانت قيمة تآلق العينة (التضخيم) عالية في الصبغ الواسم للأليل البري (المنحني بدون كرات) ومنخفض في الصبغ الذي يميز النمط الطافر يعني أن العينة متماثلة للواقع للنمط البري (الشكل 72)، إذا كانت قيمة التآلق في العينة أعلى في الصبغ المميز للنمط الطافر ومنخفضة في الصبغ الواسم للنمط البري يعني أن العينة متماثلة للواقع للنمط الطافر (الشكل 73)، وفي حال أعطت قيمة وسطية لكلا الصبغين تعني متخالفة للواقع كما في (الشكل 74).

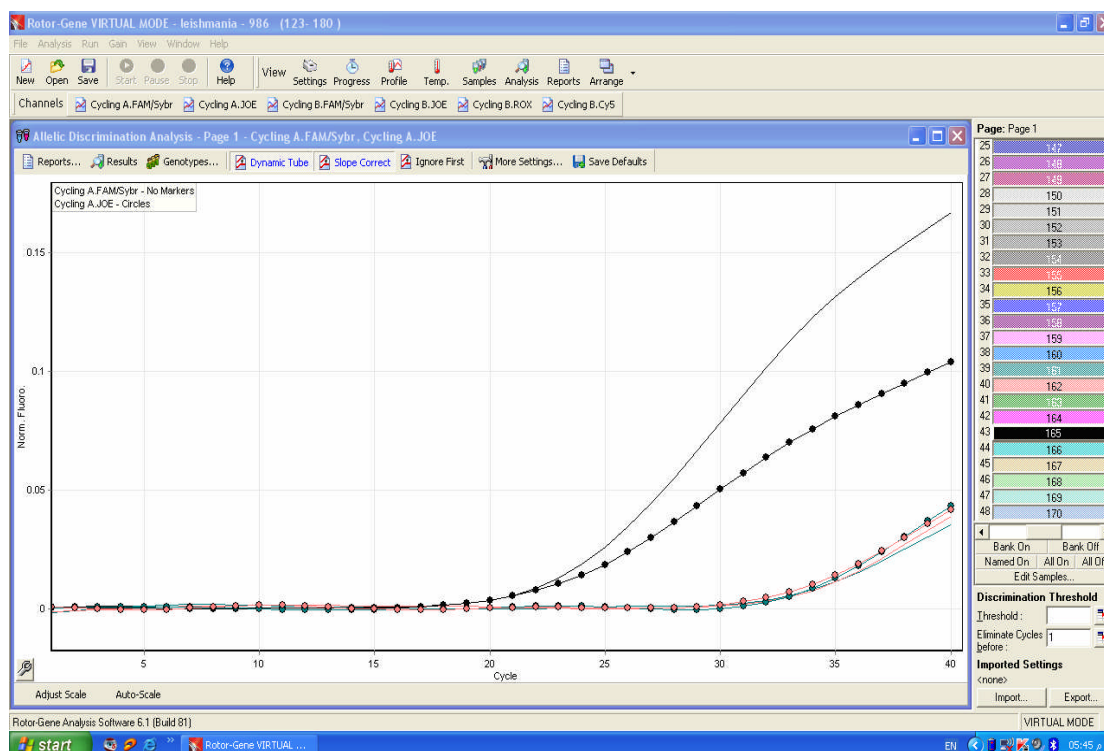




الشكل (72) نتيجة نموذجية للمقايضة إذ يوجد تضخيم بالمنحني بدون كرات أي العينة متماثلة للواقع للنمط البري.

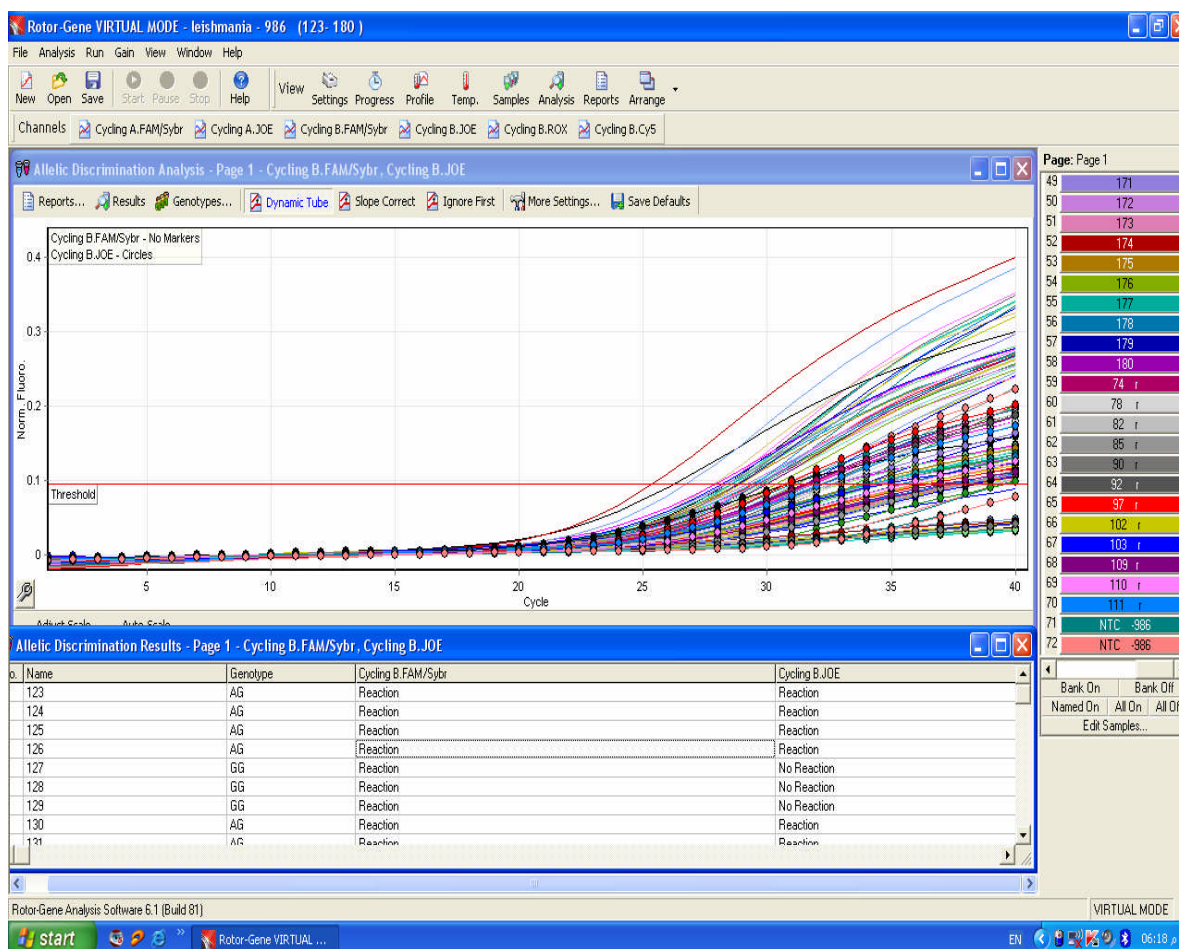


الشكل (73) نتيجة نموذجية للمقايضة إذ يوجد تضخيم بالمنحني ذو الكرات أي العينة متماثلة للواقع للنمط الطافر.



الشكل (74) نتيجة نموذجية للمقايضة إذ يوجد تضخيم بالمنحنيين بدون ومع كرات أي أن العينة متخالفة للواقع.

تحديد النمط الجيني آليا: وذلك باستخدام برنامج Rotor-Gene software v 6. 1 (Corbett Life Science, Australia) على جهاز Rotor-Gene 3000 وذلك بتحرير اسم النمط الجيني وتحديد العتبة Threshold وهي الدورة التي يكشف فيها زيادة هامة إحصائيا في التآلق، وتحدد العتبة عندما يبدأ النظام بكشف إشارة مرتبطة بالنمو الأسّي للـ PCR والتي ترتبط بشكل مباشر بعدد نسخ الدنا القالب في التفاعل، عندها تظهر النتائج في جدول أسفل المنحني (الشكل 75).



الشكل (75) تحديد النمط الجيني أليا حيث تظهر النتائج أسفل المنحني.

**5-2- الدراسة الاحصائية Statistical study:** درس الارتباط بين المواقع وكذلك احتمالات التآشب باستخدام برنامج الـ Haploview، كما درست تواتر الآلائ والأنماط الفردانية بين المجموعات باستخدام برنامج Arlequin version3 (<http://lgb.unige.ch/arlequin>) وحسبت كاي مربع و نسب الأرجحية odds ratios واختبار التصحيح لـ فشر Fisher's exact tests باستخدام Stata (Stata Corporation, Texas, USA) واعتبر الفرق ذو مغزى إحصائي في حال كانت  $P < 0.05$ .

	1	2	3	4	5	
	1234567890	1234567890	1234567890	1234567890	1234567890	
-1,010	aaggcacctc	ggcatcccga	tggc <u>a</u> gcagg	tggcaggggtg	cggtggtggt	Promoter
<b>rs3124952</b>						
-960	agtgggaggt	gcagtgtctg	ttc <u>c</u> gtctct	gggggcttta	ggtatacggc	<a href="#">rs3811144</a>
-910	ctctgggg <u>c</u> c	ccacctgcta	ctgtctctgt	ctctaacctg	gctcagtcca	<a href="#">rs3811143</a>
-860	aggcgagagt	gcaccttcag	gccagctctt	ctccaaaagg	cgaacacaac	
-810	cactgaagta	agtccacagc	catactacag	gtgggatgtc	tggcctcagg	
-760	gctcaggggg	ttccctgggc	cctaggagtg	aaattcacct	actctcatcc	
-710	tccttacagg	ctaagccctt	gcattcacac	tcaagggtct	cccttcagat	
-660	gtgtacctgg	gtcatagtcc	cccaggctcc	ccactcttct	ctcctttccc	
-610	tcctgttc <u>a</u> t	gtgcccctgt	gctctacata	ctgccccagg	<u>a</u> aacagtgga	
<b>rs3124953</b>	<a href="#">rs3811141</a>					
-560	cac <u>a</u> cacgca	ttttctctct	cttttcaccc	tggcagcctg	cctggacctc	<a href="#">rs3811140</a>
-510	atagtggcag	tttccaagcc	tcttgaggag	agtcccaagt	ctgtcatga	
-460	tgtggtgagg	gttactgtgt	aaggcccaca	ccagtggccc	atgaccagcc	
-410	ctggccatga	ggactctagg	tattcggata	agggagagag	acctctttga	
-360	agcagaacat	ctttagcaaa	cccttcttg	ttcccgttc	tcagctcatg	
-310	gtgacatctg	ctcaccgctg	aacaaagggtg	ggaggatggg	cctgggctct	
-260	ttgcccaagg	ccacaagcaa	gtcagcctgt	tccttggaag	gagacc <u>g</u> tcc	<a href="#">rs12344051</a>
-210	ccctgcaggg	atgacagtgc	ccatgggata	cccaagggg <u>c</u>	ggggggtagg	<a href="#">rs3811139</a>
-160	gagcagccct	ggagatgata	tcgcacctcc	tgctggcgtc	accaagcccg	
-110	cggagaggaa	gcggctgtca	ctcggaagat	gagaaattgg	agtctg <u>a</u> ggg	<a href="#">rs7865453</a>
-60	aggctggctt	ctctagccct	ataagagggc	aggcaccttt	tgaagcaaa	
-10	accaga <u>a</u> gag	ATGGAGCTGG	ACAGAGCTGT	GGGGGTCCTG	GGCGCTGCCA	Exon 1
<b>rs17514136</b>						
+41	CCCTGCTGCT	CTCTTTCTCTG	GGCATGGCCT	GGGCTCTCCA	GGCGGCAGAC	
+91	ACCTGTCCAG	GTAAGGGCAC	TCCAGGGCCT	CCTC <u>C</u> TGGAA	ACTTCTCGTC	Intron 1
<a href="#">rs3128627</a>						
+141	CCTGAAAGCT	GGCAGCTTCG	TGATTGGTGG	CTTCCTGGCT	TCCAGGCCTT	
+191	GCACCAGGCC	GTGTGGAGCA	TCGTCTAACG	AGACAGCAGC	TCTGCATGCC	
+241	TCATCTTATG	TGAACAAACG	CAGAGGCCCC <u>C</u>	GAATGGATGT	GGCATCTCAG	<a href="#">rs7032741</a>
+291	AGACGGAGCT	TCCTCTGCTT	GCCCTCCCAT	AATGGAACC	GAGGCAGGTT	
+341	TCCAGTCTCC	CTGGGCCACA	TGTCCCCCTC	TAAGCGTAAA	AAGCGTAGTC	
+391	ATGGTGTGTG	GTGGGGAGGT	GAGGCTTGTG	GTGCCAGCTG	GGTAGACACC	
+441	AGTCAGATAT	TCTGCCATGG	TCGCCATCAC	AGAGAGACAG	GGTGTGAGGT	
+491	GGGGATAAGC	ACCCGGAAG	ACAGGGTGTC	AGGCGGGGAT	GAGCACTGCA	
+541	GGACCTTTCC	ATCCAGGACC	TGCTGGGCTC	TGGAGATGGC	AGTTCCCATG	
+591	GTGTCCCTGA	TGCGGCACAA	TAAGGGTGGC	ATTGTCCCCG	TGAGTTCTGG	
+641	ACCTCCTTCG	GGGCTCCCGA	GGGGACACTC	GGGTGCCAAA	CCATGGGCTC	
+691	CGGCGCATGC	GAGGGCAGGT	TGAAAATGCA	GGTTCTGGAG	TCAGGTCCTG	
+741	ACTCCGTCTA	CCCGGGGCTG	GGATGCAGGG	TCAGGAATTT	GTGATGCTCC	
+791	TGATGCTTGC	AGAGATTCTG	GTCAGGATTT	CTGGAATG <u>C</u> A	TGTGAGACAC	<a href="#">rs3124954</a>
+841	AGAGCTCTGC	GGTGTGCTGT	GACTAGCATC	GCATTCAAGG	AGCAATCC <u>G</u> T	<a href="#">rs3128626</a>
+891	GGCGTGAAGT	GTGACACAGG	CCAGGAACAG	CGGGGATTCTG	CTTGGAAACT	
+941	CCTAGTGGCT	<u>C</u> GTTGTGGG	TGGTGGGGTT	AGGGTGGCAT	TATTTTCTTC	<a href="#">rs3128625</a>
+991	CTTAAATACT	TCTAGAGTTT	CTAAATGATC	AAATAATAGC	ACGTGTTATT	
+1,041	TTTGTAAACAC	ACTCACTTGA	ATTTGAGTTA	TCTAATTAAA	AACAACAAGC	
+1,091	TGCATTCCAG	CTCTAGTTTC	GCACCAACT <u>T</u>	GTTCAAGTGC	CTTGAAGGAC	<a href="#">rs11103562</a>
+1,141	GCCTCCCTCT	GTGGAGGAAC	AAGGTGGACC	CACAGGAGCC	CATCCACTCT	
+1,191	CAGATCTGCT	CCAAGATCAG	GCGTGGGAGT	TGCAATGGTA	GCCTCTCTCC	
+1,241	CTGTGTCCTT	CTCACCCGAT	ATTGATTACA	ATGATATGAT	AGATGAGAAC	
+1,291	AGACGAGATT	AGGATGCTGT	CTTAAATGGT	AGGAGCTGAA	ATGAACCTGC	
+1,341	ACCCCTCGGT	AGGTAAGGGA	ACAGAGGCTC	AGAGGGGTTA	AGGGACTTGT	

+1,391	TTCAGGACAC	ACAGTACTGA	GGAAGTAAGG	TTTGCCCTTCA	GGCAGGGTAG	
+1,441	CCTCCAAGGC	CAGGGTTCTG	CCCCAAATCA	CCTTTCTGCC	TGACCAGTGC	
+1,491	CCAAGAGGTG	AGGACAGACC	AAGTGCCAC	CAGGGCAGGA	AAACCTCCCT	
+1,541	TCCAGGTGAC	CCTCCAGCTG	AGGGAGGTGG	CTGTGGCTAT	AGCCATCTGC	
+1,591	CCAGTCCTGA	TGTCACCAAG	<u>A</u> TGGCAGAT <u>G</u>	CCTTTCAGTT	GAGTGGTATA	<a href="#">rs4370608</a>
<a href="#">rs4578023</a>						
+1,641	TCTATGGCTC	AGTGGAGTCT	TCAGGCCAG	GTGACACTGA	GTGGCCACCT	
+1,691	GTGTTTTTCT	GCAGAGGTGA	AGATGGTGGG	CCTGGAGGGC	TCTGACAAGC	Exon 2
+1,741	TCACCATTCT	CCGAGGCTGT	CCGGGGCTGC	CTGGGGCCCC	TGGGCCCCAAG	
+1,791	GGAGAGGCAG	GCACCAATGG	AAAGAGAGGT	AGGTGCAGGC	ATGGCTGGGG	Intron 2
+1,841	GCACTGGCTC	TTGCTCTTTT	TGAAACCAGA	TGCTGAG <u>T</u> G	GGCAACACCC	<a href="#">rs3124955</a>
+1,891	CCACC <u>A</u> TGGT	<u>C</u> CTAGATCG	AGAGCTGGGT	CAGGCCCTG	CAAGAGCCAG	<a href="#">rs4370609</a>
<a href="#">rs4509412</a>						
+1,941	GAAAAGAACT	GACTCCCAGG	GCCCAACAGG	GTTCT <u>G</u> ACAT	GGAGGGAGCG	<a href="#">rs4604523</a>
+1,991	TCTTTCTTAG	CTATTTTCATG	AGCTCACATT	TGGACATGCT	TCTGTAGCTC	
+2,041	TGTCTCCTAG	TCCTTGATCC	AATACCAGCT	TTGCTCGGCC	GCTGGCACGA	
+2,091	CTTCAAGCTC	TGTGTCCCTC	CACCTTCCCA	CCTCAACACG	GAGGCCATGA	
+2,141	CACTCTTCTC	CACCTGT <u>C</u> TC	AGATGAGGAA	ACTGAGGCTC	<u>A</u> GAGAGTCCA	<a href="#">rs12344423</a>
<a href="#">rs3124956</a>						
+2,191	GGGATTTT <u>C</u> G	TCTGTTCTCA	CACTTGGAAG	GAAAAGAGCC	GAGATTCTAC	<a href="#">rs12340783</a>
+2,241	CCATGGTCTC	TGGATTTCCA	GCTCCCGGCC	CCTGAGTGAA	CAGGAGAGCC	
+2,291	CCGTGAGGCC	TGGGTCCTGG	ATCTAGAACC	TTCTGGTGCA	GGATGGGCAA	
+2,341	GCCTGGGC <u>G</u> G	GGCCACAGTC	ACGTCGTAGC	ACGAGCAGGG	TCATGGTCAT	<a href="#">rs12340835</a>
+2,391	GATTGGAAAT	GACAGCCGCC	AGCTCC <u>A</u> GGG	TGGGCCCTTT	GATCCTGGGC	<a href="#">rs7024491</a>
+2,441	TGGGCAGTTT	TCCTCAAGTC	AGTGTCTTTG	<u>A</u> AAATTGCAG	GAGAACG <u>T</u> GG	<a href="#">rs3128624</a>
Exon 3	<a href="#">rs4520243</a>					
+2,491	CCCCCCTGGA	CCTCCTGGGA	AGGCAGGACC	ACCTGGGCCC	AACGGTAAGG	Intron 3
+2,541	AGGG <u>G</u> ACAAG	AGTGAGAAGC	GGCTTCAAGG	CCCTTCCAGA	CCTGGCTGCA	<a href="#">rs7037264</a>
+2,591	GAGGAACGTG	AGGCGGGTCT	TCTGGGGCTG	CCACGCTGTC	CTCGCCAGAG	
+2,641	CCAACGCCTG	CCCAGGCAGG	GCTCTTGGGG	CTTAGTCCAG	GGCAGGGGTC	
+2,691	TCAGTGTGGG	GGAAGGGGTG	TCAATGTGTG	TGTGGGTTCT	CAGTCTGGGG	
+2,741	GAGTGGGGTT	ATCAGTGTGG	GAGCTGGTCT	CAATGTGTGT	AGGGGGTCTC	
+2,791	AGTTTGGGGG	AGTGGGGTCA	TCAGTGTGGG	GGCAGGGTTC	TCAATGTCTCG	
+2,841	AGGAGGGGTT	CTTGGTGGTG	TAGGGAGAGG	TTCTTGGGGT	GTGTGTTGGG	
+2,891	GGAGGGGGTTC	CCGGTGGGCA	GGCTGT <u>G</u> GGG	AGGTGTTATC	AGCAGGGAGG	<a href="#">rs12236429</a>
+2,941	GAGGAGCTGT	CAATATGGGG	GAGAGATTCT	GGGATGGGGG	AGAGGTTCTG	
+2,991	ATTATTTCGG	GAGGGACTTT	TAGTGTGGGG	AGGGGTTCTT	AGTGGGGGGG	
+3,041	CTGTCTGTAT	GGGGGGGTTT	TCAGGTAGGG	GAAGGTTTTC	AGTGCAGGAG	
+3,091	CATCTGCCCT	GTGGGTGGGC	CTGAGACCAA	ATCCTGTCCC	TCTAATGTGG	
+3,141	AAGTGGTCTT	GAGAGGGTGG	GGGGGGATTG	TCTGCCACC	TCTCTAAGCC	
+3,191	TCACTCAGTC	CTGGCCTCTG	TCCCCTGAGC	ATGAGGCCCT	GTCTGTGCC	
+3,241	CTCCTCCTGA	CTCTGCTTGA	AAACCAGGAT	CAGCCCCGGA	TGGCTTGGAG	
+3,291	AACCATGCCA	ACAAGTTCCA	AACACAGAAT	TAGTGGAAAT	TCTCTGCTTT	
+3,341	AAAACAAAGA	ATTTTCTGAT	ATATTTTCTT	GAGGAATAAA	TTTTGA <u>G</u> GAA	<a href="#">rs7041446</a>
+3,391	TCGGAGAAAT	ACGCAGTAGG	AAATTGAAGC	TCCCTTTACT	CACTCACCTT	
+3,441	<u>T</u> ACCCACAGA	<u>C</u> CTACTCAGA	ATAAGACCAC	CCTACACTCA	CCAAACCCCA	<a href="#">rs3128623</a>
<a href="#">rs11792008</a>						
+3,491	GGCTCAGTCA	TGGGTTGTGT	CTAAACATAA	AATACGCAGG	TTTGGTGCCC	
+3,541	ACACC <u>G</u> CAAA	CAACACTCCC	CACATCATAT	TACTGTGTCC	ACCAAGATGG	<a href="#">rs7041633</a>
+3,591	GCTGTTTGCA	GGCCTTGGGG	CCTCAGGAGA	AGCCTGAAGA	TCCAGGCTTC	
+3,641	CTTTAGTTGG	CATGTGGAGG	CCTCAGCAGT	CTCTGGGATG	GTGGCCTCTG	
+3,691	CTTCCCCAGG	AACCTCTGAA	AGGGGTGCAT	GTGGTGGAGG	GG <u>C</u> CAGTGTA	<a href="#">rs7023162</a>
+3,741	GGCATCCCTC	GAGGGAAAGA	AAAATTTGGT	CAACAGAACC	AGGGTCAGGG	
+3,791	ACTCCTTGGC	TGGACCCATA	CCATCACCTC	CTGGGGAGGC	CCAGAAAAATG	
+3,841	GTGTCCGCGG	ACCAATGGGG	GCTGAAGGGC	TCTGATTTC	AAACTGTGAC	
+3,891	ACGTGTGTCC	TCTCTCATCC	ATGAACAGGA	GCACCTGGGG	AGCCCCAGCC	Exon 4
+3,941	GTGCCTGACA	GGTGA CTGAC	CACCCCCACA	CTCCTCCAC	GGCTTGTGGC	Intron 4
+3,991	TGCCCTTGGC	TGGAAGTCCA	GGGTCATACG	ACGCCATTGC	CAGAATGAAG	
+4,041	TGACAAATAT	<u>G</u> AACAGAAGA	AAATGGTTGC	TTGCCCCTTT	CCTTGTCCCC	<a href="#">rs12685659</a>
+4,091	TAATTATTCA	AGGAAGTGAC	AAATATTGTC	CAGACAACTT	ACATACACTC	
+4,141	CATGGCAATT	TTTTTCTATT	TATAATCTAC	GCCAGAAGGC	CGGGTGCCCC	

+4,191	<a href="#">G</a> GAGCTGAAG	GTGGGGGTGA	CACTGGGAGG	TGGGAGGGCC	AGGCCAACTG	<a href="#">rs12684459</a>
+4,241	GCTGCGGCCA	TCACAGCTGC	GTGGCCCTGG	GGGCCGTGTC	CCTGTCCAGG	
+4,291	CCTCAGAGTC	CCGCTCTGTT	CATACAGACG	CCTATGGCCC	TGCTTCTTCC	
+4,341	TCCCAGGCCT	CCCTCCTACT	GCCTGTGCCC	TGCCCAGGGC	TCCTGTCCTG	
+4,391	CAGCCATTCC	CCGGGTTCCC	TTCCCAGGCC	CGCGTACCTG	CAAGGACCTG	Exon 5
+4,441	CTAGACCGAG	GG <a href="#">C</a> ACTTCCT	GAGC <a href="#">G</a> GCTGG	CACACCATCT	ACCTGCCCCG	<a href="#">rs17549179</a>
<a href="#">rs12684476</a>						
+4,491	CTGCCCGCCC	CTGACTGTGC	TCTGTGACAT	GGACACGGAC	GGAGGGGGCT	
+4,541	GGACCGTGAG	TGTGGGGCTG	GGCAGAGGCG	GTCAGCCTGG	GAGTCCCCGA	Intron 5
+4,591	GGCCAGGCTG	CACACCTGGT	GGGAGAACAC	ACTCTGGAAT	TCTCTATTCT	
+4,641	CCTGGTCGGG	GACAGTCAGA	GATGATGGGG	GAGATGACCG	GTGGGTAAAA	
+4,691	GTCCAGGCCT	TTGGGGGAGG	CTGGGAGAGG	TTGGGTGCTC	TCCTGCTGTG	
+4,741	TGGCTTGGGG	CTTGTTGCCT	CCCCTCTCTG	AGCCCCATT	TCCTCCTTCA	
+4,791	TCCTGTGGAG	TCTGTGAGGA	GAACAGGTGG	GCGTGCTGGT	GACCCCGCT	<a href="#">rs12684512</a>
+4,841	GTGATGCTCT	GCCAACTACA	AATGCTGCTC	CTCTGGAGGG	CGGGTCCCC	
+4,891	GTGCTGTGGG	ACGTGCGCCT	GGCCCCCCG	GCTCCTGTCC	CCTGGCTTCT	
+4,941	CCACAGGTTT	TCCAGCGGAG	GGTGGATGGC	TCTGTGGACT	TCTACCGGGA	Exon 6
+4,991	CTGGGCCACG	TACAAGCAGG	GCTTCGGCAG	TCCGCTGGGG	GAGTTCTGGC	
+5,041	TGGGGAATGA	CAACATCCAC	GCCCTGACCG	CCCAGGGTAG	GGCCGCTGCT	<a href="#">rs34789496</a>
Intron 6						
+5,091	GGGGCTTGGG	GGTCGGGGGC	CCTGAATGGG	<a href="#">G</a> GTGCCCTTG	CCTCTTGGGC	<a href="#">rs12684723</a>
+5,141	CTGGGCTGCC	TGGAACACAA	GAGCCTCTTG	GCCCACAGGG	GATTGGGCCC	
+5,191	TGAGCACACT	CAGGGTGGCA	CTGGGACCTC	CGAGGGCTTC	GTCCCTGCTG	
+5,241	CAGGCTCTGG	CAGCATCGGG	ACGGGAGAGG	GTCAGAGCTC	TGGGATGAAG	
+5,291	GCCTCTTCAG	GTCTTGCCCC	CACTGGCATC	TCAGGTCCTG	AGAGGGGAAG	
+5,341	GAGGGACACA	GTGGCCCCAT	AGTGGAGTTT	GGGCCCCAAC	CCAACTCTGC	
+5,391	CTCTAATCCG	CTAGGATTTG	GGAGTCAAGA	GTCTTGCCCT	GCTGCTCAGC	
+5,441	ACACCCTGCC	GGGTCAGAGC	TACACAGGCC	CCGGGGATGC	TGCGGTGCTC	
+5,491	TCCGCCCTCT	GCCTCCATGG	AGTCCAGACC	TCCTTCCAGG	CCCTGCCCCA	
+5,541	GATCCCCAGC	TCCCATGTCT	AAAGGTAGAG	AGCCCTTCCG	CTGAGACCTT	
+5,591	GAAACCTTTC	TCTAACAGGA	ACCAGCGAGC	TCCGTGTAGA	CCTGGTGGAC	Exon 7
+5,641	TTTGAGGACA	ACTACCAATT	TGCTAAGTAC	AGATCATTCA	AGGTGGCCGA	
+5,691	CGGGTCGGAG	AAGTACAATC	TGGTCTTGGG	GGCCTTCGTG	GAGGGCAGTG	
+5,741	CGGGTGAGTG	TCTGCTTGGG	GCTGTGTGGC	CTGGGCTTCT	GAGGGGGGTT	Intron 7
+5,791	TGGGAAGTGG	AGAGAGCGTG	CTCAGTGTCC	TGGTAGCCTT	GTGGAAGAGG	
+5,841	CCTCACCTCT	CTGAGCCAAT	TCGTCCATCT	CTACATGCAG	ACACTAACAT	
+5,891	CTGTGCTCTG	TGTAGCATGG	GGGTCATGGG	ACACATCAGT	GTATGACTGC	
+5,941	AGAAATCCCA	GCAAGGGCAT	CTGGTAGGAA	GGAAGTCTCT	GCAGAGCAGG	
+5,991	GACCTATGCA	CGGTGACAGC	AGCTGATATC	TCTGCGGGGC	<a href="#">A</a> TGGCTGGAA	<a href="#">rs11103563</a>
+6,041	GGGGTCTGCC	ATGATGGAAT	CCAGAGTAGA	GAATGATGAT	CCTGACCCCT	
+6,091	GCCTCCTGTT	CTTCTGTGAA	ATAAACATAG	TACACATTAG	GTGGCAGGGC	
+6,141	TAGACCTAAA	GACAATTTGC	CAAGACCACT	GCCAACAGCA	GGGCAGTATT	
+6,191	CACTGGAGTC	ATGGATTGCA	CTTCTTGGAT	TGTGCAGTGC	ACAACCTGCC	<a href="#">rs10125317</a>
<a href="#">rs7872508</a>						
+6,241	TAACCATACA	TGGAGGACAC	ACCAGGCCAG	GCCTCAGGTA	TAAAGACTTA	
+6,291	TACTGTCTGT	AATGATGTTA	CTGCCTGTAA	CGATGCTCAC	ATTTCTCTCT	
+6,341	GCACAGGAGA	TTCCCTGAC	TTCCACAACA	ACCAGTCCTT	CTCCACCAAA	Exon 8
<a href="#">rs17549193</a>						
+6,391	GACCAGGACA	ATGATCTTAA	CACCGGAAAT	TGTGCTGTGA	TGTTTCAGGG	
<a href="#">rs7851696</a>						
+6,441	AGCTTGGTGG	TACAAAAACT	GCCATGTGTC	AAACCTGAAT	GGTCGCTACC	
+6,491	TCAGGGGGAC	TCATGGCAGC	TTTGCAAATG	GCATCAACTG	GAAGTCGGGG	
+6,541	AAAGGATACA	ATTATAGCTA	CAAGGTGTCA	GAGATGAAGG	TGCGACCTGC	
+6,591	CTAGcccagg	ccggcctcag	ggtcaggacg	cctccacaca	tagtttggttg	<a href="#">rs4521835</a>
+6,641	gggggtaggg	ttgggagctt	ggccctacgg	tttgtaaaag	aaacacatgt	
+6,691	cgtgattct					
+6,700	aaattggggtt	tgtcttgctg	tgcggaagag	gttcaaattcc	agctctgttt	
+6,750	ccgcaatcaa	cccttttcaga	tttgtgacat	taactcacct	caaacctctg	
+6,800	tcttttcttg	acaatgagta	agaatgtggt	cctgaccatg	ccagcaggaa	

+6,850 ccttccttaa ggacaaatac aagactttga agctgcgatg ggctcagagt  
+6,900 gcagccctgc tcaggctcct gggcaggcta aacgccttcc tggggctcga  
+6,950 ccatctgggc ttctctgtga gctggatggc agggaaagtca gaaggcacat  
+7,000 tggagaggaa gtttctcttg cactcagaga tgccgttgcc tgtccaaggc  
+7,050 cccagcctc gtagccgcag ctctgtcac tctccccgt caccaggt [rs12115600](#)  
+7,100 tctgcccgc tgctgtcctg ggtattcgtg ggatctgtc gctacttct  
+7,150 cacaagccga agcaagagt gcagtgtgc tgtgactccc tcatcaaac [rs7045822](#)  
+7,200 ggagagagtg gttacatgag gcaggtgtga gggaccgag cactcctgag [rs11103564](#)  
[rs7045964](#)  
+7,250 gagggagaa cactcctctt ggccatgagt gtccatccca aagctgccct  
+7,300 gcagcctagc ccagtgcaga ttgaatcaga aagccaaagc cccttccacc  
+7,350 cgcttctctc aggcaagctg cctgcaagag agaaaagtgt attagtgcag  
+7,400 gagcttgtgt ctgctgagga tggcacctgg ccctctctc tcaccagtc [rs11103565](#)  
+7,450 cgggtcctcc tgaggaccgg tcccctgtcc ccggtccca gccagctcag  
+7,500 cctgaccagg ctgttagagg ctccgcaccc cagcatcggc cagtgtgac  
+7,550 cctgttagcg ctgtttgggt ccccgatcac tctcataaca gccctgccct [rs7040372](#)  
+7,600 tgtcctatac cctctactca gagaggtacc agaaggggtc aaggaggcca [rs7046516](#)  
+7,650 tgatccctcc ctgagctttt tcacgcgggc cccctccttc ccctacgagg

**الشكل (76) تسلسل الأسس الأزوتية في مورثة الفيكولين 2 وأهم الـ SNP الموجودة فيها، تعتبر الـ SNP الملونة باللون الأحمر وظيفية.**

1	ATG	GAG	CTG	<a href="#">GAC</a>	AGA	GCT	GTG	GGG	GTC	CTG	<a href="#">GGC</a>	GCT	GCC	ACC	CTG	CTG
<a href="#">rs61736807</a> <a href="#">rs72551122</a> <a href="#">rs55797213</a>																
1	Met	Glu	Leu	Asp	Arg	Ala	Val	Gly	Val	Leu	Gly	Ala	Ala	Thr	Leu	Leu
49	CTC	TCT	TTC	CTG	GGC	ATG	GCC	TGG	GCT	CTC	CAG	GCG	GCA	GAC	ACC	TGT
17	Leu	Ser	Phe	Leu	Gly	Met	Ala	Trp	Ala	Leu	Gln	Ala	Ala	Asp	Thr	Cys
97	CCA	GAG	GTG	AAG	ATG	GTG	GGC	CTG	GAG	GGC	TCT	GAC	AAG	CTC	ACC	ATT
33	Pro	Glu	Val	Lys	Met	Val	Gly	Leu	Glu	Gly	Ser	Asp	Lys	Leu	Thr	Ile
145	CTC	CGA	GGC	TGT	CCG	<a href="#">GGG</a>	CTG	CCT	GGG	GCC	CCT	GGG	CCC	AAG	GGA	GAG
<a href="#">rs55865317</a>																
49	Leu	Arg	Gly	Cys	Pro	Gly	Leu	Pro	Gly	Ala	Pro	Gly	Pro	Lys	Gly	Glu
193	GCA	GGC	ACC	AAT	GGA	AAG	AGA	GGA	GAA	<a href="#">CGT</a>	GGC	CCC	CCT	GGA	CCT	CCT
<a href="#">rs4520243</a>																
65	Ala	Gly	Thr	Asn	Gly	Lys	Arg	Gly	Glu	Arg	Gly	Pro	Pro	Gly	Pro	Pro
241	GGG	AAG	GCA	GGA	CCA	CCT	GGG	CCC	AAC	GGA	GCA	CCT	GGG	GAG	CCC	CAG
81	Gly	Lys	Ala	Gly	Pro	Pro	Gly	Pro	Asn	Gly	Ala	Pro	Gly	Glu	Pro	Gln
289	CCG	TGC	CTG	ACA	GGC	CCG	<a href="#">CGT</a>	ACC	TGC	AAG	GAC	CTG	CTA	GAC	CGA	GGG
<a href="#">rs55895215</a>																
97	Pro	Cys	Leu	Thr	Gly	Pro	Arg	Thr	Cys	Lys	Asp	Leu	Leu	Asp	Arg	Gly
337	<a href="#">CAC</a>	TTC	CTG	AGC	<a href="#">GGC</a>	TGG	CAC	ACC	ATC	TAC	CTG	CCC	GAC	TGC	CGG	CCC
<a href="#">rs17549179</a> <a href="#">rs12684476</a>																
113	His	Phe	Leu	Ser	Gly	Trp	His	Thr	Ile	Tyr	Leu	Pro	Asp	Cys	Arg	Pro
385	CTG	ACT	GTG	CTC	TGT	GAC	ATG	GAC	ACG	GAC	GGA	GGG	GGC	TGG	ACC	GTT
129	Leu	Thr	Val	Leu	Cys	Asp	Met	Asp	Thr	Asp	Gly	Gly	Gly	Trp	Thr	Val
433	TTC	CAG	<a href="#">CGG</a>	AGG	GTG	GAT	GGC	TCT	GTG	GAC	TTC	TAC	<a href="#">CGG</a>	GAC	TGG	GCC
<a href="#">rs56235352</a> <a href="#">rs56281005</a>																
145	Phe	Gln	Arg	Arg	Val	Asp	Gly	Ser	Val	Asp	Phe	Tyr	Arg	Asp	Trp	Ala
481	ACG	TAC	AAG	CAG	GGC	TTC	GGC	AGT	CGG	CTG	GGG	GAG	TTC	TGG	CTG	GGG
161	Thr	Tyr	Lys	Gln	Gly	Phe	Gly	Ser	Arg	Leu	Gly	Glu	Phe	Trp	Leu	Gly



529 AAT GAC AAC ATC CAC GCC CTG ACC GCC CAG GGA ACC AGC GAG CTC CGT  
[rs34789496](#) [rs55860122](#)  
 177 Asn Asp Asn Ile His Ala Leu Thr Ala Gln Gly Thr Ser Glu Leu Arg  
Thr  
 577 GTA GAC CTG GTG GAC TTT GAG GAC AAC TAC CAG TTT GCT AAG TAC AGA  
 193 Val Asp Leu Val Asp Phe Glu Asp Asn Tyr Gln Phe Ala Lys Tyr Arg  
  
 625 TCA TTC AAG GTG GCC GAC GAG GCG GAG AAG TAC AAT CTG GTC CTG GGG  
 209 Ser Phe Lys Val Ala Asp Glu Ala Glu Lys Tyr Asn Leu Val Leu Gly  
  
 673 GCC TTC GTG GAG GGC AGT GCG GGA GAT TCC CTG ACG TTC CAC AAC AAC  
[rs17549193](#)  
 225 Ala Phe Val Glu Gly Ser Ala Gly Asp Ser Leu Thr Phe His Asn Asn  
Met  
 721 CAG TCC TTC TCC ACC AAA GAC CAG GAC AAT GAT CTT AAC ACC GGA AAT  
 241 Gln Ser Phe Ser Thr Lys Asp Gln Asp Asn Asp Leu Asn Thr Gly Asn  
  
 769 TGT GCT GTG ATG TTT CAG GGA GCT TGG TGG TAC AAA AAC TGC CAT GTG  
[rs7851696](#) [rs55874707](#)  
 257 Cys Ala Val Met Phe Gln Gly Ala Trp Trp Tyr Lys Asn Cys His Val  
Ser  
 817 TCA AAC CTG AAT GGT CGC TAC CTC AGG GGG ACT CAT GGC AGC TTT GCA  
 273 Ser Asn Leu Asn Gly Arg Tyr Leu Arg Gly Thr His Gly Ser Phe Ala  
  
 865 AAT GGC ATC AAC TGG AAG TCG GGG AAA GGA TAC AAT TAT AGC TAC AAG  
 289 Asn Gly Ile Asn Trp Lys Ser Gly Lys Gly Tyr Asn Tyr Ser Tyr Lys  
  
 913 GTG TCA GAG ATG AAG GTG CGA CCT GCC TAG  
 305 Val Ser Glu Met Lys Val Arg Pro Ala ???

الشكل (77) تسلسل الحموض الأمينية في بروتين الفيكولين 2 وأهم التغيرات فيها.



## 6-2- النتائج Results:

**6-2-1- الـ SNP الجديدة في جينة الفيكولين 2 عند 40 عينة من الشواهد:** وجدنا 9 أماكن تبدل نوكلوتيدي وحيد (SNPs) جديدة وذلك في عينات الشواهد الأربعين التي تمت دراسة كامل المورثة فيها، وقع اثنين من هذه الـ SNPs في منطقة المعزاز (A>G-418، T>C-722) وواحد في الانترون 2 (C>G+1898)، وأربعة في الانترون الخامس (G>C+4577، T>C+4647، C>G+4704، A>G+4806)، وواحد في الاكزون السادس (T>C+4986) والذي يؤدي إلى تغيير الحمض الأميني 157 من أرجنين Arg إلى تريبتوفان Trp، والتعدد الشكلي الأخير وقع في الاكزون الثامن (A>G+6584) مؤديا إلى تغيير الحمض الأميني في الموقع 311 من أرجنين إلى غليسين، معظم هذه التغيرات وجدت بتواتر منخفض ماعدا الـ SNP في الموقع +4704 حيث بلغ تواتر الأليل الأصغر فيه 0.14 والجدول التالي يظهر التعدادات الشكلية في المورثة وتواتر الألائل فيها:

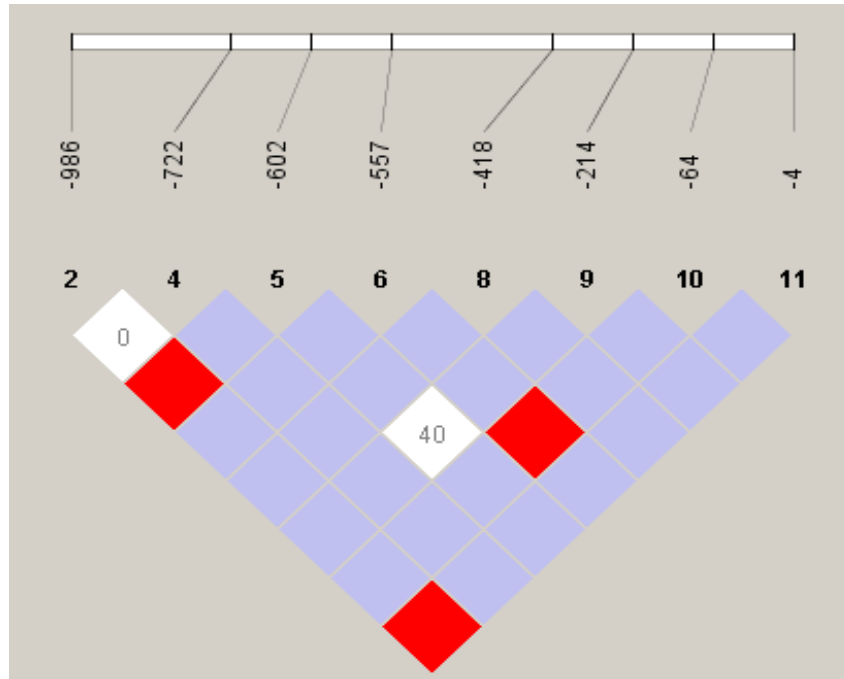
موقع الأساس	رقم تنصيب الـ SNP	الأليل الأكبر	الأليل الأصغر	تواتر الأليل الأكبر	تواتر الأليل الأصغر
-986	rs3124952	G	A	0.50	0.50
<b>-722</b>	rs76739162	C	T	0.99	0.01
-602	rs3124953	G	A	0.71	0.29
-557	rs3811140	A	G	0.89	0.11
<b>-418</b>	rs74693003	G	A	0.99	0.01
-214	rs12344051	G	A	0.97	0.03
-64	rs28969369	A	C	0.86	0.14
-4	rs17514136	A	G	0.80	0.20
1878	rs3124955	T	C	0.62	0.38
<b>1898</b>	rs75577478	G	C	0.97	0.03
2051	rs73565973	T	C	0.90	0.10
2088	rs73565979	C	T	0.90	0.10
2182	rs12344423	G	A	0.51	0.49
2417	rs7024491	A	G	0.66	0.34
2472	rs3128624	A	G	0.63	0.37
2488	rs4520243	T	C	0.62	0.38
2545	rs7037264	G	A	0.63	0.37

موقع الأساس	رقم تنصيب الـ SNP	الأليل الأكبر	الأليل الأصغر	تواتر الأليل الأكبر	تواتر الأليل الأصغر
4577	rs76665625	C	G	0.99	0.01
4647	rs75123259	C	T	0.99	0.01
4704	rs56117058	G	C	0.86	0.14
4806	rs77254375	G	A	0.99	0.01
4888	rs56200327	C	T	0.99	0.01
4986	rs56281005	C	T	0.99	0.01
6031	rs11103563	A	G	0.97	0.03
6183	rs62573178	G	A	0.92	0.08
6220	rs7872508	T	G	0.97	0.03
6359	rs17549193	C	T	0.81	0.19
6424	rs7851696	G	T	0.95	0.05
6584	rs76267164	G	A	0.99	0.01

الجدول (13) الـ SNPs في جينة الفيكولين 2 الموجودة في 40 عينة من عينات الشواهد. يشير اللون القاتم للـ SNPs الجديدة، الترقيم حسب تسلسل الجين في الموقع (<http://snpper.chip.org>).

## 2-6-2-دراسة LD للـ SNP الموجودة في منطقة المعزاز من جينة الفيكولين 2:

2-6-2-1-دراسة معامل LD ( $LD \text{ coefficient}=D'$ ) و LOD: قمنا باستخدام البرنامج الحاسوبي المدعو الـ Haploview بدراسة معامل اختلال التوازن الارتباطي  $D'$  ولغاريتم نسبة الأرجحية LOD بين كل موقعين، إذ يقوم البرنامج بالتعبير عن النتائج كالتالي: عندما تكون ( $D'=1$  و  $LOD \geq 2$ ) بين موقعين تظهر مربعات بلون أحمر مما يعني درجة عالية من الارتباط، بينما تشير المربعات الزرقاء إلى ( $D'=1$  و  $LOD < 2$ ) وبالتالي درجة أقل من الارتباط، أما المربعات البيضاء فتشير إلى ( $LOD < 2$  و  $D' < 1$ ) أي درجة منخفضة جداً من الارتباط (الشكل 78).



الشكل (78) مخطط الـ *Haploview* يظهر دراسة (LD) لمنطقة المعزاز من مورثة الـ *FCN2* عند 40 عينة من الأصحاء و تشير الأرقام داخل المربعات إلى قيمة *D'* معبرا عنها بشكل نسبة مئوية.

نستنتج من الشكل السابق وجود توليفة أليلية قوية strong allelic combinations بين كل زوج من المواقع التالية: (-557 و -64)، (-602 و -986)، (-4 و -986) وهذا ما يؤكد الجدول التالي :

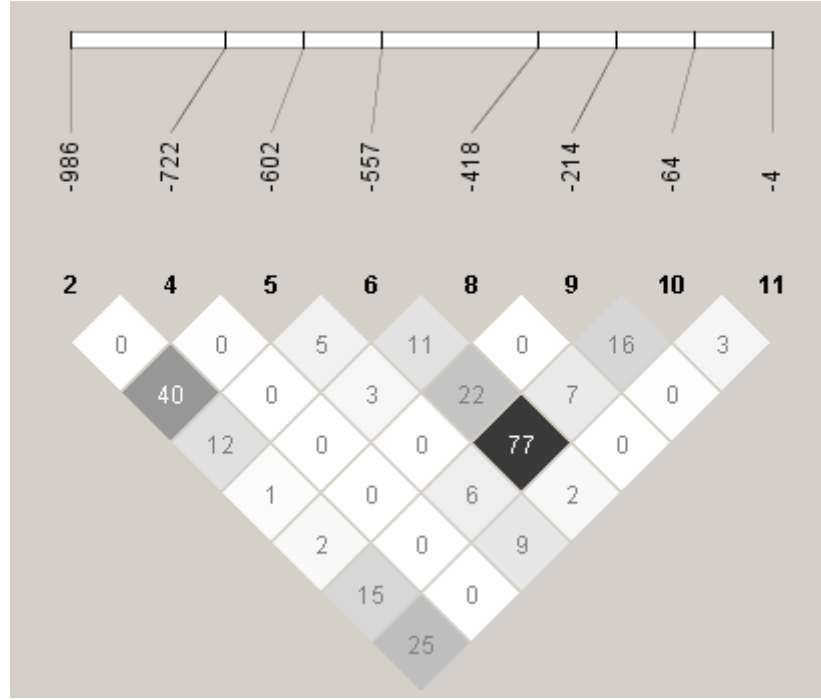
الموقع الأول	الموقع الثاني	<i>D'</i>	LOD	$r^2$
-986	-722	0	0	0
-986	-602	1	5.99	0.4
-986	-557	1	1.11	0.12
-986	-418	1	0.01	0.01
-986	-214	1	0.29	0.03
-986	-64	1	1.76	0.16
-986	-4	1	2.8	0.25
-722	-602	1	0.15	0.01
-722	-557	1	0.05	0
-722	-418	1	0.01	0
-722	-214	1	0.01	0

$r^2$	LOD	D'	الموقع الثاني	الموقع الأول
0	0.07	1	-64	-722
0	0.09	1	-4	-722
0.05	0.41	1	-557	-602
0.03	0.26	1	-418	-602
0	0.01	0.4	-214	-602
0.06	0.83	1	-64	-602
0.09	1.85	1	-4	-602
0.11	0.68	1	-418	-557
0.23	1.41	1	-214	-557
<b>0.78</b>	<b>6.33</b>	<b>1</b>	<b>-64</b>	<b>-557</b>
0.03	0.14	1	-4	-557
0	0.01	1	-214	-418
0.08	0.57	1	-64	-418
0	0.09	1	-4	-418
0.16	1.17	1	-64	-214
0.01	0.19	1	-4	-214
0.04	0.21	1	-4	-64

الجدول (14) درجات الارتباط بين المواقع المدروسة في منطقة المعزاز في 40 عينة من الشواهد.

#### 2-2-6-2 دراسة معامل الارتباط $r^2$ correlation coefficient بين المواقع المدروسة:

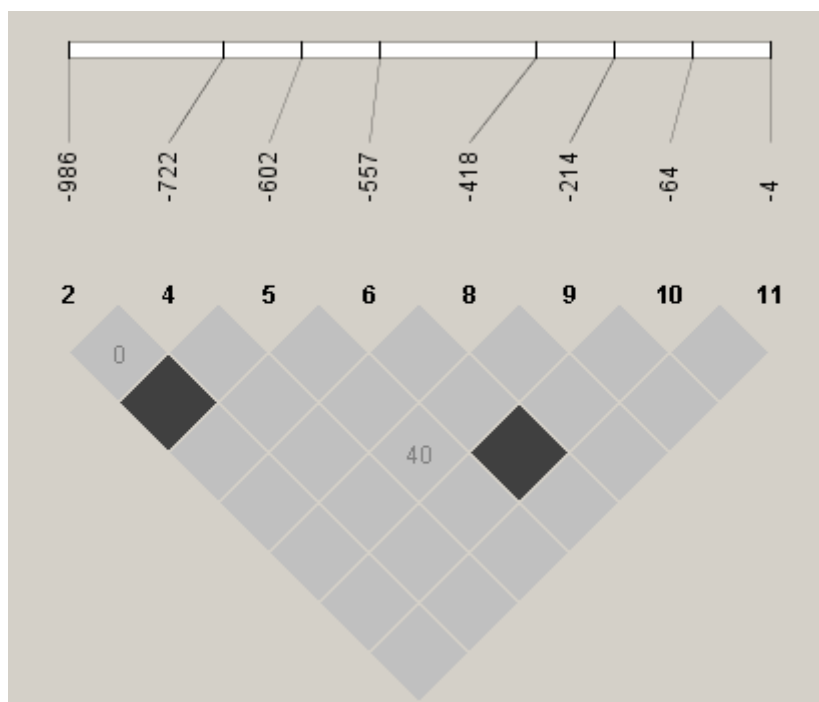
أيضا وبالا اعتماد على برنامج الـ Haploview حسبت معاملات الارتباط وحولت إلى مخطط تتلون فيه المربعات باللون الأبيض عندما تكون  $r^2=0$  وبالأسود عندما تكون  $r^2=1$  وتتناسب شدة اللون الرمادي طردا مع قيم  $r^2$  والنتائج موضحة في الشكل التالي:



الشكل (79) مخطط الـ **Haploview** يظهر قيمة معامل الارتباط  $r^2$  بين المواقع المدروسة معبرا عنها بشكل نسبة مئوية وبتدرجات اللون من الأبيض إلى الرمادي فالأسود.

من الواضح من الشكل السابق أن معامل الارتباط القوي وجد بين الموقعين (-557 و -64) حيث  $r^2=0.77$  تلاه (-986 و -602)  $r^2=0.4$  وأخير الموقع (-4 و -986) حيث  $r^2=0.25$  أما القيم الأخرى فتراوحت بين 0 و 0.22 .

**3-2-6-2- دراسة موثوقية الارتباط Confidence Bounds بين المواقع:** درسنا في هذه الفقرة عبر برنامج الـ haploview أيضا موثوقية الارتباط بين المواقع حيث تمثل المربعات الملونة باللون الرمادي الغامق أو الأسود في المخطط الناتج دليلا قويا على وجود LD بينما يصعب تفسير اللون الرمادي الفاتح أما اللون الأبيض فيشير إلى احتمال التأشب.



الشكل (80) مخطط الـ **Haploview** يوضح موثوقية الارتباط بين المواقع المدروسة في منطقة المعزاز.

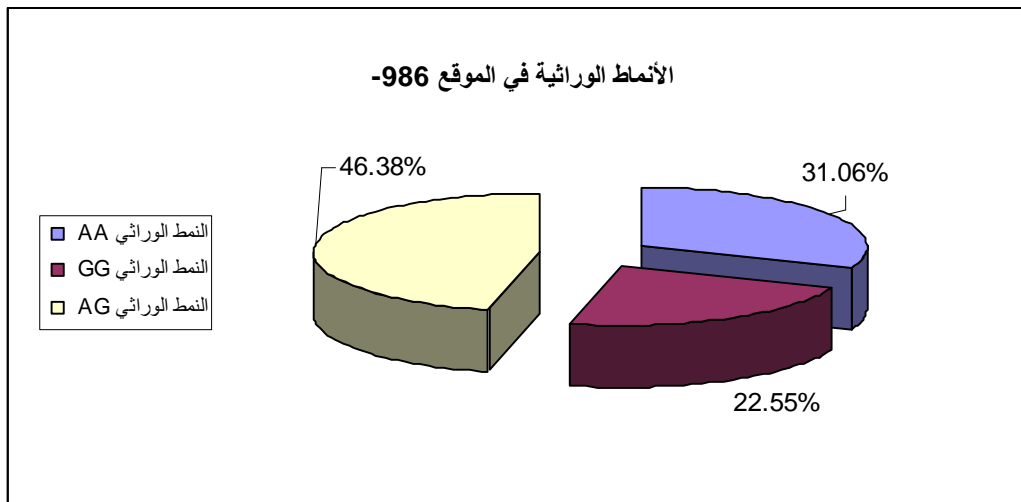
نلاحظ من الشكل أن الارتباطات الموثوقة وجدت بين الموقعين (-64،-557) وكذلك الحال (-986،-602) ولا يوجد احتمال للتأشب بين أي من المواقع المدروسة.

2-6-3-دراسة تواتر الأنماط الوراثية و الآلائل للمواقع الوظيفية الأربعة (-4،+6424،-602،-986) من مورثة الفيكولين 2 في مجموعة المرضى:

2-6-3-1-الموقع 986- (rs3124952): الذي يضم الأليلين A و G ولقد توزعت الأنماط الوراثية كما في الجدول التالي:

النسبة المئوية	العدد	النمط الوراثي للموقع -986
31.06%	73	النمط الوراثي AA
22.55%	53	النمط الوراثي GG
46.38%	109	النمط الوراثي AG
100.00%	235	المجموع

الجدول (15) يبين عدد ونسبة الأنماط الوراثية للموقع 986- في مجموعة المرضى.

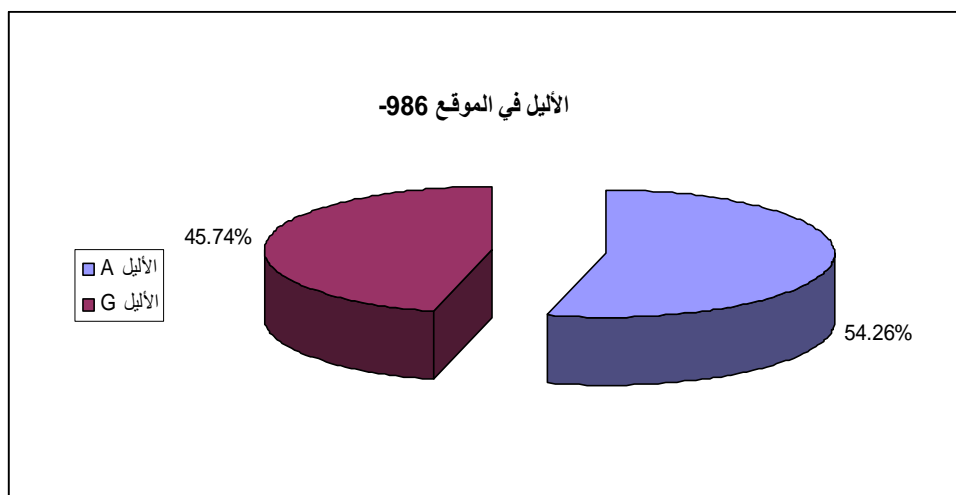


**الشكل (81) توزيع الأنماط الوراثية في الموقع 986- في مجموعة المرضى.**

نلاحظ من الجدول والشكل السابقين غلبة النمط الوراثي المتخالف اللواقح AG على بقية الأنماط. أما الآلائل فقد توزعت على النحو التالي :

النسبة المئوية	العدد	الآليل في الموقع 986-
54.26%	255	الآليل A
45.74%	215	الآليل G
100.00%	470	المجموع

**الجدول (16) عدد ونسبة الآليلين A, G للموقع 986- في مجموعة المرضى.**



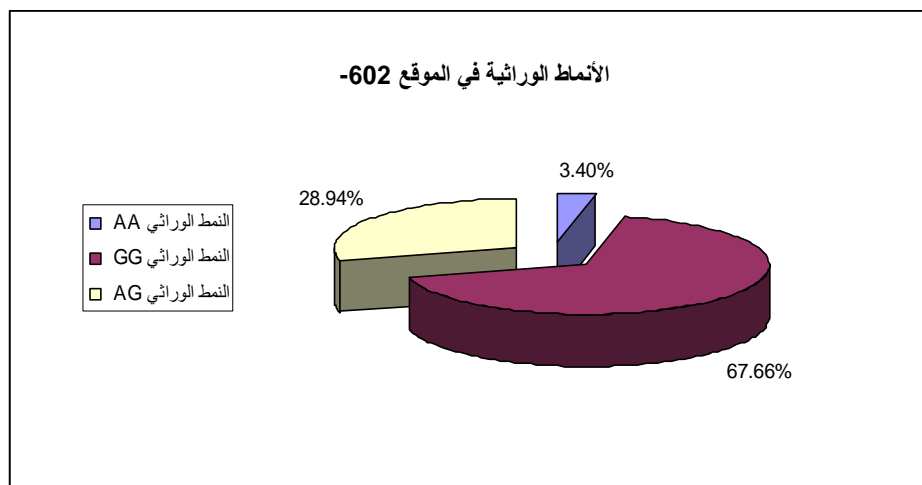
**الشكل (82) توزيع الآليلين A, G للموقع 986- في مجموعة المرضى.**

يبدو من الجدول والشكل السابقين غلبة الآليل A على الآليل G أي أن الآليل الأكبر أو الرئيسي في الموقع 986- هو الآليل A، بينما الآليل الأصغر هو G.

2-3-6-2-الموقع 602- (rs3124953): الذي يضم الأليلين A,G ولقد توزعت الأنماط الوراثية كما يلي:

النسبة المئوية	العدد	النمط الوراثي للموقع 602
3.40%	8	النمط الوراثي AA
67.66%	159	النمط الوراثي GG
28.94%	68	النمط الوراثي AG
100.00%	235	المجموع

الجدول (17) يبين عدد ونسبة الأنماط الوراثية للموقع 602- في مجموعة المرضى.



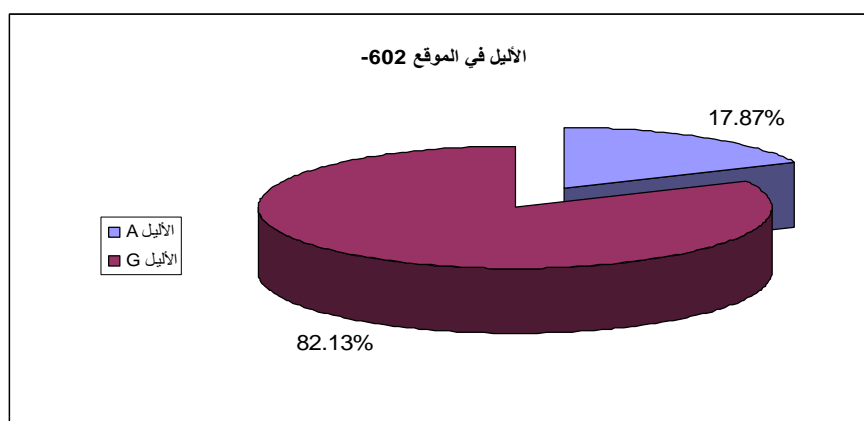
الشكل (83) توزع الأنماط الوراثية في الموقع 602- في مجموعة المرضى.

أما الآلائل في الموقع 602- فقد توزعت بالشكل التالي:

النسبة المئوية	العدد	الآليل في الموقع 602
17.87%	84	الآليل A
82.13%	386	الآليل G
100.00%	470	المجموع

الجدول (18) يبين عدد ونسبة الأليلين A,G للموقع 602- في مجموعة المرضى.





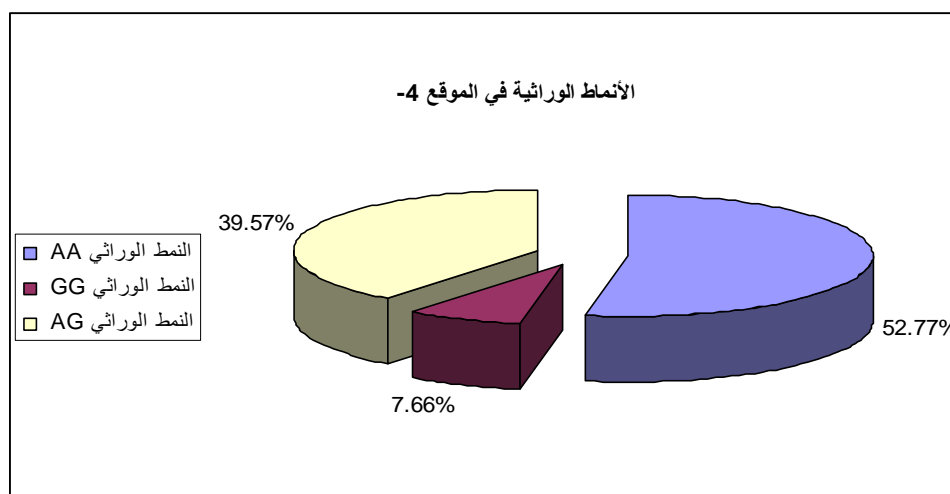
الشكل (84) توزيع الأليلين A, G للموقع 602- في مجموعة المرضى.

نستنتج مما سبق غلبة النمط الوراثي GG وبذلك يكون الأليل G هو الأليل الرئيسي أما الأليل A فهو الأليل الأصغر في الموقع 602- عند مجموعة المرضى (الشكل 84).

2-3-3-6- الموقع 4-(rs17514136): الذي يضم أيضا الأليلين A, G ولقد توزعت الأنماط الوراثية كما يلي:

النسبة المئوية	العدد	النمط الوراثي للموقع 4-
52.77%	124	النمط الوراثي AA
7.66%	18	النمط الوراثي GG
39.57%	93	النمط الوراثي AG
100.00%	235	المجموع

الجدول (19) يبين عدد ونسبة الأنماط الوراثية للموقع 4- في مجموعة المرضى.

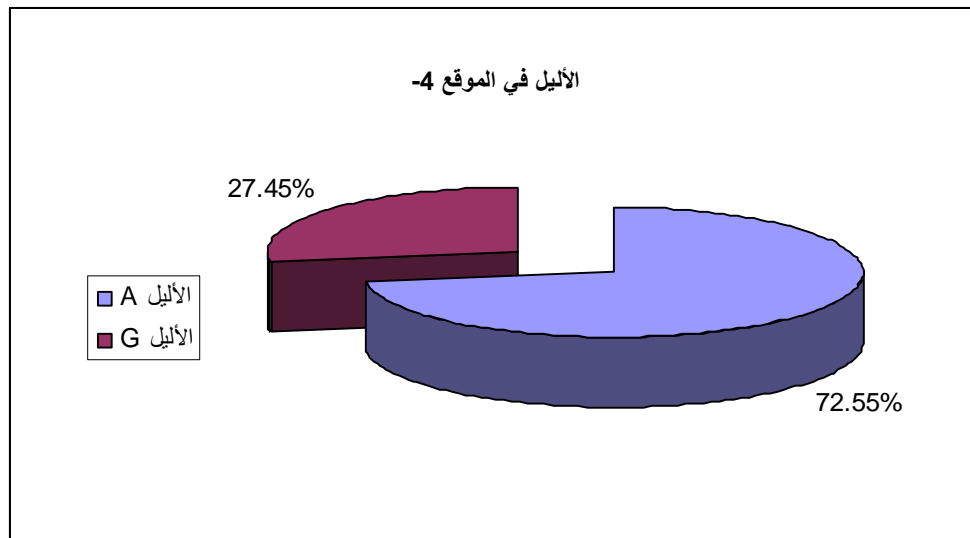


الشكل (85) توزيع الأنماط الوراثية في الموقع 4- في مجموعة المرضى.

أما توزع الألائل في هذا الموقع فكان على النحو التالي:

الأليل في الموقع -4	العدد	النسبة المئوية
الأليل A	341	72.55%
الأليل G	129	27.45%
المجموع	470	100.00%

الجدول (20) يبين عدد ونسبة الأليلين A,G للموقع -4 في مجموعة المرضى.



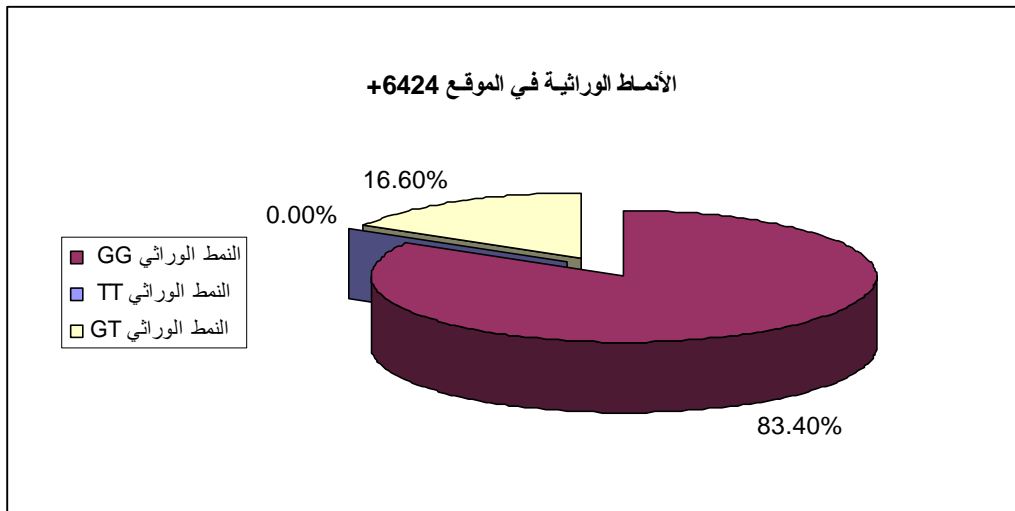
الشكل (86) توزع الأليلين A,G للموقع -4 في مجموعة المرضى.

نستنتج مما سبق غلبة النمط الوراثي AA إذ شكل الأليل A الأليل الأكبر بينما الأليل G هو الأليل الأصغر في الموقع -4 عند مجموعة المرضى (الشكل 85،86).

2-6-3-4-الموقع +6424 (rs7851696): الذي يضم الأليلين G,T توزعت الأنماط الوراثية كما يلي:

النمط الوراثي للموقع +6424	العدد	النسبة المئوية
النمط الوراثي GG	196	83.40%
النمط الوراثي TT	0	0.00%
النمط الوراثي GT	39	16.60%
المجموع	235	100.00%

الجدول (21) يبين عدد ونسبة الأنماط الوراثية للموقع +6424 في مجموعة المرضى .

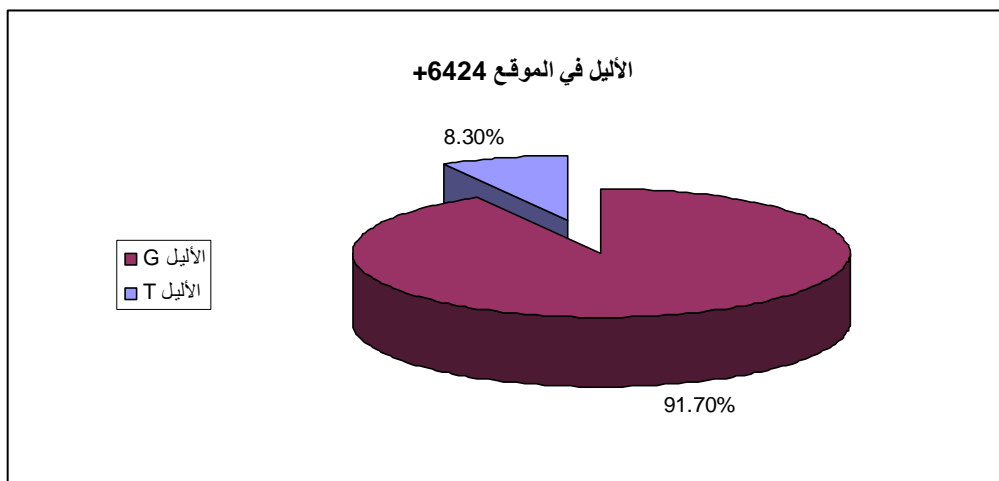


الشكل (87) توزيع الأنماط الوراثية في الموقع +6424 في مجموعة المرضى.

أما توزيع الألائل في هذا الموقع فهو على النحو التالي:

النسبة المئوية	العدد	الأليل في الموقع +6424
91.70%	431	الأليل G
8.30%	39	الأليل T
100.00%	470	المجموع

الجدول (22) يبين عدد ونسبة الأليلين G, T للموقع +6424 في مجموعة المرضى.

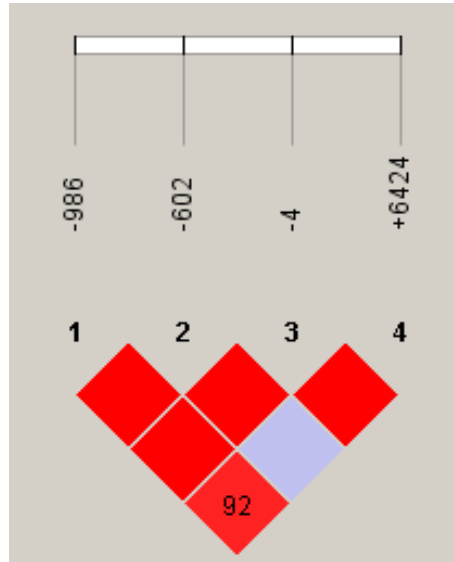


الشكل (88) توزيع الأليلين T, G للموقع +6424 في مجموعة المرضى.

إذا بدراسة توزيع الأنماط الوراثية والألائل في الموقع +6424 يتبين غلبة النمط الوراثي GG بينما انعدم وجود النمط الوراثي TT (الشكل 87)، وبذلك يكون الأليل G الأليل الرئيسي بينما يشكل الأليل A الأليل الأصغر في هذا الموقع عند مجموعة المرضى (الشكل 88).

2-6-4-دراسة LD للمواقع الوظيفية الأربعة (-986،-602،-4،+6424) من مورثة الفيكولين 2 في مجموعة المرضى:.

2-6-4-1-دراسة معامل الـLD (LD coefficient=D') و LOD: والنتائج في الشكل التالي:



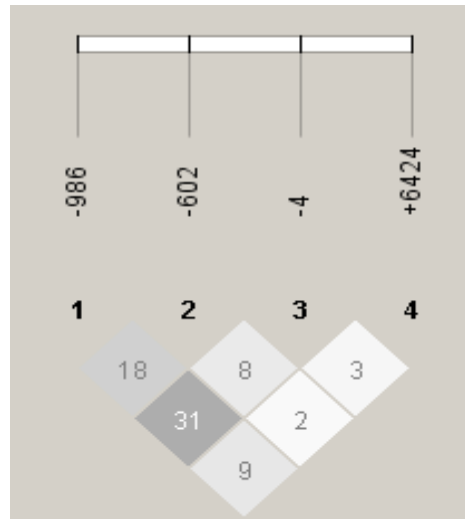
الشكل (89) يفسر LD بين المواقع الأربعة باستخدام برنامج *Haploview* وتشير الأرقام داخل المربعات إلى قيم  $D'$  معبرا عنها بشكل نسبة مئوية.

نلاحظ من الشكل السابق أن الارتباط كان قويا بين كل المواقع ما عدا (-602،+6424) (المربع الأزرق) وهذا ما يوضحه أيضا الجدول التالي:

الموقع 1	الموقع 2	$D'$	LOD	$r^2$
-986	-602	1	12.99	0.18
-986	-4	1	26.34	0.32
-986	6424	0.92	5.87	0.09
-602	-4	1	7.73	0.08
-602	6424	1	1.09	0.02
-4	6424	1	2.41	0.03

الجدول (23) درجات الارتباط بين المواقع الأربعة المدروسة في مجموعة المرضى.

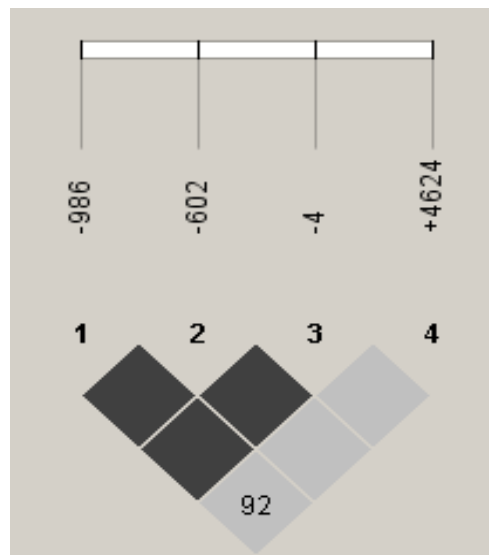
2-4-6-2 دراسة معامل الارتباط  $r^2$  بين المواقع الأربعة في مجموعة المرضى: والنتائج في الشكل التالي:



الشكل (90) يظهر معامل الارتباط بين المواقع الأربعة المدروسة في مجموعة المرضى.

نستنتج من الشكل أن الارتباط الأقوى وجد بين (-4، -986) حيث أن  $r^2=0.31$  بينما الارتباط الأقل بين الموقع +6424 وكل من -4 و -602.

2-4-6-3 دراسة درجة الوثوقية (موثوقية الارتباط) بين المواقع الأربعة المدروسة في مجموعة المرضى:



الشكل (91) مخطط يظهر الارتباطات الموثوقة بين المواقع المدروسة في مجموعة المرضى.

نستنتج من الشكل السابق أن المواقع الأربعة تبدي درجات مختلفة من الارتباطات الموثوقة وجد أقلها بين الموقع +6424 والمواقع الأخرى المتبقية بدون وجود احتمالات للتأشب بينها (غياب المربعات البيضاء).

## 2-6-5-دراسة الأنماط الفردانية في مجموعة المرضى:

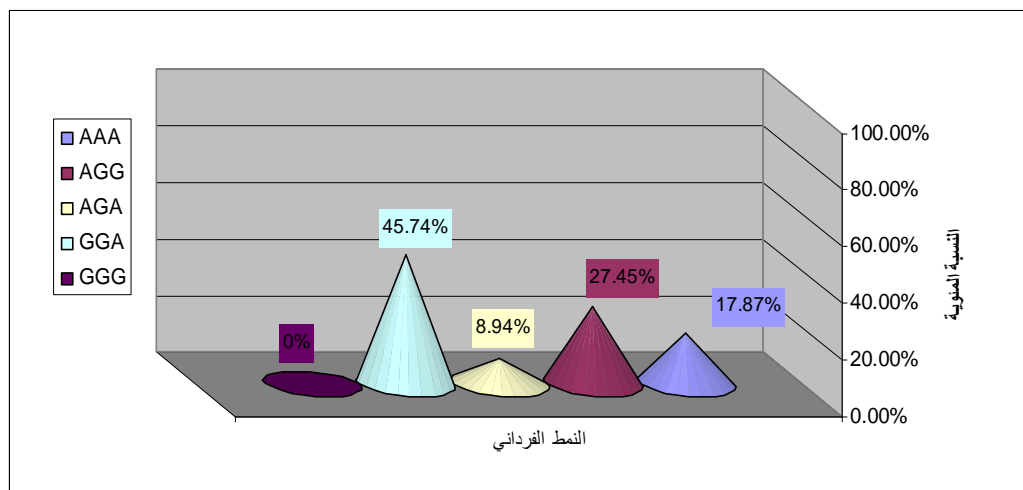
### 2-6-5-1-دراسة الأنماط الفردانية للمواقع (4،-602،-986) الموجودة في منطقة المعزاز في

مجموعة المرضى:

درسنا في هذه الفقرة تواتر الأنماط الفردانية للمواقع الوظيفية الثلاثة الموجودة في منطقة المعزاز وكانت النتائج كالتالي:

النسبة المئوية	العدد	النمط الفردي
17.87%	84	AAA
27.45%	129	AGG
8.94%	42	AGA
45.74%	215	GGA
0%	0	GGG
100%	470	المجموع

الجدول (24) الأنماط الفردانية وتواتراتها للمواقع (4،-602،-986) في مجموعة المرضى.



الشكل (92) توزع الأنماط الفردانية للمواقع (4،-602،-986) في مجموعة المرضى.

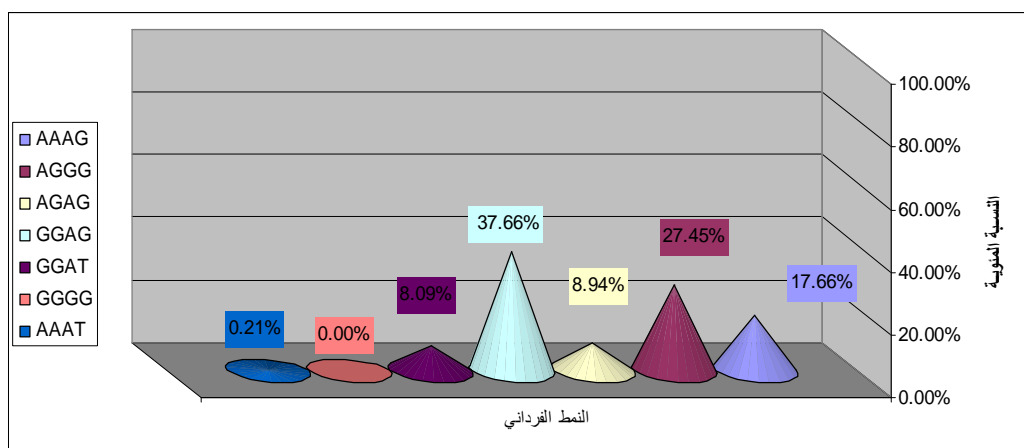
بالعودة إلى (الجدول 24) و(الشكل 92) نرى أن النمط الفردي GGA احتل المرتبة الأولى بنسبة 45.74% بينما انعدم وجود النمط GGG.

### 2-6-5-2-دراسة الأنماط الفردانية للمواقع (4624،-602،-986) في مجموعة المرضى:

أضفنا في هذه الفقرة الموقع 6424+ الموجود في الاكزون الثامن إلى المواقع السابقة وحسبنا تواترات الأنماط الفردانية الناتجة وكانت النتائج كالتالي:

النسبة المئوية	العدد	النمط الفردي
17.66%	83	AAAG
27.45%	129	AGGG
8.94%	42	AGAG
37.66%	177	GGAG
8.09%	38	GGAT
0.00%	0	GGGG
0.21%	1	AAAT
100.00%	470	المجموع

الجدول (25) الأنماط الفردانية وتواتراتها للمواقع (+4624، -4، -602، -986) في مجموعة المرضى.



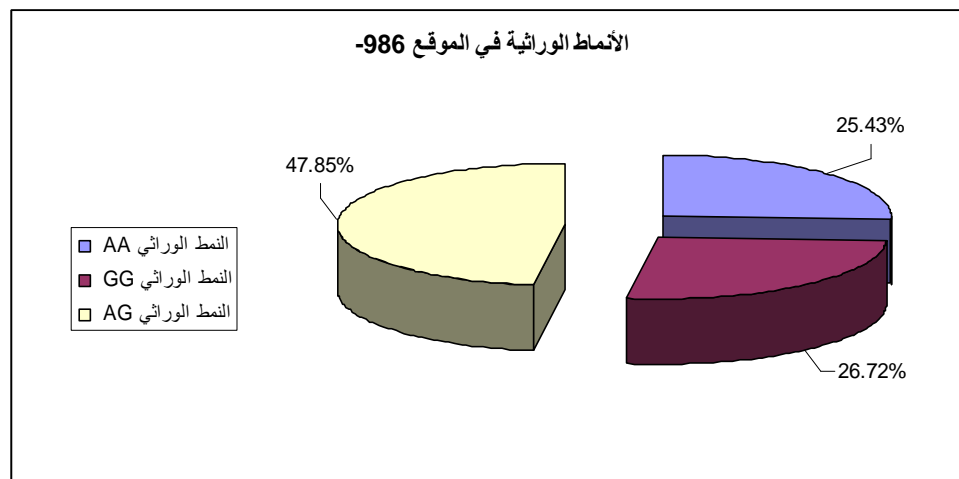
الشكل (93) توزيع الأنماط الفردانية للمواقع (+4624، -4، -602، -986) في مجموعة المرضى.

إذا بإضافة الموقع الوظيفي الأخير لم تتغير النتيجة كثيرا إذ احتل النمط الفردي GGAG المرتبة الأولى مع غياب النمط GGGG.

2-6-6-دراسة تواتر الأنماط الوراثية و الآلائل للمواقع الوظيفية الأربعة (6424,+4-، 602،-986) من مورثة الفيكولين 2 في مجموعة الشواهد:  
2-6-6-1-الموقع 986- (rs3124952): الذي يضم الأليلين A,G توزعت الأنماط الوراثية كما يلي:

النسبة المئوية	العدد	النمط الوراثي للموقع 986
25.43%	59	النمط الوراثي AA
26.72%	62	النمط الوراثي GG
47.85%	111	النمط الوراثي AG
100.00%	232	المجموع

الجدول (26) يبين عدد ونسبة الأنماط الوراثية للموقع 986- في مجموعة الشاهد .



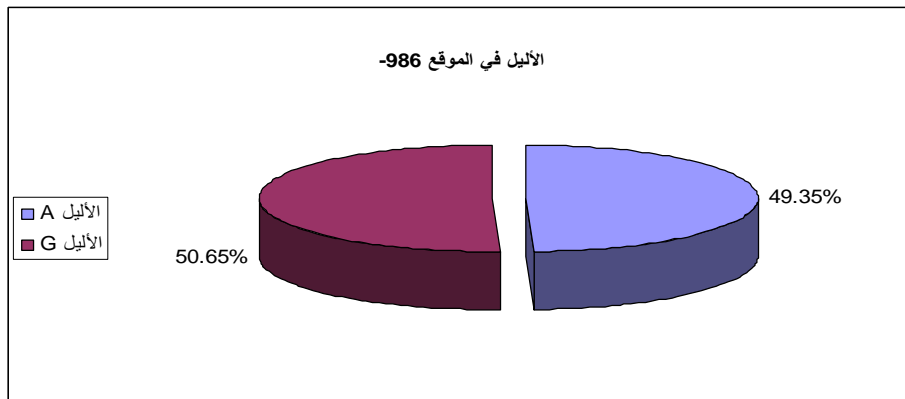
الشكل (94) توزع الأنماط الوراثية للموقع 986- في مجموعة الشاهد .

بينما توزعت الآلائل في هذا الموقع على النحو التالي:

النسبة المئوية	العدد	الآليل في الموقع 986
49.35%	229	الآليل A
50.65%	235	الآليل G
100.00%	464	المجموع

الجدول (27) يبين عدد ونسبة الأليلين A,G للموقع 986- في مجموعة الشاهد .





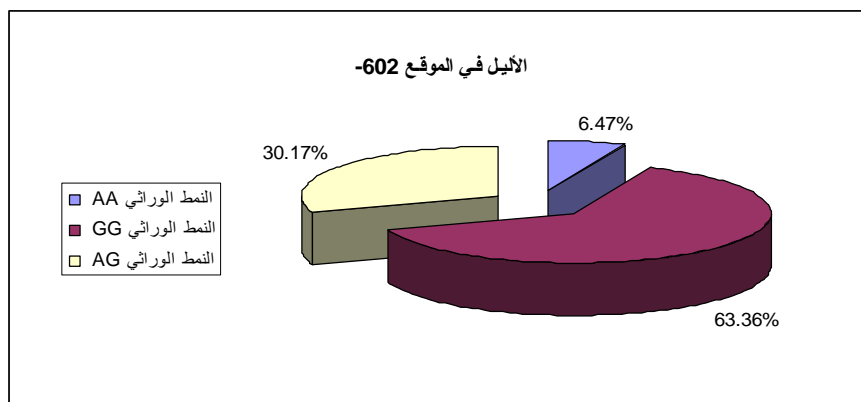
الشكل (95) توزيع الأليلين A, G للموقع 986- في مجموعة الشاهد.

نستنتج مما سبق أن النمط الوراثي AG احتل نصف الحالات تقريبا وتوزع النصف الآخر تقريبا بالتساوي بين النمطين المتماثلين اللواقح المتبقين AA, GG وتوزع الأليلين A, G مناصفة تقريبا (الشكل 94، 95).

2-6-6-2-الموقع 602- (rs3124953): الذي يضم الأليلين A, G ولقد توزعت الأنماط الوراثية كالتالي:

النسبة المئوية	العدد	النمط الوراثي للموقع 602-
6.47%	15	النمط الوراثي AA
63.36%	147	النمط الوراثي GG
30.17%	70	النمط الوراثي AG
100.00%	232	المجموع

الجدول (28) يبين عدد ونسبة الأنماط الوراثية للموقع 602- في مجموعة الشاهد.

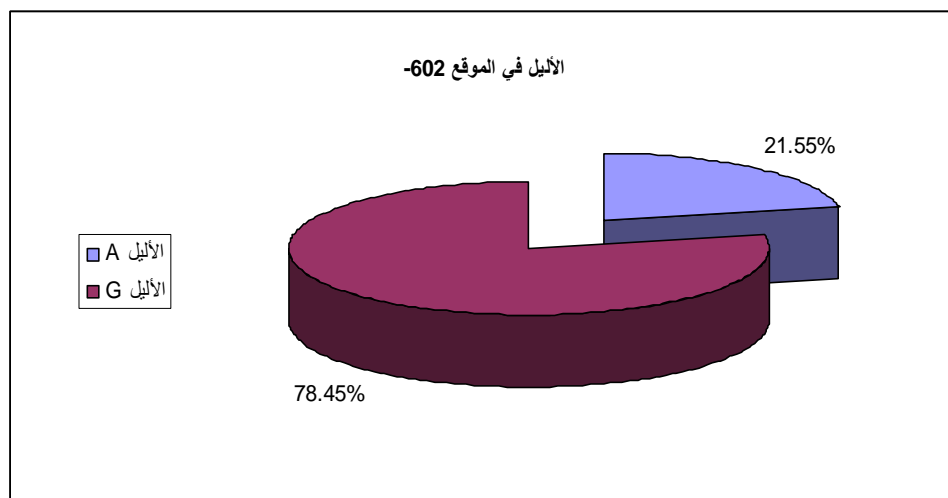


الشكل (96) توزيع الأنماط الوراثية في الموقع 602- في مجموعة الشاهد.

أما الألائل فقد توزعت بالشكل التالي:

الأليل في الموقع -602	العدد	النسبة المئوية
الأليل A	100	21.55%
الأليل G	364	78.45%
المجموع	464	100.00%

الجدول (29) يبين عدد ونسبة الأليلين A,G للموقع -602 في مجموعة الشاهد.



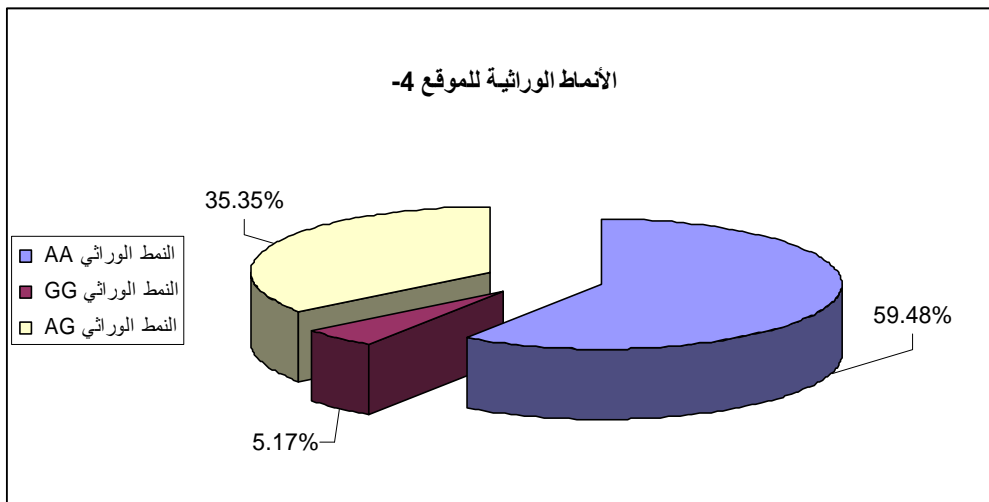
الشكل (97) توزع الأليلين A,G للموقع -602 في مجموعة الشاهد.

نستنتج مما سبق غلبة النمط الوراثي GG (الشكل 96)، إذ شكل الأليل G الأليل الرئيسي بينما الأليل A هو الأليل الأصغر في الموقع -602 عند مجموعة الشاهد (الشكل 97).

3-6-6-2-الموقع 4-(rs17514136): الذي يضم الأليلين A,G ولقد توزعت الأنماط الوراثية كما يلي:

النمط الوراثي للموقع -4	العدد	النسبة المئوية
النمط الوراثي AA	138	59.48%
النمط الوراثي GG	12	5.17%
النمط الوراثي AG	82	35.35%
المجموع	232	100.00%

الجدول (30) يبين عدد ونسبة الأنماط الوراثية للموقع 4- في مجموعة الشاهد.

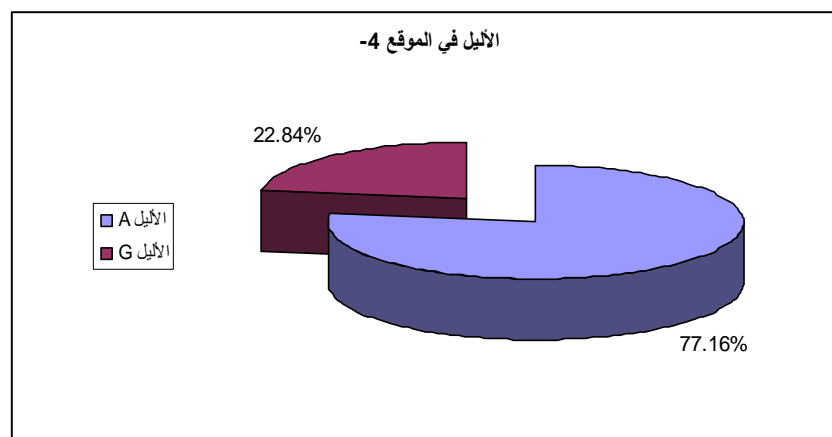


**الشكل (98) توزيع الأنماط الوراثية في الموقع 4- في مجموعة الشاهد.**

أما الألائل فقد توزعت كما في الجدول التالي:

الأليل في الموقع 4-	العدد	النسبة المئوية
الأليل A	358	77.16%
الأليل G	106	22.84%
المجموع	464	100.00%

**الجدول (31) يبين عدد ونسبة الأليلين A, G للموقع 4- في مجموعة الشاهد.**



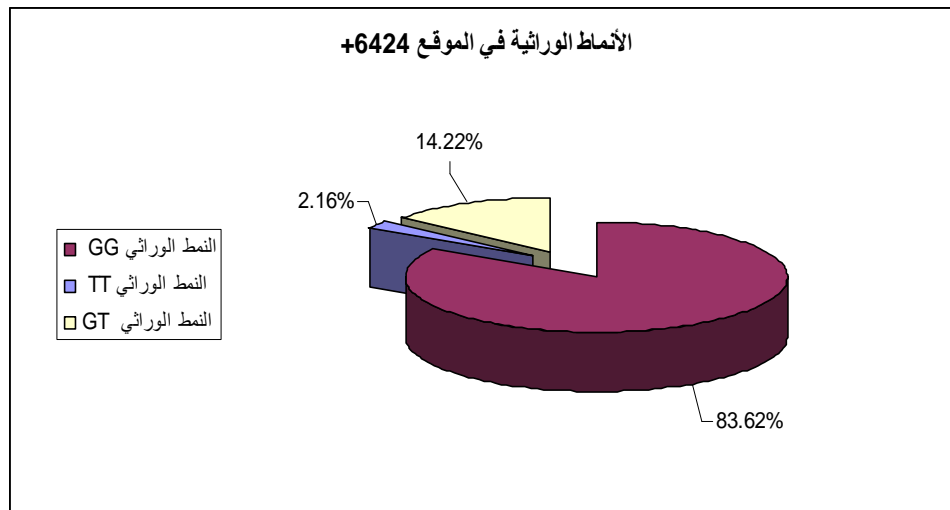
**الشكل (99) توزيع الأليلين A, G للموقع 4- في مجموعة الشاهد.**

نستنتج مما سبق غلبة النمط الوراثي AA (الشكل 98)، إذ شكل الأليل A الأليل الرئيسي بينما الأليل G هو الأليل الأصغر في الموقع 4- عند مجموعة الشاهد (الشكل 99).

4-6-6-2-الموقع +6424 (rs7851696): الذي يضم الأليلين G,T توزعت الأنماط الوراثية في هذا الموقع كما يلي:

النسبة المئوية	العدد	النمط الوراثي للموقع +6424
83.62%	194	النمط الوراثي GG
2.16%	5	النمط الوراثي TT
14.22%	33	النمط الوراثي GT
100.00%	232	المجموع

الجدول (32) يبين عدد ونسبة الأنماط الوراثية للموقع +6424 في مجموعة الشاهد.

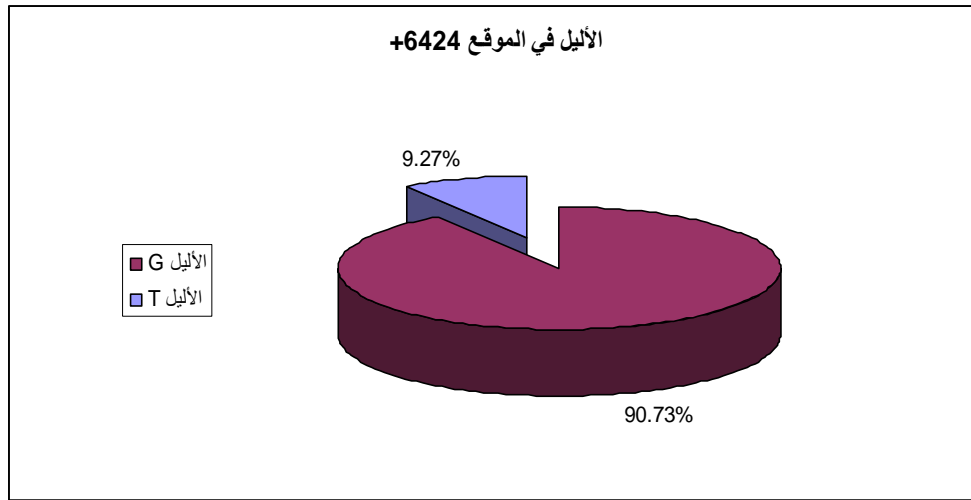


الشكل (100) توزع الأنماط الوراثية للموقع +6424 في مجموعة الشاهد.

أما الألائل فقد توزعت بالشكل التالي

النسبة المئوية	العدد	الأليل في الموقع +6424
90.73%	421	الأليل G
9.27%	43	الأليل T
100.00%	464	المجموع

الجدول (33) يبين عدد ونسبة الأليلين T,G للموقع +6424 في مجموعة الشاهد.

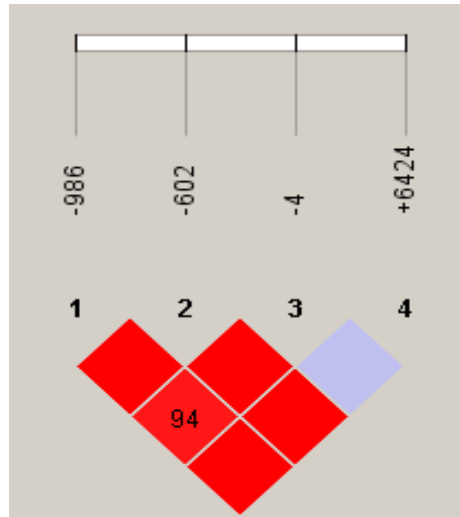


الشكل (101) توزيع الأليلين T, G للموقع +6424 في مجموعة الشاهد.

نلاحظ من الجدولين السابقين غلبة النمط الوراثي GG (الشكل 100) إذ شكل الأليل G الأليل الرئيسي في الموقع +6424 عند مجموعة الشاهد أيضا (الشكل 101).

2-6-7-دراسة LD للمواقع الوظيفية الأربعة (-986،-602،-4،+6424) من مورثة الفيكولين 2 في مجموعة الشاهد:

2-6-7-1-دراسة معامل الـ LD ( $LD\ coefficient = D'$ ) و LOD: والنتائج في الشكل التالي :



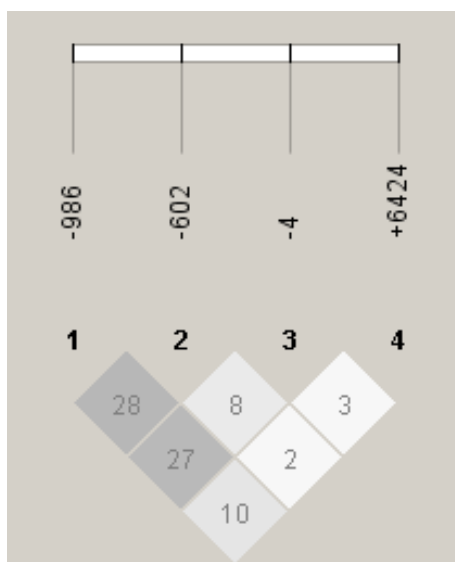
الشكل (102) يفسر LD بين المواقع الأربعة باستخدام برنامج Haploview وتشير الأرقام داخل المربعات إلى قيمة  $D'$  معبرا عنها بشكل نسبة مئوية.

من الملاحظ من الشكل السابق أن الارتباط كان قويا بين كل المواقع بدرجات مختلفة ماعدا الموقعين (-4،+6424) إذ بلغت LOD 1.51 كما يوضح لنا الجدول التالي:

$r^2$	LOD	D'	الموقع 2	الموقع 1
0.28	24.24	1	-602	-986
0.27	17.91	0.95	-4	-986
0.1	6.71	1	6424	-986
0.08	6.91	1	-4	-602
0.03	2.38	1	6424	-602
0.03	1.51	1	6424	-4

الجدول (34) يوضح درجات الارتباط بين المواقع المدروسة في مجموعة الشاهد.

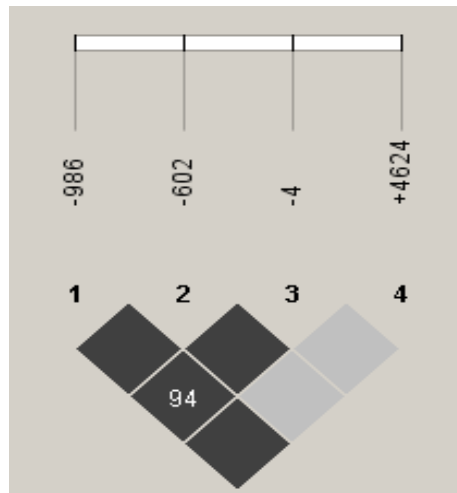
2-7-6-2-دراسة معامل الارتباط  $r^2$  بين المواقع الأربعة في مجموعة الشاهد: والنتائج في الشكل التالي :



الشكل (103) يظهر معامل الارتباط بين المواقع المدروسة في مجموعة الشاهد.

نستنتج أن معامل الارتباط الأقوى بين الموقع -986 وكل من الموقعين -602 و-4 حيث أن  $r^2=0.28$  و  $r^2=0.27$  على التوالي وأن الارتباط الأضعف وجد بين الموقعين (-602،+6424).

### 3-7-6-2 دراسة درجة الموثوقية بين المواقع الأربعة المدروسة في مجموعة الشاهد:



الشكل (104) مخطط يظهر الارتباطات الموثوقة بين المواقع الأربعة المدروسة في مجموعة الشاهد.

من الملاحظ وجود اختلافات في موثوقية الارتباطات بين المواقع والنسبة الأقل بين +6424 وكل من -4 و -602 مع غياب احتمالات التأشب بين المواقع الأربعة المذكورة في مجموعة الشاهد .

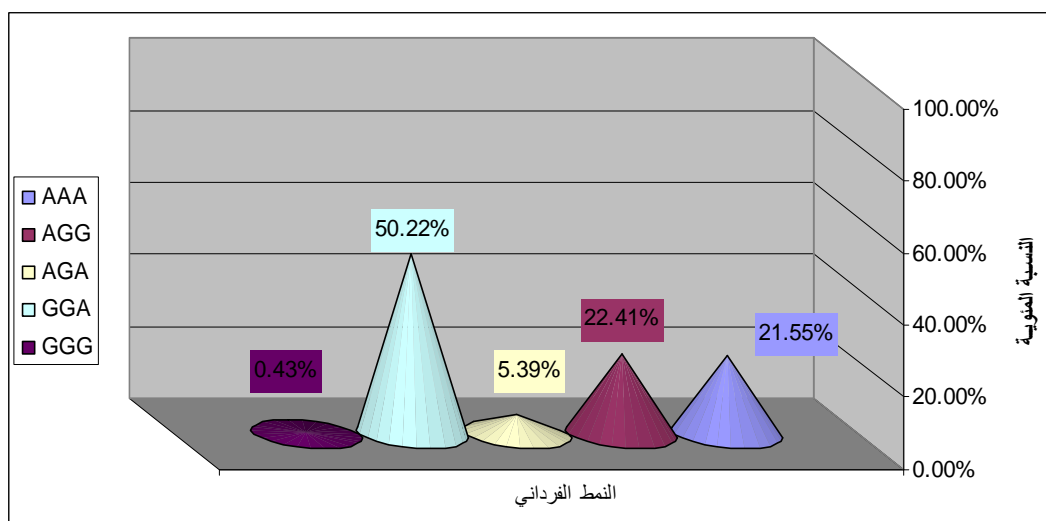
### 2-6-8-دراسة الأنماط الفردانية في مجموعة الشاهد:

2-6-8-1دراسة الأنماط الفردانية للمواقع (-4،-602،-986) الموجودة في منطقة المعزاز عند مجموعة الشاهد:

وكما هو الحال بالنسبة لمجموعة المرضى درسنا الأنماط الفردانية الممكنة للمواقع الوظيفية الثلاثة في منطقة محفز النسخ وتواتر كل منها والنتائج في الجدول التالي :

النسبة المئوية	العدد	النمط الفردي
21.55%	100	AAA
22.41%	104	AGG
5.39%	25	AGA
50.22%	233	GGA
0.43%	2	GGG
100%	464	المجموع

الجدول (35) الأنماط الفردانية وتواتراتها للمواقع (-4،-602،-986) في مجموعة الشاهد.



الشكل (105) توزيع الأنماط الفردانية للمواقع (4،-602،-986) في مجموعة الشاهد.

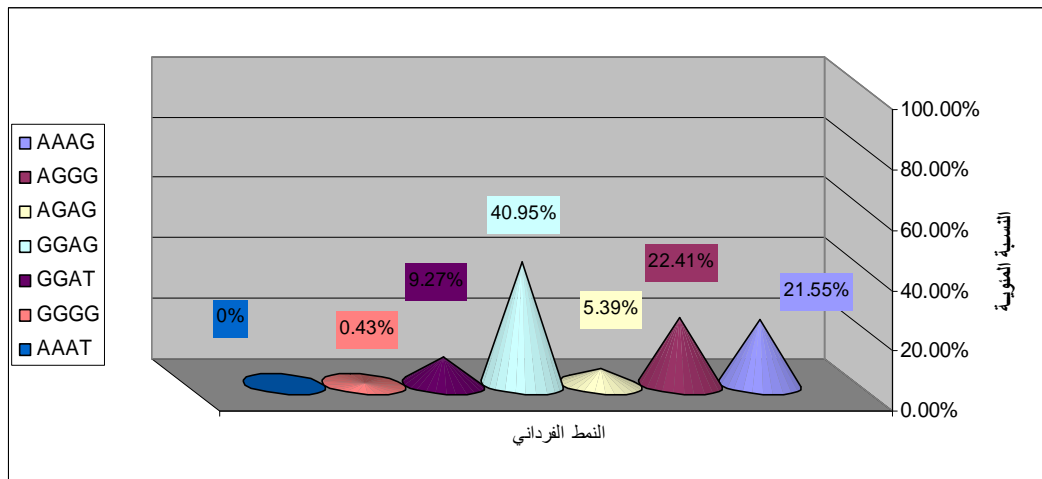
وكما هو الحال بالنسبة للمرضى بقي النمط الفردي GGA بالمرتبة الأولى بنسبة 50.22% بينما وجد النمط الفردي GGG بتواتر قليل .

2-8-6-2 دراسة الأنماط الفردانية للمواقع (4624،-4،-602،-986) في مجموعة الشاهد:  
عند إضافة الموقع 6424 في الاكزون الثامن إلى المواقع السابقة كانت الأنماط الفردانية المتشكلة وتواتراتها كالتالي:

النسبة المئوية	العدد	النمط الفردي
21.55%	100	AAAG
22.41%	104	AGGG
5.39%	25	AGAG
40.95%	190	GGAG
9.27%	43	GGAT
0.43%	2	GGGG
0%	0	AAAT
100%	464	المجموع

الجدول (36) الأنماط الفردانية وتواتراتها للمواقع (4624،-4،-602،-986) في مجموعة الشاهد.





الشكل (106) توزيع الأنماط الفردانية للمواقع (-986،-602،-4،+4624) في مجموعة الشاهد.

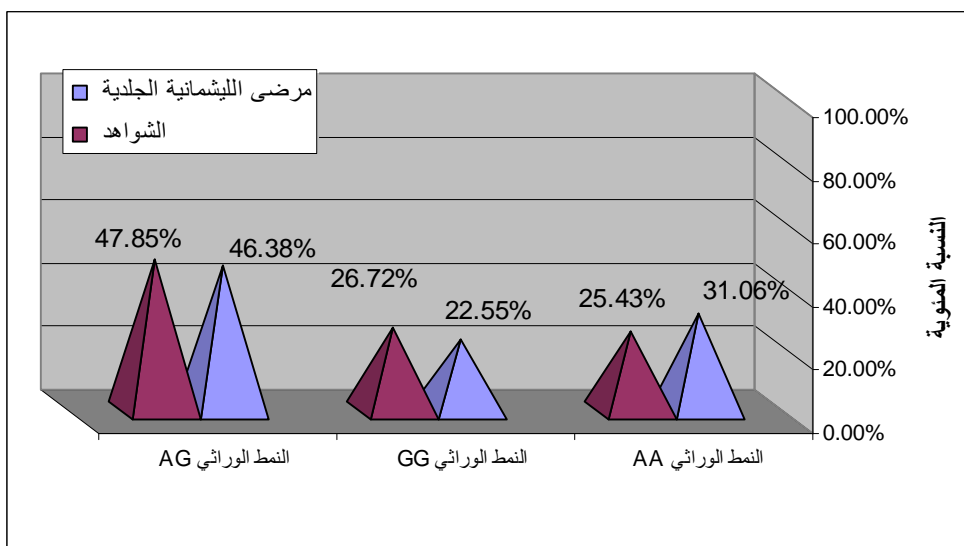
إذا بإضافة الموقع الوظيفي الأخير لم تتغير النتيجة كثيرا بقي النمط الفردي GGAG محتلا المرتبة الأولى وبقيت نسبة النمط GGGG لم تتغير (الشكل 106).

2-6-9- مقارنة تواتر الأنماط الوراثية للمواقع الوظيفية الأربعة (-602،-4،+6424،-986) من مورثة الفيكولين 2 بين المرضى والشواهد:

2-6-9-1- الموقع 986-: باستخدام اختبار كاي مربع لم يكن هناك فرق ذو مغزى إحصائي بتوزيع الأنماط الوراثية AA,AG,GG بين المرضى والشواهد ( $\chi^2 = 2.19$  و  $P = 0.34$ ، درجة الحرية = 2) كما يظهر الجدول التالي:

P	$\chi^2$	الشواهد		مرضى الليشماتية الجلدية		النمط الوراثي للموقع -986
		النسبة المئوية	العدد	النسبة المئوية	العدد	
0.18	1.82	25.43%	59	31.06%	73	النمط الوراثي AA
0.3	1.09	26.72%	62	22.55%	53	النمط الوراثي GG
0.75	0.1	47.85%	111	46.38%	109	النمط الوراثي AG
0.34	2.19	100%	232	100%	235	المجموع

الجدول (37) مقارنة توزيع الأنماط الوراثية بين المرضى والشواهد في الموقع 986-.

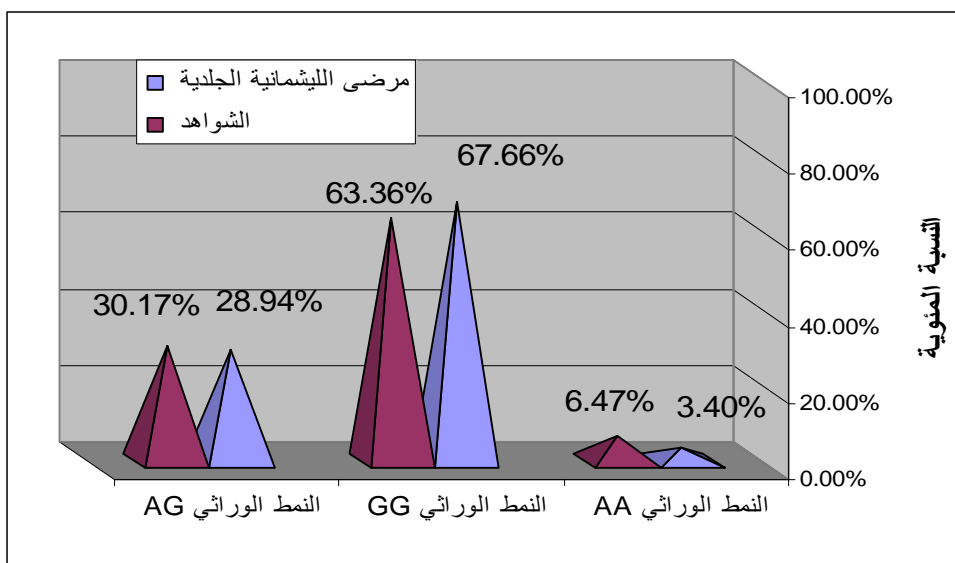


الشكل (107) مقارنة توزيع الأنماط الوراثية بين المرضى والشواهد في الموقع 986-.

2-9-6-2-الموقع 602-: باستخدام اختبار كاي مربع لم يكن هناك فرق ذو مغزى إحصائي للأنماط الوراثية AA,AG,GG بين المرضى والشواهد ( $\chi^2 = 2.61$  و  $P=0.27$ ، درجة الحرية=2) كما في الجدول التالي:

P	$\chi^2$	الشواهد		مرضى الليشمانيّة الجلدية		النمط الوراثي للموقع -602
		النسبة المئوية	العدد	النسبة المئوية	العدد	
0.13	2.34	6.47%	15	3.40%	8	النمط الوراثي AA
0.33	0.95	63.36%	147	67.66%	159	النمط الوراثي GG
0.77	0.09	30.17%	70	28.94%	68	النمط الوراثي AG
0.27	2.61	100%	232	100%	235	المجموع

الجدول (38) مقارنة توزيع الأنماط الوراثية بين المرضى والشواهد في الموقع 602-.

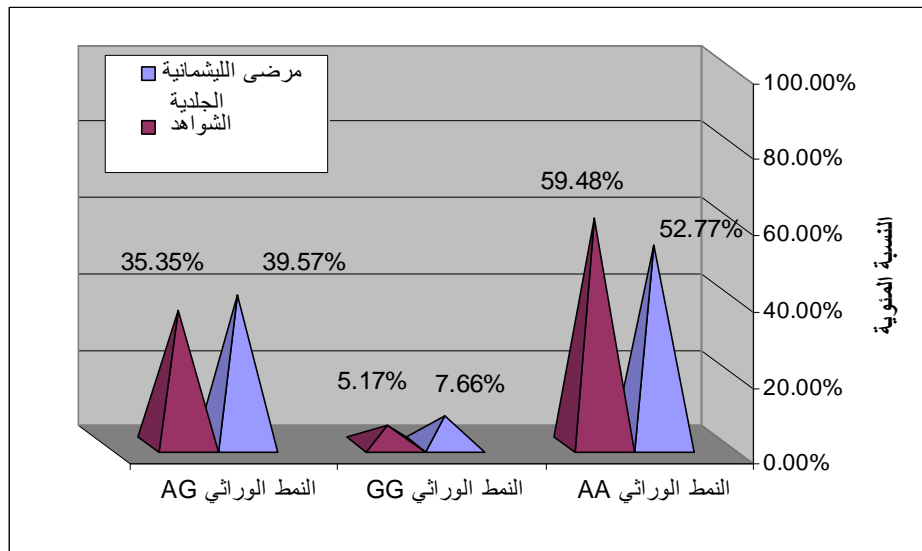


الشكل (108) مقارنة توزيع الأنماط الوراثية بين المرضى والشواهد في الموقع 602-.

2-6-9-3-الموقع 4-: باستخدام اختبار كاي مربع لم يكن هناك فرق ذو مغزى إحصائي بتوزيع الأنماط الوراثية AA,AG,GG بين المرضى والشواهد ( $\chi^2 = 2.62$  و  $P=0.27$ ، درجة الحرية=2) كما يظهر الشكل والمخطط التالي:

P	$\chi^2$	الشواهد		مرضى اللشمانية الجلدية		النمط الوراثي للموقع 4-
		النسبة المئوية	العدد	النسبة المئوية	العدد	
0.14	2.14	59.48%	138	52.77%	124	النمط الوراثي AA
0.27	1.2	5.17%	12	7.66%	18	النمط الوراثي GG
0.35	0.89	35.35%	82	39.57%	93	النمط الوراثي AG
0.27	2.62	100%	232	100%	235	المجموع

الجدول (39) مقارنة توزيع الأنماط الوراثية بين المرضى والشواهد في الموقع 4-.

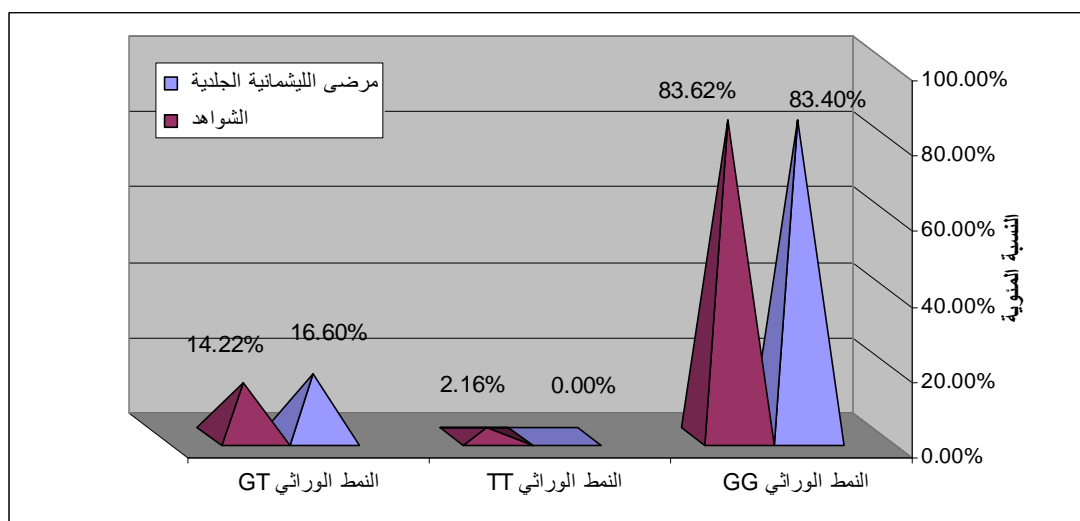


الشكل (109) مقارنة توزيع الأنماط الوراثية بين المرضى والشواهد في الموقع 4-.

4-9-6-2-الموقع 6424+: ارتفع تواتر النمط الوراثي TT عند الشواهد إذ وجدت 5 حالات من أصل 232 بينما لم نجد ولا حالة عند مجموعة المرضى وعددهم 235 ( $P=0.03$ ) وذلك باستخدام Fisher exact test كونه الاختبار المناسب إحصائياً في هذه الحالة على الرغم من عدم وجود فرق ذو مغزى إحصائي بتوزيع الأنماط الوراثية TT,GT,GG بين المرضى والشواهد ( $\chi^2=5.49$  و  $P=0.06$ ، درجة الحرية=2).

P	$\chi^2$	الشواهد		مرضى الليشمانيّة الجلدية		النمط الوراثي للموقع +6424
		النسبة المئوية	العدد	النسبة المئوية	العدد	
0.95	0.004	83.62%	194	83.40%	196	النمط الوراثي GG
*0.03		2.16%	5	0.00%	0	النمط الوراثي TT
0.48	0.5	14.22%	33	16.60%	39	النمط الوراثي GT
0.06	5.49	100%	232	100%	235	المجموع

الجدول (40) مقارنة توزيع الأنماط الوراثية بين المرضى والشواهد في الموقع 6424+. تشير \* إلى أن P حسبت باستخدام اختبار التصحيح لفشر كونه المناسب إحصائياً.



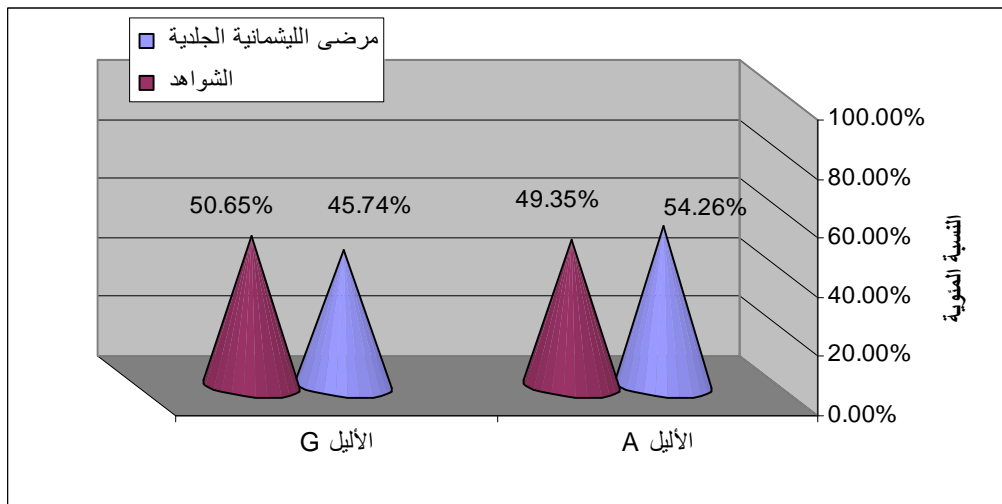
الشكل (110) مقارنة توزيع الأنماط الوراثية بين المرضى والشواهد في الموقع +6424.

2-6-10- مقارنة تواتر الألائل للمواقع الوظيفية الأربعة (-986، -602، -4، +6424) من مورثة الفيكولين 2 بين المرضى والشواهد:

2-6-10-1- الموقع 986-: باستخدام اختبار كاي مربع لم نجد هناك فرق ذو مغزى إحصائي للأليلين A, G بين المرضى والشواهد ( $\chi^2 = 2.25$  و  $P = 0.13$ ، درجة الحرية = 1) وهذا ما يوضحه الجدول التالي:

P	$\chi^2$	الشواهد		مرضى الليشماتية الجلدية		الأليل في الموقع -986
		النسبة المنوية	العدد	النسبة المنوية	العدد	
0.13	2.25	49.35%	229	54.26%	255	الأليل A
		50.65%	235	45.74%	215	الأليل G
		100%	464	100%	470	المجموع

الجدول (41) مقارنة توزيع الألائل بين المرضى والشواهد في الموقع 986-.

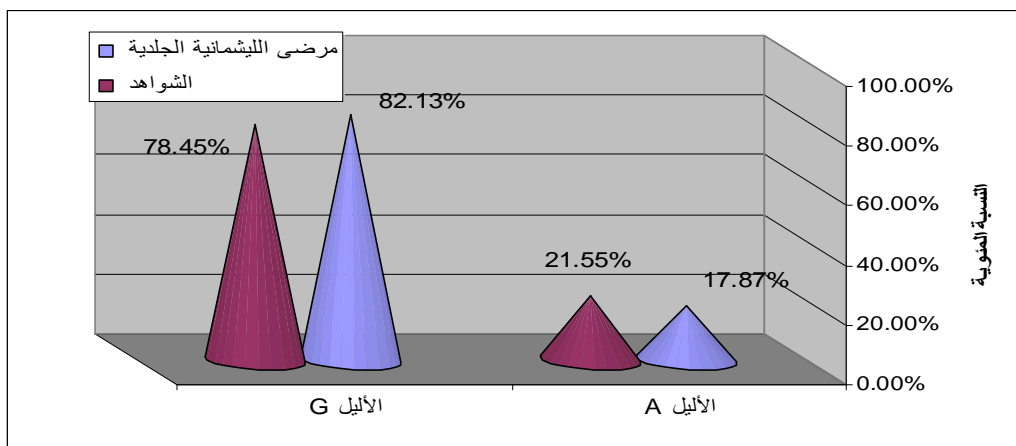


الشكل (111) مقارنة توزيع الألائل بين المرضى والشواهد في الموقع 986-.

2-10-6-2-الموقع 602-: باستخدام اختبار كاي مربع لم نجد هناك فرق ذو مغزى إحصائي للأليلين A, G بين المرضى والشواهد ( $\chi^2 = 2$  و  $P = 0.16$ ، درجة الحرية = 1) وهذا ما يوضحه الجدول التالي:

P	$\chi^2$	الشواهد		مرضى الليشمانيّة الجلدية		الأليل في الموقع -602
		النسبة المئوية	العدد	النسبة المئوية	العدد	
0.16	2	21.55%	100	17.87%	84	الأليل A
		78.45%	364	82.13%	386	الأليل G
		100%	464	100%	470	المجموع

الجدول (42) مقارنة توزيع الألائل بين المرضى والشواهد في الموقع 602-.

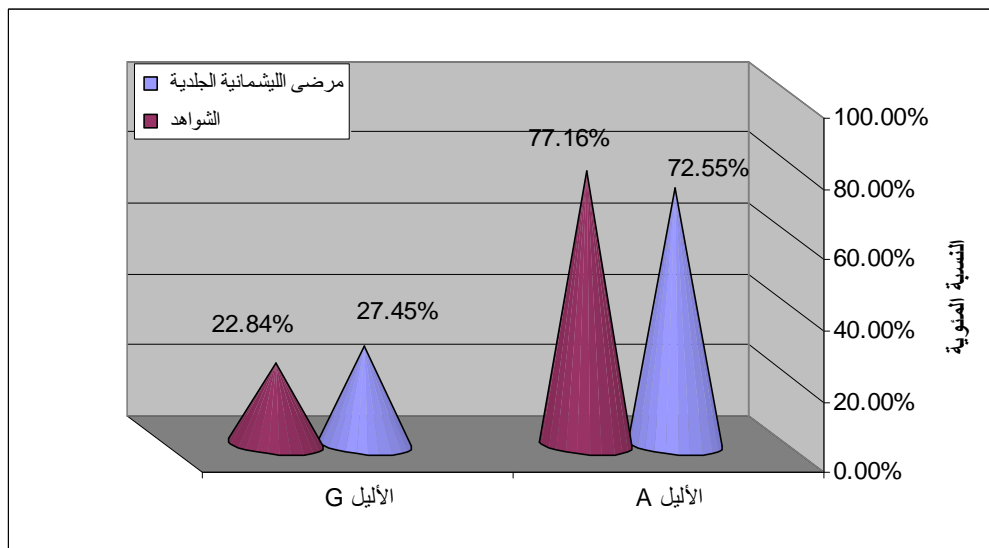


الشكل (112) مقارنة توزيع الألائل بين المرضى والشواهد في الموقع 602-.

**2-6-10-3-الموقع 4-**: باستخدام اختبار كاي مربع لم نجد هناك فرق ذو مغزى إحصائي للأليلين A,G بين المرضى والشواهد ( $\chi^2 = 2.63$  و  $P=0.11$ ، درجة الحرية=1) وهذا ما يظهره الجدول التالي:

P	$\chi^2$	الشواهد		مرضى الليشماتية الجلدية		الأليل في الموقع -4
		النسبة المئوية	العدد	النسبة المئوية	العدد	
0.11	2.63	77.16%	358	72.55%	341	الأليل A
		22.84%	106	27.45%	129	الأليل G
		100.00%	464	100.00%	470	المجموع

**الجدول (43) مقارنة توزيع الألائل بين المرضى والشواهد في الموقع 4-**.

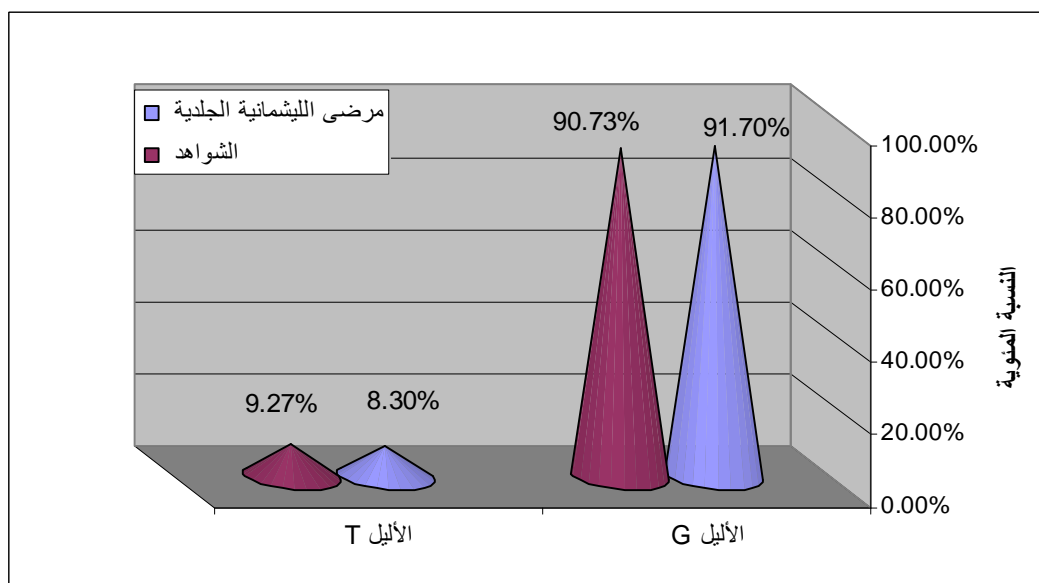


**الشكل (113) مقارنة توزيع الألائل بين المرضى والشواهد في الموقع 4-**.

**2-6-10-4-الموقع 6424+**: باستخدام اختبار كاي مربع لم يكن هناك فرق ذو مغزى إحصائي للأليلين G,T بين المرضى والشواهد ( $\chi^2 = 0.27$ ،  $P=0.6$ ، درجة الحرية=1) كما في الجدول التالي:

P	$\chi^2$	الشواهد		مرضى الليشمانيّة الجلدية		الأليل في الموقع +6424
		النسبة المئوية	العدد	النسبة المئوية	العدد	
0.6	0.27	90.73%	421	91.70%	431	الأليل G
		9.27%	43	8.30%	39	الأليل T
		100%	464	100%	470	المجموع

الجدول (44) مقارنة توزيع الألائل بين المرضى والشواهد في الموقع +6424.

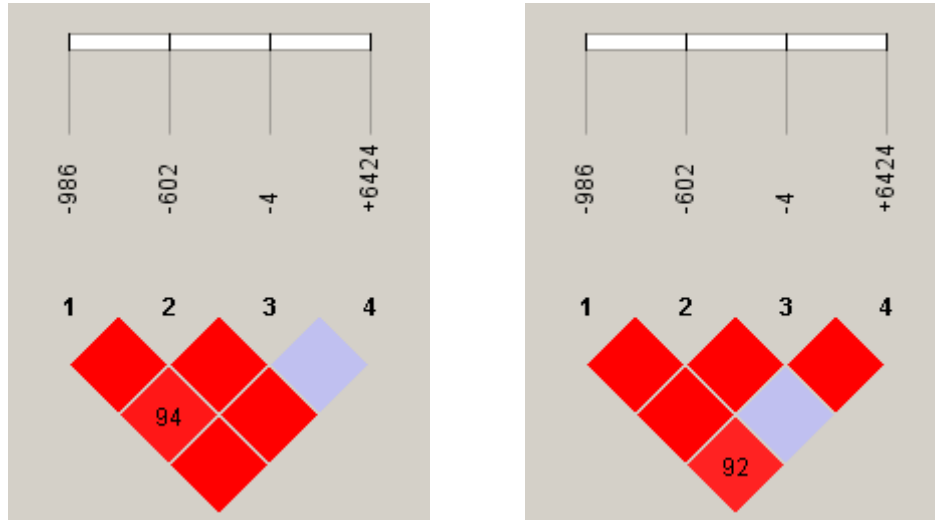


الشكل (114) توزيع الألائل بين المرضى والشواهد في الموقع +6424.

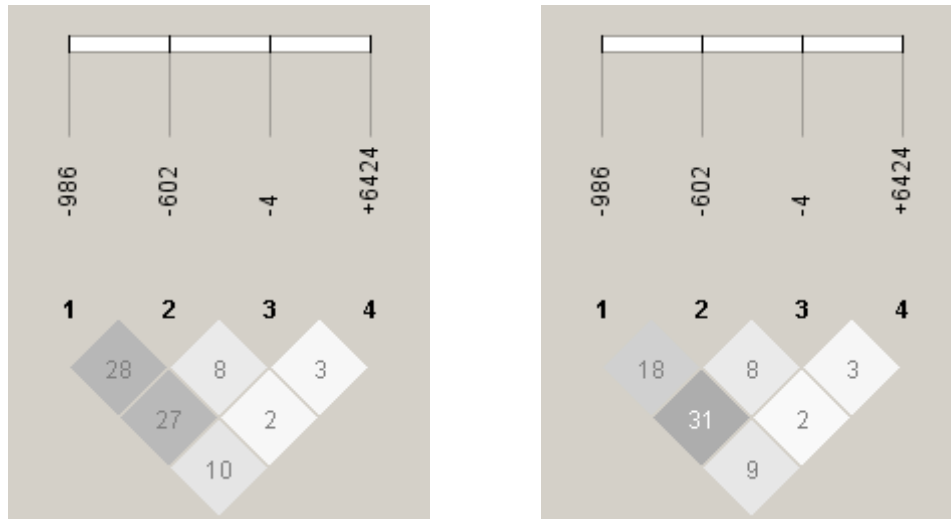


## 2-6-11- مقارنة الـ LD بين المرضى والشواهد:

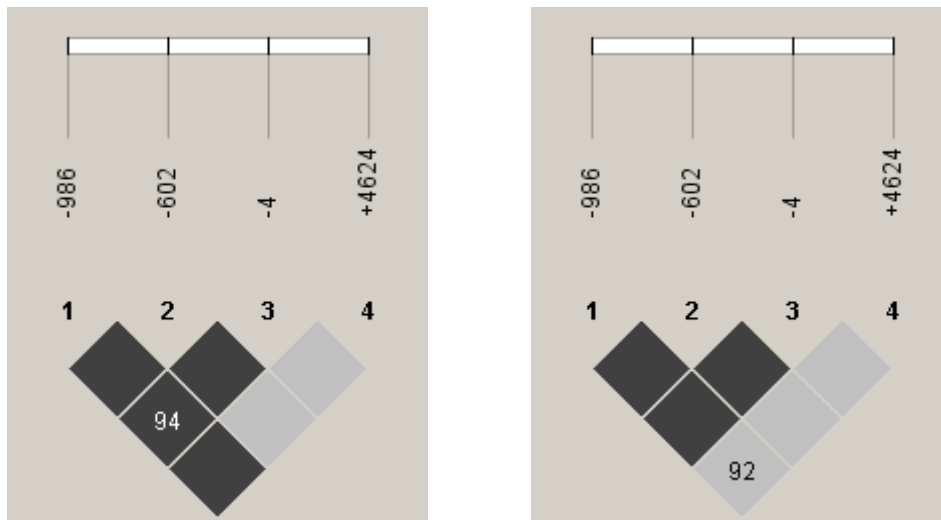
عند مقارنة مجموعتي المرضى والشواهد من حيث الارتباط بين المواقع وجد الارتباط الأقل بين الموقعين (602،-6424) عند المرضى مقابل (4،-6424) عند الشواهد (الشكل 115)، ولكن عند مقارنة معاملات الارتباط بين المواقع كانت متقاربة بين المجموعتين (الشكل 116) وكذلك الحال غابت احتمالات التأشب في كلتا المجموعتين (الشكل 117).



الشكل (115) مقارنة الـ LD للمواقع الأربعة بين مجموعة المرضى على اليمين ومجموعة الشواهد على اليسار باستخدام برنامج Haploview وتشير الأرقام داخل المربعات إلى قيمة  $D'$  معبرا عنها بشكل نسبية مئوية.



الشكل (116) يظهر المخطط مقارنة معامل الارتباط للمواقع الأربعة بين مجموعة المرضى على اليمين ومجموعة الشواهد على اليسار.



الشكل (117) مقارنة الارتباطات الموثوقة للمواقع الأربعة المدروسة بين مجموعة المرضى على اليمين ومجموعة الشواهد على اليسار.

الشواهد			مرضى الليشماتية الجدية				
$r^2$	LOD	D'	$r^2$	LOD	D'	الموقع 2	الموقع 1
0.28	24.24	1	0.18	12.99	1	-602	-986
0.27	17.91	0.95	0.32	26.34	1	-4	-986
0.1	6.71	1	0.09	5.87	0.92	6424	-986
0.08	6.91	1	0.08	7.73	1	-4	-602
0.03	2.38	1	0.02	1.09	1	6424	-602
0.03	1.51	1	0.03	2.41	1	6424	-4

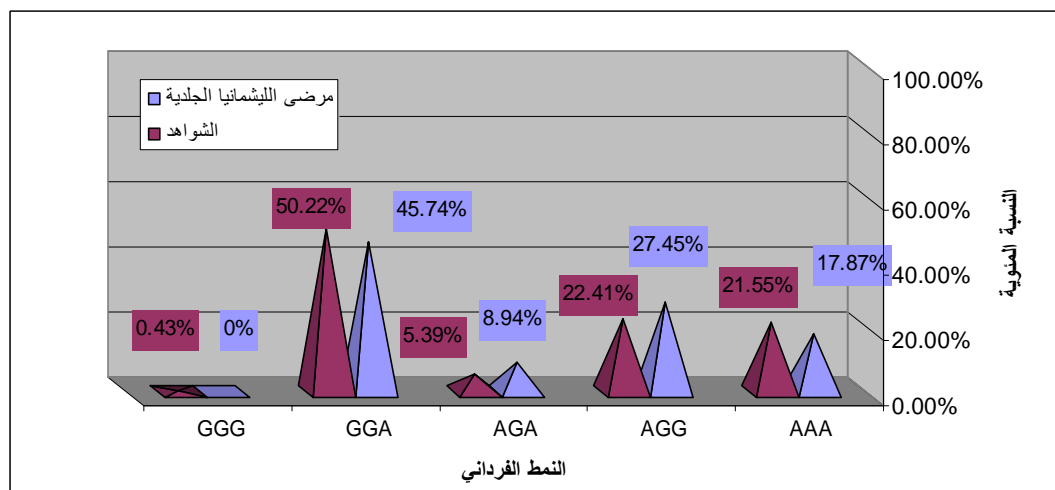
الجدول (45) مقارنة قيم  $r^2$ , LOD, D' بين المرضى والشواهد.

## 2-6-12- مقارنة تواتر الأنماط الفردانية بين مجموعة المرضى والشواهد:

2-6-12-1- مقارنة توزيع الأنماط الفردانية للمواقع (-986، -602، -4) الموجودة في منطقة المعزاز: استخدم في البداية برنامج الـ Arlequin version3 لحساب تواتر الأنماط الفردانية في كل مجموعة، وتم حسبت قيمة P باستخدام اختبار كاي مربع وأحيانا اختبار التصحيح لفشر بالاعتماد على برنامج Stata لمقارنة كل نمط من الأنماط الفردانية بين المرضى والشواهد فكانت النتائج كما في الجدول التالي :

النمط الفردي	مرضى الليشمانيّة الجلدية		الشواهد		P	OR	CI 95%
	العدد	النسبة المئوية	العدد	النسبة المئوية			
AAA	84	17.87%	100	21.55%	0.16	غير قابلة للتطبيق	غير قابلة للتطبيق
AGG	129	27.45%	104	22.41%	0.076	غير قابلة للتطبيق	غير قابلة للتطبيق
AGA	42	8.94%	25	5.39%	0.036	1.7	1-3
GGA	215	45.74%	233	50.22%	0.17	غير قابلة للتطبيق	غير قابلة للتطبيق
GGG	0	0%	2	0.43%	*0.5	غير قابلة للتطبيق	غير قابلة للتطبيق
المجموع	470	100%	464	100%	0.026	غير قابلة للتطبيق	غير قابلة للتطبيق

الجدول (46) مقارنة توزيع الأنماط الفردانية للمواقع -4، -602، -986- بين مرضى الليشمانيّة الجلدية والشواهد تعني الـ **Odds ratio** نسبة الأرجحية للنمط الفردي الحالي بالنسبة للبقية، حسب **P** باستخدام اختبار كاي مربع بينما تشير \* إلى أن **P** حسب استخدام اختبار التصحيح لفشر.



الشكل (118) مقارنة توزيع الأنماط الفردانية للمواقع -4، -602، -986- بين مرضى الليشمانيّة الجلدية والشواهد.

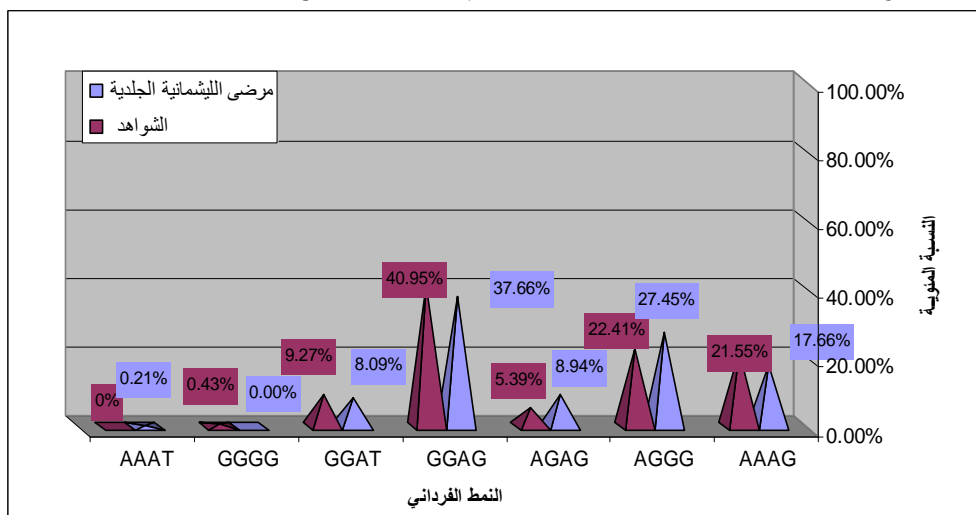
فإذا عند مقارنة توزيع الأنماط الفردانية للمواقع الوظيفية في منطقة المعزاز وهي (-4، -602، -986-) وجد فرق ذو مغزى إحصائي بتوزيع تلك الأنماط بين مرضى الليشمانيّة الجلدية والشواهد  $P=0.026$ ، وكان النمط الفردي AGA مرتفعاً عند مجموعة المرضى بالمقارنة مع مجموعة الشواهد إذ بلغت نسبته 8.94%، 42/470، عند المرضى مقابل 5.39%، 25/464، عند الشواهد وكانت  $P=0.036$  مع نسبة أرجحية  $OR=1.7$  وفاصلة الثقة 95% CI 1-3=95 (الجدول 46).

## 2-12-6-2 مقارنة توزيع الأنماط الفردانية للمواقع (+4624، -4، -602، -986) بين المرضى و

الشواهد: بإضافة الموقع +6424 في الاكزون الثامن للمواقع السابقة الموجودة في منطقة المعزاز أصبحت النتائج بالشكل التالي:

CI 95%	OR	P	$\chi^2$	الشواهد		مرضى الليشمانيّة الجلدية		النمط الفرداني
				النسبة المنوية	العدد	النسبة المنوية	العدد	
	غير قابلة للتطبيق	0.14	2.25	21.55%	100	17.66%	83	AAAG
	غير قابلة للتطبيق	0.076	3.16	22.41%	104	27.45%	129	AGGG
1-3	1.7	0.036	4.41	5.39%	25	8.94%	42	AGAG
	غير قابلة للتطبيق	0.3	1.06	40.95%	190	37.66%	177	GGAG
	غير قابلة للتطبيق	0.52	0.41	9.27%	43	8.09%	38	GGAT
	غير قابلة للتطبيق	*0.5	غير قابلة للتطبيق	0.43%	2	0.00%	0	GGGG
	غير قابلة للتطبيق	*1	غير قابلة للتطبيق	0%	0	0.21%	1	AAAT
	غير قابلة للتطبيق	0.055	12.31	100%	464	100.00%	470	المجموع

الجدول (47) مقارنة توزيع الأنماط الفردانية للمواقع +4624، -4، -602، -986 بين مرضى الليشمانيّة الجلدية والشواهد تعني الـ OR نسبة الأرجحية للنمط الفرداني الحالي بالنسبة للبقية، حسبت P باستخدام اختبار كاي مربع بينما تشير \* إلى أن P حسبت باستخدام اختبار التصحيح لفشر.



الشكل (119) مقارنة توزيع الأنماط الفردانية للمواقع +4624، -4، -602، -986 بين مرضى الليشمانيّة الجلدية والشواهد.

بعد إضافة الموقع 6424+ إلى المواقع الثلاثة السابقة بقي النمط الفردي AGAG الذي يترافق مع المستوى الطبيعي للفيكولين في الدم مرتفعاً عند المرضى بالمقارنة مع الشواهد، إذ بلغ عند المرضى 8.94%، 42/470 مقابل 5.39%، 25/464 عند الشواهد وكانت  $P=0.036$  مع نسبة أرجحية  $OR=1.7$ ، فاصلة الثقة 1-3 95% CI وذلك على الرغم من عدم وجود فرق بتوزع الأنماط الفردانية بين المجموعتين  $P=0.055$  (الجدول 47).

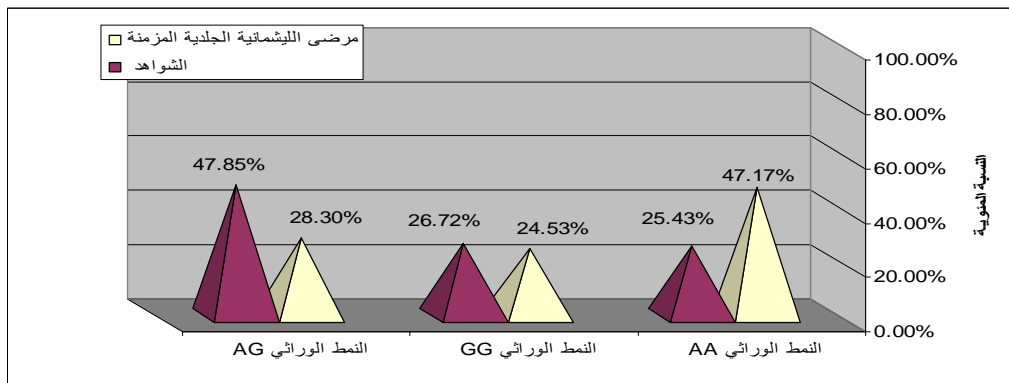
من ضمن مرضى الليشمانية كان هناك 53 حالة إزمان استمرت فيها الأفة لمدة تزيد على السنتين درست تواتر الأنماط الوراثية و الالائل في المواقع الأربعة وكذلك الأنماط الفردانية لهذه المواقع وقورنت مع مجموعة الشواهد وكانت النتائج كالتالي:

## 2-6-13- مقارنة تواتر الأنماط الوراثية للمواقع (6424+، -4، -602، -986) من مورثة الفيكولين 2 بين مرضى الليشمانية الجلدية المزمنة والشواهد:

2-6-13-1- الموقع 986-: لدى مقارنة الأنماط الوراثية بين مرضى الليشمانية الجلدية المزمنة والشواهد في هذا الموقع وجدنا فرق ذو مغزى إحصائي بين هاتين المجموعتين  $P=0.005$  إذ ارتفع تواتر النمط الوراثي AA،  $P=0.002$  وانخفض تواتر النمط AG،  $P=0.01$  عند المرضى المزمنين بالمقارنة مع الشواهد والنتائج في الجدول التالي :

مرضى الليشمانية الجلدية المزمنة		الشواهد		$\chi^2$	P	OR	CI 95%	النمط الوراثي للموقع-986
النسبة المئوية	العدد	النسبة المئوية	العدد					
47.17%	25	25.43%	59	9.81	0.002	2.62	1.42-4.84	النمط الوراثي AA
24.53%	13	26.72%	62	0.11	0.74			النمط الوراثي GG
28.30%	15	47.85%	111	6.68	0.01	0.43	0.22-0.82	النمط الوراثي AG
100.00%	53	100.00%	232	10.72	0.005			المجموع

الجدول (48) مقارنة تواتر الأنماط الوراثية في الموقع 986- بين مرضى الليشمانية الجلدية المزمنة والشواهد.

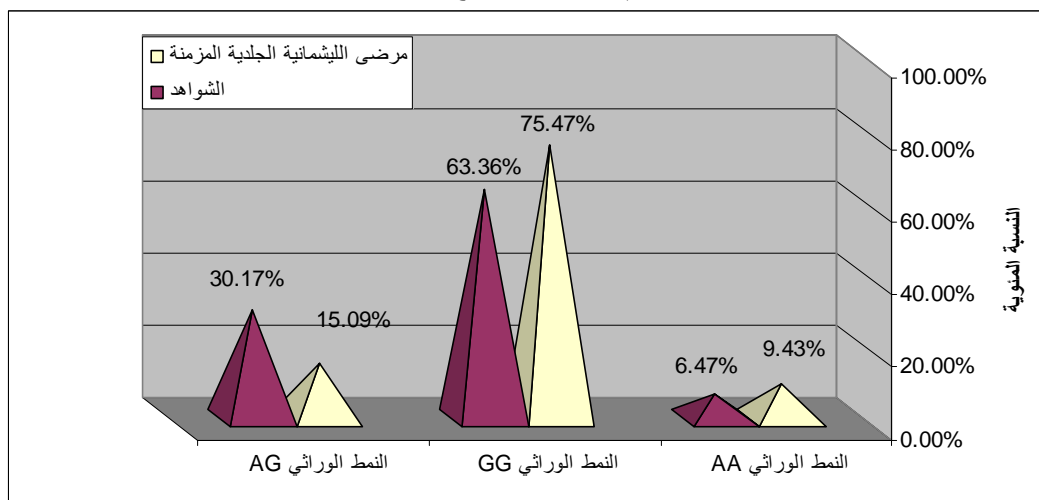


الشكل (120) مقارنة تواتر الأنماط الوراثية في الموقع 986- بين مرضى الليشماتية الجلدية المزمنة والشواهد.

2-6-13-2-الموقع 602-: لدى مقارنة توزيع الأنماط الوراثية بين مرضى الليشماتية الجلدية المزمنة والشواهد في الموقع 602- انخفض تواتر النمط AG عند المرضى المزمنين بالمقارنة مع الشواهد  $P=0.026$  والنتائج في الجدول التالي:

النمط الوراثي للموقع 602-	العدد	النسبة المئوية	الشواهد		$\chi^2$	P	OR	CI 95%	مرضى الليشماتية الجلدية المزمنة
			العدد	النسبة المئوية					
النمط الوراثي AA	5	9.43%	15	6.47%		*0.55			
النمط الوراثي GG	40	75.47%	147	63.36%	2.80	0.09			
النمط الوراثي AG	8	15.09%	70	30.17%	4.93	0.026	0.41	0.18-0.92	
المجموع	53	100.00%	232	100.00%	5.09	0.08			

الجدول (49) مقارنة تواتر الأنماط الوراثية في الموقع 602- بين مرضى الليشماتية الجلدية المزمنة والشواهد، تشير \* إلى أن P حسبت باستخدام اختبار التصحيح لفشر.

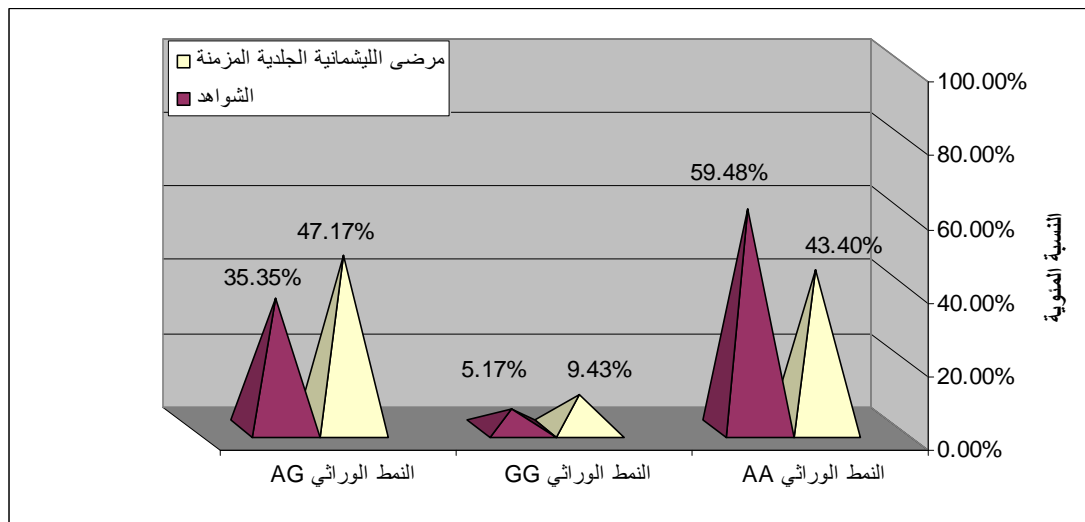


الشكل (121) مقارنة تواتر الأنماط الوراثية في الموقع 602- بين مرضى الليشماتية الجلدية المزمنة والشواهد.

**2-6-13-3-الموقع 4-:** انخفض تواتر النمط الوراثي AA عند مرضى الليشمانيّة الجلدية المزمنة بالمقارنة مع الشواهد  $P=0.03$  على الرغم من عدم وجود فرق بتوزيع الأنماط الوراثية بين المجموعتين  $P=0.09$  في هذا الموقع والنتائج موضحة في الجدول التالي:

CI 95%	OR	P	$\chi^2$	الشواهد		مرضى الليشمانيّة الجلدية المزمنة		النمط الوراثي للموقع 4-
				النسبة المئوية	العدد	النسبة المئوية	العدد	
0.29-0.95	0.52	0.03	4.54	59.48%	138	43.40%	23	النمط الوراثي AA
		*0.33		5.17%	12	9.43%	5	النمط الوراثي GG
		0.11	2.57	35.35%	82	47.17%	25	النمط الوراثي AG
		0.09	4.90	100.00%	232	100.00%	53	المجموع

الجدول (50) مقارنة تواتر الأنماط الوراثية في الموقع 4- بين مرضى الليشمانيّة الجلدية المزمنة والشواهد. تشير \* إلى أن  $P$  حسبت باستخدام اختبار التصحيح لفشر .

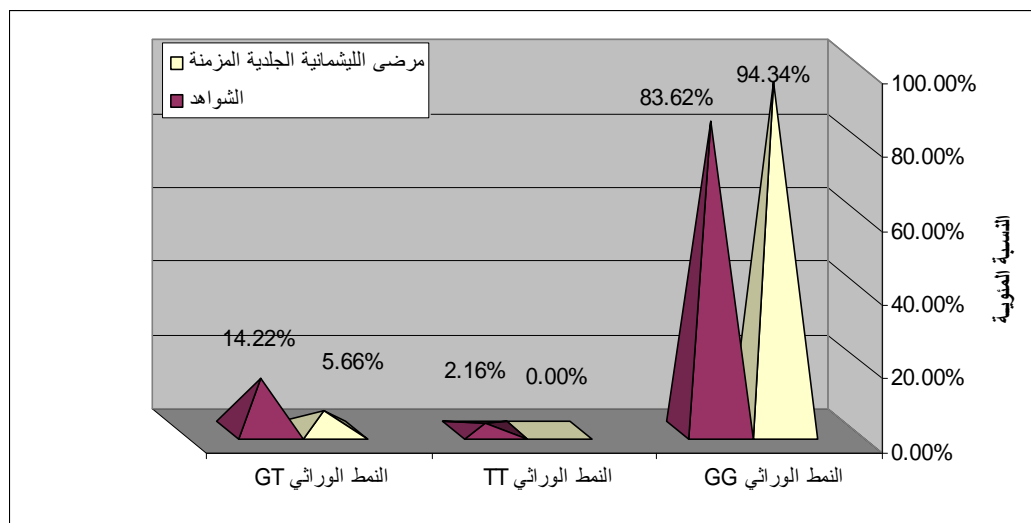


الشكل (122) مقارنة تواتر الأنماط الوراثية في الموقع 4- بين مرضى الليشمانيّة الجلدية المزمنة والشواهد.

**2-6-13-4-الموقع 6424+:** بدراسة توزيع الأنماط الوراثية بين مرضى الليشمانيّة الجلدية المزمنة والشواهد في الموقع 6424+ ارتفع تواتر النمط الوراثي GG عند المرضى المزمنين بالمقارنة مع الشواهد  $P=0.045$  والنتائج موضحة في الجدول التالي:

CI 95%	OR	P	$\chi^2$	الشواهد		مرضى الليشمانيّة الجلدية المزمنة		النمط الوراثي للموقع 6424+
				النسبة المئوية	العدد	النسبة المئوية	العدد	
11-0.97	3.27	0.045	34.0	83.62%	194	94.34%	50	النمط الوراثي GG
		*0.6		2.16%	5	0.00%	0	النمط الوراثي TT
		0.09	2.87	14.22%	33	5.66%	3	النمط الوراثي GT
		0.12	4.23	100.00%	232	100.00%	53	المجموع

**الجدول (51) مقارنة تواتر الأنماط الوراثية في الموقع 6424+ بين مرضى الليشمانيّة الجلدية المزمنة والشواهد، تشير\* إلى أن P حسبت باستخدام اختبار التصحيح لفشر .**



**الشكل (123) مقارنة تواتر الأنماط الوراثية في الموقع 6424+ بين مرضى الليشمانيّة الجلدية المزمنة والشواهد.**

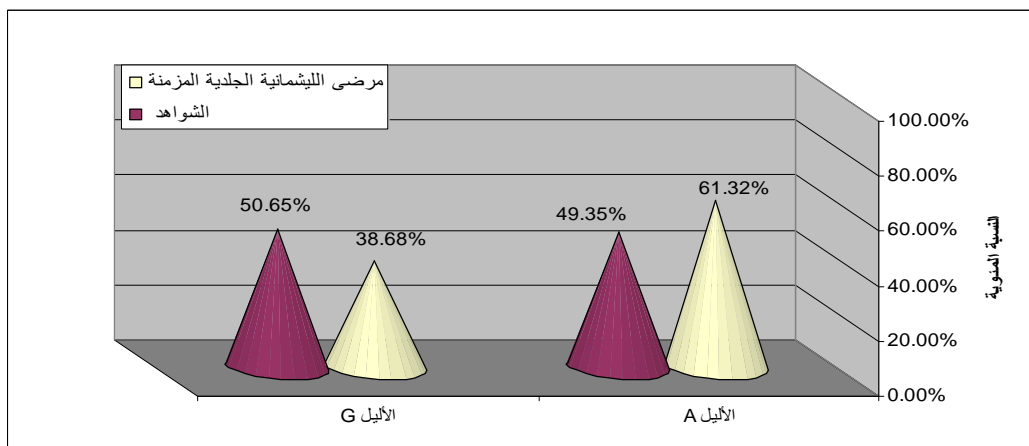
**2-6-14-مقارنة تواتر الألائل للمواقع (6424+، -4، -602، -986) من مورثة الفيكولين 2 بين مرضى الليشمانيّة الجلدية المزمنة والشواهد:**

**2-6-14-1-الموقع 986-:** ارتفع تواتر الأليل A الذي يرمز في هذا الموقع لمستوى عالي من بروتين الفيكولين 2 عند المرضى المزمنين بالمقارنة مع الشواهد ( $\chi^2 = 4.95$  و  $P=0.026$ ,  $OR=1.63$ ,  $CI\ 95\%=1.06-2.50$ ) كما يظهر الجدول التالي:



CI 95%	OR	P	$\chi^2$	الشواهد		مرضى الليشمانيّة الجلدية المزمنة		الأليل في الموقع 986-
				النسبة المئوية	العدد	النسبة المئوية	العدد	
1.06-2.5	1.63	0.026	4.95	49.35%	229	61.32%	65	الأليل A
				50.65%	235	38.68%	41	الأليل G
				100.00%	464	100.00%	106	المجموع

الجدول (52) مقارنة تواتر الأليلين A,G في الموقع 986- بين مرضى الليشمانيّة الجلدية المزمنة و الشواهد.

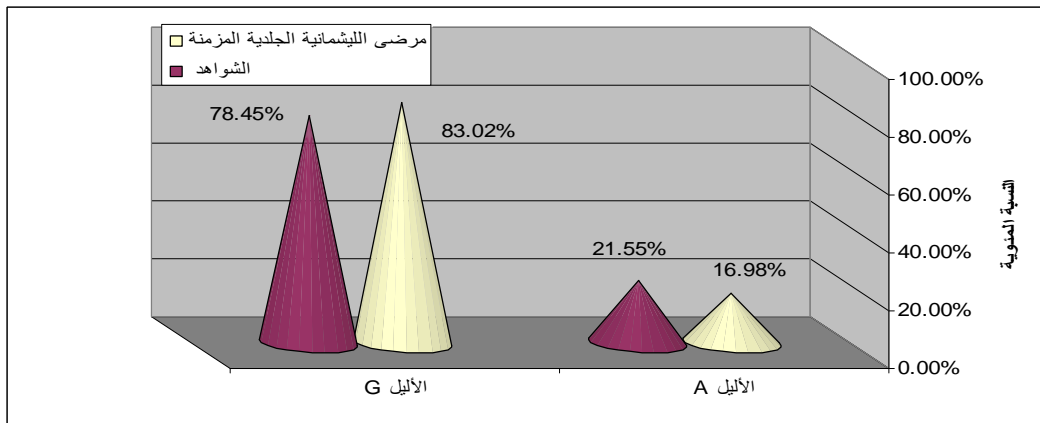


الشكل (124) مقارنة تواتر الأليلين A,G في الموقع 986- بين مرضى الليشمانيّة الجلدية المزمنة و الشواهد.

2-14-6-2-الموقع 602-: فيما يتعلق بهذا الموقع لم نجد فروق هامة إحصائيا بتواتر الأليلين A,G بين المرضى المزمنين والشواهد كما يوضح الجدول التالي:

P	$\chi^2$	الشواهد		مرضى الليشمانيّة الجلدية المزمنة		الأليل في الموقع 602-
		النسبة المئوية	العدد	النسبة المئوية	العدد	
0.29	1.1	21.55%	100	16.98%	18	الأليل A
		78.45%	364	83.02%	88	الأليل G
		100.00%	464	100.00%	106	المجموع

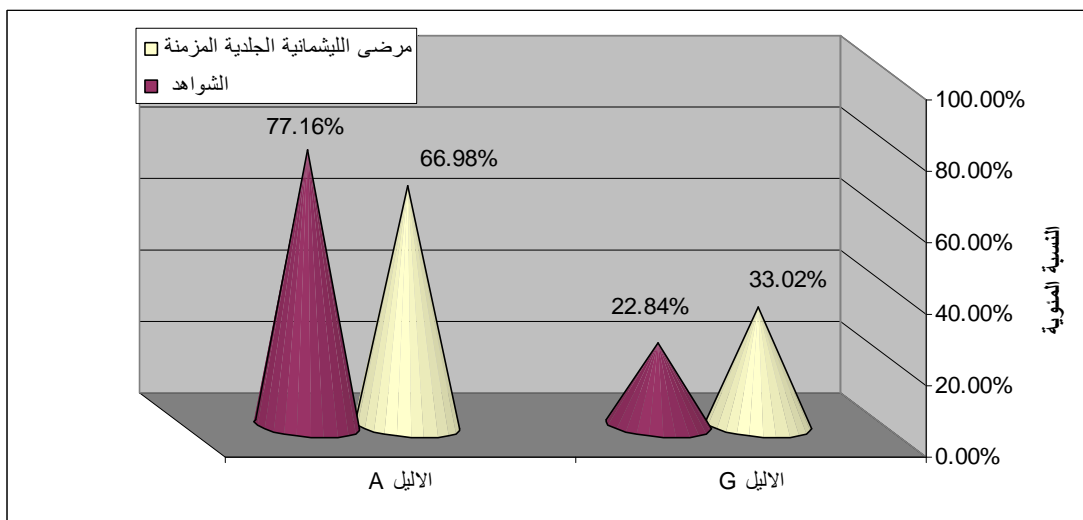
الجدول (53) مقارنة تواتر الأليلين A,G في الموقع 602- بين مرضى الليشمانيّة الجلدية المزمنة و الشواهد.



الشكل (125) مقارنة تواتر الأليلين A,G في الموقع 602- بين مرضى الليشمانيّة الجلدية المزمنة و الشواهد .  
 2-6-14-3-الموقع 4:- ارتفع تواتر الأليل G الذي يترافق في هذا الموقع مع ارتفاع مستوى بروتين الفيكولين 2 في الدم عند المرضى المزمنين بالمقارنة مع الشواهد ( $\chi^2 = 4.8$ ) و  $P=0.029$ ,  $OR=1.66$ ,  $CI_{95\%}=1.02-2.69$ : والنتائج موضحة في الجدول التالي:

CI 95%	OR	P	$\chi^2$	الشواهد		مرضى الليشمانيّة الجلدية المزمنة		الأليل في الموقع 4-
				النسبة المئوية	العدد	النسبة المئوية	العدد	
-1.02 2.69	1.66	0.029	4.8	22.84%	106	33.02%	35	الأليل G
				77.16%	358	66.98%	71	الأليل A
				100.00%	464	100.00%	106	المجموع

الجدول (54) مقارنة تواتر الأليلين A,G في الموقع 4- بين مرضى الليشمانيّة الجلدية المزمنة و الشواهد

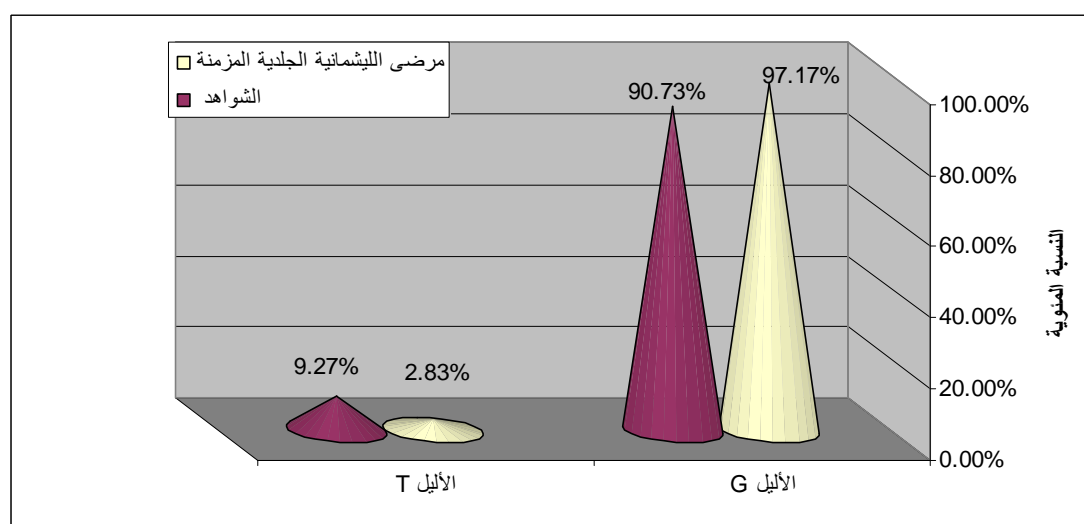


الشكل (126) مقارنة تواتر الأليلين A,G في الموقع 4- بين مرضى الليشمانيّة الجلدية المزمنة و الشواهد.

**2-6-14-4-الموقع 6424+:** ارتفع تواتر الأليل G المترافق مع تركيز عالي للفيكولين 2 في الدم عند مرضى الليشمانية الجلدية المزمنة بالمقارنة مع الشواهد ( $\chi^2=4.82$  و  $P=0.028$ ,  $OR=3.51$ ,  $CI\ 95\%=1.07-11.53$ ) والنتائج موضحة في الجدول التالي:

CI 95%	OR	P	$\chi^2$	الشواهد		مرضى الليشمانية الجلدية المزمنة		الأليل في الموقع <b>+6424</b>
				النسبة المئوية	العدد	النسبة المئوية	العدد	
1.07- 11.53	3.51	0.028	4.82	90.73%	421	97.17%	103	الأليل G
				9.27%	43	2.83%	3	الأليل T
				100.00%	464	100.00%	106	المجموع

**الجدول (55) مقارنة تواتر الأليلين T, G في الموقع +6424 بين مرضى الليشمانية الجلدية المزمنة و الشواهد.**



**الشكل (127) مقارنة تواتر الأليلين T, G في الموقع +6424 بين مرضى الليشمانية الجلدية المزمنة و الشواهد .**

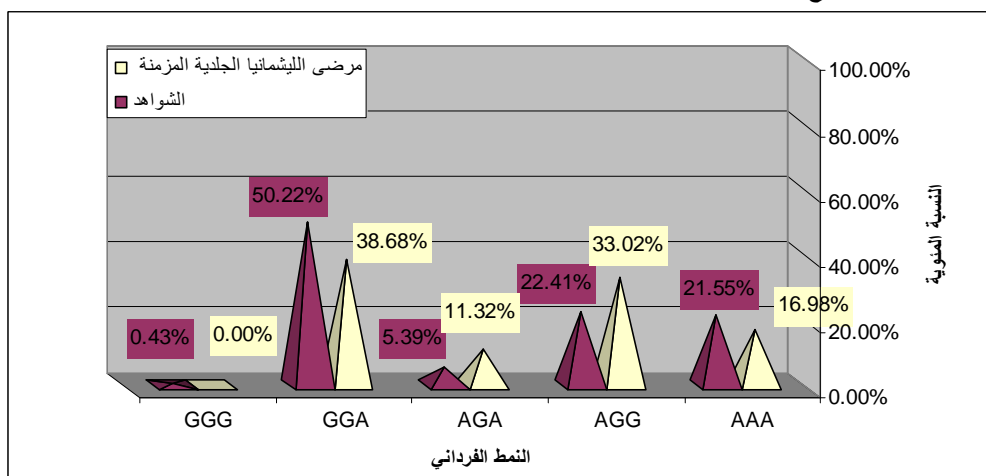
## 2-6-15- مقارنة تواتر الأنماط الفردانية بين مرضى الليشمانيّة الجلدية المزمنة والشواهد:

### 2-6-15-1- مقارنة تواتر الأنماط الفردانية للمواقع 4-، 602-، 986- الموجودة في منطقة المعزاز بين مرضى الليشمانيّة الجلدية المزمنة والشواهد:

حسبت الأنماط الفردانية للمواقع الثلاثة الموجودة في منطقة المعزاز عند مجموعة مرضى الليشمانيّة الجلدية المزمنة وقورنت مع مجموعة الشاهد والجدول التالي يوضح هذه النتائج بالتفصيل:

النمط الفردي	مرضى الليشمانيّة الجلدية المزمنة		الشواهد		P	OR	CI 95%
	العدد	النسبة المئوية	العدد	النسبة المئوية			
AAA	18	16.98%	100	21.55%	0.29	غير قابلة للتطبيق	غير قابلة للتطبيق
AGG	35	33.02%	104	22.41%	0.022	1.71	1.04-2.76
AGA	12	11.32%	25	5.39%	0.025	2.24	0.99-4.82
GGA	41	38.68%	233	50.22%	0.032	0.63	0.4-0.98
GGG	0	0.00%	2	0.43%	*1	غير قابلة للتطبيق	غير قابلة للتطبيق
المجموع	106	100.00%	464	100%	0.015		

الجدول (56) مقارنة توزع الأنماط الفردانية للمواقع 4-، 602-، 986- بين مرضى الليشمانيّة الجلدية المزمنة والشواهد، تعني الـ OR نسبة الأرجحية للنمط الفردي الحالي بالنسبة للبقيّة، \* تعني أن P حسبت بواسطة اختبار التصحيح لفشر.



الشكل (128) مقارنة توزع الأنماط الفردانية للمواقع 4-، 602-، 986- بين مرضى الليشمانيّة الجلدية المزمنة والشواهد.

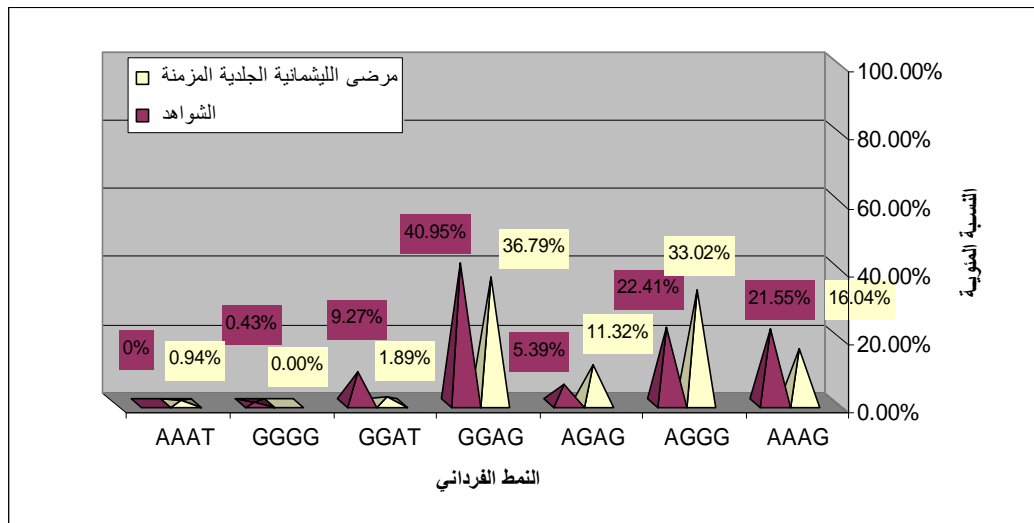
بدراسة النتائج المتعلقة بحالات الإزمان فقد اختلف توزيع الأنماط الفردانية للمواقع 602، -986، -4 بين حالات الإزمان والشواهد  $P=0.015$  وارتفع النمط الفردي AGG الذي يترافق مع مستوى عال من البروتين في الدم عند المرضى إذ بلغ 33.02% بالمقارنة مع 22.41% عند الشواهد  $P=0.022$  ونسبة الأرجحية  $OR=1.71$  وفاصلة ثقة  $CI95\%=1.04-2.76$  (الجدول 56)، وعلى النقيض فقد انخفض النمط الفردي GGA الذي يرمز لمستوى منخفض من البروتين في الدم عند المرضى المزمنين بالمقارنة مع الشواهد (38.68% للمرضى بالمقارنة مع 50.22% للشواهد  $P=0.032$  ونسبة أرجحية  $OR=0.63$  وفاصلة ثقة  $CI95\%=0.4-0.98$ )، بالإضافة لارتفاع نسبة النمط الفردي AGA الذي يترافق مع مستوى طبيعي من بروتين الفيكولين في الدم عند مرضى الليشمانية الجلدية المزمنة بالمقارنة مع الشواهد 11.32% مقارنة مع 5.39%،  $P=0.025$ ،  $OR=2.24$ ،  $CI95\%=0.99-4.82$  (الجدول 57).

## 2-6-15-1 مقارنة تواتر الأنماط الفردانية للمواقع 6424، -4، -602، -986 بين مرضى الليشمانية الجلدية المزمنة والشواهد:

وفي المرحلة التالية أضفنا الموقع الرابع 6424+ للمواقع الثلاثة السابقة في حساب الأنماط الفردانية وأجرينا مقارنة بين توزيع هذه الأنماط وتواتراتها بين مرضى الليشمانية الجلدية المزمنة والشواهد والجدول التالي يوضح هذه النتائج:

النمط الفردي	العدد	النسبة المئوية	الشواهد		$\chi^2$	P	OR	CI 95%
			العدد	النسبة المئوية				
AAAG	17	16.04%	100	21.55%	1.61	0.2	غير قابلة للتطبيق	غير قابلة للتطبيق
AGGG	35	33.02%	104	22.41%	5.26	0.022	1.71	1.04-2.76
AGAG	12	11.32%	25	5.39%	5	0.025	2.24	0.99-4.82
GGAG	39	36.79%	190	40.95%	0.62	0.43	غير قابلة للتطبيق	غير قابلة للتطبيق
GGAT	2	1.89%	43	9.27%	6.46	0.011	0.19	0.04-0.79
GGGG	0	0.00%	2	0.43%	غير قابلة للتطبيق	*1	غير قابلة للتطبيق	غير قابلة للتطبيق
AAAT	1	0.94%	0	0%	غير قابلة للتطبيق	*0.19	غير قابلة للتطبيق	غير قابلة للتطبيق
المجموع	106	100%	464	100%	21.1	0.0018	غير قابلة للتطبيق	غير قابلة للتطبيق

الجدول (57) مقارنة توزيع الأنماط الفردانية للمواقع 6424، -4، -602، -986 بين مرضى الليشمانية الجلدية المزمنة والشواهد، تعني الـ **OR** نسبة الأرجحية للنمط الفردي الحالي بالنسبة للبقية، \* تعني أن **P** حسبت بواسطة اختبار التصحيح لفشر.



الشكل (129) مقارنة توزيع الأنماط الفردانية للمواقع +6424, -4, -602, -986 بين مرضى الليشمائية الجلدية المزمنة والشواهد.

إذا بعد إضافة الموقع +6424 للمواقع السابقة لم تتغير النتائج فقد بقي الفرق بتوزيع الأنماط الفردانية بين مجموعة الإزمان ومجموعة الشواهد موجودا  $P=0.0018$  وبقي النمط الفردي AGGG المرمز لمستوى عال من البروتين مرتفعا عند المرضى إذ بلغ 33.02% بالمقارنة مع 22.41% عند الشواهد  $P=0.022$  ونسبة الأرجحية  $OR=1.71$  وفاصلة ثقة تراوحت بين  $CI95\%=1.04-2.76$ ، وكذلك الحال بقي النمط الفردي GGAT الذي يرمز لمستوى منخفض منخفضا عند المرضى المزمين بالمقارنة مع الشواهد 1.89% عند المرضى المزمين مقابل 9.27% للشواهد  $P=0.011$  ونسبة الأرجحية  $OR=0.19$  وفاصلة ثقة  $CI95\%=0.07-0.48$ ، بالإضافة لاستمرار ارتفاع نسبة النمط الفردي AGAG الذي يترافق مع مستوى طبيعي من بروتين الفيكولين في الدم عند مرضى الليشمائية الجلدية المزمنة بالمقارنة مع الشواهد (11.32% مقارنة مع 5.39%،  $P=0.025$ ،  $OR=2.24$ ،  $CI95\%=0.99-4.82$ ).

## 7-2- المناقشة Discussion:

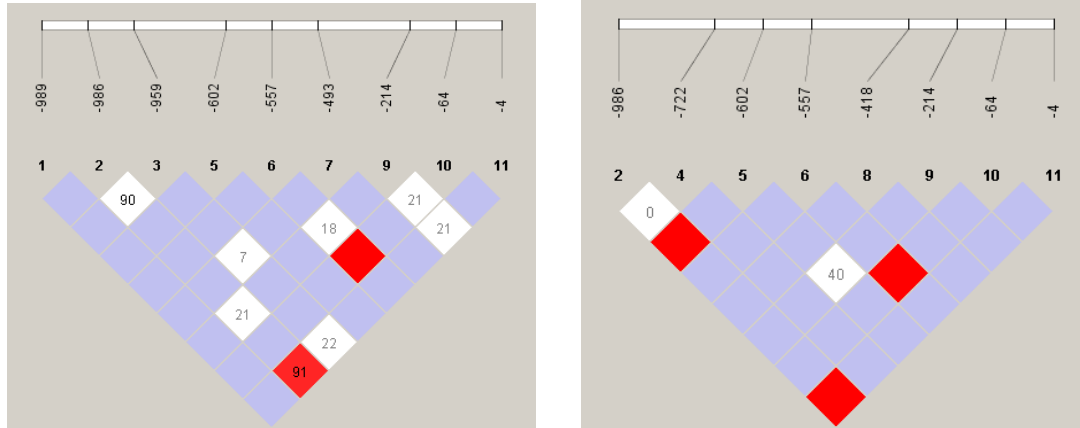
في دراستنا هذه درسنا التعدد الشكلي لجينة الفيولين 2 عند مجموعة من مرضى الليشمانيّة الجلدية ومجموعة من الأصحاء وذلك في مواقع وظيفية أربعة: ثلاثة منها في منطقة المعزاز (rs7851696، rs3124952، rs3124953، rs17514136) والرابع في الاكزون الثامن (rs7851696). تمكنا بواسطة التفاعل السلسلي البوليميرازي ومن ثم تحديد التسلسل النوكليوتيدي على 40 عينة من الشواهد من كشف تسعة مواقع تبدل نوكليوتيدي وحيد (SNP) جديدة سبق وأشرنا إليها في النتائج (الجدول 13)، ولدى مقارنة نتائج تحليل التسلسل النوكليوتيدي لمنطقة المعزاز على عينات من دولة القابون في أفريقيا كانت قد أجريت في نفس المعهد التي أجريت فيه هذه الدراسة (223)، وجد أن هناك مواقع للتبدل النوكليوتيدي الوحيد موجودة فقط عند السوريين وغير موجودة عند الأفارقة (722، -418) والعكس صحيح حيث لم نجد المتغيرات التالية (989-، 959-، 493-) الموجودة عند الأفارقة في دراستنا (الجدول 58).

الدراسة الإفريقية		دراستنا				
الموقع	الأليل الأكبر	الأليل الأصغر	تواتر الأليل الأكبر	تواتر الأليل الأصغر	تواتر الأليل الأكبر	تواتر الأليل الأصغر
-989	G	A	1	0	0.99	0.01
-986	G	A	0.5	0.5	0.81	0.19
-959	G	A	1	0	0.98	0.02
-722	C	T	0.99	0.01	1	0
-602	G	A	0.71	0.29	0.99	0.01
-557	A	G	0.89	0.11	0.81	0.19
-493	G	A	1	0	0.9	0.1
-418	G	A	0.99	0.01	1	0
-214	G	A	0.97	0.03	0.98	0.02
-64	A	C	0.86	0.14	0.82	0.18
-4	A	G	0.81	0.19	0.82	0.18

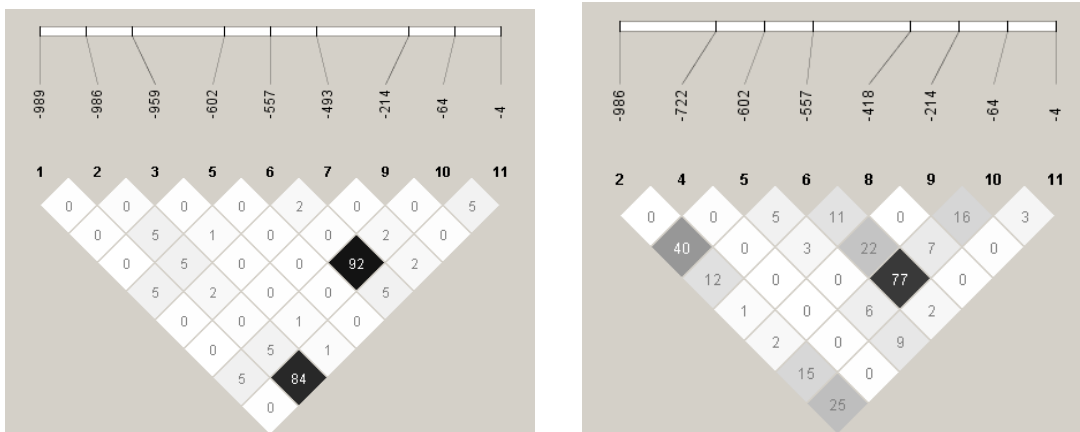
الجدول (58) مقارنة تواتر الأليل في منطقة المعزاز بين دراستنا والدراسة الإفريقية.

وجدنا في دراستنا أيضا توليفة أليلية قوية بين الموقعين (557، -64) والموقعين (602، -986) وبدرجة أقل (4، -986)، بينما في التجمهرة الإفريقية وجدت توليفة بين (64، -557) وبدرجة أقل بين (4، -986) (المربعات الحمراء في الشكل 130) حيث بلغ معامل الارتباط بين المواقع السابقة في دراستنا 0.77، 0.4، 0.25 على التوالي مقابل 0.92 و 0.84 على التوالي في الدراسة الإفريقية (المربعات السوداء في الشكل 131) إذ لم تجد ارتباطا بين (602، -986)

عكس دراستنا، بينما وجدت احتمالات عالية للتأشب بين بعض المواقع في الدراسة الافريقية (المربعات البيضاء في الشكل 132) الأمر الذي لم نجده في دراستنا.

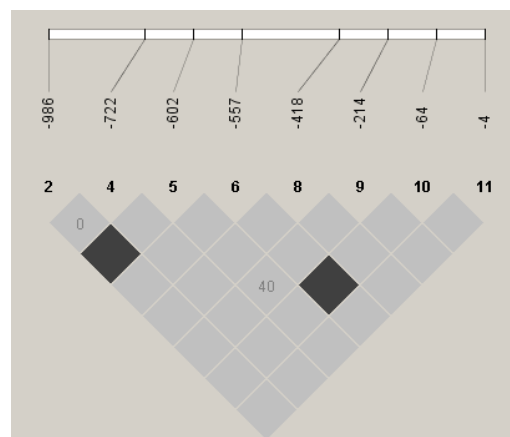
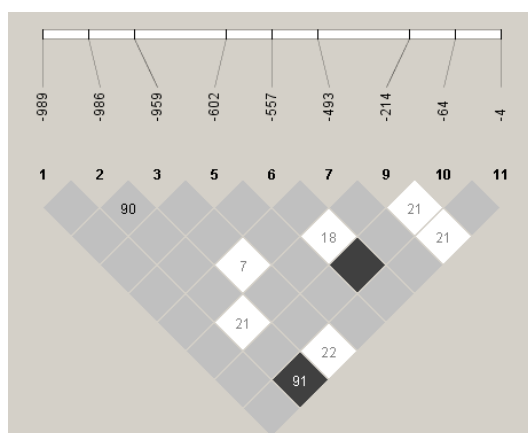


الشكل (130) مخطط الـ **Haploview** على اليمين دراستنا وعلى اليسار الدراسة الافريقية. يظهر المخطط مقارنة الـ (LD) لمنطقة المحفز من مورثة الـ **FCN2** بين الدراستين، تشير المربعات الحمراء إلى درجة عالية من الارتباط، وتشير المربعات الزرقاء إلى درجة متوسطة من الارتباط، بينما تشير المربعات البيضاء إلى درجة منخفضة جدا من الارتباط.



الشكل (131) مخطط الـ **Haploview** على اليمين دراستنا وعلى اليسار الدراسة الافريقية، يظهر هذا المخطط قيمة معامل الارتباط  $r^2$  بين المواقع المدروسة معبرا عنها بشكل نسبة مئوية وبتدرجات اللون من الأبيض إلى الأسود.





الشكل (132) مخطط الـ **Haploview** على اليمين دراستنا وعلى اليسار الدراسة الافريقية، يوضح المخطط الارتباطات الموثوقة بين المواقع حيث يشير اللون الأسود أو الرمادي الغامق إلى الدليل القوي على **LD** بينما يصعب تفسير اللون الرمادي الفاتح أما اللون الأبيض فيشير إلى التناشب.

الدراسة الافريقية			دراستنا				
$r^2$	LOD	D'	$r^2$	LOD	D'	L2	L1
0	0.09	1	-	-	-	-986	-989
0	0.02	1	-	-	-	-959	-989
0	0.01	1	-	-	-	-602	-989
0.05	0.42	1	-	-	-	-557	-989
0	0.04	1	-	-	-	-493	-989
0	0.01	1	-	-	-	-214	-989
0.06	0.45	1	-	-	-	-64	-989
0	0.09	1	-	-	-	-4	-989
-	-	-	0	0	0	-722	-986
0.01	0.06	0.9	-	-	-	-959	-986
0.06	0.45	1	0.4	5.99	1	-602	-986
0.05	0.98	1	0.12	1.11	1	-557	-986
0.02	0.44	1	-	-	-	-493	-986
-	-	-	0.01	0.01	1	-418	-986
0.01	0.03	0.22	0.03	0.29	1	-214	-986
0.05	0.87	1	0.16	1.76	1	-64	-986
0.84	9.49	0.92	0.25	2.8	1	-4	-986
0	0.02	1	-	-	-	-602	-959
0.01	0.09	1	-	-	-	-557	-959
0	0.02	0.07	-	-	-	-493	-959
0	0.04	1	-	-	-	-214	-959
0.01	0.36	1	-	-	-	-64	-959

الدراسة الافريقية			دراستنا				
$r^2$	LOD	D'	$r^2$	LOD	D'	L2	L1
0.01	0.07	0.23	-	-	-	-4	-959
-	-	-	0.01	0.15	1	-602	-722
-	-	-	0	0.05	1	-557	-722
-	-	-	0	0.01	1	-418	-722
-	-	-	0	0.01	1	-214	-722
-	-	-	0	0.07	1	-64	-722
-	-	-	0	0.09	1	-4	-722
0	0.09	1	0.05	0.41	1	-557	-602
0	0.04	1	-	-	-	-493	-602
-	-	-	0.03	0.26	1	-418	-602
0	0.01	1	0	0.01	0.4	-214	-602
0	0.09	1	0.06	0.83	1	-64	-602
0	0.09	1	0.09	1.85	1	-4	-602
0.03	0.2	1	-	-	-	-493	-557
-	-	-	0.11	0.68	1	-418	-557
0	0.02	0.19	0.23	1.41	1	-214	-557
0.92	11.41	1	0.77	6.33	1	-64	-557
0.05	0.68	1	0.03	0.14	1	-4	-557
0	0.09	1	-	-	-	-214	-493
0.02	0.14	1	-	-	-	-64	-493
0.02	0.44	1	-	-	-	-4	-493
-	-	-	0	0.01	1	-214	-418
-	-	-	0.08	0.57	1	-64	-418
-	-	-	0	0.09	1	-4	-418
0.01	0.03	0.22	0.16	1.17	1	-64	-214
0.01	0.03	0.22	0.01	0.19	1	-4	-214
0.05	0.87	1	0.04	0.21	1	-4	-64

الجدول (59) يظهر مقارنة قيم ( $r^2$ , LOD, D') بين مواقع في منطقة المعزاز من مورثة الفيكولين 2 في دراستنا و الدراسة الافريقية.

إذا فقد أظهرت المجموعة السورية بعض التعدادات الشكلية المختلفة عن تلك الموجودة في المجموعة الافريقية وهذا غير مستهجن بما أن الجمهوريتين الجينيتين من أصول وأعراق مختلفة وكذلك الحال من مناطق جغرافية مختلفة.

ولدى مقارنة دراستنا مع دراسة أخرى أجريت في الدانمرك شملت منطقة المعزاز و كامل المناطق المترجمة من مورثة الفيكولين 2، تماثلت بعض الـ SNP بتواترها بين مجموعتنا وبعض المجموعات المدروسة واختلفت عن بعضها الآخر (الجدول 60) وهذا يؤكد أن المتغيرات في جينة الفيكولين 2 تختلف باختلاف المناطق الجغرافية (198).

الموقع	الأليل الأكبر	الأليل الأصغر	رقم تنصيب الـ SNP	المنطقة	تغير الحمض الأميني	الدانمرك n=60	الموزامبيق n=50	غانا n=50	اليابان n=50	الأرجنتين n=50	دراستنا N=40
تواتر الأليل الأصغر											
-1249	C	A	ss76901556	Promoter		0	0.13	0.13	0	0	0
-1232	T	C	ss76901557	Promoter		0	0.01	0	0	0.02	0
-1012	A	G	ss76901558	Promoter		0	0.01	0.01	0	0	0
-1004	C	A	ss76901559	Promoter		0	0	0.01	0	0	0
-986	G	A	rs3124952	Promoter		0.49	0.24	0.2	0.12	0.45	0.50
-959	G	A	ss76901560	Promoter		0	0.05	0	0	0	0
-902	C	A	rs3811143	Promoter		0	0.02	0	0.12	0.02	0
-602	G	A	rs3124953	Promoter		0.2	0.02	0	0.1	0.22	0.29
-557	A	G	rs3811140	Promoter		0.11	0.18	0.31	0.14	0.17	0.11
-251	G	A	ss76901561	Promoter		0	0.13	0.12	0	0	0
-214	G	A	rs12344051	Promoter		0	0.05	0.06	0	0	0.03
-171	C	T	rs3811139	Promoter		0	0	0	0.06	0	0
-64	A	C	rs28969369	Promoter		0.06	0.22	0.32	0.15	0.16	0.14
-4	A	G	rs17514136	Promoter		0.24	0.22	0.2	0.04	0.2	0.2
33	C	T	ss76901562	Exon 1	Gly11Gly	0	0.1	0.08	0	0	0

الموقع	الأليل الأكبر	الأليل الأصغر	رقم تنصيب الـ SNP	المنطقة	تغير الحمض الأميني	الدانمرك <i>n=60</i>	الموزامبيق <i>n=50</i>	غانا <i>n=50</i>	اليابان <i>n=50</i>	الأرجنتين <i>n=50</i>	دراستنا <i>N=40</i>
تواتر الأليل الأصغر											
125	T	C	rs3128627	Intron 1		0.08	0	0	0.01	0	0
1766	G	A	ss76901563	Exon 2	Gly54Gly	0	0.07	0.04	0	0	0
1878	T	C	rs3124955	Intron 2		0.33	0.18	0.17	0.45	0.21	0.38
2472	A	G	rs3128624	Intron 2		0.34	0.3	0.31	0.46	0.21	0.37
2488	T	C	rs4520243	Exon 3	Arg74Arg	0.37	0.3	0.31	0.47	0.21	0.38
2545	G	A	rs7037264	Intron 3		0.43	0.71	0.74	0.45	0.57	0.37
3980	C	T	ss76901564	Intron 4		0	0	0.02	0	0	0
4423	C	T	ss76901565	Exon 5	Arg103Cys	0	0.01	0	0	0	0
4466	G	A	rs12684476	Exon 5	Gly117Ser	0	0	0	0.08	0	0
4526	C	T	ss76901566	Exon 5	Thr137Met	0	0.01	0.01	0	0	0
4588	G	A	ss76901568	Intron 5		0	0.06	0.04	0	0	0
4888	C	T	ss76901569	Intron 5		0	0.01	0.01	0	0	0.01
4957	G	A	ss76901570	Exon 6	Arg147Gln	0	0.01	0	0	0	0
4987	G	A	ss76901571	Exon 6	Arg157Gln	0	0	0	0.01	0	0
5060	C	T	rs34789496	Exon 6	His181His	0.03	0	0.01	0.14	0.19	0
5070	G	A	ss76901572	Exon 6	Ala185Thr	0	0	0	0.01	0	0
5121	G	A	rs12684723	Intron 6		0.13	0.16	0.24	0.15	0.17	0
6359	C	T	rs17549193	Exon 8	Thr236Met	0.25	0.45	0.37	0.04	0.22	0.19

الموقع	الأليل الأكبر	الأليل الأصغر	رقم تنصيب الـ SNP	المنطقة	تغير الحمض الأميني	الدانمرك	الموزامبيق	غانا	اليابان	الأرجنتين	دراستنا
6424	G	T	rs7851696	Exon 8	Ala258Ser	0.1	0.17	0.25	0.14	0.18	0.05
6459	C	T	ss76901573	Exon 8	Asn269Asn	0	0.02	0.02	0	0	0
+6443_4 4	CT	A	rs28357091	Exon 8	Ala264fs	0.01	0	0	0	0	0

**الجدول (60) مقارنة الـ SNP وتواتراتها بين دراستنا والدراسة الدانماركية.**

يتبين من الجدول السابق أن تواترات الـ SNPs في المجموعة العربية أكثر ما تشابه مثيلاتها في المجموعة الدانماركية ماعدا الموقع 64- إذ بلغ تواتر الأليل الأصغر 0.14 في دراستنا مقابل 0.06 في المجموعة الدانماركية.

إن هذه الدراسة هي الأولى من نوعها التي درست التعدد الشكلي في جينة الفيكولين 2 في العالم العربي، وكذلك الأمر الأولى التي درست العلاقة بين هذه المورثة والبروتين التي ترمز له وأحد أكثر الأمراض توطنا في بلادنا، إذ أنه في سوريا تتواجد الليشمانية الحشوية بأعداد قليلة بعكس الليشمانية الجلدية التي تتواجد بأعداد كبيرة حتى أنها يمكن أن تزداد بأي وقت ولأجل هذه المسببات ركزنا في هذه الدراسة على الليشمانية الجلدية.

أما عالميا فعلى الرغم من التقدم الكبير الذي تم إحرازه منذ وصف العالمين ( William Leishman و Charles Donovan) الليشمانية كعامل ممرض جديد سنة 1901-1903، وذلك قبل أن يثبت Ronald Ross علاقته بالمرض ويطلق عليه اسم Leishmania Donovanii حتى الآن ما يزال الغموض يلف الجانب الأكبر من الإراضية والمناعة في هذا المرض.

فمن المعروف أن محصول المرض يتحدد عبر المكونات (العناصر) الثلاثة التي تحكم العلاقة بين المضيف والطفيلي وهذه المكونات هي: الأرضية الجينية للثوي، الاستجابة المناعية، وكذلك القدرة الممرضة للطفيلي (224، 23)، أجريت الكثير من الدراسات عن تأثير السلالات الطفيلية بينما قلة درست العوامل المتعلقة بالثوي.

أخذين بعين الاعتبار الفيزيولوجيا المرضية لخمج الليشمانية، يبدو أن الاستعداد (القابلية) للإصابة يعتمد إلى حد ما على الآلية المبكرة التي تتدخل بالتأثر بين البالعات والطفيلي (221)،

وأن الصيغة الوراثية التي تقود إلى تفعيل البالعات وتفعيل مجموعات من الخلايا التائية يساهم في الاستعداد للمرض (23)، حيث تشكل البالعات ووحيدات النوى المكان الخلوي للطفيلي وبالنتيجة، فإن البلعمة هي خطوة ضرورية للإصابة بالليشمانية والتي تشمل كلا العاملين (العامل الممرض بالإضافة للعوامل التي تتعلق بالمضيف كالتأهيات).

الفيكولين 2 والبروتين الرابط للمانوز من العوامل الطاهية التي ترتبط إلى سطح عوامل ممرضة مختلفة وتتفاعل مع نفس الجزيئات التي سيتم إدخالها للبالعات (225،226)، فبينما تم إثبات ارتباط الـ MBL بسطح الليشمانية ونتيجة لذلك تسهيل دخولها إلى البالعات (227،228) لم تستطع الدراسات المختلفة إظهار ارتباط الفيكولين 2 على سطح الليشمانية بسبب صعوبات تقنية وصعوبات في الطرائق.

بالإضافة إلى ذلك فقد أظهرت الاستقصاءات الكيميائية الحيوية أن الـ MBL الذي يرتبط بالأشكال أمامية السوط لليشمانية يمكن أن يشكل آلية قبط جديدة للطفيلي من قبل البالعات (227،228)، والذي انعكس بالارتباط الجيني بين الأنماط الفردانية التي ترمز لمستوى عالي من البروتين MBL في الدم المحيطي والإصابة بالليشمانية الحشوية حيث ارتبط المستوى العالي منه مباشرة بتطور ليشمانية حشوية لدى الإصابة بالليشمانية الشاغاسية (229)، وكذلك الأمر انعكس هذا الارتباط بين الأنماط الوراثية التي ترمز لمستوى عالي منه والإصابة بالليشمانية الطفلية (230)، بناء عليه فالأشخاص الذين لديهم عوز في البروتين الرابط للمانوز لديهم حماية ضد دخول الليشمانية إلى خلايا الثوي وفعله هنا كفعل التعدد الشكلي للـ MBL في العديد من الأمراض الخمجية الجرثومية (231،232).

الفيكولين من الجزيئات الهامة في تمييز وتصفية العوامل الممرضة خلال المرحلة الأولى والمراحل المتعاقبة من الدفاع المناعي، وقد أثبت أن الفيكولين 2 يميز عوامل ممرضة مختلفة هامة سريريا تتضمن الجراثيم ايجابية الغرام مؤديا إلى تفعيل المتممة عبر سبيل اللكتين وعند ارتباطه بالبحين المناسب من السكريات أو عديدات السكريات على السطوح الجرثومية، كما ويتصرف كطاهيا بتوسطه تحطمها بالبلعمة، هناك الكثير من الجزيئات المرافقة للعوامل الممرضة كثيرة والتي يستطيع الفيكولين تمييزها منها الليبو تيكيوك أسيد، البيبتيدوغليكان وعديدات السكر وهكذا وبما أن للفيكولينات فعل مشابه كالـ MBL فمن الممكن أن يكون للفيكولين 2 دورا بيولوجيا هاما في تفاعل الليشمانية مع المضيف وهذا بحد ذاته له دور بالصورة السريرية للمرض.

فبينما لم نجد فروق بتكرارات الآلائل بين مجموعتي المرضى والشواهد، وجدنا ارتفاع النمط الوراثي TT عند الشواهد، كما وجدنا اختلافات عديدة بين مرضى الليشمانيّة المزمنة والشواهد: فقد ارتفع تواتر الأليل A في الموقع 986- والأليل G في الموقع 4- وكذلك الأليل G في الموقع 6424+ هذه الآلائل التي ترفع تركيز الفيكولين 2 (152، 203) في الدم ارتفعت تواتراتها عند مرضى الليشمانيّة الجلدية المزمنة بالمقارنة مع الشواهد، بالإضافة لارتفاع النمط الوراثي AA في الموقع 986- وانخفاضه في الموقع 4-، وارتفاع تواتر النمط الوراثي GG في الموقع 6424+ عند المرضى المزمنين بالمقارنة مع الشواهد هذه الأنماط التي أثبتت علاقتها مع ارتفاع التركيز المصلي لبروتين الفيكولين 2 في المصل (152، 203)، كل هذه النتائج تتماشى مع الدور السلبي لهذا البروتين في الإصابة بالليشمانيّة.

قمنا أيضا بدراسة توزع الأنماط الفردانية كونها تؤثر على المستوى المصلي لهذا البروتين (203)، فوجدنا ارتفاع النمطان AGA،AGAG اللذان يرمزان للمستوى الطبيعي من بروتين الفيكولين عند المرضى بالمقارنة مع الشواهد، وكذلك الحال ارتفع النمطان الفردانيان AGG،AGGG اللذان يرمزان لمستوى عال من الفيكولين 2 عند مرضى الليشمانيّة الجلدية المزمنة بالمقارنة مع الشواهد، بينما انخفض النمطان الفردانيان GGA،GGAT اللذان يرمزان لمستوى منخفض من الفيكولين 2 في الدم عند المرضى المزمنين بالمقارنة مع الشواهد.

هكذا فإن انخفاض الفيكولين 2 يمكن أن يكون له دور مفيد في الحماية من الليشمانيّة الجلدية وذلك كما يفعل MBL والتعدد الشكلي في مورثته في بعض الإنتانات الجرثومية (231، 232)، فالمستويات العالية من الفيكولين 2 تزيد الاستعداد للإصابة بالليشمانيّة الجلدية المزمنة، بينما تمثل المستويات المنخفضة عامل حماية من هذا الشكل، يبدو أن القوى الانتقائية selective forces قد قامت بدور مماثل لما قامت به المتصورات النشيطة التي ساعدت على وجود الخضاب المنجلي في أفريقيا بنسبة عالية (233)، قامت هنا في حالة الليشمانيّة الجلدية بضغط انتقائي إيجابي على الأنماط الفردانية لمورثة الفيكولين 2 وهذا يلعب دورا واقيا ضد المرض.

هكذا يبدو أن للفيكولين 2 دوران متعاكسان في سيرورة الأمراض الانتانية، فبينما ارتبط عوز الفيكولين 2 مع الانتانات التنفسية المتكررة التي قد تترافق أو تتزامن مع اضطرابات تأتبية عند الأطفال (163، 205)، وكذلك الحال مع الخداج وانخفاض وزن الولادة والانتانات ماحول الولادة (208)، كما لعب الفيكولين 2 دورا واقيا في الاستعداد للإصابة بالجذام حيث انخفض النمط الفرداني AGAG للمواقع 6424+/4-/-986- الذي يترافق مع المستوى الطبيعي من الفيكولين في الدم على التوالي عند مرضى الجذام (211)، كما مثل الفيكولين 2 عاملا واقيا ضد

الإصابة بحمى الروماتزم وضد تطور حمى الروماتزم (الرتوية) وأمراض القلب الروماتويدية المزمنة في دراسات أخرى (212)، وذلك على النقيض تماما من دراستنا إذ شكل الفيكولين 2 عامل خطورة للإصابة بالليشمانية مما يشكل دليلا جينيا على الاختلاف أو التناقض في وظيفة التعدد الشكلي للفيكولين 2 في الليشمانية الجلدية.

هكذا فإن التشابه بين البروتين الرابط للمانوز والفيكولين 2 في البنية والعمل ارتقى إلى تشابه وظيفي على مستوى الإصابة بالليشمانية فبينما ارتبط المستوى المصلي للبروتين الرابط للمانوز بإمكانية تطوير ليشمانية حشوية لدى الإصابة بالليشمانية الشاغازية وذلك بتعديل انتاج السيستوكينات من عامل نخرة الأورام ألفا والانترولوكين 6 من قبل البالعات المصابة بالليشمانية الشاغازية، ارتبط مستوى الفيكولين 2 بالإصابة بالليشمانية الجلدية وقد يكون بنفس الآلية، من جهة أخرى تشير الدراسات إلى أن البروتين الرابط للمانوز يعدل الصورة السريرية للإصابة بالليشمانية الشاغازية وكذلك الحال عمل البالعات المصابة، وأن النمط الجيني يمكن أن يتكهن عن خطورة تطوير إصابة بالليشمانية الحشوية والمضاعفات السريرية لليشمانية الشاغازية (227،229).

تشير دراستنا إلى أن النمط الفردي الوظيفي للفيكولين 2 يؤثر على الاستعداد للإصابة بالليشمانية الجلدية كما يؤثر على تطورها السريري باتجاه الإزمان، وكما أن للبروتين الرابط للمانوز دور ثنائي ومتعاكس الذي يفسر تارة محاسنه وتارة أخرى مساوئه في العديد من الأمراض، فإن التعدد الشكلي وبالتالي المستوى المصلي للفيكولين 2 يحمي من بعض الأمراض ويؤهب لبعضها الآخر.

أخيرا جعلنا هذه النتائج نفترض أن النمط الفردي للشخص يتدخل في تحديد مستقبل العدوى الجلدية لطفلي الليشمانية نحو إصابة جلدية أو لا كذلك يؤثر على تطور هذه الآفة نحو الإزمان وأن الفيكولين قد يكون عاملا إضافيا يساهم بسهولة إجتياح الليشمانية للبالعات.

على الرغم من أن دور الفيكولين 2 في التفاعل بين سطح الليشمانية وخلايا المضيف بحاجة إلى تأكيد كما سبق وأكد دوره في الارتباط بالمتقبيات الإفريقية (234)، فقد كشفت هذه الدراسة عن دور لهذه الجزيئة في الليشمانية وقدمت مثالا آخر كيف تكون تغيرات شكلية ضارة ظاهريا مفيدة في جمهرة ما.



## 2-8- الخلاصة Conclusion:

هدف البحث إلى دراسة التعدد الشكلي في جينة الفيكولين 2 التي تتدخل في المناعة الطبيعية عبر البروتين الذي ترمز له وذلك عند مرضى أثبتت إصابتهم بالليشمائية الجلدية، والبحث عن علاقة ممكنة بين توزع الآلائل، الأنماط الوراثية، الأنماط الفردانية والإصابة بالليشمائية.

تضمنت دراسة الحالة-الشاهد هذه 235 مريضا مصابا بأشكال مختلفة من الليشمائية الجلدية، و232 شاهدا ينتمي المرضى والشواهد لنفس السوية الاجتماعية ونفس المنطقة الجغرافية.

أجريت هذه الدراسة على مرحلتين: الأولى في سوريا حيث جمعت عينات الدراسة واستخلص الـ DNA في مخبر البحوث والاستشارات الوراثية في كلية الطب-جامعة دمشق، بينما أكملت المرحلة الثانية في قسم الطفيليات البشرية- معهد الطب المداري- جامعة توبنجن- ألمانيا، حيث أجريت الخطوات المتبقية وباستخدام طرق البيولوجيا الجزيئية الحديثة وهي الـ Real Time PCR على جهاز الـ Roter Gene 3000 باستخدام مسبار الـ TaqMan وهي من الطرق الحديثة والسريعة لكشف التعدد الشكلي في المورثات، كما استخدمت تقانة تحديد التتابع النوكليوتيدي DNA sequencing على جهاز sequencer analyzer 3100 ويتم البدء بهذه التقانة بإجراء PCR باستخدام مشروعات الخاصة بكل أكزون ثم ترحيل نواتج الـ PCR ومن بعدها تنقية هذه المنتجات وبعد هذه المرحلة يجرى التأكد من جودتها وذلك بالترحيل على جيل الأغاروز وقياس تركيز الـ DNA قبل إجراء الـ Cycle sequencing وهي عبارة عن تفاعل سلسلي بوليميرازي خاص تستخدم فيه نوكلوتيدات معلمة بالفلور ddNTP's بالإضافة للنوكلوتيدات الطبيعية dNTP's بوجود إحدى المشرعتين ليجرى بعدها كخطوة أخيرة تنقية لنواتج التفاعل قبل إدخال العينات على جهاز الـ Sequencer وبعد الحصول على النتائج يتم تحليلها بواسطة برنامج Bio Edit .

تم تعيين عدة مناطق SNP جديدة وذلك من خلال تحديد التسلسل النوكليوتيدي لمنطقة محفز النسخ ولكامل المناطق المترجمة من المورثة وعددها ثمانية إكزونات عند 40 عينة من عينات الشواهد: اثنين من هذه التغيرات تؤدي إلى تغييرات في الحموض الأمينية المرمزة لها: الأول في الاكزون 6 (T>C4986+) والذي يؤدي إلى تغيير الحمض الأميني 157 من أرجنين Arg إلى تريبتوفان Trp، والتعدد الشكلي الثاني وقع في الاكزون الثامن (A>G6584+) مؤديا إلى تغيير الحمض الأميني في الموقع 311 من أرجنين إلى غليسين.

في دراسة هذه قمنا بتحليل الـ SNPs الوظيفية في منطقة المعزاز والاكزون الثامن والمعروف عنها بتأثيرها على المستوى المصلي للفيكولين 2، لم نجد فرقا بتوزع الـ SNPs في المناطق

(rs3124952، rs3124953، rs17514136) الموجودة بمنطقة المعزاز بين المرضى والشواهد. بينما وبالنظر للتعدد الشكلي في الاكزون الثامن (rs7851696) وجدنا فرق ذو مغزى إحصائي في الأنماط الوراثية بين المرضى والشواهد إذ وجد 5 أشخاص متوافقي اللواقح TT بين عينات الشواهد وعددها 232 والذي ينتج عنه الحمض الأميني سيرين بدل الآلانين في الموقع 258 مؤديا لانخفاض المستوى المصلي للبروتين الناتج ولم نجد ولا حالة عند مجموعة المرضى وعددها 235.

كما قمنا بدراسة الأنماط الفردانية حيث حسبت هذه الأنماط وتواتراتها باستخدام برنامج Arlequin و ثم باستخدام برنامج الـ Stata قمنا بمقارنة تواترت الأنماط الفردانية بين مجموعة المرضى والشواهد فوجدنا ارتفاع النمطان الفردانيان AGA,AGAG المرمران لمستوى طبيعي من الفيكولين 2 في الدم عند المرضى بالمقارنة مع الشواهد وكذلك الحال ارتفاع النمطان الفردانيان AGG,AGGG للذان يرمزان لمستوى عال من الفيكولين 2 عند مرضى الليشمانية الجلدية المزمنة بالمقارنة مع الشواهد، بينما انخفض النمطان الفردانيان GGA,GGAT للذان يرمزان لمستوى منخفض من الفيكولين 2 في الدم عند مرضى الليشمانية الجلدية المزمنة بالمقارنة مع الشواهد، بالإضافة لاستمرار ارتفاع النمطان AGA,AGAG عند مرضى الليشمانية الجلدية المزمنة بالمقارنة مع الشواهد، والجديد في دراسة حالات الإزمان هذه هو ارتفاع تواتر الأليل A في الموقع 986- والأليل G في الموقع 4- وكذلك الأليل G في الموقع 6424+ هذه الآلائل التي ترفع تركيز الفيكولين 2 في الدم بالإضافة لارتفاع النمط الوراثي AA في الموقع 986- وانخفاضه في الموقع 4- وكذلك ارتفاع تواتر النمط الوراثي GG في الموقع 6424+ في حالات الإزمان وهذا يتماشى مع نتائج الآلائل والأنماط الفردانية.

هكذا فإن إنخفاض مستوى الفيكولين 2 يمكن أن يكون له دور مفيد في الحماية ضد الليشمانية وأن المستويات العالية تزيد الاستعداد للإصابة بالليشمانية الجلدية المزمنة، بينما تمثل المستويات المنخفضة عامل حماية من هذا الشكل من الإصابة.

وبما أن الأمراض الخمجية هي القوة المحركة الرئيسية للمحافظة (بقاء واستمرار) على التعدد الشكلي للعديد من الجينات التي تؤثر على مقاومة الثوي والمثال التقليدي للقوى الانتقائية هو الملاريا المنجلية المسؤولة عن استمرار التناقض بوجود الخضاب المنجلي بتواتر عالي في أفريقيا، وكما هو الحال بالنسبة للبروتين الرابط للمانوز، فإن نتائج دراستنا تقترح إلى أن دورا مماثلا لليشمانية كقوة محركة في الانتقاء الإيجابي للأنماط الفردانية المسؤولة عن المستوى المنخفض للفيكولين، قد يكون ذلك بمساعدة عوامل أخرى مجهولة قد تكون عوامل ممرضة

داخل خلوية تؤثر على التعدد الشكلي في الفيكولين، وهذا يشكل ميزان ضد التأثيرات غير المستحبة لعوز الفيكولين كالاستعداد للانتانات التنفسية المتكررة عند الأطفال أو الإصابة بالجذام وغيرها.

هكذا يمكن أن يشكل التعدد الشكلي في جينة الفيكولين 2 مثالا آخر على التناقض يبدو أنه مشابه للخضاب المنجلي والبروتين الرابط للمانوز ومن الواضح أنه يجب اختبار صحة هذه النظرية بتنميط دنا الفيكولين 2 على مجموعات أكبر من المرضى والشواهد.

إذا قدمنا في هذه الدراسة دليلا على أن النمط الفردي الوظيفي للفيكولين المترافق مع مستوى طبيعي من الفيكولين في الدم يزيد تأهب الشخص للإصابة بالليشمانيّة، والأنماط الفردانية المرمزة لمستوى عالي منه تزيد التأهب للشكل المزمن بينما تمثل الأنماط الفردانية المرمزة لمستوى منخفض منه عامل حماية ضد تطور داء الليشمانيات الجلدية باتجاه الإزمان.

وبالمخلص فإن نتائج دراستنا أشارت إلى الدور الهام للتعدد الشكلي في جينة الفيكولين 2 في الاستعداد للإصابة بالليشمانيّة الجلدية وشكلها المزمن، وأن الفيكولين 2 قد يكون عامل إضافي يساهم باجتياح الليشمانيّة للبالعات.

## 2-9-التوصيات Recommendations:

- بسبب غياب دراسات مشابهة عن علاقة التعدد الشكلي في جينة الفيكولين 2 وتطور الأشكال المختلفة من الليشمانيّة الجلدية لذلك يوصى بدراسات أخرى لجمهورات أخرى أكبر، كما يوصى أيضا باختبار نتائجنا في عينة بأعداد أكبر من حالات الإزمان.
- دراسة وظيفية لسلوك البالعات في مواجهة طفيلي الليشمانيّة بوجود تراكيز مختلفة من الفيكولين 2.
- دعم التعاون الدولي والاقليمي للمزيد من الأبحاث الجديدة حول هذا الداء.
- تطوير استخدام التقانات الحديثة في مجال الليشمانيّة ووضعها موضع التطبيق.
- إجراء أبحاث معمقة عن علاقة عوامل المضيف الأخرى بالإصابة بالليشمانيّة.
- الأخذ بعين الاعتبار التعدد الشكلي للفيكولين 2 لدى دراسة الأليات المرضية للأمراض الخمجية والمناعية الذاتية.
- دراسة العلاقة بين مستوى الفيكولين 2 المصلي والأمراض الخمجية المختلفة.

## References:

- 1-Cox Francis EG (1996). The Wellcome Trust illustrated history of tropical diseases. London: The Wellcome Trust. pp. 206-217.
- 2-Leishmaniasis:background information. [www.who.int/entity/leishmaniasis/en-WHO](http://www.who.int/entity/leishmaniasis/en-WHO). Retrieved on 04-07-2007.
- 3-Garcia Rivas L (1993). Leishmaniasis visceral or Kala-azar. *Dermatol Venezolana* 31:39-46.
- 4-Cunningham DD (1885). On the presence of peculiar parasitic organisms in the tissue of a specimen of Delhi boil. Scientific memoirs officers Medical Sanitary Departments Government India. Calcutta: Printed by the superintendent of government printing, India. pp. 21–31.
- 5-Cox FE (2002). History of human parasitology. *Clin Microbiol Rev* 15(4):595–612.
- 6-Herwaldt BL (1999). Leishmaniasis. *Lancet* Oct2;354(9185):1191-1199.
- 7-Dedet JP (2005). Stages in the identification of phlebotomine sandflies as vectors of leishmaniasis and other tropical diseases. *Parasitologia* Dec;47(3-4):291-295.
- 8-Ismail MT, Alkafri A (2008). Medical fungi and parasitology. Publication of Damascus University .Chapter 7;pp. 105-124.
- 9-World Health Organization (1984). The Leishmaniasis. Report of the WHO expert committee. technical report series 701.
- 10-World Health Organization (1990). Control of Leishmaniasis: Report of WHO Expert Committee. technical report series 793.
- 11-Balaj SS. Study of Differentiation of Cutaneous Leishmaniosis Strains in Aleppo using Antibodies (2001). Thesis submitted for Doctorate in Zoology. University of Aleppo, Faculty of Science, Syria.
- 12-Ashford RW (2000). The leishmaniasis as emerging and reemerging zoonoses. *Int J Parasitol* Nov;30(12-13):1269-1281.
- 13-Lipoldova M, Demant P (2006). Genetic susceptibility to infectious disease: lessons from mouse models of leishmaniasis. *Nat Rev Genet* 7:294-305.
- 14-Tulane University Vector of Protozoan Parasites.[www.tulane.edu/wiser/notes](http://www.tulane.edu/wiser/notes) Html. Retrieved on 25 May 2007.
- 15-Bates PA (2007). Transmission of Leishmania metacyclic promastigotes by phlebotomine sand flies. *Int J Parasitol* Aug;37 (10):1097-1106.
- 16-Gillespie RD, Mbow ML, Titus RG (2000). The immunomodulatory factors of blood feeding arthropod saliva. *Parasite Immunol* 22:319-331.

- 17-Klaus SN, Frankenburg S, Dhar AD (2003). Leishmaniasis and other protozoan infections. Fitzpatrick's Dermatology In General Medicine. Sixth edition pp.2215-2221.
- 18-Paul W (1995). Infectious diseases and immune system. Scientific American Magazine 11(10):35-48.
- 19-Malla N, Nahajan RC (2006). Pathophysiology of visceral leishmaniasis-some recent concepts. Indian J Med Res March 123:267-274.
- 20-Magill A, Grögl M, Gasser RA, Wellington S, Oster CN (1993). Visceral infection caused by *Leishmania tropica* in veterans of operation Desert Storm. The N Engl J Med 328(19):1383-1387.
- 21-Baldwin TM , Elso C, Curtis J, Buckingham L, Handman E (2003). The site of *Leishmania* major Infection Determine Disease Severity and Immune Responses. Infect Immun Dec;71(12):6830-6834.
- 22-Cerf BJ, Jones TC, Badaro R, Sampaio D, Carvalho EM, Rocha H, Texeira R, Johnson Jr WD (1987). Malnutrition as a risk factor for severe visceral leishmaniasis. J Infect Dis 156:1030-1032.
- 23-Blackwell JM (1996). Genetic susceptibility to leishmanial infections: studies in mice and man. Parasitology 112 Suppl:S67–74.
- 24-Domínguez M, Moreno I, Aizpurua C, Toraño A (2003). Early mechanisms of *Leishmania* infection in human blood. Microbes and Infection 5:507–513.
- 25-Navin TR, Krug EC, Pearson RD (1998). Effect of immunoglobulin M from normal human serum on *Leishmania donovani* promastigote agglutination, complement-mediated killing, and phagocytosis by human monocytes. Infect Immun 57:1343–1346.
- 26-Nunes AC, Ramalho-Pinto FJ (1996). Complement resistance of *Leishmania amazonensis* promastigotes is independent of parasite proteases and lysis by sensitive forms is not due to natural antibodies in normal human serum. Braz J Med Biol Res 29:1633–1640.
- 27-Green PJ, Feizi T, Stoll M S, Thiel S, Prescott A, McConville MJ (1994). Recognition of the major cell surface glycoconjugates of *Leishmania* parasites by the human serum mannan-binding protein. Mol Biochem Parasitol 66:319–328.
- 28-Laufs H, Müller K, Fleischer J, Reiling N, Jahnke N, Jensenius JC, Solbach W, Laskay T (2002). Intracellular Survival of *Leishmania major* in Neutrophil Granulocytes after Uptake in the Absence of Heat-Labile Serum Factors. Infect Immun February; 70(2):826–833.
- 29-Stobie L, Gurunathan S, Prussin C, Glaichenhaus N, Wu CY, Seder RA (2000). The role of antigen and IL-12 in sustaining Th1 cell in vivo: IL-12 is required to maintain memory effector Th1 cells sufficient to mediate protection to an infectious parasite challenge. Proc Nat Acad Sci USA. 97:8427 .

- 30-Wnag ZE, Reiner SL, Zheng S, Dalton DK, Locksley RM (1994). CD4 effector cells default to the Th2 pathway in interferon gamma –deficient mice infected with leishmania major. *J Exp Med* 179:1367-1371.
- 31-Roberts MTM (2006). Current understandings on the immunology of leishmaniasis and recent developments in prevention and treatment. *British Medical Bulletin* 75-76:115–130.
- 32-Kemp M, Hey AS, Kurtzhals JA, Christensen CB, Gaafar A, Mustafa MD, Kordofani. A A, Ismail A, Kharazmi A, Theander TG (1994). Dichotomy of the human T cell response to Leishmanis antigens. I.Th1 –like response to major promastigote antigens in individuals recovered from cutaneous leishmaniasis. *Clin Exp Immunol* 96:410-415.
- 33-Tripathi P, Singh V, Naik S (2007). Immune response to leishmania: paradox rather than paradigm. *FEMS Immunol Med Microbiol* 51:229–242.
- 34-Stenger S, Thuring H, Rollinghoff M, Bogdan C (1994). Tissue expression of inducible nitric oxide synthesis is closely associated with resistance to leishmania major. *J Exp Med* 180 (3):783-793.
- 35-Brandonisio O, Panaro MA, Sisto M (2000). Interactions between Leishmania parasites and host cells. *Parassitologia* Dec;42(3-4):183-190.
- 36-Noben-Trauth N, Lira R, Nagase H, Paul WE, Sacks DL (2003). The relative contribution of IL-4 receptor signaling and IL-10 to susceptibility to Leishmania major. *J Immunol* 170:5152-5158 .
- 37-Alvar J, Caanavate C, Gutierrez-Solar B, Jiménez M, Laguna F, López-Vélez R, Molina R, Moreno J (1997). Leishmania and human immunodeficiency virus coinfection :the first 10 years. *Clin Microbiol Rev* 10:298-391.
- 38-Alexander J, Bryson K(2005). T helper (h)1/Th2 and Leishmania: paradox rather than paradigm. *Immunology Letters* 99:17-23.
- 39-Sadeghian G, Momeni A, Siadat AH, Usefi P (2006). Evaluation of leishmanin skin test and its relationship with the clinical form and duration of cutaneous leishmaniasis. *Dermatol Online J* Dec 10;12(7):3.
- 40-Anders G (2003). PCR Diagnosis of Leishmaniasis in Israel and the West Bank Development of a field applicable procedure useful for epidemiological studies. Dissertation to obtain the academic degree medicinae doctor (MD). Medical Faculty Charité ,Humboldt-Universität, Berlin Germany.
- 41-Vega-Lopez F, Hay RJ (2004). Parasitic Worms and Protozoa. *Rook's textbook of dermatology*. Seventh edition Mar;123(3):295-310.
- 42-Mehregan DR, Amir H, David A (1999). Histological Diagnosis of Cutaneous Leishmaniasis. *Pinkus Dermatopathology Laboratory*. Elsevir,Newyork:297-304.
- 43-Raja KM, Khan AA, Hameed A, Rahman SB (1998)."Unusual clinical variants of cutaneous leishmaniasis as in Pakistan". *Br J Dermatol* Jul;139(1):111-113.

- 44-Uzun S, Acar MA, Uslular C, Kavukcu H, Aksungur VL, Culha G, Gurel MS, Memisoglu HR (1999). Uncommon presentation of cutaneous leishmaniasis as eczema-like eruption. *J Eur Acad Dermatol Venereol* 12(3):266-268.
- 45-Salmanpour R, Handjani F, Zerehsaz F, Ardehali S, Panjehshahin MR (1999). Erysipeloid Leishmaniasis: an unusual clinical presentation. *Eur J Dermatol* Sep;9(6):458-459 .
- 46-Desjeux P (1999). Global control and Leishmania HIV co-infection. *Clinics in Dermatology* 17(3):317-325.
- 47-Kamhawi S, Abdel-Hafez SK, Arbaji A (1995). A new focus of cutaneous leishmaniasis caused by leishmania tropica in northern Jordan. *Trans R Soc Trop Med Hyg.* May-Jun;89(3):255-257.
- 48-Ismail MT, Pesson B (1992). Study of phlebotomus sandflies in Syria. *Bull Soc Pathol Exot* 85(4):317-321.
- 49-Lepine P (1926). Trois cas Syriens de Kala-Azar infantile. *Bulletin de la societe de pathologie exotique* 19:429-431.
- 50-Adler S, Theodor O (1929). The distribution of sandflies and leishmaniasis in Palestine, Syria, and Mesopotamia. *Annals of Tropical Medicine and Parasitology* 23:269-306.
- 51-Berberian DA (1958). Problems epidemiologiques relatives a la transmission du boutons. sixteenth congress of tropical medicine and malaria, Lisbon.
- 52-Corradetti A (1976). Information on leishmaniasis collected in Lebanon, Syria, Iraq and Turkey during September and October 1965. Geneva:World Health Organization, Mimeographed document no.WHO/LEASH/67.6
- 53-Abdou AH, Chehade A, Zein El-Din (1976). Past and present situation of cutaneous leishmaniasis (Aleppo boil) in Syria. *Bulletin of Alexandria Faculty of Medicine*12:41-49.
- 54-Ministry of health Health Statistical Abstract, Syrian Arab Republic (Fifth Issue)(2009).
- 55-Khiami A, Dereure J, Pratlong F, Martini A, Rioux JA (1991). Human Cutaneous leishmaniasis caused by Leishmania Major MON-26 in the region of Damascus Syria. *Bulletin Societe de Pathologie Exotique* 84(4):340-344.
- 56-Rioux JA, Ashford RW, Khiami A (1992). Ecoepidemiology of leishmaniasis in Syria. 3 Leishmania major infection in Psammomys obesus provides clues to life history of the rodent and possible control measures. *Ann Parasitol Hum Comp* 67(6):163-165.
- 57-Dereure J, Rioux JA, Khiami A, Pratlong F, Perieres J, Martini A (1991). Ecoepidemiologie des leishmanioses en Syrie 2– presence, chez le chien, de leishmania infantum. *Ann Parasitol Hum comp* 66(6):255-252.

- 58-Rioux JA, Le Ger N, Haddad N, Gramiccia M, Jalouk L, Dereure J, ALkiami A, Desjeux P (1998). Infestation naturelle de phlebotomus tobbi par Leishmania donovani en Syrie. *Parasitologia* 40 (supple):148-50.
- 59-Desjeux P (2004). Leishmaniasis current situation and new perspectives. *Copm Immunol Microbiol Infect Dis* 27(5):305-323.
- 60-Shabaan M, Nahhas S (2003). Epidemiological of Cutaneous Leishmaniasis of cases from dermatology hospital and general clinic in Damascus. *Damas Univ J Bas Sci* 19(1):113-124.
- 61-Rodriguez N, Guzman B, Rodas A, Takiff H, Bloom BR, Convit J (1994). Diagnosis of cutaneous leishmaniasis and species discrimination of parasites by PCR and hybridization. *J Clin Microbiol* 32(9):2246-2252.
- 62-Zijlstra EE, Siddig Ali M, El-Hassan AM, El-Toum IA, Satti M, Ghalib HW, Kager PA (1992). Kala-azar: a comparative study of parasitological methods and the direct agglutination test in diagnosis. *Trans R Soc Trop Med Hyg* 86:505-507.
- 63-Nahhas S (2006). Isoenzyme Typing and Leishmaniasis Diagnosis. *J Lab diag* 4(2).
- 64-Andresen K, Gaafar A, El-Hassan AM, Ismail A, Dafalla M, Theander TG, Kharazmi A (1996). Evaluation of the polymerase chain reaction in the diagnosis of cutaneous leishmaniasis due to *Leishmania major*: a comparison with direct microscopy of smears and sections from lesions. *Trans R Soc Trop Med Hyg* 90:133-135.
- 65-Arana BA, Roca M, Rizzo NR, Mendoza CE, Kroeger A (1999). Evaluation of a Standardized Leishmanin Skin Test in Guatemala. *Trans R Soc Trop Med Hyg* Jul-Aug;93:43-45.
- 66-Kalter DC (1994). Laboratory tests for the diagnosis and evaluation of leishmaniasis. *Dermatologic clinics* 12:37-50.
- 67-Frankenburg S, Klaus S (1989). Evaluation of a total lymphocyte proliferation assay as a diagnostic tool for cutaneous leishmaniasis. *Trans R Soc Trop Med Hyg* Jul-Aug ;83(4):499-502.
- 68-Alvarado R, Enk C, Jaber K, Schnur L, Frankenburg S (1989). Delayed-type hypersensitivity and lymphocyte proliferation in response to *Leishmania major* infection in a group of children in Jericho. *Trans R Soc Trop Med Hyg* 83:189-192.
- 69-Valli LCP, Passos VMM, Dietze R, Callahau HL, Berman JD, Grogl M (1999). Humoral immune responses among mucosal and Cutaneous Leishmaniasis patients caused by *Leishmania brasiliensis*. *J Parasitol* 85:1076-1083.
- 70-Brito MEF, Mendonca MG, Gomes YM, Jardim ML, Abath FGC (2001). Dynamics of the antibody response in patients with therapeutic or spontaneous cure of American Cutaneous Leishmaniasis. *Trans R Soc Trop Med Hyg* 95:203-206.



- 71-Wilson SM (1995). DNA-based methods in the detection of *Leishmania* parasites: field applications and practicalities. *Ann Trop Med Parasitol* 89( suppl 1):95-100.
- 72-Pizzuto M, Piazza M, Scalamogna C, Calattini S, Corsico L, Persico t, Adriani B, Magni C, Guaraldi G, Gaiera G, Ludovisi A, Gramiccia M, Galli M, Moroni M, Corbellino M, Antinori S (2001). Role of PCR in diagnosis and prognosis of visceral leishmaniasis in patients coinfectd with human immunodeficiency virus type 1. *J Clin Microbiol* 39(1):357-361.
- 73-Agostoni C, Dorigoni N, Malfitano A, Caggese L, Marchetti G, Corona S, Gatti S, Scaglia M (1998). Mediterranean leishmaniasis in HIV-infected patients: epidemiological, clinical, and diagnostic features of 22 cases. *Infection* 26(2):93-99.
- 74-Oskam L, Nieuwenhuijs JL, Hailu H (1999). Evaluation of the direct agglutination test (DAT) using freeze dried antigen for the detection of anti *Leishmania* antibodies in stored sera from various patient groups in Ethiopia. *Trans R Soc Trop Med Hyg* 93:275-277.
- 75-Shaaban M, Hammoud L, Nahhas S (2003). Preliminary Serodiagnosis study to certify the diagnosis of cutaneous leishmaniasis in Syria Damas Univ J Bas Sci 19(2).
- 76-Nahhas S, Shaaban M, Hammoud L, Al-Taweel A, Al-Jorf S (2003). Use of rk39 Test for the Early Detection of Visceral Leishmaniasis in Syria. *Eastern Mediterranean health Journal* 9 (4):99-105.
- 77-Barbosa-de-Deus R, Luyiacute Z, dos Mares-Guia M, Zacarias Nunes A, Morais Costa K, Goncalves Junqueira R, Mayrink W, Genaro O, Pereira Tavares CA (2002). *Leishmania major* -Like Antigen for specific and sensitive serodiagnosis of Human and Canine Visceral Leishmaniasis. *Clin Diag Lab Immun* 6 (9):1361-1366.
- 78-Salotra P, Raina A, Ramesh V (1991). Western blot analysis of humoral immune response to *Leishmania donovani* antigens in patients with post-kala-azar dermal leishmaniasis. *Trans R Soc TropMed Hyg* 93(1):98-101.
- 79-Zorek k (2007). Study of distribution of visceral leishmaniasis antibody in people with high risk at epidemical areas in Idleb. Dissertation to obtain MA degree. Faculty of medicine. Damascus University.
- 80-Bern C, Jha SN, Joshi AB, Thakur GD, Bista MB (2001). Use of the recombinant rK39 dipstick test and the direct agglutination test in sitting endemic for VL in Nepal . *Am J Trop Med Hyg* 65 (5):403-404.
- 81-Delgado O, Feliciangeli MD, Arias J (2001). Value of dipstick based on recombinant Rk39 antigen for differential diagnosis of American visceral leishmaniasis from other sympatric endemic diseases in Venezuela. *Parasite* 8(4):355-357.
- 82-Rioux JA, Lanotte G, Serres E, Pratlong F, Bastien P, Perieres J (1990). Taxonomy of *Leishmania* , use of Isoenzymes. Suggestions for a new classification. *Annl's Parasitol Hum Comp* 65:111-125.

- 83-Gramiccia M, Ben-Ismael R, Gradoni L, Ben Rachid MS, Ben Said M (1991). A *Leishmania infantum* enzymatic variant, causative agent of cutaneous leishmaniasis in north Tunisia. *Trans R Soc Trop Med Hyg* 85(3):370-371.
- 84-Pinto-da-Silva LH, Fampa P, Soares DC, Oliveira SM, Souto-Padron T, Saraiva EM, Pratlong F, Rioux JA, Marty P, Farault –Gambarelli F, Derreure J, Lanotte G, Dedet JP (2004). Isoenzymatic Analysis of 712 Strains of *Leishmania infantum* in the south of France and relationship of Enzymatic polymorphism to clinical and epidemiological features. *J Clin Microbiol* 42(9):4077-4082.
- 85-Zhang WW, Miranda-Verastegui C, Arevalo J, Nado M, Ward B, Llanos-Cuentas A, Matlashewski G (2006). Development of a genetic assay to distinguish between *Leishmania Vianna* species on the basis of isoenzyme differences. *Clin Infect Dis* Mar 15;42(6):801-809.
- 86-Lambson B, Smyth A, Barker DC (2000). *Leishmania donovani*: Development and characterization of a kinetoplast DNA probe and its use in the detection of parasites. *Exp Parasitol* 94:15-22.
- 87-Bensooussan E, Nasereddin A, Jonnas F, Schnur LF, Jaffe CL (2006). Comparison of PCR assays for diagnosis of cutaneous leishmaniasis. *J Clin Apr*;44(4):1435-1439.
- 88-Oliveira JG, Novais FO, De Oliveira CI, da Cruz Junior AC, Campos LF, da Rocha AV, Boaventura V, Noronha A, Costa JM, Barral A (2005). Polymerase chain reaction (PCR) is highly sensitive for diagnosis of mucosal leishmaniasis. *Acta Trop* 94(1):55-59.
- 89-Nasereddin A, Ereqat S, Azmi K, Baneth G, Jaffe CL, Abdeen Z (2006). Serological survey with PCR validation for canine visceral leishmaniasis in northern Palestine. *J Parasitol* Feb;92(1):178-183.
- 90-Martin –Sanchez J, Pineda JA, Morillas-Marquez F, Garcia-Garcia JA, Acedo C, Mascias J (2004). Detection of *Leishmania infantum* at risk for parenterally transmitted infections; relationship between polymerase chain reaction results and other leishmania infection markers. *Am J Trop Med Hyg* 70(5):545-548.
- 91-Jirku M, Zemanova E, Al-jawabrah A, Schonian G, Lukes J (2006). Development of direct specific-specific PCR assay for differential diagnosis of *Leishmania tropica*. *Diagn Microbiol Infect Dis* May ;55(1):75-79.
- 92-Schonian G, Nasereddin A, Dinse N, Schweynoch C, Schalling HD, Presber W, Jaffee CL (2003). PCR diagnosis and characterization of *Leishmania* in local and imported clinical samples. *Diagn Microbiol Infect Dis* 47(1):349-358.
- 93-Gutiérrez-Solar B, Smyth AJ, Alvar J, Barker DC (1995). *Leishmania infantum*: Sequence homology within minicircle classes regardless of geographical distances. *Exp Parasitol* 81:416-419.

- 94-Selvapandiyan A, Duncan R, Mendez J, Kumar R, Salotra P, Cardo LJ, Nakhasi HLA (2008). Leishmania minicircle DNA footprint assay for sensitive detection and rapid speciation of clinical isolates. *Transfusion* Sep;48(9):1787-1798.
- 95-Nasereddin A, Azmi K, Jaffe CL, Ereqat S, Amro A, Sawalhah S, Baneth G, Schönian G, Abdeen Z (2009). Kinetoplast DNA heterogeneity among *Leishmania infantum* strains in central Israel and Palestine. *Vet Parasitol* Apr 6;161(1-2):126-130.
- 96-Berzunza-Cruz M, Cabrera N, Crippa-Rossi M, Sosa Cabrera T, Pérez-Montfort R, Becker I (2002). Polymorphism analysis of the internal transcribed spacer and small subunit of ribosomal RNA genes of *Leishmania mexicana*. *Parasitol Res* 88(10):918-925.
- 97-El Tai NO, Osman OF, El Fari M, Presber W, Schoenian G (2000). Genetic heterogeneity of ribosomal internal transcribed spacer (ITS) in clinical sample of *Leishmania donovani* spotted on filter paper as revealed by single-strand conformation polymorphisms (SSCP) and sequencing. *Trans R Soc Trop Med Hyg* 94:575–579 .
- 98-Tashakori M, Kuhls K, Al-Jawabreh A, Mauricio IL, Schönian G, Farajnia S, Alimohammadian MH (2006). *Leishmania major*: genetic heterogeneity of Iranian isolated by single –strand conformation polymorphism and sequence analysis of ribosomal DNA internal transcribed spacer. *Acta Trop* Apr;98(1):52-58.
- 99-Marfurt J, Nasereddin A, Niederwieser I, Jaffe CL, Beck HP, Felger A (2003). Identification and Differentiation of *Leishmania* Species in Clinical Samples by PCR Amplification of the Miniexon Sequence and Subsequent Restriction Fragment Length Polymorphism Analysis. *J Clin Microbiol* July;41(7):3147-3153.
- 100-Mauricio IL, Stothard JR, Miles MA (2004). *Leishmania donovani* complex: genotyping with the ribosomal internal transcribed spacer and the mini-exon. *Parasitology*. Mar;128(Pt 3):263-267.
- 101-Dawoud HA (2004). Identification of cutaneous leishmaniasis in Egypt by hybridization of PCR amplified mini-exon repeats. *J Egypt Soc Parasitol*. Dec;34(3):881-892.
- 102-Martinz E, Alonso V, Quispe A, Thomas MC, Alonso R, Pinero JE, Gonzalez AC, Ortega A, Valladares B (2003). RAPD method useful for distinguishing leishmania speices: design of specific primers for *L.braziliensis*. *Parasitolgy* 127 (6):513-517.
- 103-Schonian G, Schweynoch C, Zlateva K, Oskam L, Kroon N, Graser Y, Presber W (1996). Identification and determination of the relationships of species and strains within the genus *Leishmania* using single primers in the polymerase chain reaction. *Mol Biochem Parasitol* 77:19–29.
- 104-Eisenberger CL, Jaffe CL (1999). *Leishmania*: identification of Old World species using a permissively primed intergenic polymorphic-polymerase chain reaction. *Exp Parasitol* 91:70–77.

- 105-Andrade HM, Reis AB, Dos Santos SL Volpini AC, Marques MJ, Romanha AJ (2006). Use of PCR –RFLP to identify *Leishmania* speices in naturally- infected dogs. *Vet Parasitol* 140(3-4):231-238.
- 106-Ferroglio E, Romano A, Trisciuoglio A (2006). Characterization of *leishmania infantum* strains in blood samples from infected dogs and humans by PCR-RFLP. *Trans R Soc Trop Med Hyg* Jul;100(7):636-641.
- 107-Hu Xs, Yang WT, Lu HG, Yan HP (2000). Sequencing a specific Kintoplast DNA fragment of *Leishmania donovani* for polymerase chain reaction amplification in diagnosis of leishmaniasis in bone marrow and blood samples. *J Parasitol* 86(4):882-886.
- 108-Alkhawajah A (1998). Recent trends in the treatment of cutaneous leishmaniasis. *Ann Saudi Med* Sep-Oct;18(5):412-416.
- 109-Davidson RN (1998). Practical guide for the treatment of leishmaniasis. *Drugs* Dec;56(6):1009-1018.
- 110-Daoud S.(1994). Treatment of Cutaneous Leishmaniasis by Physical Methods Ar Ed Zeizaphon, SH for MD Research,Damascus.
- 111-Junaaid AJ (1986) .Treatment of cutaneous leishmaniasis with infra-red heat. *Int J Dermatol* 25(7):470-472.
- 112-Reithinger R, Mohsen M, Wahid M, Bismullah M, Quinnell RJ, Davies CR, Kolaczinski J, David JR (2005). Efficacy of Thermootherapy to Treat Cutaneous Leishmaniasis Caused by *Leishmania tropica* in Kabul, Afghanistan: A Randomized Controlled Trial. *Clinical Infectious Diseases* 40:1148–1155.
- 113-Gardlo K, Hanneken S, Ruzicka T, Neumann NJ (2004). Photodynamic therapy of cutaneous leishmaniasis. A promising new therapeutic modality. *Hautarzt* 55:381–383.
- 114-Karrer S, Szeimies RM (2007). Photodynamic therapy: non –oncologic indications. *Hautarzt* Jul;58(7):585-596.
- 115-Sharquie KE, Hammamy H, El-Yasin D (1998). Treatment of cutaneous leishmaniasis by direct current electrotherapy: the Baghdadin device. *J Dermatol* 25:234-237.
- 116-Braun Falco O, Wolff HH, Plewig G, Winkelmann RK (1995). "Disease caused by Protozoa. *Dermatology*, Berlin: Springer-Verlag, PP 180-185.
- 117-Ameen M (2007). Cutaneous leishmaniasis: therapeutic strategies and future directions. *Expert Opin pharmacother* Nov;8(16):2689-2699.
- 118-Croft SL, Yardly V (2002). Chemotherapy of Leishmaniasis. *Cuee Pharm Des* 8(4):319-342

- 119-Khamesipour A, Rafati S, Davoudi N, Maboudi F, Modabber M (2006). Leishmaniasis vaccine candidates for development a global overview. *Indian J Med Res* 123:423-438.
- 120-Momeni AZ, Jalayer T, Emamjomeh M, Khamesipour A, Zicker F, Ghassemi R , Dowlati LY, Sharifi I, Aminjavaheri M, Shafiei A, Alimohammadian MH, Hashemi-Fesharki RK, Nasser T, Godal P, Smith G, Modabber F (1999). A randomised double-blind, controlled trial of a killed *L. major* vaccine plus BCG against zoonotic cutaneous leishmaniasis in Iran. *Vaccine* 17:466-472.
- 121-Machado-pinto J, Markques MJ (2002). Immunochemotherapy for cutaneous leishmaniasis: a controlled trial using killed leishmania amazonensis vaccine plus antimonial. *Int J Dermatol* 41(2):73-78.
- 122-Kubar J, Fragaki K (2005). Recombinant DNA-derived *Leishmania* proteins :from the laboratory to the field. *Lancet Infect Dis* 5:107-114
- 123-Killick –Kendrich R, Killick –Kendrich M (1999). Biology of sandfly vectors of Mediterranean canine Leishmaniasis .canine Leishmaniasis: an update proceedings of the International canine Leishmaniasis Forum. Barchalona,Spain. pp.26-31
- 124-Naucke TJ, Lorenz S, Grunewald HW (2006). Laboratory testing of the insect repellents IR 3535(R) and DEET against *phlebotomus mascittii* and *P duboscqi* (Diptera:Psychodidae). *Int J Med Microbiol* 296(suppl 1):230-232.
- 125-Kroeger A, Avila EV, Morison L (2002). Insecticide impregnated curtains to control domestic transmission of cutaneous leishmaniasis in Venezuela: cluster randomized trial. *BMJ* Oct 12;325(7368):810-813.
- 126-Den Dunnen JT (2008). "Recommendations for the description of sequence variants". Human Genome Variation Society. <http://www.hgvs.org/mutnomen/recs.html>. Retrieved on 2008-09-05.
- 127-Purcell S, Daly MJ, Sham PC (2007)."WHAP: haplotype-based association analysis". *Bioinformatics* 23:255–256.
- 128-Hedrick PW, Kumar S (2001). "Mutation and linkage disequilibrium in human mtDNA". *Eur J Hum Genet* 9(12):969–972
- 129-Hartl N, Daniel L, Elizabeth W. Jones H (2005). *Essential genetics: A genomics perspective* (4th ed). Jones & Bartlett Publishers. p. 53.
- 130-Bruce Carlson (15 June 2008). "SNPs — A Shortcut to Personalized Medicine". *Genetic Engineering & Biotechnology News* (Mary Ann Liebert, Inc.): p.12. <http://www.genengnews.com/articles/chitem.aspx?aid=2507>. Retrieved on 6 July 2008. "(subtitle) Medical applications are where the market's growth is expected".
- 131-Matsushita M, Fujita T (2001). Ficolins and the lectin complement pathway. *Immunol Rev* 180:78–85.

- 132-Ichijo H, Ronnstrand L, Miyagawa K, Ohashi H, Heldin CH, Miyazono K (1991). Purification of transforming growth factor-beta 1 binding proteins from porcine uterus membranes. *J Biol Chem* 266:22459–22464.
- 133-Ichijo H, Hellmanm U, Wernstedtm C, Gonez L J, Claesson-Welsh L, Helden, C H, Miyazono K (1993). Molecular cloning and characterization of ficolin, a multimeric protein with fibrinogen- and collagen-like domains. *J Biol Chem* 268:14505–14513.
- 134-Matsushita M, Endo Y, Taira S, Sato Y, Fujita T, Ichikawa N, Nakta M, Mizuouchi T (1996). A novel human serum lectin with collagen- and fibrinogen-like domains that functions as an opsonin. *J Biol Chem* 271:2448–2454.
- 135-Endo Y, Sato Y, Matsushita M , Fujita T (1996). Cloning and characterization of the human lectin P35 gene and its related gene. *Genomics* 36:515–521
- 136-Lu J, Tay PN, Kon OL, Reid KB (1996). Human ficolin: cDNA cloning, demonstration of peripheral blood leucocytes as the major site of synthesis and assignment of the gene to chromosome 9. *Biochem J* 313:473–478.
- 137-Inaba S, Okochi K, Yae Y, Niklasson F, de Verder CH (1990). Serological studies of an SLE-associated antigen-antibody system discovered as a precipitation reaction in agarose gel: the HAKATA antigen-antibody system. *Fukuoka Igaku Zasshi* 81:284–291.
- 138-Sugimoto R, Yae Y, Akaiwa M, Kitajima S, Shibata Y, Sato H, Hirata J, Okochi K, Izuhara K, Hamasaki N (1998). Cloning and characterization of the Hakata antigen, a member of the Ficolin/opsonin p35 lectin family. *J Biol Chem* 273:20721–20727.
- 139-Inaba S, Okochi K (1978). On a new precipitating antibody against normal human serum found in two patients with SLE (in Japanese). *Igaku No Ayumi* 107:690–691.
- 140-Fujimori Y, Harumiya S, Fukumoto Y, Miura Y, Yagasaki K, Tachikawa H, Fujimoto D (1998). Molecular cloning and characterization of mouse ficolin-A. *Biochem Biophys Res Commun* 244:796–800.
- 141-Ohashi T, Erickson HP (1998). Oligomeric structure and tissue distribution of ficolins from mouse, pig and human. *Arch Biochem Biophys* 360:223–232.
- 142-Ohashi T, Erickson, HP (1997). Two oligomeric forms of plasma ficolin have differential lectin activity. *J Biol Chem* 272:14220–14226.
- 143-Omori-Satoh T, Yamakawa Y, Mebs D ( 2000). The anti hemorrhagic factor, erinacin, from the European hedgehog (*Erinaceus europaeus*), a metalloprotease inhibitor of large molecular size possessing ficolin/opsonin P35 lectin domains. *Toxicon* 38:1561–1580.
- 144-Kakinuma Y, Endo Y, Takahashi M, Nakata M, Matsushita M, Takenoshita S, Fujita T (2003). Molecular cloning and characterization of novel ficolins from *Xenopus laevis*. *Immunogenet* 55:29–37.

- 145- Kenjo A, Takahashi M, Matsushita M, Endo Y, Nakata M, Mizuochi T, Fujita T (2001). Cloning and characterization of novel ficolins from the solitary ascidian, *Halocynthia roretzi*. *J Biol Chem* 276:19959–19965.
- 146-Francis K, Beek JV, Canova C, Neal JW, Gasque P (2003). Structure and interactions of C1q. *Expert Reviews in Molecular Medicine* May Vol 5:23.
- 147-Thiel S (2007). Complement activating soluble pattern recognition molecules with collagen-like regions, mannan-binding lectin, ficolins and associated proteins. *Molecular Immunology* 44:3875–3888
- 148-Garred P, Larsen F, Seyfarth J, Fujita R, Madsen HO (2006). Mannose-binding lectin and its genetic variants. *Genes and Immunity* 7:85-94
- 149-Fujita T (2002). Evolution of the lectin–complement pathway and its role in innate immunity. *Nature Reviews Immunology* 2:346-353.
- 150-Garlatti V, Belloy N, Martin L, Lacroix M, Matsushita M, Endo Y, Fujita T, Fontecilla-Camps J, Arlaud G, Thielens N, Gaboriaud C (2007). Structural insights into the innate immune recognition specificities of L- and H ficolins. *EMBO J* 26:623–633.
- 151-Ohashi T, Erickson HP (2004). The disulfide bonding pattern in ficolin multimers. *J Biol Chem* 279:6534–6539.
- 152-Hummelshoj T, Munthe-Fog L, Madsen H O, Fujita T, Matsushita M, Garred P, (2005). Polymorphisms in the FCN2 gene determine serum variation and function of Ficolin-2. *Human Mol Genet* 14:1651–1658.
- 153-Runza VL, Schwaebler W, Mannel DN (2008). Ficolins: Novel pattern recognition molecules of the innate immune response. *Immunobiology* 213:297–306
- 154-Endo Y, Liu Y, Kanno K, Takahashi M, Matsushita M, Fujita T (2004). Identification of the mouse H-ficolin gene as a pseudogene and orthology between mouse ficolins A/B and human L-/M-ficolins. *Genomics* 84:737–744.
- 155-Endo Y, Matsushita M, Fujita T (2007). Role of ficolin in innate immunity and its molecular basis. *Immunobiology* 212:371–379
- 156-Teh C, Le Y, Lee SH, Lu J (2000). M-ficolin is expressed on monocytes and is a lectin binding to N-acetyl-D-glucosamine and mediates monocyte adhesion and phagocytosis of *Escherichia coli*. *Immunology* 101:225–232.
- 157-Garred P, Honoré C, Ma Y J, Munthe-Fog L, Hummelshoj T (2009). MBL2, FCN1, FCN2 and FCN3—The genes behind the initiation of the lectin pathway of complement. *Molecular Immunology* 46:2737–2744.
- 158-Honore C, Rorvig S, Munthe-Fog L, Hummelshoj T, Madsen HO, Borregaard N, Garred P (2008). The innate pattern recognition molecule ficolin-1 is secreted by monocytes/ macrophages and is circulating in human plasma. *Mol Immunol* 45:2782–2789.

- 159-Thiel S, Jensen L, Nielsen HJ, Jensenius JC (2010). Characteristics and biological variations of M-ficolin, a pattern recognition molecule, in plasma. *J Innate Immun* 2:167-180.
- 160-Hummelshoj T, Munthe-Fog L, Madsen HO, Sim RB, Garred P (2008). Comparative study of the human ficolins reveals unique features of Ficolin-3 (Hakata antigen). *Mol Immunol* 45:1623-1632.
- 161-Taira S, Kodama N, Matsushita M, Fujita T (2000). Opsonic function and concentration of human serum ficolin/P35. *Fukushima J Med Sci* 46:13-23.
- 162-Kilpatrick DC, Fujita T, Matsushita M (1999). P35, an opsonic lectin of the ficolin family, in human blood from neonates, normal adults, and recurrent miscarriage patients. *Immunol Lett* 67:109-112.
- 163-Atkinson AP, Cedzynski M, Szemraj J, Swierzko A S, Bak-Romaniszyn L, Banasik M, Zeman K, Matsushita M, Turner ML, Kilpatrick DC (2004). L-ficolin in children with recurrent respiratory infections. *Clin Exp Immunol* 138:517-520.
- 164-Akaiwa M, Yae Y, Sugimoto R, Suzuki SO, Iwaki T, Izuhara K, Hamasaki N (1999). Hakata antigen, a new member of the Ficolin/opsonin p35 family, is a novel human lectin secreted into bronchus/alveolus and bile. *J Histochem Cytochem* 47:777-785.
- 165-Kuraya M, Matsushita M, Endo Y, Thiel S, Fujita T (2003). Expression of H-ficolin/Hakata antigen, mannose-binding lectin-associated serine protease (MASP)-1 and MASP-3 by human glioma cell line T98G. *Int Immunol* 15:109-117
- 166-Munthe-Fog L, Hummelshoj T, Ma YJ, Hansen BE, Koch C, Madsen HO, Skjodt, K, Garred P (2008). Characterization of polymorphism in the coding sequence of FCN3 resulting in a Ficolin-3 (Hakata antigen) deficiency state. *Mol Immunol* 45:2660-2666.
- 167-YaeY, Inaba S, Sato H, Okochi K, Tokunaga F, Iwanaga S (1991). Isolation and characterization of a thermolabile beta-2 macroglycoprotein ('thermolabile substance' or 'Hakata antigen') detected by precipitating (auto) antibody in sera of patients with systemic lupus erythematosus. *Biochim Biophys Acta* 1078:369-376.
- 168-Liu Y, Endo Y, Nakata M, Wada I, Iwaki D, Inoue K, Matsushita M, Munakata M, Fujita T (2005). Human M-ficolin is a secretory protein that activates the lectin complement pathway. *J Immunol* 175:3150-3156.
- 169-Krarup A, Thiel, S, Hansen A, Fujita T, Jensenius JC (2004). L-ficolin is a pattern recognition molecule specific for acetyl groups. *J Biol Chem* 279:47513-47519.
- 170-Lynch NJ, Roscher S, Hartung T, Morath S, Matsushita M, Maennel DN, Kuraya M, Fujita, T, Schwaeble WJ (2004). L-ficolin specifically binds to lipoteichoic acid, a cell wall constituent of gram-positive bacteria, and activates the lectin pathway of complement. *J Immunol* 172:1198-1202.



- 171-Kadirvelraj R, Gonzalez-Outeirino J, Foley BL, Beckham ML, Jennings HJ, Foote S, Ford MG, Woods RJ (2006). Understanding the bacterial polysaccharide antigenicity of *Streptococcus agalactiae* versus *Streptococcus pneumoniae*. *Proc Natl Acad Sci USA* 103:8149–8154.
- 172-Aoyagi Y, Adderson EE, Min JG, Matsushita M, Fujita T, Takahashi S, Okuwaki Y, Bohnsack JF (2005). Role of I-ficolin/mannose-binding lectin-associated serine protease complexes in the opsonophagocytosis of type III group B streptococci. *J Immunol* 174:418–425.
- 173-Wang X, Rocheleau TA, Fuchs JF, Christensen BM (2006). Beta 1, 3-glucan recognition protein from the mosquito, *Armigeres subalbatus*, is involved in the recognition of distinct types of bacteria in innate immune responses. *Cell Microbiol* 8:1581–1590.
- 174-Pelletier I, Hashidate T, Urashima T, Nishi N, Nakamura T, Futai M, Arata Y, Kasai K, Hirashima M, Hirabayashi J, Sato S (2003). Specific recognition of *Leishmania major* poly-beta-galactosyl epitopes by galectin-9: possible implication of galectin-9 in interaction between *L. major* and host cells. *J Biol Chem* 278:22223–22230.
- 175-Kuraya M, Ming Z, Liu X, Matsushita M, Fujita T (2005). Specific binding of L-ficolin and H-ficolin to apoptotic cells leads to complement activation. *Immunobiol* 209:689–697.
- 176-Jensen ML, Honore C, Hummelshoj T, Hansen BE, Madsen HO, Garred P (2007). Ficolin-2 recognizes DNA and participates in the clearance of dying host cells. *Mol Immunol* 44:856–865
- 177-Matsushita M, Fujita T, Lee BL (2004). Human mannose-binding lectin and L-ficolin function as specific pattern recognition proteins in the lectin activation pathway of complement. *J Biol Chem* 279:25307–25312.
- 178-Krarup A, Sorensen UB, Matsushita M, Jensenius JC, Thiel S (2005). Effect of capsulation of opportunistic pathogenic bacteria on binding of the pattern recognition molecules mannan-binding lectin, L-ficolin, and H-ficolin. *Infect Immun* 73:1052–1060.
- 179-Tsujimura M, Miyazaki T, Kojima E, Sagara Y, Shiraki H, Okochi K, Maeda Y (2002). Serum concentration of Hakata antigen, a member of the ficolins, is linked with inhibition of *Aerococcus viridans* growth. *Clin Chim Acta* 325:139–146.
- 180-Honore C, Hummelshoj T, Hansen BE, Madsen HO, Eggleton P, Garred P (2007). The innate immune component ficolin 3 (Hakata antigen) mediates the clearance of late apoptotic cells. *Arthrit Rheum* 56:1598–1607
- 181-Tanio M, Kondo S, Sugio S, Kohno T (2007). Trivalent recognition unit of innate immunity system: crystal structure of trimeric human M-ficolin fibrinogen-like domain. *J Biol Chem* 282:3889–3895.
- 182-Matsushita M (2010). Ficolins: Complement-Activating Lectins Involved in Innate Immunity. *J Innate Immun* 2:24–32.

- 183-Lu J, The C, Kishore U, Reid K BM (2002). Collectins and ficolins: sugar pattern recognition molecules of the mammalian innate immune system. *Biochimica et Biophysica Acta* 1572:387–400.
- 184-Matsushita M (1996). The lectin pathway of the complement system. *Microbiol Immunol* 40: 887–893.
- 185-Matsushita M, Fujita T (1992). Activation of the classical complement pathway by mannose-binding protein in association with a novel C1s-like serine protease. *J Exp Med* 176:1497–502.
- 186-Thiel S, Vorup-Jensen T, Stover CM, Schwaeble W, Laursen SB, Poulsen K (1997). A second serine protease associated with mannan-binding lectin that activates complement. *Nature* 386:506–510.
- 187-Dahl MR, Thiel S, Willis C, Vorup-Jensen T, Christensen T, Petersen SV. Mannan-binding lectin associated serine protease 3 sMASP-3—a new component of the lectin pathway of complement activation. The 18th International Complement Workshop. USA: Snowbird, 2000.
- 188-Takahashi M, Endo Y, Fujita T, Matsushita M (1999). A truncated form of mannose-binding lectin-associated serine protease sMASP-2 expressed by alternative polyadenylation is a component of the lectin complement pathway. *Int Immunol* 11:859–863.
- 189-Stover CM, Thiel S, Thelen M, Lynch NJ, Vorup-Jensen T, Jensenius JC, Schwaeble W (1999). Two constituents of the initiation complex of the mannan-binding lectin activation pathway of complement are encoded by a single structural gene. *J Immunol* 162:3481–3490.
- 190-Matsushita M, Thiel S, Jensenius JC, Terai I, Fujita T (2000). Proteolytic activities of two types of mannose-binding lectin-associated serine protease. *J Immunol* 165:2637–2642.
- 191-Matsushita M, Endo Y, Fujita T (2000). Complement-activating complex of ficolin and mannose-binding lectin-associated serine protease. *J Immunol* 164:2281–2284.
- 192-Matsushita M, Kuraya M, Hamasaki N, Tsujimura M, Shiraki H, Fujita T (2002). Activation of the lectin complement pathway by H-ficolin (Hakata antigen). *J Immunol* 168:3502–3506.
- 193-Frederiksen PD, Thiel S, Larsen CB, Jensenius JC (2005). M-ficolin, an innate immune defence molecule, binds patterns of acetyl groups and activates complement. *Scand J Immunol* 62:462–473.
- 194-Sotiropoulou G, Kono M, Anisowicz A, Stenman G, Tsuji S, Sager R (2002). Identification and functional characterization of a human GalNAc [ $\alpha$ ]2,6-sialyltransferase with altered expression in breast cancer. *Mol Med* 8:42–55.

- 195-Muruve DA, Petrilli V, Zaiss AK, White LR, Clark SA, Ross PJ, Parks RJ, Tschopp J (2008). The inflammasome recognizes cytosolic microbial and host DNA and triggers an innate immune response. *Nature* 452:103–107.
- 196–Ng PM, Le Saux A, Lee CM, Tan NS, Lu J, Thiel S, Ho B, Ding JL (2007). C-reactive protein collaborates with plasma lectins to boost immune response against bacteria. *EMBO J* 26:3431–3440.
- 197-Zhang J, Koh J, Lu J, Thiel S, Leong BS, Sethi S, He CY, Ho B, Ding JL (2009). Local inflammation induces complement crosstalk which amplifies the antimicrobial response. *PLoS Pathog* January; 5(1): e1000282.
- 198-Hummelshoj T, Munthe-Fog L, Madsen HO, Garred P (2008). Functional SNPs in the human ficolin (*FCN*) genes reveal distinct geographical patterns. *Mol Immunol* 45: 2508–2520.
- 199-Vander CB, Nuytinck L, Boullart L, Elewaut D, Waegeman W, Van T M, De ME, Lebeer K, Rossau R, De KF (2007). Polymorphisms in the ficolin 1 gene (*FCN1*) are associated with susceptibility to the development of rheumatoid arthritis. *Rheumatology* 46:1792–1795.
- 200-Schlapbach LJ, Kessler U, Thiel S, Hansen AG, Nelle M, Ammann RA, Aebi C, Jensenius JC (2009). M-ficolin in the neonatal period: associations with need for mechanical ventilation and mortality in premature infants with necrotising enterocolitis. *Mol Immunol* 46:2597–2603.
- 201-Herpers BL, Immink MM, de Jong BA, van Velzen-Blad H, de Jongh BM, van Hannen EJ (2006). Coding and non-coding polymorphisms in the lectin pathway activator L-ficolin gene in 188 Dutch blood bank donors. *Mol Immunol* 43: 851–855.
- 202-Garred P, Honoré C, Ma YJ, Røvig S, Cowland J, Borregaard N, Hummelsh T. (2009). The Genetics of Ficolins. *J Innate Immun* Dec;2(1):3-16.
- 203-Munthe-Fog L, Hummelshoj T, Hansen BE, Koch C, Madsen HO, Skjodt K, Garred P (2007). The impact of *FCN2* polymorphisms and haplotypes on the Ficolin-2 serum levels. *Scand J Immunol* 65:383–392.
- 204-Chen X, Katoh, Y, Nakamura K, Oyama N, Kaneko F, Endo Y, Fujita T, Nishida T, Mizuki N (2006). Single nucleotide polymorphisms of Ficolin2 gene in Behcet's disease. *J Dermatol Sci* 43:201–205.
- 205-Cedzynski M, Nuytinck L, Atkinson AP, St Swierzko A, Zeman K, Szemraj J, Szala A, Turner ML, Kilpatrick DC (2009). L-ficolin (ficolin-2) insufficiency is associated with combined allergic and infectious respiratory disease in children. *Molecular Immunology* 47:415–419.
- 206-Chapman SJ, Vannberg FO, Khor CC, Segal S, Moore CE, Knox K, Day NP, Davies RJ, Crook DW, Hill AV (2007). Functional polymorphisms in the *FCN2* gene are not associated with invasive pneumococcal disease. *Mol Immunol* 44:3267–3270.
- 207-Kilpatrick DC, McLintock LA, Allan EK, Copland M, Fujita T, Jordanides NE, Koch C, Matsushita M, Shiraki H, Stewart K, Tsujimura M, Turner ML, Franklin IM,

Holyoake TL (2003). No strong relationship between mannan binding lectin or plasma ficolins and chemotherapy-related infections. *Clin Exp Immunol* 134:279–284.

208-Swierzko AS, Atkinson AP, Cedzynski M., Macdonald SL, Szala A, Domzalska-Popadiuk I, Borkowska-Klos M, Jopek A , Szczapa J , Matsushita M, Szemraj J , Turner ML, Kilpatrick DC ( 2009). Two factors of the lectin pathway of complement, L-ficolin and mannan-binding lectin, and their associations with prematurity, lowbirthweight and infections in a large cohort of Polish neonates. *Mol Immunol* 70:68–72.

209-Wang CC, Yim, KW, Poon TCW, Choy KW, Chu CY, Lui WT, Lau TK, Rogers MS, Leung TN (2007). Innate immune response by ficolin binding in apoptotic placenta is associated with the clinical syndrome of preeclampsia. *Clin Chem* 53:42–52.

210-Svendsen, C B, Hummelshoj T, Munthe-Fog, L, Milman N, Garred P, Laursen IA, Christiansen M, Krogfelt K (2008). Ficolins and mannosebinding lectin in Danish patients with sarcoidosis. *Respir Med* 102: 1237–1242.

211-Messias-Reason I, Kreamsner PG, Kun JF (2009). Functional haplotypes that produce normal ficolin-2 levels protect against clinical leprosy. *J Infect Dis* 199:801–804.

212-Messias-Reason I, Schafranski MD ,Kreamsner PG, Kun JF (2009). Ficolin 2 (FCN2) functional polymorphisms and the risk of rheumatic fever and rheumatic heart disease. *Clin Exp Immunol* 157:395–399.

213-Munthe-Fog L, Hummelshoj T, Ma YJ, Honore C, Madsen HO, Permin H, Garred P (2009). Immunodeficiency Associated with FCN3, Mutation and Ficolin-3 Deficiency. *N Engl J Med* 360:2637-2644.

214-Fukutomi T, Ando B, Sakamoto S, Sakai H, Nawata H (1996). Thermolabile  $\beta$ -2 macroglobulin (Hakata antigen) in liver disease: biochemical and immunohistochemical study. *Clin Chim Acta*.255:93–106.

215-Andersen T Munthe-Fog, L. Garred, P, Jacobsen S (2009). Serum levels of ficolin-3 (Hakata antigen) in patients with systemic lupus erythematosus. *J Rheumatol* Apr;36(4):757-759.

216-Ruskamp JM, Hoekstra MO, Postma DS, Kerkhof M, Bottema RW, Koppelman GH, Rovers MM, Wijga AH, de Jongste JC, Brunekreef B, Sanders EA (2009). Exploring the role of polymorphisms in ficolin genes in respiratory tract infections in children. *Clin Exp Immunol* 155:433-440.

217-Schlapbach LJ, Aebi C, Hansen AG, Hirt A, Jensenius JC, Ammann RA (2009). H-ficolin serum concentration and susceptibility to fever and neutropenia in pediatric cancer patients. *Clin Exp Immunol* Jul;157(1):83-89.

218-Nielsen RG, Vind I, Munkholm P, Jensenius JC, Thiel S, Husby S (2007). Genetic polymorphisms of mannan binding lectin (MBL), serum levels of MBL, the

MBL associated serine protease and H-ficolin in patients with Crohn's disease. *Gut* 56:311-312.

219-Rivas L, Moreno J, Canavate C, Alvar J (2004). Virulence and disease in leishmaniasis: what is relevant for the patient?. *Trends in Parasitology* 20:297-301.

220-Murray HW, Berman JD, Davies CR, Saravia NG (2005). Advances in leishmaniasis. *Lancet* 366:1561-1577.

221-Sacks D, Sher A (2002). Evasion of innate immunity by parasitic protozoa. *Nat Immunol* 13:1041-1047.

222-Sakhianandeswaren A, Foote S J, Handman E (2009). The role of host genetics in leishmaniasis. *Trends Parasitol* 25:383-391.

223-Faik I, Oyediji SI, Idris Z, Messias-Reason I ,Lell B ,Kremsner PG ,Kun JF (2011). Ficolin-2 levels and genetic polymorphisms of FCN2 in malaria. *Hum Immunol Jan*;72(1):74-79.

224-Gangneux JP, Sulahian A, Honore S, Meneceur P, Derouin F, and Garin YJ (2000). Evidence for determining parasitic factors in addition to host genetics and immune status in the outcome of murine *Leishmania infantum* visceral leishmaniasis. *Parasite Immunol* 22:515-519.

225-Ogden C A, deCathelineau A, Hoffmann P R, Bratton D, Ghebrehiwet B, Fadok V A, Henson PM (2001). C1q and mannose binding lectin engagement of cell surface calreticulin and CD91 initiates macropinocytosis and uptake of apoptotic cells. *J Exp Med* 194:781-795.

226-Lacroix M, Dumestre-Perard C, Schoehn G, Houen G, Cesbron J Y, Arlaud G J, Thielens NM(2009). Residue Lys57 in the collagen-like region of human L-ficolin and its counterpart Lys47 in H-ficolin play a key role in the interaction with the mannan-binding lectin-associated serine proteases and the collectin receptor calreticulin. *J Immunol* 182:456-465.

227-de Miranda Santos IKF, Costa CH, Krieger H, Feitosa MF, Zurakowski D, Fardin B, Gomes R B, Weiner D L, Harn D A, Ezekowitz RA, Epstein JE (2001). Mannan-binding lectin enhances susceptibility to visceral leishmaniasis. *Infect Immun* 69(8):5212-5215.

228-Green PJ, Feizi T, Stoll MS, Thiel S, Prescott A, McConville MJ (1994). Recognition of the major cell surface glycoconjugates of *Leishmania* parasites by the human serum mannan-binding protein. *Mol Biochem Parasitol* 66:319–328.

229-Alonso DP, Ferreira AF, Ribolla PE, de Miranda Santos IK, do Socorro Pires e Cruz M, Aécio de Carvalho F, Abatepaulo AR, Lamounier Costa D, Werneck GL, Farias TJ, Soares MJ, Costa CH (2007). Genotypes of the Mannan-binding lectin gene and susceptibility to visceral leishmaniasis and clinical complications. *The Journal of Infectious Diseases* 195(8):1212-1217.

230-Asgharzadeh M, Mazloumi A, Kafil HS, Ghazanchaei A (2007). Mannose-binding lectin gene and promoter polymorphism in visceral leishmaniasis caused by *Leishmania infantum*. *Pak J Biol Sci Jun* 1;10(11):1850-1854.

231-Garred P, Harboe M, Oettinger T, Koch C, Svejgaard A (1994). Dual role of mannan-binding protein in infections: another case of heterosis?. *Eur J Immunogenet* 21:125-131.

232-Helleman D, Larsson A, Madsen H O, Bonde J, Jarlov J O, Wiis J, Faber T, Wetterslev J, Garred P (2007). Heterozygosity of mannose-binding lectin (MBL2) genotypes predicts advantage (heterosis) in relation to fatal outcome in intensive care patients. *Hum Mol Genet* 16:3071-3080.

233-Allison C (1954). Protection afforded by sickle-cell trait against subtertian malarial infection. *British Medical Journal* 1,290.

234-dos S.Cestari I, Krarup A, Sim RB, Inal JM, Ramirez MI (2009). Role of early lectin pathway activation in the complement-mediated killing of *Trypanosoma cruzi*. *Mol Immunol* 47:426-437.

## **FCN gene polymorphism in patients with cutaneous leishmaniasis**

Leishmaniasis poses a serious health threat in many tropical and subtropical countries with estimates of 350 million people at risk and 12 million people affected. Despite considerable efforts to control the disease the incidence worldwide is still on the rise, Even though there is a clear correlation between the causative species and the clinical presentation, many variations are seen depending on the immunocompetence of the host. Here we aimed to investigate the contribution of ficolin 2 (FCN-2) polymorphisms to susceptibility and clinical progression of cutaneous leishmaniasis. FCN2 is an important factor of the innate immune response and its gene is located on chromosome9q34 and contains 8 exons It has been recently shown that FCN-2 is highly polymorphic and that low level of circulating protein are clearly associated with polymorphisms in the promoter (-986, -602, -4) and in exon 8 (+6424).

A total of 235 patients presenting different clinical outcomes of cutaneous Leishmaniasis from Syria were included in the study. They were consecutive outpatients from different dermatologic clinics in Syria. All patients were diagnosed with cutaneous leishmaniasis according to Giemsa staininig of dermal scrapings from affected lesions. Two hundred and thirty two healthy unrelated symptom-free subjects were assessed as controls. Both patients and controls belonged to the same social status and geographical area.

DNA extraction was performed using QIAamp™ DNA extraction kits. The entire coding regions of the gene were amplified in 40 control individuals and analyzed by DNA sequencing. The resulting DNA sequences were aligned using Bio-Edit software, and DNA polymorphisms were confirmed visually from sequence electropherograms.

The determination of polymorphisms at -986G>A and -602G>A and (-4A>G) in the promoter region were done by TaqMan-Based Real-Time PCR. Whereas the position +6424 G>T was assessed by DNA sequencing. The TaqMan-Based Real-Time PCR technique is based on amplification of the region flanking the SNP in the presence of two allele-specific fluorescent probes, of which the 5' end is labelled with a reporter dye (either FAM or YAK) and the 3' end is labelled with a quencher. samples were

analyzed on Rotor-Gene 3000 using Rotor-Gene software v 6. 1. the results were analyzed by statistical program ( haploview, Arlequin and ststa).

Nine novel SNPs were identified: two in the promoter (-722 C>T, -418 G>A), one in intron 2 (+1898 G>C), four in intron 5 (+4577C>G, +4647 C>T, +4704 G >C, +4806 G>A), one in exon 6 (+4986 C>T) causing a Arg to Trp exchange and one in exon 8 (+6584 G>A) causing a change at position 311 from Arg to Gln. In the Syrian cohort strong allelic combinations at (-986 and -4) and at (-557 and -64) were observed.. The AGA haplotype was significantly decreased in the healthy control in comparison to the patients (p=0.036, OR= 1. 7, CI 95% 1 – 3). If the promoter polymorphisms were combined with the exon 8 (+6424) polymorphism the different distribution of the seven found haplotypes were still statistically significant between the groups (p=0.036) The AGAG haplotype, known to be associated with normal levels of circulating FCN2, was significantly decreased in healthy control when compared to leishmaniasis patients ( p=0.036, OR= 1. 7, CI95% 1 – 3).

These results suggest that FCN2 exert similar functions as MBL during interaction with Leishmania. Thus FCN-2 deficiency might play an advantageous role in the protection against Leishmania. It seems also that selective forces have exerted positive selective pressure on FCN-2 haplotypes that would be protective for the disease. Of course, it might be possible that other diseases exerts the selective force on the *FNC2* polymorphisms and Leishmania profits from the selective process.

In conclusion we present evidence that FCN2 may be an additional factor contributing to the facilitation of invasion of Leishmania into macrophages. Although the role of Ficolin-2 in the interaction with the Leishmania surface remains to be established, these results indicate a role for this molecule in leishmaniasis and represent another example how seemingly deleterious polymorphism can be beneficial in a population. The association of the specific haplotype is rather weak and the number of patients is low therefore additional studies with larger cohorts of leishmaniasis would be desirable.



## الاختصارات

cC1qR	مستقبل الجزء C1q من المتممة
CHRD	أمراض القلب الروماتويدية المزمنة
CL	ليشمانية جلدية
D'	معامل اختلال التوازن الارتباطي
DAT	اختبار التراص المباشر
DCL	الليشمانية الجلدية المنتشرة
ddNTPs	نوكلئوتيدات ثلاثية الفوسفات منقوصة الأوكسجين المفلورة
dNTPs	نوكلئوتيدات ثلاثية الفوسفات منقوصة الأوكسجين
EF	العامل المفرز
ELISA	المقايضة بطريقة الممتز المناعي المرتبط بالأنزيم
FCN	الفيكولين
GalNAc	N أسيتيل غالاكتوز أمين
GlcNAc	N -أسيتيل غلوكوز أمين
ICT	اختبار شريط الاستشراب المناعي
IFA	اختبار التآلق المناعي
IL	انترلوكين
INF	انترفيرون
ITS	الفراغات البينية المشفرة
KDNA	دنا الصانعة المحركة
L	ليشمانيا
LD	اختلال التوازن الارتباطي
LOD	لغاريتم نسبة الأرجحية

LPA	اختبار تكاثر اللمفاويات
LTA	الليبوتوكويك أسيد
MAC	معقد مهاجمة الغشاء
MASP	البروتينات المرافقة للبروتين الرابط للمانوز
MBL	البروتين الرابط للمانوز
MCL	الليشمائية الجلدية المخاطية
MHC	معقد التوافق النسيجي الكبير
NCBI	المركز العالمي لمعلومات التكنولوجيا البيولوجية
P	فاصدة
PAMPs	الجزئيات المرافقة للعوامل الممرضة
PCR	التفاعل السلسلي البوليميرازي
PKDL	الليشمائية الجلدية التالي للكلازار
RF	حمى الروماتزم
RFLP	تقانة الإقتطاع الإنزيمي
SNP	التعدد الشكلي في أساس أزوتي وحيد
ssuRNA	رنا الريبوزومي بتحت وحدته الصغيرة
TCR	مستقبلات الخلايا التائية
Th	التائيات المساعدة
TNF	عامل نخرة الأورام
VL	ليشمائية حشوية
WB	البقعة الغربية
WHO	منظمة الصحة العالمية